

S.S.131 DI “CARLO FELICE”

Adeguamento e messa in sicurezza della S.S.131

Risoluzione dei nodi critici 2°stralcio

dal km 108+300 al km 158+000

PROGETTO ESECUTIVO

CA284

R.T.I. di PROGETTAZIONE:



**PRO
ITER**
Progetto
Infrastrutture
Territorio s.r.l.

Via G.B. Sammartini n°5
20125 – Milano
Tel. 02 6787911
email: mail@proiter.it

Mandataria

Mandante



Via Artemide n°3
92100 Agrigento
Tel. 0922 421007
email: deltaingegneria@pec.it

PROGETTISTI:

Ing. Riccardo Formichi – Pro Iter srl (Integratore prestazioni specialistiche)
Ordine Ing. di Milano n. 18045

Ing. Nicola D'Alessandro – Delta Ingegneria srl
Ordine Ing. di Agrigento n. A995

IL GEOLOGO

Dott. Geol. Massimo Mezzananza – Pro Iter srl
Albo Geol. Lombardia n. A762

COORDINATORE PER LA SICUREZZA IN FASE DI PROGETTAZIONE

Ing. Diego Ceccherelli
Ordine Ing. di Milano n. 15813

VISTO: IL RESP. DEL PROCEDIMENTO

Dott. Ing. Salvatore Frasca

PROTOCOLLO

DATA



OPERE D'ARTE MINORI
Tombino idraulico scatolare pk 148+140 - TS10 su S15 - 200x200 cm

RELAZIONE TECNICA E DI CALCOLO

CODICE PROGETTO

PROGETTO LIV. PROG. N. PROG.

| | | | | | | | | | | |
|---|---|---|---|---|---|---|---|---|---|---|
| L | O | P | L | S | Q | E | 1 | 9 | 0 | 1 |
|---|---|---|---|---|---|---|---|---|---|---|

NOME FILE

TO0TM08STRRE01A

CODICE
ELAB.

| | | | | | | | | | | | | | |
|---|---|---|---|---|---|---|---|---|---|---|---|---|---|
| T | O | O | T | M | 0 | 8 | S | T | R | R | E | 0 | 1 |
|---|---|---|---|---|---|---|---|---|---|---|---|---|---|

REVISIONE

A

SCALA

-

D

C

B

A Emissione

Marzo 2020

Ing.D. D'ALESSANDRO

Ing. M. CARLINO

Ing.N. D'ALESSANDRO

REV.

DESCRIZIONE

DATA

REDATTO

VERIFICATO

APPROVATO

Indice

| | |
|---|-----------|
| 1 PREMESSA..... | 5 |
| 1.1 DESCRIZIONE DELL'OPERA | 5 |
| 2 NORMATIVE DI RIFERIMENTO..... | 7 |
| 3 CARATTERISTICHE DEI MATERIALI | 9 |
| 3.1 CALCESTRUZZO..... | 9 |
| 3.1.1 <i>Tombini</i> | 9 |
| 3.1.2 <i>Muri d'ala – fondazioni</i> | 9 |
| 3.1.3 <i>Muri d'ala – elevazioni</i> | 10 |
| 3.2 ACCIAIO ARMATURA ORDINARIA | 11 |
| 3.3 DURABILITÀ E PRESCRIZIONI SUI MATERIALI | 11 |
| 4 CRITERI DI CALCOLO | 13 |
| 4.1 CALCOLO DEL CARICO SULLA CALOTTA..... | 13 |
| 4.2 SPINTA SUI PIEDRITTI | 13 |
| 4.2.1 <i>Spinta attiva - Metodo di Coulomb</i> | 13 |
| 4.2.2 <i>Spinta in presenza di falda</i> | 14 |
| 4.2.3 <i>Spinta a Riposo</i> | 14 |
| 4.2.4 <i>Spinta in presenza di sisma - Metodo di Mononobe-Okabe</i> | 15 |
| 4.3 VERIFICA AL CARICO LIMITE | 16 |
| 5 MODELLAZIONE AGLI ELEMENTI FINITI | 20 |
| 5.1 PROGRAMMA DI CALCOLO UTILIZZATO | 20 |
| 5.1.1 <i>Origine e caratteristiche dei codici di calcolo</i> | 20 |
| 5.1.2 <i>Affidabilità dei codici di calcolo</i> | 20 |
| 5.1.3 <i>Modalità di presentazione dei risultati</i> | 21 |
| 5.1.4 <i>Informazioni generali sull'elaborazione</i> | 21 |
| 5.2 VALUTAZIONE DEI RISULTATI E GIUDIZIO SULLA LORO ACCETTABILITÀ | 21 |
| 5.3 STRATEGIA DI SOLUZIONE | 21 |
| 5.4 CARATTERISTICHE DEGLI ELEMENTI DEL MODELLO | 23 |
| 6 CARATTERISTICHE DEL TERRENO | 28 |
| 7 ANALISI DEI CARICHI..... | 30 |
| 7.1 PESI PROPRI..... | 30 |
| 7.2 CARICHI PERMANENTI | 30 |
| 7.2.1 <i>Peso del riempimento</i> | 30 |

| | | |
|-----------|---|-----------|
| 7.2.2 | <i>Spinta del rinterro</i> | 30 |
| 7.3 | CARICHI VARIABILI..... | 30 |
| 7.3.1 | <i>Carico variabile sulla fondazione</i> | 30 |
| 7.3.2 | <i>Carico variabile sul terreno di ricoprimento</i> | 32 |
| 7.4 | AZIONE SISMICA..... | 40 |
| 7.5 | RIEPILOGO DELLE CONDIZIONI DI CARICO | 41 |
| 8 | COMBINAZIONI DEI CARICHI | 45 |
| 8.1 | COMBINAZIONI PER VERIFICHE ALLO SLU..... | 47 |
| 8.2 | COMBINAZIONI PER VERIFICHE ALLO SLE | 48 |
| 8.3 | RIEPILOGO DELLE COMBINAZIONI DI CARICO | 48 |
| 9 | RISULTATI DEI CALCOLI | 56 |
| 9.1 | SOLLECITAZIONI | 56 |
| 9.2 | INVILUPPO DELLE SOLLECITAZIONI | 65 |
| 9.3 | INVILUPPO SPOSTAMENTI NODALI..... | 68 |
| 9.4 | INVILUPPO PRESSIONI SUL TERRENO DI FONDAZIONE | 69 |
| 10 | VERIFICHE STRUTTURALI..... | 71 |
| 10.1 | ARMATURE | 71 |
| 10.2 | VERIFICHE ALLO STATO LIMITE ULTIMO (SLU)..... | 71 |
| 10.2.1 | <i>Fondazione</i> | 72 |
| 10.2.2 | <i>Traverso</i> | 73 |
| 10.2.3 | <i>Piedritti</i> | 74 |
| 10.3 | VERIFICHE ALLO STATO LIMITE ESERCIZIO (SLE) | 75 |
| 10.4 | VERIFICHE ALLO STATO LIMITE DI FESSURAZIONE (SLF)..... | 76 |
| 11 | VERIFICHE GEOTECNICHE | 86 |
| 12 | MURI D'ALA LATO OVEST..... | 87 |
| 12.1 | GENERALITÀ..... | 87 |
| 12.2 | MODELLAZIONE | 88 |
| 12.2.1 | <i>Tipo di analisi svolta</i> | 88 |
| 12.2.2 | <i>Origine e caratteristiche dei codici di calcolo</i> | 89 |
| 12.2.3 | <i>Affidabilità dei codici di calcolo</i> | 89 |
| 12.2.4 | <i>Modalità di presentazione dei risultati</i> | 89 |
| 12.2.5 | <i>Informazioni generali sull'elaborazione</i> | 90 |
| 12.2.6 | <i>Giudizio motivato di accettabilità dei risultati</i> | 90 |
| 12.3 | CALCOLO DELLA SPINTA SUL MURO | 90 |

| | | |
|--------|---|-----|
| 12.3.1 | <i>Metodo di Culmann</i> | 90 |
| 12.3.2 | <i>Spinta in presenza di falda</i> | 91 |
| 12.3.3 | <i>Spinta in presenza di sisma</i> | 91 |
| 12.4 | ANALISI DEI CARICHI | 91 |
| 12.4.1 | <i>Pesi propri</i> | 91 |
| 12.4.2 | <i>Spinta del terreno</i> | 91 |
| 12.4.3 | <i>Carichi variabili</i> | 93 |
| 12.4.4 | <i>Azione sismica</i> | 95 |
| 12.5 | COMBINAZIONI DEI CARICHI | 95 |
| 12.5.1 | <i>Riepilogo dei coefficienti</i> | 95 |
| 12.5.2 | <i>Descrizione combinazioni di carico</i> | 96 |
| 12.6 | RISULTATI DEL CALCOLO DELLE FORZE | 99 |
| 12.6.1 | <i>Spinta</i> | 99 |
| 12.6.2 | <i>Forze</i> | 102 |
| 12.7 | VERIFICHE GEOTECNICHE | 103 |
| 12.7.1 | <i>Verifica a ribaltamento</i> | 103 |
| 12.7.2 | <i>Verifica a scorrimento</i> | 104 |
| 12.7.3 | <i>Verifica al carico limite</i> | 105 |
| 12.7.4 | <i>Verifica alla stabilità globale</i> | 107 |
| 12.8 | VERIFICHE STRUTTURALI | 112 |
| 12.8.1 | <i>Involuppo delle sollecitazioni</i> | 112 |
| 12.8.2 | <i>Armature</i> | 113 |
| 12.8.3 | <i>Verifiche a flessione</i> | 113 |
| 12.8.4 | <i>Verifiche a taglio</i> | 121 |
| 12.8.5 | <i>Verifica delle tensioni</i> | 129 |
| 12.8.6 | <i>Verifiche a fessurazione</i> | 135 |
| 13 | MURI D'ALA LATO EST | 143 |
| 13.1 | GENERALITÀ | 143 |
| 13.2 | MODELLAZIONE | 144 |
| 13.3 | CALCOLO DELLA SPINTA SUL MURO | 144 |
| 13.3.1 | <i>Metodo di Culmann</i> | 144 |
| 13.3.2 | <i>Spinta in presenza di falda</i> | 144 |
| 13.3.3 | <i>Spinta in presenza di sisma</i> | 145 |
| 13.4 | ANALISI DEI CARICHI | 145 |
| 13.4.1 | <i>Pesi propri</i> | 145 |
| 13.4.2 | <i>Spinta del terreno</i> | 145 |
| 13.4.3 | <i>Carichi variabili</i> | 147 |

| | | |
|--------|---|-----|
| 13.4.4 | <i>Azione sismica</i> | 148 |
| 13.5 | COMBINAZIONI DEI CARICHI | 148 |
| 13.5.1 | <i>Riepilogo dei coefficienti</i> | 148 |
| 13.5.2 | <i>Descrizione combinazioni di carico</i> | 149 |
| 13.6 | RISULTATI DEL CALCOLO DELLE FORZE..... | 152 |
| 13.6.1 | <i>Spinta</i> | 152 |
| 13.6.2 | <i>Forze</i> | 155 |
| 13.7 | VERIFICHE GEOTECNICHE..... | 156 |
| 13.7.1 | <i>Verifica a ribaltamento</i> | 156 |
| 13.7.2 | <i>Verifica a scorrimento</i> | 156 |
| 13.7.3 | <i>Verifica al carico limite</i> | 157 |
| 13.7.4 | <i>Verifica alla stabilità globale</i> | 158 |
| 13.8 | VERIFICHE STRUTTURALI..... | 163 |
| 13.8.1 | <i>Involuppo delle sollecitazioni</i> | 163 |
| 13.8.2 | <i>Armature</i> | 164 |
| 13.8.3 | <i>Verifiche a flessione</i> | 164 |
| 13.8.4 | <i>Verifiche a taglio</i> | 173 |
| 13.8.5 | <i>Verifica delle tensioni</i> | 181 |
| 13.8.6 | <i>Verifiche a fessurazione</i> | 188 |

1 PREMESSA

Nella presente relazione sono riportati i calcoli e le verifiche relative al tombino scatolare idraulico denominato TS10, che attraversa la nuova S.S. 131 alla progressiva 148+140.

Il manufatto sarà realizzato nell'ambito del progetto di adeguamento e messa in sicurezza della S.S. 131, ed in particolare all'interno dello Stralcio 2, riguardante il tratto dal Km 108+300 al Km 158+000.

I carichi agenti sono stati valutati in accordo con quanto previsto dalla vigente normativa; in particolare le azioni sono quelle tipiche di una struttura interrata. Sono stati considerati inoltre i carichi indotti dal traffico autostradale e si è tenuto conto degli effetti sul calcestruzzo delle azioni termiche.

Le azioni considerate nel calcolo sono quelle tipiche di una struttura interrata con le aggiunte delle azioni di tipo stradale, ai sensi delle NTC 2018.

L'opera ricade in zona sismica, pertanto, saranno applicate le azioni di rito previste dalla norma, così come riportato nei capitoli successivi.

1.1 Descrizione dell'opera

Il tombino in oggetto ha dimensioni interne 2.00 m x 2.00 m. Lo spessore delle pareti, della fondazione e del traverso è di 35 cm.

Si riportano i dati geometrici della struttura:

| | |
|--|----------|
| Altezza esterna | 2.70 [m] |
| Larghezza esterna | 2.70 [m] |
| Lunghezza mensola di fondazione sinistra | 0.00 [m] |
| Lunghezza mensola di fondazione destra | 0.00 [m] |
| Spessore piedritto sinistro | 0.35 [m] |
| Spessore piedritto destro | 0.35 [m] |
| Spessore fondazione | 0.35 [m] |
| Spessore traverso | 0.35 [m] |

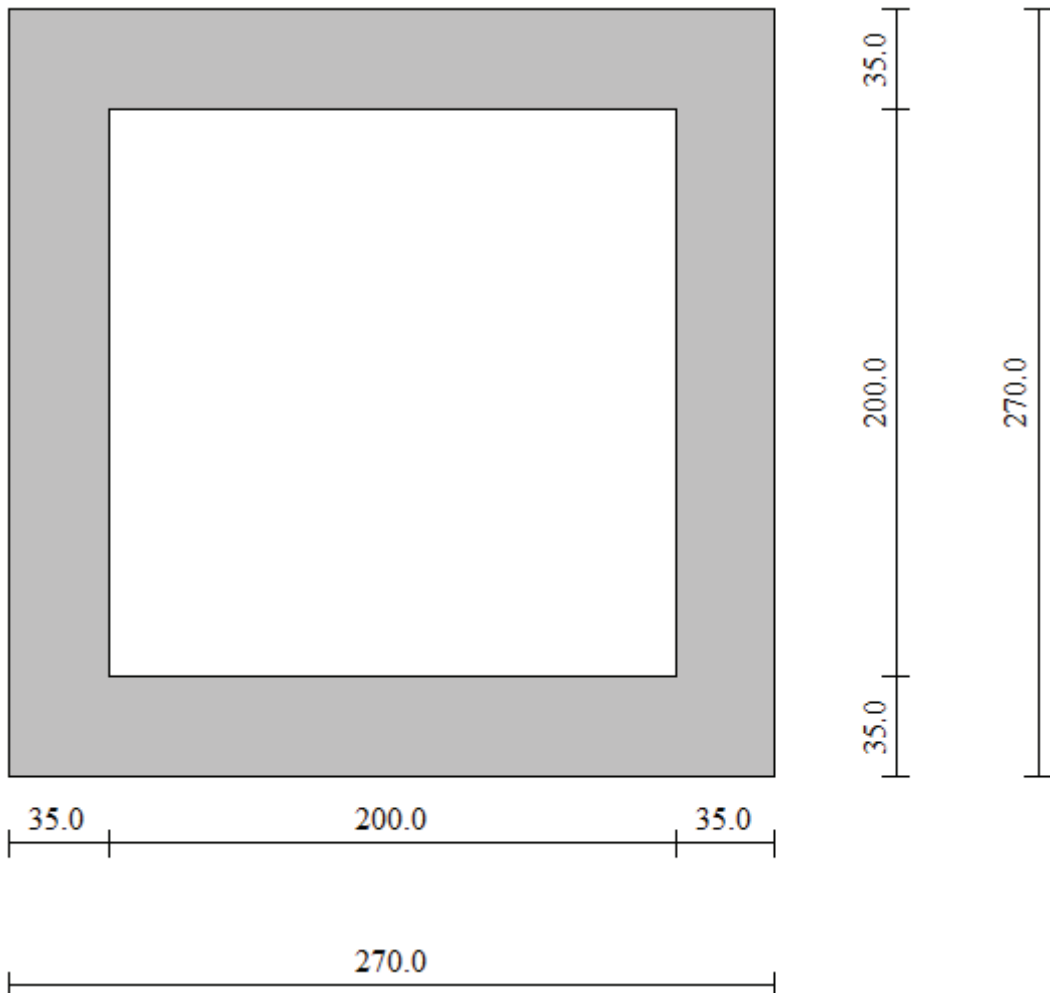


Figura 1 – Sezione trasversale del tombino

2 NORMATIVE DI RIFERIMENTO

Nella progettazione sono state tenute in conto le seguenti normative:

- Legge 05/11/71 n. 1086 – “Norme per la disciplina delle opere in conglomerato cementizio, normale e precompresso ed a struttura metallica”
- Legge 02/02/74 n. 64 – “Provvedimenti per le costruzioni con particolari prescrizioni per le zone sismiche”
- Circolare Ministero dei Lavori Pubblici 14-2-1974 n.11951 – “Applicazione delle norme sul cemento armato”
- D.M. del 11-3-1988 – “Norme tecniche riguardanti le indagini sui terreni e sulle rocce, la stabilità dei pendii naturali e delle scarpate, i criteri generali e le prescrizioni per la progettazione, l'esecuzione e il collaudo delle opere di sostegno delle terre e delle opere di fondazione”
- D.M. del 16-1-1996 – “Norme tecniche relative ai criteri generali per la verifica di sicurezza delle costruzioni e dei carichi e sovraccarichi”
- Circolare del 4-7-1996 – “Istruzioni per l'applicazione delle Norme tecniche relative ai criteri generali per la verifica di sicurezza delle costruzioni e dei carichi e sovraccarichi” di cui al D.M. del 16-1-1996”
- D.M. del 16-1-1996 – “Norme tecniche per le costruzioni in zone sismiche”
- Circolare del 15-10-1996 – “Istruzioni per l'applicazione delle “Norme tecniche per il calcolo, l'esecuzione e il collaudo delle strutture in cemento armato, normale e precompresso e per le strutture metalliche” di cui al D.M. del 9-1-1996”
- Circolare del 10-4-1997 – “Istruzioni per l'applicazione delle «Norme tecniche per le costruzioni in zone sismiche» di cui al D.M. 16 gennaio 1996
- O.P.C.M. del 20-3-2003 – “Primi elementi in materia di criteri generali per la classificazione sismica del territorio nazionale e di norme tecniche per le costruzioni in zona sismica”
- D.M. del 14-9-2005 – “Norme tecniche per le costruzioni”
- D.M. del 14-1-2008 – “Norme tecniche per le costruzioni” (NTC 2008)
- Circolare 2-2-2009 – “Istruzioni per l'applicazione delle “Norme tecniche per le costruzioni” di cui al D.M. 14 gennaio 2008”

- D.M. del 17-1-2018 – "Norme tecniche per le costruzioni" (NTC 2018)
- Circolare 21/01/2019 n.7
- Servizio Tecnico Centrale presso la Presidenza del Consiglio Superiore dei Lavori Pubblici, settembre 2017 – "Linee guida per la messa in opera del calcestruzzo strutturale"
- CNR 10024/86 – "Analisi di strutture mediante elaboratore: impostazione e redazione delle relazioni di calcolo"
- UNI EN 1990:2006 13/04/2006 Eurocodice 0 - Criteri generali di progettazione strutturale
- UNI EN 1991 Eurocodice 1 - Azioni sulle strutture
- UNI EN 1992 Eurocodice 2 - Progettazione delle strutture di calcestruzzo
- UNI EN 1997 Eurocodice 7 - Progettazione geotecnica
- UNI EN 1998 Eurocodice 8 - Progettazione delle strutture per la resistenza sismica
- "Linee guida per sistemi costruttivi a pannelli portanti basati sull'impiego di blocchi cassero e calcestruzzo debolmente armato gettato in opera", C.S.LL.PP., luglio 2011

3 CARATTERISTICHE DEI MATERIALI

3.1 Calcestruzzo

3.1.1 Tombini

C32/40 classe di resistenza

R_{ck} = 40.00 MPa resistenza caratteristica cubica a 28 giorni

$f_{ck} = 0.83 R_{ck}$ = 33.20 MPa resistenza caratteristica cilindrica a compressione

γ = 25 kN/m³ peso specifico

Stato limite ultimo SLU:

$$f_{cd} = \frac{0.85 f_{ck}}{\gamma_c} = 18.81 \text{ MPa}$$

In accordo con le NTC2018, il coefficiente parziale di sicurezza da utilizzare viene posto pari a 1.5.

Stato limite delle tensioni di esercizio SLE:

$\sigma_c = 0.6 f_{ck} = 19.92 \text{ MPa}$ (combinazione rara)

$\sigma_c = 0.45 f_{ck} = 14.94 \text{ MPa}$ (combinazione quasi-permanente)

Stato limite di apertura delle fessure SLF:

$w_1 = 0.2 \text{ mm}$ (ambiente aggressivo, armatura sensibile, comb. quasi-permanente)

$w_2 = 0.3 \text{ mm}$ (ambiente aggressivo, armatura sensibile, combinazione frequente)

Classe minima di consistenza S4

Classe di esposizione ambientale XC4

Copriferro minimo 50 mm

Diametro massimo inerti 32 mm

Rapporto acqua/cemento massimo 0.50

Contenuto minimo di cemento 340 kg/mc

3.1.2 Muri d'ala – fondazioni

C25/30 classe di resistenza

R_{ck} = 30.00 MPa resistenza caratteristica cubica a 28 giorni

$f_{ck} = 0.83 R_{ck}$ = 24.90 MPa resistenza caratteristica cilindrica a compressione

γ = 25 kN/m³ peso specifico

Stato limite ultimo SLU:

$$f_{cd} = \frac{0.85 f_{ck}}{\gamma_c} = 14.11 \text{ MPa}$$

In accordo con le NTC2018, il coefficiente parziale di sicurezza da utilizzare viene posto pari a 1.5.

Stato limite delle tensioni di esercizio SLE:

$$\sigma_c = 0.6 f_{ck} = 14.94 \text{ MPa} \quad (\text{combinazione rara})$$

$$\sigma_c = 0.45 f_{ck} = 11.20 \text{ MPa} \quad (\text{combinazione quasi-permanente})$$

Stato limite di apertura delle fessure SLF:

$$w_1 = 0.2 \text{ mm} \quad (\text{ambiente aggressivo, armatura sensibile, comb. quasi-permanente})$$

$$w_2 = 0.3 \text{ mm} \quad (\text{ambiente aggressivo, armatura sensibile, combinazione frequente})$$

a favore di sicurezza, anche per le fondazioni dei muri è stato considerato un ambiente aggressivo, anche se in realtà la classe di esposizione è corrispondente a condizioni ambientali ordinarie.

Classe minima di consistenza S4

Classe di esposizione ambientale XC2

Copriferro minimo 50 mm

Diametro massimo inerti 32 mm

Rapporto acqua/cemento massimo 0.60

Contenuto minimo di cemento 300 kg/mc

3.1.3 Muri d'ala – elevazioni

Le caratteristiche delle parti in elevazione dei muri d'ala sono analoghe a quelle dei tombini (§3.1.1). Tuttavia, a favore di sicurezza, i calcoli e le verifiche sono effettuati assumendo le medesime caratteristiche delle fondazioni (§3.1.2).

3.2 Acciaio armatura ordinaria

B450C (controllato in stabilimento)

f_{yk} ≥ 450.00 MPa tensione caratteristica di snervamento

E_s = 210000 MPa modulo elastico

γ = 78.5 kN/m³ peso specifico

n = 15 rapporto di omogeneizzazione acciaio-calcestruzzo

Stato limite ultimo SLU:

$$f_{yd} = \frac{f_{yk}}{\gamma_s} = \frac{f_{yk}}{1.15} = 391.30 \text{ MPa}$$

Stato limite delle tensioni di esercizio SLE:

$$\sigma_s = 0.8 f_{yk} = 360 \text{ MPa}$$

3.3 Durabilità e prescrizioni sui materiali

Per garantire la durabilità delle strutture in calcestruzzo armato ordinario, esposte all'azione dell'ambiente, si devono adottare i provvedimenti atti a limitare gli effetti di degrado indotti dall'attacco chimico, fisico e derivante dalla corrosione delle armature e dai cicli di gelo e disgelo.

Al fine di ottenere la prestazione richiesta in funzione delle condizioni ambientali, nonché per la definizione della relativa classe, si fa riferimento alle indicazioni contenute nelle Linee Guida sul calcestruzzo strutturale edite dal Servizio Tecnico Centrale del Consiglio Superiore dei Lavori Pubblici ovvero alle norme UNI EN 206-1:2006 ed UNI 11104:2004.

Ai fini di preservare le armature dai fenomeni di aggressione ambientale, dovrà essere previsto un idoneo copriferro; il suo valore, misurato tra la parete interna del cassero e la generatrice dell'armatura metallica più vicina, individua il cosiddetto "copriferro nominale".

Il copriferro nominale c_{nom} è somma di due contributi, il copriferro minimo c_{min} e la tolleranza di posizionamento h . Vale pertanto: $c_{nom} = c_{min} + h$.

La tolleranza di posizionamento delle armature "h", per le strutture gettate in opera, può essere assunta pari a 5 mm, nell'ipotesi in cui sia previsto controllo di qualità con misura dei copriferrri.

Il copriferro è valutato in accordo a quanto prescritto nella Norma UNI EN 1992-1-1, mentre la classe di resistenza minima è definita in accordo al Prospetto 4 della Norma UNI 11104:2004.

le condizioni ambientali ed i relativi limiti di apertura delle fessure accettabili per ciascun elemento strutturale sono stabiliti in accordo con quanto previsto nelle tabelle 4.1.III e 4.1.IV delle NTC 2018.

| Condizioni ambientali | Classe di esposizione |
|-----------------------|-----------------------------------|
| Ordinarie | X0, XC1, XC2, XC3, XF1 |
| Aggressive | XC4, XD1, XS1, XA1, XA2, XF2, XF3 |
| Molto aggressive | XD2, XD3, XS2, XS3, XA3, XF4 |

Tabella 1 – Descrizione delle condizioni ambientali (tabella 4.1.III NTC 2018)

Nella tabella 4.1.IV delle NTC 2018, riportata di seguito per comodità, sono indicati i criteri di scelta dello stato limite di fessurazione con riferimento alle condizioni ambientale e al tipo di armatura.

| Gruppi di esigenze | Condizioni ambientali | Combinazione di azioni | Armatura | | | |
|--------------------|-----------------------|------------------------|--------------------|------------------|----------------|------------------|
| | | | Sensibile | | Poco sensibile | |
| | | | Stato limite | w _d | Stato limite | w _d |
| a | Ordinarie | frequente | ap. fessure | ≤ w ₂ | ap. fessure | ≤ w ₃ |
| | | quasi permanente | ap. fessure | ≤ w ₁ | ap. fessure | ≤ w ₂ |
| b | Aggressive | frequente | ap. fessure | ≤ w ₁ | ap. fessure | ≤ w ₂ |
| | | quasi permanente | decompressione | - | ap. fessure | ≤ w ₁ |
| c | Molto aggressive | frequente | formazione fessure | - | ap. fessure | ≤ w ₁ |
| | | quasi permanente | decompressione | - | ap. fessure | ≤ w ₁ |

Tabella 2 – Criteri di scelta dello stato limite di fessurazione (tabella 4.1.IV NTC 2018)

4 CRITERI DI CALCOLO

4.1 Calcolo del carico sulla calotta

La pressione in calotta viene calcolata come prodotto tra il peso di volume del terreno per l'altezza del ricoprimento (spessore dello strato di terreno superiore). Quindi la pressione in calotta è fornita dalla seguente relazione:

$$P_v = \gamma H$$

Se sul profilo del piano campagna sono presenti dei sovraccarichi, concentrati e/o distribuiti, la diffusione di questi nel terreno avviene secondo un angolo, rispetto alla verticale, pari all'angolo di attrito del terreno di ricoprimento.

4.2 Spinta sui piedritti

4.2.1 Spinta attiva - Metodo di Coulomb

La teoria di Coulomb considera l'ipotesi di un cuneo di spinta a monte della parete che si muove rigidamente lungo una superficie di rottura rettilinea. Dall'equilibrio del cuneo si ricava la spinta che il terreno esercita sull'opera di sostegno. In particolare Coulomb ammette, al contrario della teoria di Rankine, l'esistenza di attrito fra il terreno e la parete, e quindi la retta di spinta risulta inclinata rispetto alla normale alla parete stesso di un angolo di attrito terra-parete.

L'espressione della spinta esercitata da un terrapieno, di peso di volume γ , su una parete di altezza H , risulta espressa secondo la teoria di Coulomb dalla seguente relazione (per terreno incoerente)

$$S = 1/2 \gamma H^2 K_a$$

dove K_a rappresenta il coefficiente di spinta attiva di Coulomb nella versione riveduta da Muller-Breslau, espresso come

$$K_a = \frac{\sin(\alpha + \varphi)}{\sin^2 \alpha \sin(\alpha - \delta) \left(1 + \sqrt{\frac{\sin(\varphi + \delta) \sin(\varphi - \beta)}{\sin(\alpha - \delta) \sin(\alpha + \beta)}} \right)}$$

$$K_a = \frac{\sin(\alpha + \varphi)}{\sin^2 \alpha \sin(\alpha - \delta) \left(1 + \sqrt{\frac{\sin(\varphi + \delta) \sin(\varphi - \beta)}{\sin(\alpha - \delta) \sin(\alpha + \beta)}} \right)}$$



dove ϕ è l'angolo d'attrito del terreno, α rappresenta l'angolo che la parete forma con l'orizzontale ($\alpha = 90^\circ$ per parete verticale), δ è l'angolo d'attrito terreno-parete, β è l'inclinazione del terrapieno rispetto all'orizzontale.

La spinta risulta inclinata dell'angolo d'attrito terreno-parete δ rispetto alla normale alla parete.

Il diagramma delle pressioni del terreno sulla parete risulta triangolare con il vertice in alto. Il punto di applicazione della spinta si trova in corrispondenza del baricentro del diagramma delle pressioni ($1/3 H$ rispetto alla base della parete). L'espressione di K_a perde di significato per $\beta > \phi$. Questo coincide con quanto si intuisce fisicamente: la pendenza del terreno a monte della parete non può superare l'angolo di naturale declivio del terreno stesso.

Nel caso di terreno dotato di attrito e coesione c l'espressione della pressione del terreno ad una generica profondità z vale

$$\sigma_a = \gamma z K_a - 2c\sqrt{K_a}$$

4.2.2 Spinta in presenza di falda

Nel caso in cui a monte della parete sia presente la falda il diagramma delle pressioni sulla parete risulta modificato a causa della sottospinta che l'acqua esercita sul terreno. Il peso di volume del terreno al di sopra della linea di falda non subisce variazioni. Viceversa al di sotto del livello di falda va considerato il peso di volume di galleggiamento

$$\gamma_a = \gamma_{sat} - \gamma_w$$

dove γ_{sat} è il peso di volume saturo del terreno (dipendente dall'indice dei pori) e γ_w è il peso di volume dell'acqua. Quindi il diagramma delle pressioni al di sotto della linea di falda ha una pendenza minore. Al diagramma così ottenuto va sommato il diagramma triangolare legato alla pressione idrostatica esercitata dall'acqua.

4.2.3 Spinta a Riposo

Si assume che sui piedritti agisca la spinta calcolata in condizioni di riposo.

Il coefficiente di spinta a riposo è espresso dalla relazione

$$K_0 = 1 - \sin \phi$$

dove ϕ rappresenta l'angolo d'attrito interno del terreno di rinfianco.

Quindi la pressione laterale, ad una generica profondità z e la spinta totale sulla parete di altezza H valgono

$$\sigma = \gamma z K_0 + p_v K_0$$

$$S = 1/2 \gamma H^2 K_0 + p_v K_0 H$$

dove p_v è la pressione verticale agente in corrispondenza della calotta.

4.2.4 Spinta in presenza di sisma - Metodo di Mononobe-Okabe

Per tener conto dell'incremento di spinta dovuta al sisma si fa riferimento al metodo di Mononobe-Okabe (cui fa riferimento la Normativa Italiana).

La Normativa Italiana suggerisce di tener conto di un incremento di spinta dovuto al sisma nel modo seguente.

Detta ϵ l'inclinazione del terrapieno rispetto all'orizzontale e β l'inclinazione della parete rispetto alla verticale, si calcola la spinta S' considerando un'inclinazione del terrapieno e della parete pari a

$$\epsilon' = \epsilon + \theta$$

$$\beta' = \beta + \theta$$

dove $\theta = \arctg(k_h/(1 \pm k_v))$ essendo k_h il coefficiente sismico orizzontale e k_v il coefficiente sismico verticale, definito in funzione di k_h .

Detta S la spinta calcolata in condizioni statiche l'incremento di spinta da applicare è espresso da

$$\Delta S = A S' - S$$

dove il coefficiente A vale

$$A = \frac{\cos^2(\beta+\theta)}{\cos^2 \beta \cos \theta}$$

Tale incremento di spinta deve essere applicato ad una distanza dalla base pari a $1/2$ dell'altezza della parete.

Oltre a questo incremento bisogna tener conto delle forze d'inerzia orizzontali che si destano per effetto del sisma. Tale forza viene valutata come

$$F_i = CW$$

dove W è il peso della parete e dei relativi sovraccarichi permanenti e va applicata nel baricentro dei pesi.

4.3 Verifica al carico limite

Il rapporto fra il carico limite in fondazione e la componente normale della risultante dei carichi trasmessi dal muro sul terreno di fondazione deve essere superiore a η_q . Cioè, detto Q_u , il carico limite ed R la risultante verticale dei carichi in fondazione, deve essere:

$$\frac{Q_u}{R} \geq \eta_q$$

Terzaghi ha proposto la seguente espressione per il calcolo della capacità portante di una fondazione superficiale.

$$q_u = c N_c s_c + q N_q + 0.5B \gamma N_y s_y$$

La simbologia adottata è la seguente:

- c coesione del terreno in fondazione;
- ϕ angolo di attrito del terreno in fondazione;
- γ peso di volume del terreno in fondazione;
- B larghezza della fondazione;
- D profondità del piano di posa;
- q pressione geostatica alla quota del piano di posa.

I fattori di capacità portante sono espressi dalle seguenti relazioni:

La formula di **Vesic** è analoga alla formula di **Hansen**. Cambia solo il fattore N_y e l'espressione di alcuni coefficienti.

Di seguito sono riportate per intero tutte le espressioni.

Caso generale

$$q_u = c N_c s_c d_c i_c g_c b_c + q N_q s_q d_q i_q g_q b_q + 0.5 B \gamma N_y s_y d_y i_y g_y b_y$$

Caso di terreno puramente coesivo $\phi = 0$

$$q_u = 5.14 c (1+s_c+d_c-i_c-g_c-b_c) + q$$

I fattori che compaiono in queste espressioni sono espressi da:

$$N_q = e^{\pi \operatorname{tg} \phi} K_p$$

$$N_c = (N_q - 1) \operatorname{ctg} \phi$$

$$N_y = 2(N_q + 1) \operatorname{tg} \phi$$

Fatori di forma:

| per $\phi = 0$ | per $\phi > 0$ |
|----------------|--|
| | $s_c = 1 + \frac{N_q}{N_c} \frac{B}{L}$ $s_q = 1 + \frac{B}{L} \operatorname{tg} \phi$ $s_y = 1 - 0.4 \frac{B}{L}$ |

Fattori di profondità:

Si definisce il parametro k come:

$$k = \frac{D}{B} \quad \text{se} \quad \frac{D}{B} \leq 1$$

$$k = \operatorname{arctg} \frac{D}{B} \quad \text{se} \quad \frac{D}{B} > 1$$

| per $\phi = 0$ | per $\phi > 0$ |
|--|--|
| $d_c = 0.4k$ $d_q = 1 + 2\operatorname{tg} \phi (1 - \sin \phi)^2 k$ $d_y = 1$ | $d_c = 1 + 0.4k$ $d_q = 1 + 2\operatorname{tg} \phi (1 - \sin \phi)^2 k$ $d_y = 1$ |

Fattori di inclinazione del carico:

Definito il parametro:

$$m = \frac{2 + B/L}{1 + B/L}$$

| per $\phi = 0$ | per $\phi > 0$ |
|--------------------------------|-------------------------------------|
| $i_c = \frac{mH}{A_f c_a N_c}$ | $i_c = i_q - \frac{1-i_q}{N_q - 1}$ |

| | |
|--|--|
| | $i_q = \left(1 - \frac{H}{V + A_f c_a \operatorname{ctg} \phi}\right)^m$ |
| | $i_y = \left(1 - \frac{H}{V + A_f c_a \operatorname{ctg} \phi}\right)^{m+1}$ |

Fattori di inclinazione del piano di posa della fondazione:

| per $\phi = 0$ | per $\phi > 0$ |
|--------------------------------------|---|
| $b_c = \frac{\eta^\circ}{147^\circ}$ | $b_c = 1 - \frac{\eta^\circ}{147^\circ}$ $b_q = b_y = (1 - \eta \operatorname{tg} \phi)^2$ |

Fattori di inclinazione del terreno:

Indicando con β la pendenza del pendio

| per $\phi = 0$ | per $\phi > 0$ |
|---------------------------------------|---|
| $g_c = \frac{\beta^\circ}{147^\circ}$ | $g_c = 1 - \frac{\beta^\circ}{147^\circ}$ $g_q = g_y = (1 - \operatorname{tg} \beta)^2$ |

Il carico ultimo fornito dalle varie formule sopra riportate è un carico ultimo unitario (Forza/Unità di superficie). Il carico limite in fondazione è fornito quindi dalla relazione:

$$Q_{\lim} = q_{ult} B'L$$

con $B' = B - 2e$

dove B ed L sono la larghezza e la lunghezza della fondazione ed e è l'eccentricità del carico. Risulta evidente che il carico ultimo e quindi il relativo coefficiente di sicurezza dipende, a parità di altri fattori, anche dall'entità della spinta (cambia infatti l'eccentricità).

5 MODELLAZIONE AGLI ELEMENTI FINITI

5.1 Programma di calcolo utilizzato

5.1.1 Origine e caratteristiche dei codici di calcolo

Titolo SCAT - Analisi Strutture Scatolari

Versione 14.0

Produttore Aztec Informatica srl, Casole Bruzio (CS)

Utente Duomi S.r.l.

Licenza AIU2302G8



5.1.2 Affidabilità dei codici di calcolo

Un attento esame preliminare della documentazione a corredo del software ha consentito di valutarne l'affidabilità. La documentazione fornita dal produttore del software contiene un'esauriente descrizione delle basi teoriche, degli algoritmi impiegati e l'individuazione dei campi d'impiego. La società produttrice Aztec Informatica srl ha verificato l'affidabilità e la robustezza del codice di calcolo attraverso un numero significativo di casi prova in cui i risultati dell'analisi numerica sono stati confrontati con soluzioni teoriche.

I risultati delle elaborazioni sono stati sottoposti a controlli che ne comprovano l'attendibilità. Tale valutazione ha compreso il confronto con i risultati di semplici calcoli, eseguiti con metodi tradizionali e adottati, anche in fase di primo proporzionamento della struttura. Inoltre, Scatolare pk 148+140 - TS10 SU S15 - Relazione tecnica e di calcolo

20

RTT di progettazione:



Mandataria

Via G.B. Sammartini n°5
20125 - Milano
Tel. 02 6787911
email: mail@proiter.it



Mandante

Via Artemide n°3
92100 Agrigento
Tel. 0922 421007
email: deltaingegneria@pec.it

sulla base di considerazioni riguardanti gli stati tensionali e deformativi determinati, si è valutata la validità delle scelte operate in sede di schematizzazione e di modellazione della struttura e delle azioni.

5.1.3 Modalità di presentazione dei risultati

La relazione di calcolo strutturale presenta i dati di calcolo tale da garantirne la leggibilità, la corretta interpretazione e la riproducibilità. La relazione di calcolo illustra in modo esaustivo i dati in ingresso ed i risultati delle analisi in forma tabellare.

5.1.4 Informazioni generali sull'elaborazione

Il software prevede una serie di controlli automatici che consentono l'individuazione di errori di modellazione, di non rispetto di limitazioni geometriche e di armatura e di presenza di elementi non verificati. Il codice di calcolo consente di visualizzare e controllare, sia in forma grafica che tabellare, i dati del modello strutturale, in modo da avere una visione consapevole del comportamento corretto del modello strutturale.

5.2 Valutazione dei risultati e giudizio sulla loro accettabilità

I risultati delle elaborazioni sono stati sottoposti a controlli dal sottoscritto utente del software. Tale valutazione ha compreso il confronto con i risultati di semplici calcoli, eseguiti con metodi tradizionali. Inoltre sulla base di considerazioni riguardanti gli stati tensionali e deformativi determinati, si è valutata la validità delle scelte operate in sede di schematizzazione e di modellazione della struttura e delle azioni.

Le configurazioni studiate per la struttura in esame sono risultate effettivamente esaustive per la progettazione-verifica.

In base a quanto sopra, si può concludere che l'elaborazione è corretta ed idonea al caso specifico, pertanto i risultati di calcolo sono da ritenersi validi ed accettabili.

5.3 Strategia di soluzione

La struttura scatolare viene schematizzata come un telaio piano e viene risolta mediante il metodo degli elementi finiti (FEM). Più dettagliatamente, il telaio viene discretizzato in una serie di elementi connessi fra di loro nei nodi.

A partire dalla matrice di rigidezza del singolo elemento, K_e , si assembla la matrice di rigidezza di tutta la struttura K . Tutti i carichi agenti sulla struttura vengono trasformati in carichi nodali (reazioni di incastro perfetto) ed inseriti nel vettore dei carichi nodali p .

Indicando con u il vettore degli spostamenti nodali (incogniti), la relazione risolutiva può essere scritta nella forma

$$K u = p$$

Da questa equazione matriciale si ricavano gli spostamenti incogniti u :

$$u = K^{-1} p$$

Noti gli spostamenti nodali è possibile risalire alle sollecitazioni nei vari elementi.

La soluzione del sistema viene determinata per ogni combinazione di carico agente sullo scatolare. Il successivo calcolo delle armature nei vari elementi viene condotto tenendo conto delle condizioni più gravose che si possono verificare nelle sezioni fra tutte le combinazioni di carico.

Il programma *SCAT* è dedicato all'analisi ed al calcolo di strutture scatolari sia completamente sia parzialmente interrate. Le diverse tipologie di scatolari che è possibile analizzare con *SCAT* sono: rettangolare, rettangolare con angoli smussati, rettangolare con setto intermedio, circolare, ellittico, con sezione tipo vasca, con sezione tipo galleria (dotata cioè di piedritti, calotta ed arco rovescio).

E' possibile analizzare scatolari in calcestruzzo o materiale generico, definendo quindi le caratteristiche delle sezioni (area, spessore, inerzia, modulo di resistenza) di ogni elemento presente.

La caratterizzazione del terreno in cui la struttura è immersa è suddiviso nei tre strati: ricoprimento, rinfianco e di fondazione. Per ogni strato occorre fornire i valori dei parametri fisici e meccanici più comuni (peso di volume, angolo di attrito, attrito terreno - struttura, coesione, adesione, costante di Winkler, etc.).

Per simulare il comportamento del terreno di fondazione ed il terreno di rinfianco vengono inserite delle molle alla Winkler non reagenti a trazione. L'area delle molle è proporzionale alla costante di Winkler del terreno di base (per le molle in fondazione) e del terreno di rinfianco (per le molle sui piedritti). Viene effettuata quindi l'analisi al passo per tener conto delle molle che devono essere eliminate (molle in trazione) dalla matrice globale.

L'analisi così condotta fornisce i risultati in termini di spostamenti. Dagli spostamenti si risale alle sollecitazioni nodali ed alle pressioni sul terreno.

SCAT consente di inserire carichi sia sul terreno di ricoprimento sia sulla struttura.

L'operazione di inserimento, spostamento, modifica e cancellazione dei carichi è resa agevola da procedure grafiche o numeriche presenti nel programma.

I carichi sono gestiti tramite condizioni di carico, che l'Utente può definire come accidentali o permanenti. Le condizioni di carico possono essere combinate con coefficienti di partecipazione definibili dall'Utente.

Illimitato è il numero sia di condizioni che di combinazioni di carico definibili. E' in più presente nel programma una procedura ottimizzata per la generazione automatica delle combinazioni.

Una volta effettuata l'analisi dei carichi per ciascuna combinazione di carico, *SCAT* procede alla discretizzazione della struttura in elementi tipo trave dotati ciascuno della relativa area ed inerzia (secondo il metodo degli elementi finiti).

Sullo scatolare si possono inserire vincoli sia fissi che elastici. Inoltre è possibile considerare il traverso poggiato sui piedritti o i piedritti incernierati sulla fondazione.

L'analisi può essere eseguita sia in condizioni statiche che sismiche. Il progetto e la verifica delle sezioni può essere eseguito secondo il metodo delle Tensioni Ammissibili o secondo la teoria degli Stati Limite.

Al termine dell'analisi, è possibile visualizzare tutti i risultati in finestre numeriche e grafiche.

L'origine del sistema di riferimento viene posta in corrispondenza dello spigolo inferiore sinistro del tombino.

5.4 Caratteristiche degli elementi del modello

Area ed Inerzia elementi

| Destinazione | Area [cmq] | Inerzia [cm ⁴] |
|--------------------|------------|----------------------------|
| Fondazione | 3500.00 | 357291.67 |
| Piedritto sinistro | 3500.00 | 357291.67 |

Fondazione 3500.00 357291.67

Piedritto sinistro 3500.00 357291.67

Progetto Esecutivo

| | | |
|------------------|---------|-----------|
| Piedritto destro | 3500.00 | 357291.67 |
| Traverso | 3500.00 | 357291.67 |

*Simbologia adottata ed unità di misura**N* indice elemento*N_i* indice nodo iniziale elemento*N_j* indice nodo finale elemento*(X_i, Y_i)* coordinate nodo iniziale, espresse in cm*(X_j, Y_j)* coordinate nodo finale, espresse in cm*Dest* appartenenza elemento

| N | N _i | N _j | X _i | Y _i | X _j | Y _j | Dest |
|----|----------------|----------------|----------------|----------------|----------------|----------------|-------|
| 1 | 1 | 2 | 17.50 | 17.50 | 26.25 | 17.50 | Fond |
| 2 | 2 | 3 | 26.25 | 17.50 | 35.00 | 17.50 | Fond |
| 3 | 3 | 4 | 35.00 | 17.50 | 44.09 | 17.50 | Fond |
| 4 | 4 | 5 | 44.09 | 17.50 | 53.18 | 17.50 | Fond |
| 5 | 5 | 6 | 53.18 | 17.50 | 62.27 | 17.50 | Fond |
| 6 | 6 | 7 | 62.27 | 17.50 | 71.36 | 17.50 | Fond |
| 7 | 7 | 8 | 71.36 | 17.50 | 80.45 | 17.50 | Fond |
| 8 | 8 | 9 | 80.45 | 17.50 | 89.55 | 17.50 | Fond |
| 9 | 9 | 10 | 89.55 | 17.50 | 98.64 | 17.50 | Fond |
| 10 | 10 | 11 | 98.64 | 17.50 | 107.73 | 17.50 | Fond |
| 11 | 11 | 12 | 107.73 | 17.50 | 116.82 | 17.50 | Fond |
| 12 | 12 | 13 | 116.82 | 17.50 | 125.91 | 17.50 | Fond |
| 13 | 13 | 14 | 125.91 | 17.50 | 135.00 | 17.50 | Fond |
| 14 | 14 | 15 | 135.00 | 17.50 | 144.09 | 17.50 | Fond |
| 15 | 15 | 16 | 144.09 | 17.50 | 153.18 | 17.50 | Fond |
| 16 | 16 | 17 | 153.18 | 17.50 | 162.27 | 17.50 | Fond |
| 17 | 17 | 18 | 162.27 | 17.50 | 171.36 | 17.50 | Fond |
| 18 | 18 | 19 | 171.36 | 17.50 | 180.45 | 17.50 | Fond |
| 19 | 19 | 20 | 180.45 | 17.50 | 189.55 | 17.50 | Fond |
| 20 | 20 | 21 | 189.55 | 17.50 | 198.64 | 17.50 | Fond |
| 21 | 21 | 22 | 198.64 | 17.50 | 207.73 | 17.50 | Fond |
| 22 | 22 | 23 | 207.73 | 17.50 | 216.82 | 17.50 | Fond |
| 23 | 23 | 24 | 216.82 | 17.50 | 225.91 | 17.50 | Fond |
| 24 | 24 | 25 | 225.91 | 17.50 | 235.00 | 17.50 | Fond |
| 25 | 25 | 26 | 235.00 | 17.50 | 243.75 | 17.50 | Fond |
| 26 | 26 | 27 | 243.75 | 17.50 | 252.50 | 17.50 | Fond |
| 27 | 1 | 57 | 17.50 | 17.50 | 17.50 | 26.54 | PiedL |
| 28 | 57 | 58 | 17.50 | 26.54 | 17.50 | 35.58 | PiedL |
| 29 | 58 | 59 | 17.50 | 35.58 | 17.50 | 44.62 | PiedL |
| 30 | 59 | 60 | 17.50 | 44.62 | 17.50 | 53.65 | PiedL |
| 31 | 60 | 61 | 17.50 | 53.65 | 17.50 | 62.69 | PiedL |
| 32 | 61 | 62 | 17.50 | 62.69 | 17.50 | 71.73 | PiedL |
| 33 | 62 | 63 | 17.50 | 71.73 | 17.50 | 80.77 | PiedL |
| 34 | 63 | 64 | 17.50 | 80.77 | 17.50 | 89.81 | PiedL |



Progetto Esecutivo

| | | | | | | | |
|----|-----|-----|--------|--------|--------|--------|-------|
| 35 | 64 | 65 | 17.50 | 89.81 | 17.50 | 98.85 | PiedL |
| 36 | 65 | 66 | 17.50 | 98.85 | 17.50 | 107.88 | PiedL |
| 37 | 66 | 67 | 17.50 | 107.88 | 17.50 | 116.92 | PiedL |
| 38 | 67 | 68 | 17.50 | 116.92 | 17.50 | 125.96 | PiedL |
| 39 | 68 | 69 | 17.50 | 125.96 | 17.50 | 135.00 | PiedL |
| 40 | 69 | 70 | 17.50 | 135.00 | 17.50 | 144.04 | PiedL |
| 41 | 70 | 71 | 17.50 | 144.04 | 17.50 | 153.08 | PiedL |
| 42 | 71 | 72 | 17.50 | 153.08 | 17.50 | 162.12 | PiedL |
| 43 | 72 | 73 | 17.50 | 162.12 | 17.50 | 171.15 | PiedL |
| 44 | 73 | 74 | 17.50 | 171.15 | 17.50 | 180.19 | PiedL |
| 45 | 74 | 75 | 17.50 | 180.19 | 17.50 | 189.23 | PiedL |
| 46 | 75 | 76 | 17.50 | 189.23 | 17.50 | 198.27 | PiedL |
| 47 | 76 | 77 | 17.50 | 198.27 | 17.50 | 207.31 | PiedL |
| 48 | 77 | 78 | 17.50 | 207.31 | 17.50 | 216.35 | PiedL |
| 49 | 78 | 79 | 17.50 | 216.35 | 17.50 | 225.38 | PiedL |
| 50 | 79 | 80 | 17.50 | 225.38 | 17.50 | 234.42 | PiedL |
| 51 | 80 | 81 | 17.50 | 234.42 | 17.50 | 243.46 | PiedL |
| 52 | 81 | 157 | 17.50 | 243.46 | 17.50 | 252.50 | PiedL |
| 53 | 27 | 107 | 252.50 | 17.50 | 252.50 | 26.54 | PiedR |
| 54 | 107 | 108 | 252.50 | 26.54 | 252.50 | 35.58 | PiedR |
| 55 | 108 | 109 | 252.50 | 35.58 | 252.50 | 44.62 | PiedR |
| 56 | 109 | 110 | 252.50 | 44.62 | 252.50 | 53.65 | PiedR |
| 57 | 110 | 111 | 252.50 | 53.65 | 252.50 | 62.69 | PiedR |
| 58 | 111 | 112 | 252.50 | 62.69 | 252.50 | 71.73 | PiedR |
| 59 | 112 | 113 | 252.50 | 71.73 | 252.50 | 80.77 | PiedR |
| 60 | 113 | 114 | 252.50 | 80.77 | 252.50 | 89.81 | PiedR |
| 61 | 114 | 115 | 252.50 | 89.81 | 252.50 | 98.85 | PiedR |
| 62 | 115 | 116 | 252.50 | 98.85 | 252.50 | 107.88 | PiedR |
| 63 | 116 | 117 | 252.50 | 107.88 | 252.50 | 116.92 | PiedR |
| 64 | 117 | 118 | 252.50 | 116.92 | 252.50 | 125.96 | PiedR |
| 65 | 118 | 119 | 252.50 | 125.96 | 252.50 | 135.00 | PiedR |
| 66 | 119 | 120 | 252.50 | 135.00 | 252.50 | 144.04 | PiedR |
| 67 | 120 | 121 | 252.50 | 144.04 | 252.50 | 153.08 | PiedR |
| 68 | 121 | 122 | 252.50 | 153.08 | 252.50 | 162.12 | PiedR |
| 69 | 122 | 123 | 252.50 | 162.12 | 252.50 | 171.15 | PiedR |
| 70 | 123 | 124 | 252.50 | 171.15 | 252.50 | 180.19 | PiedR |
| 71 | 124 | 125 | 252.50 | 180.19 | 252.50 | 189.23 | PiedR |
| 72 | 125 | 126 | 252.50 | 189.23 | 252.50 | 198.27 | PiedR |
| 73 | 126 | 127 | 252.50 | 198.27 | 252.50 | 207.31 | PiedR |
| 74 | 127 | 128 | 252.50 | 207.31 | 252.50 | 216.35 | PiedR |
| 75 | 128 | 129 | 252.50 | 216.35 | 252.50 | 225.38 | PiedR |
| 76 | 129 | 130 | 252.50 | 225.38 | 252.50 | 234.42 | PiedR |
| 77 | 130 | 131 | 252.50 | 234.42 | 252.50 | 243.46 | PiedR |
| 78 | 131 | 172 | 252.50 | 243.46 | 252.50 | 252.50 | PiedR |
| 79 | 157 | 158 | 17.50 | 252.50 | 35.00 | 252.50 | Trav |
| 80 | 158 | 159 | 35.00 | 252.50 | 50.66 | 252.50 | Trav |
| 81 | 159 | 160 | 50.66 | 252.50 | 65.66 | 252.50 | Trav |

Scatolare pk 148+140 - TS10 SU S15 - Relazione tecnica e di calcolo

25

RTI di progettazione:**Mandataria**

Via G.B. Sammartini n°5
20125 - Milano
Tel. 02 6787911
email: mail@proiter.it

**Mandante**

Via Artemide n°3
92100 Agrigento
Tel. 0922 421007
email: deltaingegneria@pec.it

| Progetto Esecutivo | | | | | | | |
|--------------------|-----|-----|--------|--------|--------|--------|---------|
| 82 | 160 | 161 | 65.66 | 252.50 | 80.66 | 252.50 | Trav |
| 83 | 161 | 162 | 80.66 | 252.50 | 95.66 | 252.50 | Trav |
| 84 | 162 | 163 | 95.66 | 252.50 | 110.66 | 252.50 | Trav |
| 85 | 163 | 164 | 110.66 | 252.50 | 125.66 | 252.50 | Trav |
| 86 | 164 | 165 | 125.66 | 252.50 | 135.00 | 252.50 | Trav |
| 87 | 165 | 166 | 135.00 | 252.50 | 151.87 | 252.50 | Trav |
| 88 | 166 | 167 | 151.87 | 252.50 | 168.74 | 252.50 | Trav |
| 89 | 167 | 168 | 168.74 | 252.50 | 185.60 | 252.50 | Trav |
| 90 | 168 | 169 | 185.60 | 252.50 | 202.47 | 252.50 | Trav |
| 91 | 169 | 170 | 202.47 | 252.50 | 219.34 | 252.50 | Trav |
| 92 | 170 | 171 | 219.34 | 252.50 | 235.00 | 252.50 | Trav |
| 93 | 171 | 172 | 235.00 | 252.50 | 252.50 | 252.50 | Trav |
| 94 | 1 | 28 | 17.50 | 17.50 | 17.50 | -82.50 | MollaF |
| 95 | 2 | 29 | 26.25 | 17.50 | 26.25 | -82.50 | MollaF |
| 96 | 3 | 30 | 35.00 | 17.50 | 35.00 | -82.50 | MollaF |
| 97 | 4 | 31 | 44.09 | 17.50 | 44.09 | -82.50 | MollaF |
| 98 | 5 | 32 | 53.18 | 17.50 | 53.18 | -82.50 | MollaF |
| 99 | 6 | 33 | 62.27 | 17.50 | 62.27 | -82.50 | MollaF |
| 100 | 7 | 34 | 71.36 | 17.50 | 71.36 | -82.50 | MollaF |
| 101 | 8 | 35 | 80.45 | 17.50 | 80.45 | -82.50 | MollaF |
| 102 | 9 | 36 | 89.55 | 17.50 | 89.55 | -82.50 | MollaF |
| 103 | 10 | 37 | 98.64 | 17.50 | 98.64 | -82.50 | MollaF |
| 104 | 11 | 38 | 107.73 | 17.50 | 107.73 | -82.50 | MollaF |
| 105 | 12 | 39 | 116.82 | 17.50 | 116.82 | -82.50 | MollaF |
| 106 | 13 | 40 | 125.91 | 17.50 | 125.91 | -82.50 | MollaF |
| 107 | 14 | 41 | 135.00 | 17.50 | 135.00 | -82.50 | MollaF |
| 108 | 15 | 42 | 144.09 | 17.50 | 144.09 | -82.50 | MollaF |
| 109 | 16 | 43 | 153.18 | 17.50 | 153.18 | -82.50 | MollaF |
| 110 | 17 | 44 | 162.27 | 17.50 | 162.27 | -82.50 | MollaF |
| 111 | 18 | 45 | 171.36 | 17.50 | 171.36 | -82.50 | MollaF |
| 112 | 19 | 46 | 180.45 | 17.50 | 180.45 | -82.50 | MollaF |
| 113 | 20 | 47 | 189.55 | 17.50 | 189.55 | -82.50 | MollaF |
| 114 | 21 | 48 | 198.64 | 17.50 | 198.64 | -82.50 | MollaF |
| 115 | 22 | 49 | 207.73 | 17.50 | 207.73 | -82.50 | MollaF |
| 116 | 23 | 50 | 216.82 | 17.50 | 216.82 | -82.50 | MollaF |
| 117 | 24 | 51 | 225.91 | 17.50 | 225.91 | -82.50 | MollaF |
| 118 | 25 | 52 | 235.00 | 17.50 | 235.00 | -82.50 | MollaF |
| 119 | 26 | 53 | 243.75 | 17.50 | 243.75 | -82.50 | MollaF |
| 120 | 27 | 54 | 252.50 | 17.50 | 252.50 | -82.50 | MollaF |
| 121 | 1 | 55 | 17.50 | 17.50 | -82.50 | 17.50 | MollaPL |
| 122 | 57 | 82 | 17.50 | 26.54 | -82.50 | 26.54 | MollaPL |
| 123 | 58 | 83 | 17.50 | 35.58 | -82.50 | 35.58 | MollaPL |
| 124 | 59 | 84 | 17.50 | 44.62 | -82.50 | 44.62 | MollaPL |
| 125 | 60 | 85 | 17.50 | 53.65 | -82.50 | 53.65 | MollaPL |
| 126 | 61 | 86 | 17.50 | 62.69 | -82.50 | 62.69 | MollaPL |
| 127 | 62 | 87 | 17.50 | 71.73 | -82.50 | 71.73 | MollaPL |
| 128 | 63 | 88 | 17.50 | 80.77 | -82.50 | 80.77 | MollaPL |

Scatolare pk 148+140 - TS10 SU S15 - Relazione tecnica e di calcolo

26

RTI di progettazione:**Mandataria**

Via G.B. Sammartini n°5
20125 - Milano
Tel. 02 6787911
email: mail@proiter.it

**Mandante**

Via Artemide n°3
92100 Agrigento
Tel. 0922 421007
email: deltaingegneria@pec.it

| Progetto Esecutivo | | | | | | | |
|--------------------|-----|-----|--------|--------|--------|--------|---------|
| 129 | 64 | 89 | 17.50 | 89.81 | -82.50 | 89.81 | MollaPL |
| 130 | 65 | 90 | 17.50 | 98.85 | -82.50 | 98.85 | MollaPL |
| 131 | 66 | 91 | 17.50 | 107.88 | -82.50 | 107.88 | MollaPL |
| 132 | 67 | 92 | 17.50 | 116.92 | -82.50 | 116.92 | MollaPL |
| 133 | 68 | 93 | 17.50 | 125.96 | -82.50 | 125.96 | MollaPL |
| 134 | 69 | 94 | 17.50 | 135.00 | -82.50 | 135.00 | MollaPL |
| 135 | 70 | 95 | 17.50 | 144.04 | -82.50 | 144.04 | MollaPL |
| 136 | 71 | 96 | 17.50 | 153.08 | -82.50 | 153.08 | MollaPL |
| 137 | 72 | 97 | 17.50 | 162.12 | -82.50 | 162.12 | MollaPL |
| 138 | 73 | 98 | 17.50 | 171.15 | -82.50 | 171.15 | MollaPL |
| 139 | 74 | 99 | 17.50 | 180.19 | -82.50 | 180.19 | MollaPL |
| 140 | 75 | 100 | 17.50 | 189.23 | -82.50 | 189.23 | MollaPL |
| 141 | 76 | 101 | 17.50 | 198.27 | -82.50 | 198.27 | MollaPL |
| 142 | 77 | 102 | 17.50 | 207.31 | -82.50 | 207.31 | MollaPL |
| 143 | 78 | 103 | 17.50 | 216.35 | -82.50 | 216.35 | MollaPL |
| 144 | 79 | 104 | 17.50 | 225.38 | -82.50 | 225.38 | MollaPL |
| 145 | 80 | 105 | 17.50 | 234.42 | -82.50 | 234.42 | MollaPL |
| 146 | 81 | 106 | 17.50 | 243.46 | -82.50 | 243.46 | MollaPL |
| 147 | 157 | 173 | 17.50 | 252.50 | -82.50 | 252.50 | MollaPL |
| 148 | 27 | 56 | 252.50 | 17.50 | 352.50 | 17.50 | MollaPR |
| 149 | 107 | 132 | 252.50 | 26.54 | 352.50 | 26.54 | MollaPR |
| 150 | 108 | 133 | 252.50 | 35.58 | 352.50 | 35.58 | MollaPR |
| 151 | 109 | 134 | 252.50 | 44.62 | 352.50 | 44.62 | MollaPR |
| 152 | 110 | 135 | 252.50 | 53.65 | 352.50 | 53.65 | MollaPR |
| 153 | 111 | 136 | 252.50 | 62.69 | 352.50 | 62.69 | MollaPR |
| 154 | 112 | 137 | 252.50 | 71.73 | 352.50 | 71.73 | MollaPR |
| 155 | 113 | 138 | 252.50 | 80.77 | 352.50 | 80.77 | MollaPR |
| 156 | 114 | 139 | 252.50 | 89.81 | 352.50 | 89.81 | MollaPR |
| 157 | 115 | 140 | 252.50 | 98.85 | 352.50 | 98.85 | MollaPR |
| 158 | 116 | 141 | 252.50 | 107.88 | 352.50 | 107.88 | MollaPR |
| 159 | 117 | 142 | 252.50 | 116.92 | 352.50 | 116.92 | MollaPR |
| 160 | 118 | 143 | 252.50 | 125.96 | 352.50 | 125.96 | MollaPR |
| 161 | 119 | 144 | 252.50 | 135.00 | 352.50 | 135.00 | MollaPR |
| 162 | 120 | 145 | 252.50 | 144.04 | 352.50 | 144.04 | MollaPR |
| 163 | 121 | 146 | 252.50 | 153.08 | 352.50 | 153.08 | MollaPR |
| 164 | 122 | 147 | 252.50 | 162.12 | 352.50 | 162.12 | MollaPR |
| 165 | 123 | 148 | 252.50 | 171.15 | 352.50 | 171.15 | MollaPR |
| 166 | 124 | 149 | 252.50 | 180.19 | 352.50 | 180.19 | MollaPR |
| 167 | 125 | 150 | 252.50 | 189.23 | 352.50 | 189.23 | MollaPR |
| 168 | 126 | 151 | 252.50 | 198.27 | 352.50 | 198.27 | MollaPR |
| 169 | 127 | 152 | 252.50 | 207.31 | 352.50 | 207.31 | MollaPR |
| 170 | 128 | 153 | 252.50 | 216.35 | 352.50 | 216.35 | MollaPR |
| 171 | 129 | 154 | 252.50 | 225.38 | 352.50 | 225.38 | MollaPR |
| 172 | 130 | 155 | 252.50 | 234.42 | 352.50 | 234.42 | MollaPR |
| 173 | 131 | 156 | 252.50 | 243.46 | 352.50 | 243.46 | MollaPR |
| 174 | 172 | 174 | 252.50 | 252.50 | 352.50 | 252.50 | MollaPR |

6 CARATTERISTICHE DEL TERRENO

Strato di ricoprimento

| | | |
|-----------------------|-------------------------|---------|
| Descrizione | Terreno di ricoprimento | |
| Spessore dello strato | 2.50 [m] | |
| Peso di volume | 19.0000 | [kN/mc] |
| Peso di volume saturo | 21.0000 | [kN/mc] |
| Angolo di attrito | 30.00[°] | |
| Coesione | 0.000[N/mmq] | |

Strato di rinfianco

| | | |
|-------------------------------------|----------------------|--|
| Descrizione | Terreno di rinfianco | |
| Peso di volume | 19.0000 [kN/mc] | |
| Peso di volume saturo | 21.0000 [kN/mc] | |
| Angolo di attrito | 30.00[°] | |
| Angolo di attrito terreno struttura | 20.00[°] | |
| Coesione | 0.000[N/mmq] | |
| Costante di Winkler | 0.000[N/mmq/cm] | |

La costante di Winkler è stata posta pari a 0, in quanto da tale assunzione derivano gli effetti più gravosi sulle parti più sollecitate (la fondazione e il traverso); le sollecitazioni sulle parti restanti sono sottostimate, ma con un errore massimo del 5%, e pertanto non significativo.

Strato di base

| | | |
|-------------------------------------|--|--|
| Descrizione | Terreno di base (Coltri eluvio – colluviali) | |
| Peso di volume | 18.0000 [kN/mc] | |
| Peso di volume saturo | 20.0000 [kN/mc] | |
| Angolo di attrito | 27.00[°] | |
| Angolo di attrito terreno struttura | 27.00[°] | |
| Coesione | 0.000[N/mmq] | |

Costante di Winkler

0.500[N/mmq/cm]

Tensione limite

0.500[N/mmq]



Figura 2 – Stratigrafia e caratteristiche del terreno

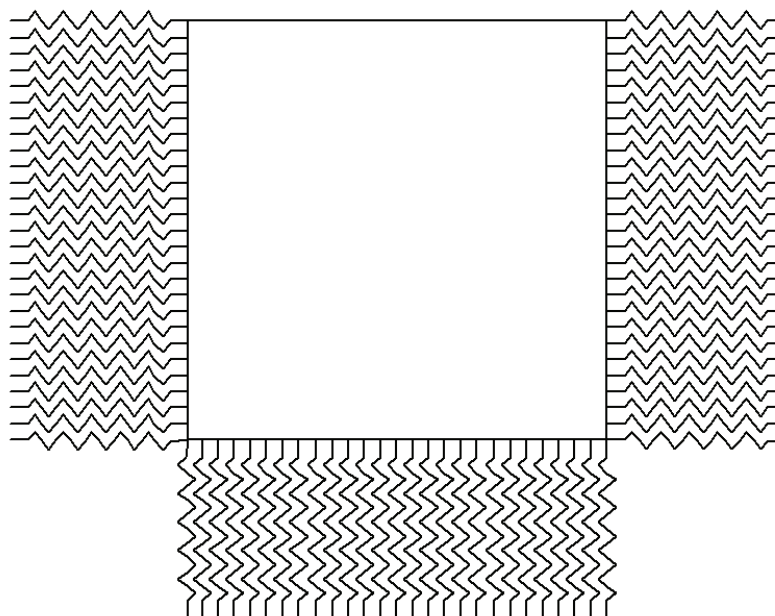


Figura 3 – Schematizzazione del terreno mediante molle

7 ANALISI DEI CARICHI

7.1 Pesi propri

Il peso proprio degli elementi strutturali è calcolato considerando un peso specifico pari a 25 kN/m³ per il calcestruzzo armato.

7.2 Carichi permanenti

I carichi permanenti sono quelli relativi alle finiture per la realizzazione della S.S. 131 e alle azioni applicate alla struttura per effetto del ricoprimento e del rinfianco.

7.2.1 Peso del riempimento

Lo spessore ed il peso pecifco dello strato di riempimento sono riportati nel §6.

7.2.2 Spinta del rinterro

In fase statica è stata considerata la spinta a riposo, determinata secondo quanto riportato nel §4.2.3.

Il peso pecifco del terreno di rinfianco è riportato nel §6.

Non è presente falda.

7.3 Carichi variabili

7.3.1 Carico variabile sulla fondazione

Il carico all'interno del tombino dovuto all'acqua è pari all'altezza interna per il peso specifico dell'acqua, pari a 10 kN/m³.

La condizione di carico è identificata come "condizione di carico n°11".

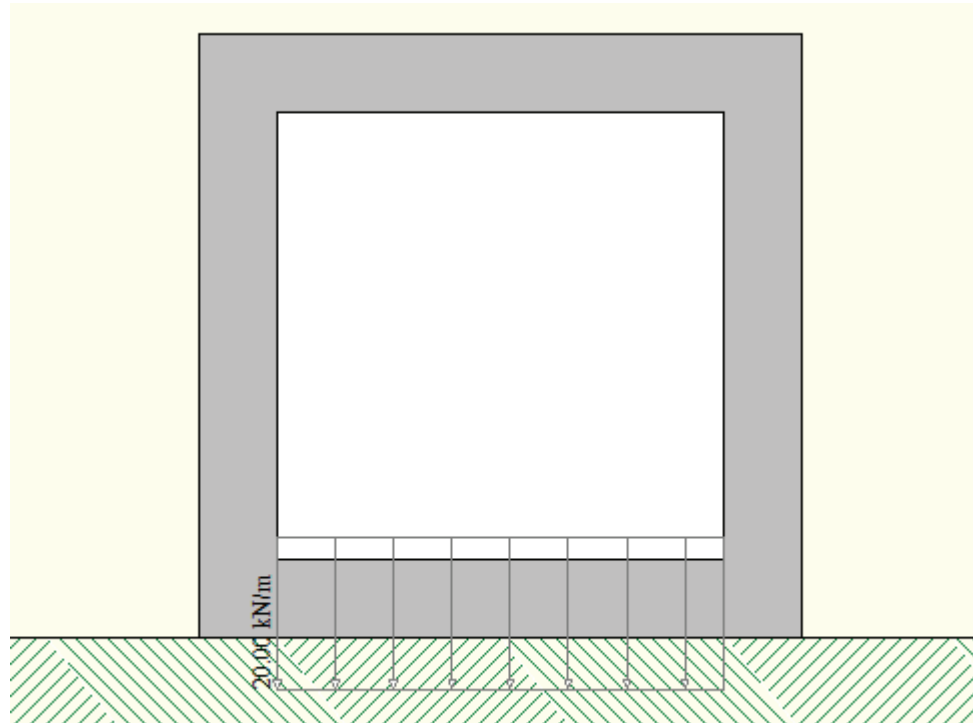


Figura 4 – Carico sulla fondazione dovuto all'acqua all'interno del tombino

7.3.2 Carico variabile sul terreno di ricoprimento

L'analisi dei carichi viene effettuata in accordo con quanto riportato nel §5.1 delle NTC 2018.

Il carico stradale applicato è quello corrispondente allo "schema di carico 1", di cui al §5.1.3.3.3 delle NTC 2018, la cui schematizzazione è mostrata nella seguente figura:

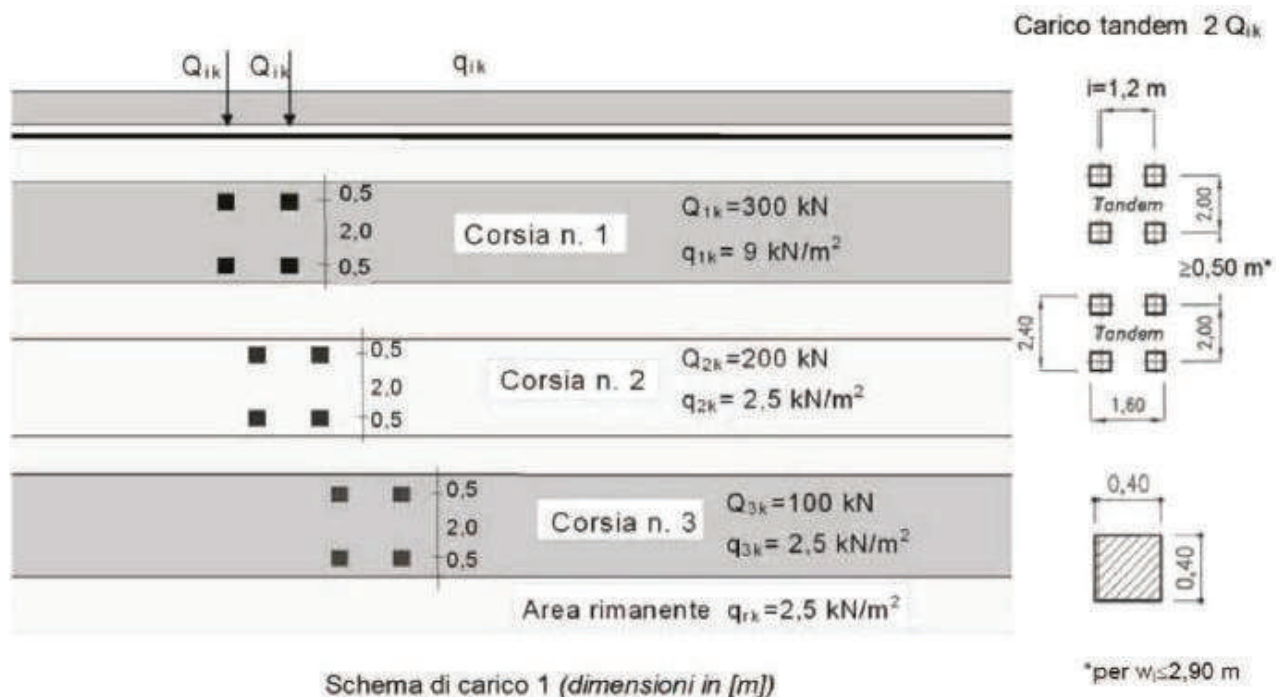


Figura 5 – Schema di carico 1 (Fig.5.1.2 NTC 2018)

In particolare lo *schema di carico 1* è costituito da carichi concentrati su due assi in tandem e da carichi uniformemente distribuiti; i carichi concentrati sono pari a:

$$Q_{1k} = 300 \text{ kN ad asse} (300 + 300 = 600 \text{ kN})$$

su corsia n.1 di larghezza convenzionale pari a 3 m;

$$Q_{2k} = 200 \text{ kN ad asse} (200 + 200 = 400 \text{ kN})$$

su corsia n.2 di larghezza convenzionale pari a 3 m ;

$$Q_{3k} = 100 \text{ kN ad asse} (100 + 100 = 200 \text{ kN})$$

su corsia n.3 di larghezza convenzionale pari a 3 m ;

Tali carichi sono applicati su un'impronta quadrata di lato pari a 40 cm.

I carichi tandem vengono posizionati ortogonalmente all'asse del sottovia e vengono ripartiti sia in direzione longitudinale che trasversale dal piano stradale al piano medio della soletta superiore. Si assume che la diffusione avvenga con un angolo di 30° attraverso il rilevato stradale e con un angolo di 45° nella soletta superiore del tombino, fino all'asse della stessa. La diffusione in senso longitudinale alla strada è calcolata dal software di calcolo; quella in direzione ortogonale viene tenuta in conto applicando un carico equivalente pari al valore di pressione che si ottiene diffondendo il carico esclusivamente lungo tale direzione.

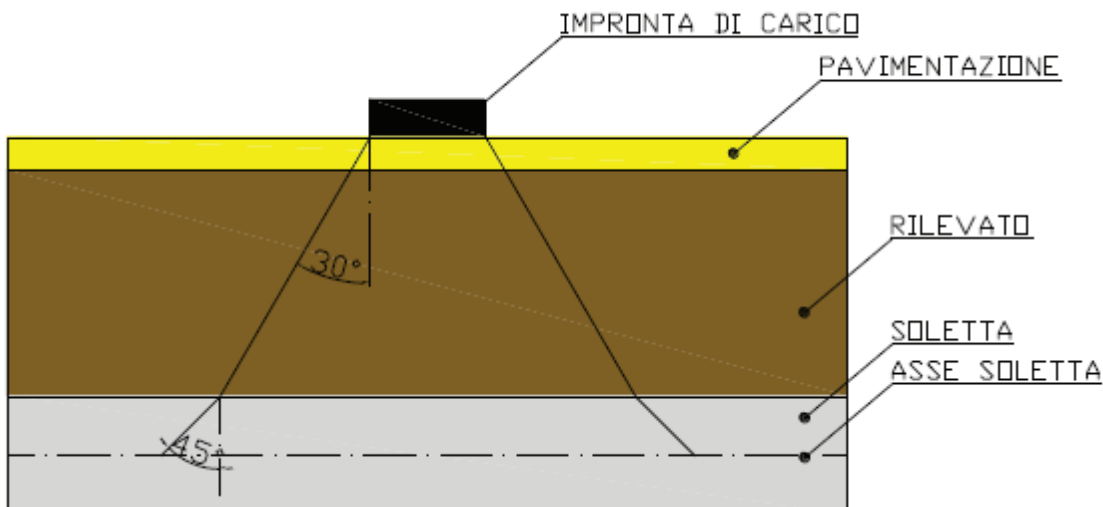


Figura 6 – Schema di diffusione dei carichi concentrati

Disponendo i carichi tandem delle 3 corsie e diffondendo fino alla linea media della soletta superiore il carico in direzione trasversale alla strada, viene individuata la striscia di larghezza unitaria maggiormente sollecitata.

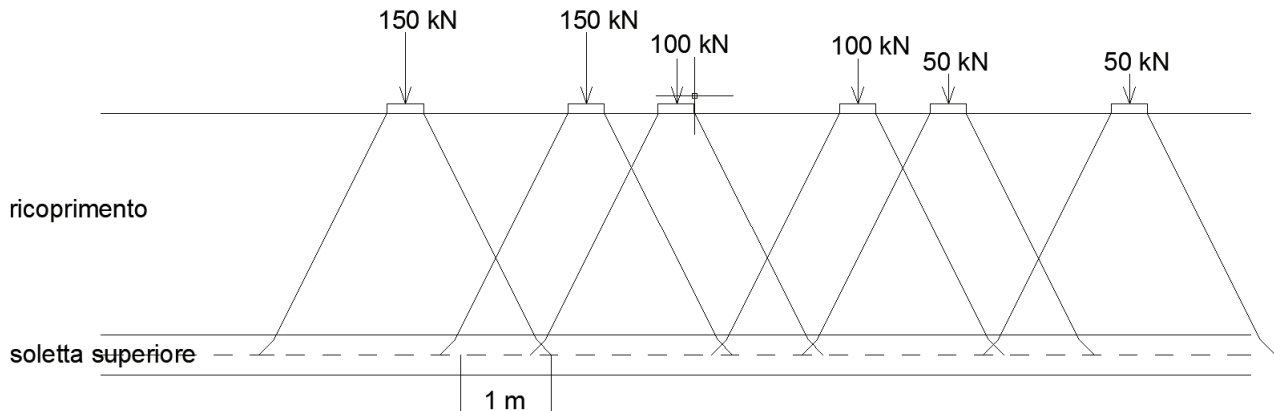


Figura 7 – Diffusione trasversale dei carichi tandem

Nel caso in esame, la striscia maggiormente sollecitata è quella identificata nella figura precedente; il carico agente su di essa si determina come segue:

- ciascun carico concentrato si distribuisce su una larghezza di 3.64 m
- sulla striscia di larghezza unitaria più caricata si scaricano:
 - o una parte del carico di un intero asse della corsia 1
 - $2 * 150 \text{ kN} / 3.64 \text{ m} * 1 \text{ m} = 82.42 \text{ kN}$
 - o e una parte (su una larghezza di 65 cm) del carico di un semiasse della corsia 2:
 - $100 \text{ kN} / 3.64 \text{ m} * 0.65 \text{ m} = 17.86 \text{ kN}$
- il carico complessivo sulla striscia unitaria è dunque pari a 100.28 kN, che per semplicità viene arrotondato, con errore trascurabile, a 100 kN.

Per quanto riguarda i carichi uniformemente distribuiti (associati ai carichi tandem) si considera prudenzialmente il carico $q_{1k} = 9 \text{ kN/m}^2$ applicato a tutte le colonne di carico (la norma prevede l'applicazione dalla seconda alla n-esima corsia di un carico ridotto da 2.5 kN/m^2).

I carichi da traffico stradale vengono applicati in tre posizioni differenti, in maniera da massimizzare le sollecitazioni sulla struttura. In particolare, per ogni posizione viene identificato un "gruppo di carico", costituito da un carico tandem ed un carico distribuito. Le azioni sono applicate come mostrato nelle immagini che seguono.

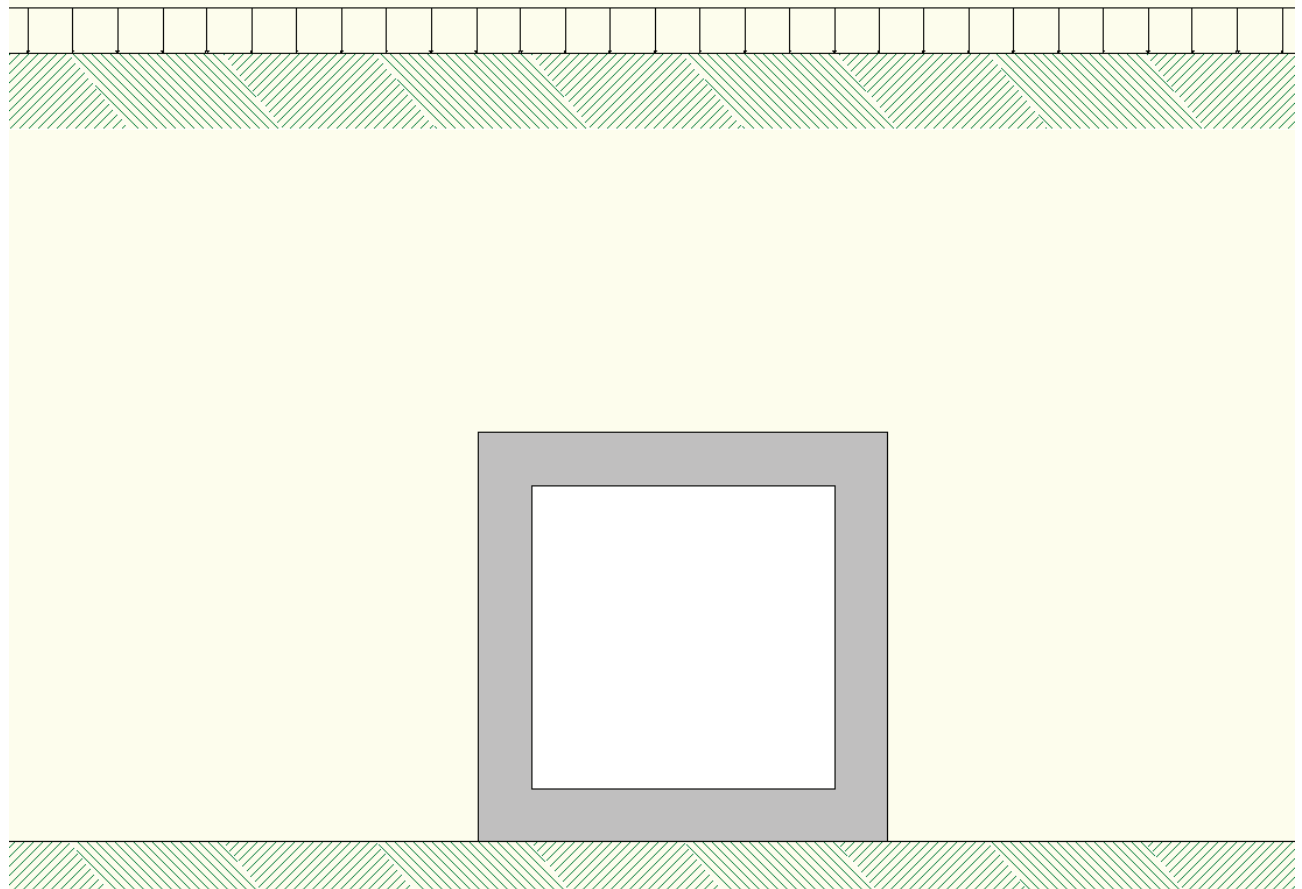


Figura 8 – Gruppo 1 – carico distribuito (condizione di carico n°7)

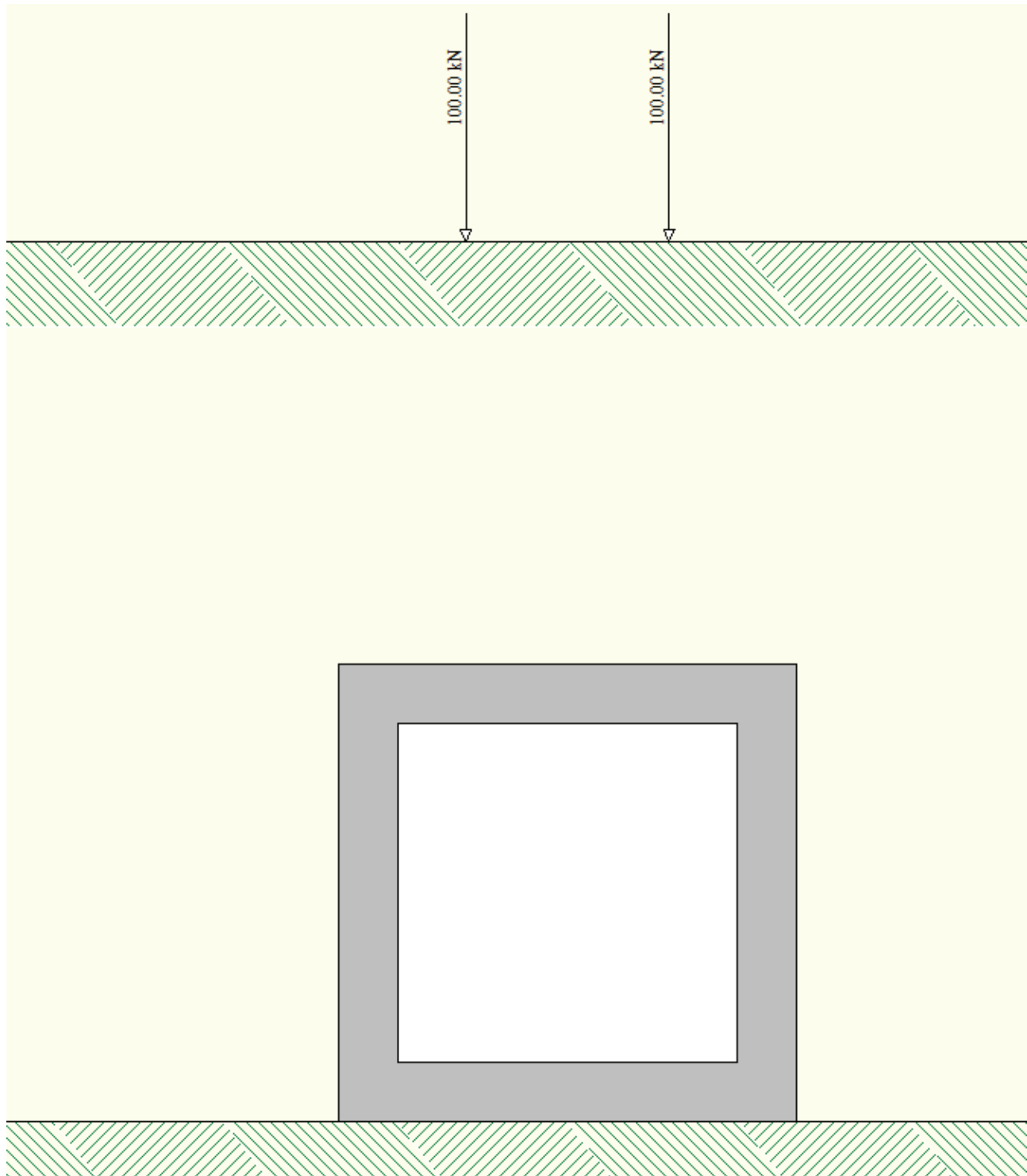


Figura 9 – Gruppo 1 – carico tandem (condizione di carico n°8)

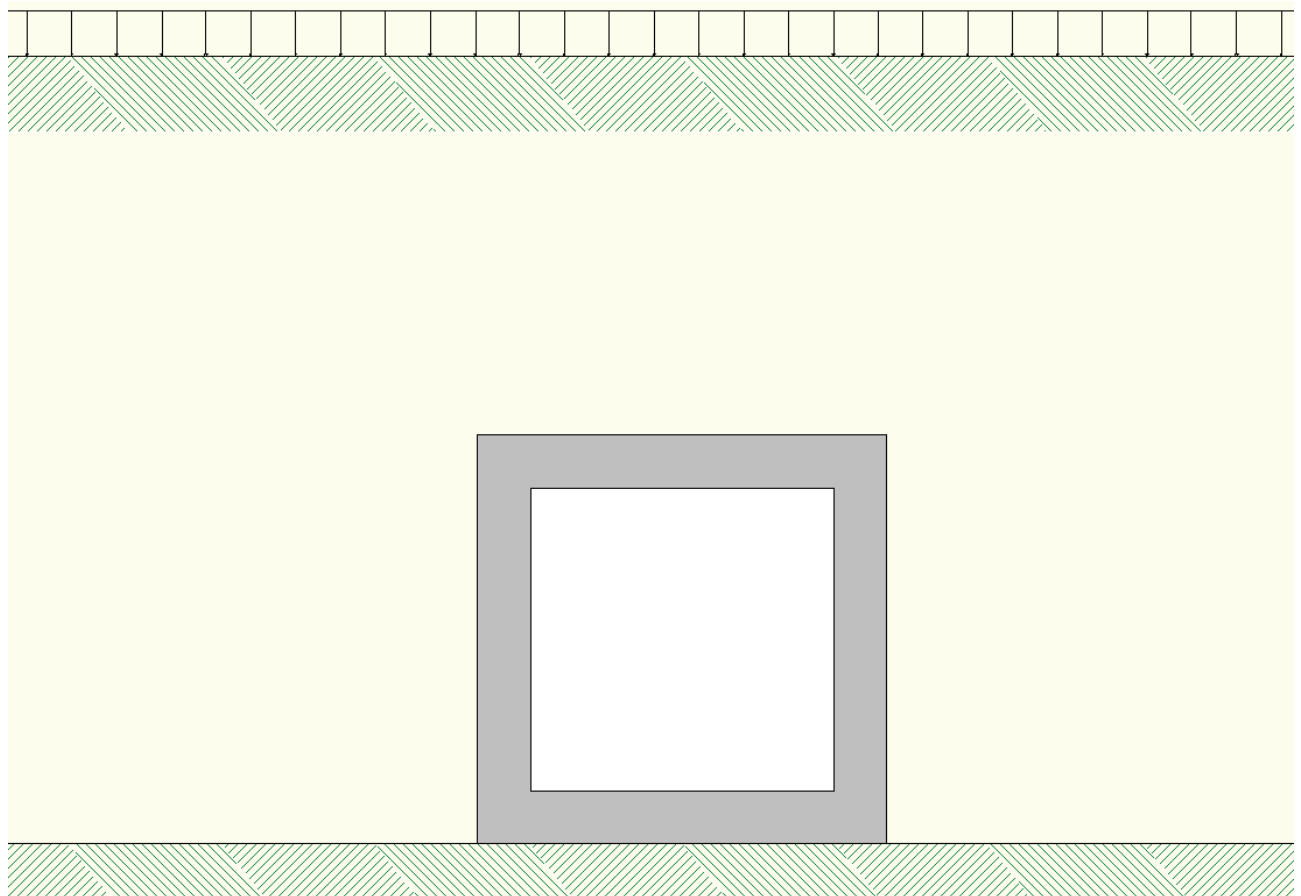


Figura 10 – Gruppo 2 – carico distribuito (condizione di carico n°12)

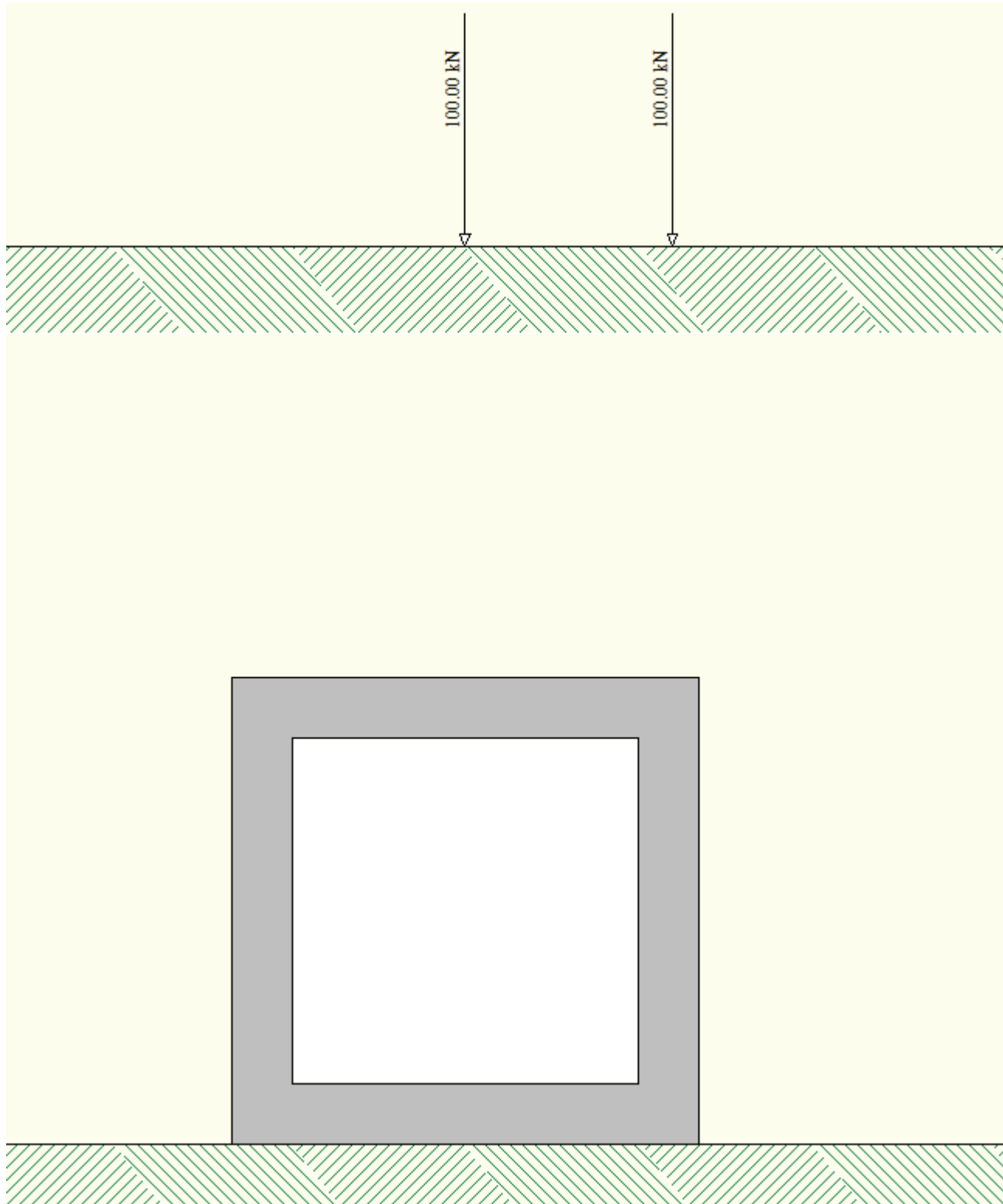


Figura 11 – Gruppo 2 – carico tandem (condizione di carico n°9)

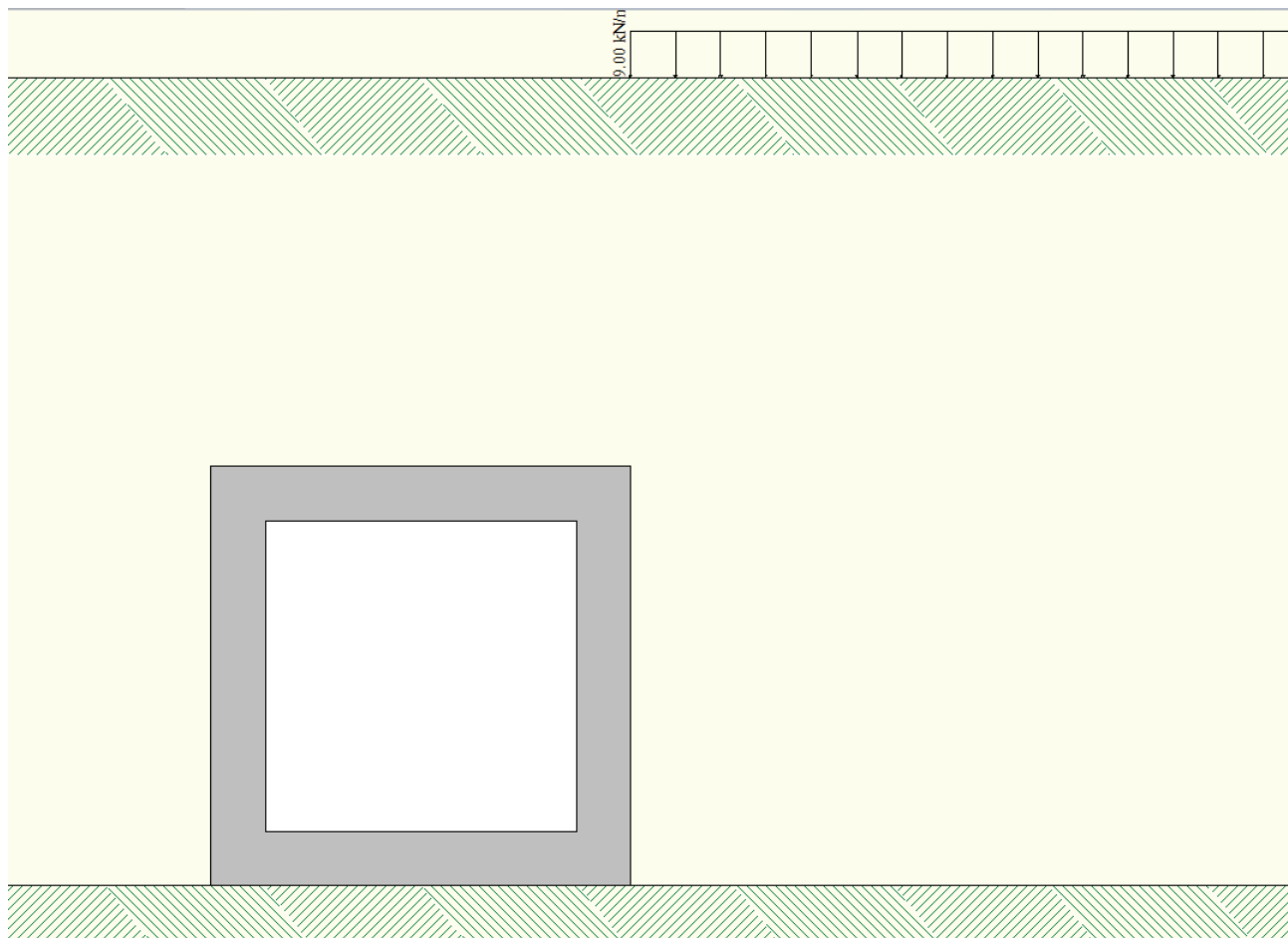


Figura 12 – Gruppo 3 – carico distribuito (condizione di carico n°13)

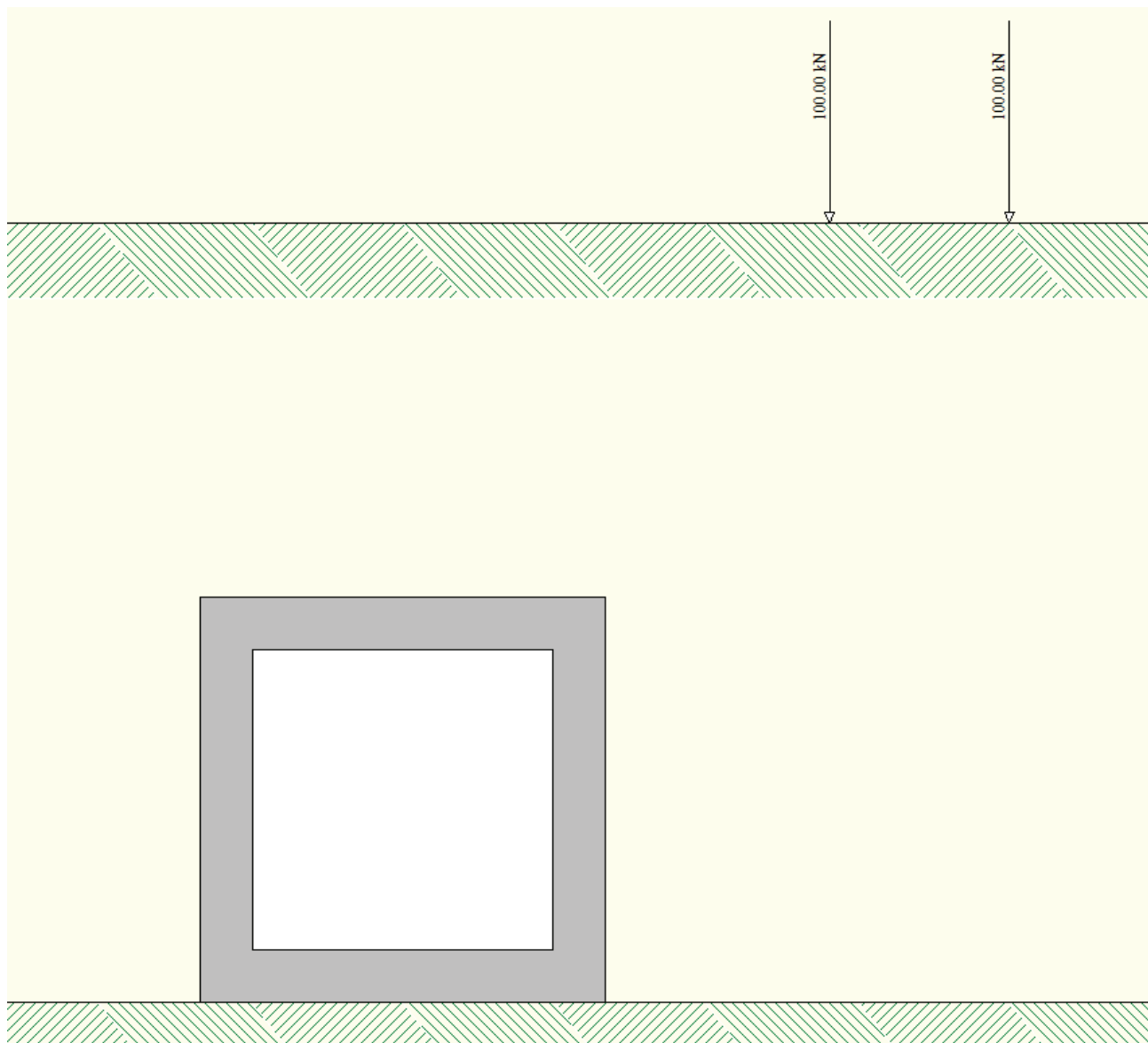


Figura 13 – Gruppo 3 – carico tandem (condizione di carico n°10)

7.4 Azione sismica

Il calcolo delle sollecitazioni sismiche è stato eseguito tenendo conto delle indicazioni delle NTC 2018 in materia di progettazione sismica dei ponti stradali.

È stato tenuto in conto il sisma verticale.

La struttura in esame è di tipo 2 (vita nominale $V_N \geq 50$ anni) e classe IV. Ne derivano i valori delle seguenti grandezze:

$$V_N \geq 50 \text{ anni} \quad \text{vita nominale}$$

$C_U = 2$ coefficiente d'uso $V_R = V_N C_U = 100$ anni periodo di riferimento

I valori dei periodi di ritorno per i differenti stati limite sono:

| STATO LIMITE | T _R [anni] | | a _g [g] | F ₀ [-] | T _{c*} [s] |
|-----------------|--------------------------|-----|-----------------------|-----------------------|------------------------|
| SLD | V _R | 100 | 0.031 | 2.73 | 0.31 |
| SLV | 9.5 V _R | 950 | 0.060 | 2.97 | 0.37 |

Tabella 3 – Parametri sismici

Il suolo di fondazione può essere classificato come appartenente alla categoria B.

Il categoria topografica di riferimento è la T1.

Si assume, a favore di sicurezza, che la struttura non sia libera di subire spostamenti rispetto al terreno, e pertanto viene assunto un valore unitario del coefficiente di riduzione dell'accelerazione massima β_m .

Il coefficiente di intensità sismica orizzontale è pari a 7.339.

Il coefficiente di intensità sismica verticale è pari a 3.792.

| | SLU | SLE |
|---|--------------|--------------|
| Accelerazione al suolo ag [m/s ²] | 0.600 | 0.310 |
| Accelerazione al suolo ag [% di g] | 0.061 | 0.032 |
| Massimo fattore amplificazione spettro orizzontale F0 | 2.970 | 2.730 |
| Periodo inizio tratto spettro a velocità costante Tc* | 0.370 | 0.310 |
| Tipo di sottosuolo - Coefficiente stratigrafico Ss | Tipo B | 1.200 |
| Coefficiente di riduzione (β_m) | C | 1.000 |
| Coeff. amplificazione topografica St | T1 | 1.000 |
| Kh = ag/g * Ss * St * β_m | | |
| Coeff. di intensità sismica orizzontale Kh [%] | 7.339 | 3.792 |

Figura 14 – Determinazione dei coefficienti di intensità sismica

7.5 Riepilogo delle condizioni di carico

Convenzioni adottate

Origine in corrispondenza dello spigolo inferiore sinistro della struttura

Carichi verticali positivi se diretti verso il basso

Carichi orizzontali positivi se diretti verso destra

Coppie concentrate positive se antiorarie

Ascisse X (espresso in m) positive verso destra

Ordinate Y (espresso in m) positive verso l'alto

Carichi concentrati espressi in kN

Coppie concentrate espressi in kNm

Carichi distribuiti espressi in kN/m

Simbologia adottata e unità di misura

Forze concentrate

X ascissa del punto di applicazione dei carichi verticali concentrati

Y ordinata del punto di applicazione dei carichi orizzontali concentrati

F_y componente Y del carico concentrato

F_x componente X del carico concentrato

M momento

Forze distribuite

X_i, X_f ascisse del punto iniziale e finale per carichi distribuiti verticali

Y_i, Y_f ordinate del punto iniziale e finale per carichi distribuiti orizzontali

V_{ni} componente normale del carico distribuito nel punto iniziale

V_{nf} componente normale del carico distribuito nel punto finale

V_{ti} componente tangenziale del carico distribuito nel punto iniziale

V_{tf} componente tangenziale del carico distribuito nel punto finale

D_{te} variazione termica lembo esterno espressa in gradi centigradi

D_{ti} variazione termica lembo interno espressa in gradi centigradi

Condizione di carico n°1 (Peso Proprio)

Condizione di carico n°2 (Spinta terreno sinistra)

Condizione di carico n°3 (Spinta terreno destra)

Condizione di carico n°4 (Sisma da sinistra)

Condizione di carico n°5 (Sisma da destra)

Condizione di carico n° 7 (Distr_1)

Distr Terreno $X_i = -7.70$ $X_f = 12.40$ $V_{ni} = 9.00$ $V_{nf} = 9.00$

Condizione di carico n° 8 (Tandem_1)

Conc Terreno $X = 0.75$ $F_y = 100.00$
Conc Terreno $X = 1.95$ $F_y = 100.00$

Condizione di carico n° 9 (Tandem_2)

Conc Terreno $X = 1.35$ $F_y = 100.00$
Conc Terreno $X = 2.55$ $F_y = 100.00$

Condizione di carico n° 10 (Tandem_3)

Conc Terreno $X = 4.20$ $F_y = 100.00$
Conc Terreno $X = 5.40$ $F_y = 100.00$

Condizione di carico n° 11 (Acqua)

Distr Fondaz. $X_i = 0.35$ $X_f = 2.35$ $V_{ni} = 20.00$ $V_{nf} = 20.00$ $V_{ti} = 0.00$ $V_{tf} = 0.00$

Condizione di carico n° 12 (Distr_2)

Distr Terreno $X_i = -7.70$ $X_f = 12.40$ $V_{ni} = 9.00$ $V_{nf} = 9.00$

Condizione di carico n° 13 (Distr 3)

Distr Terreno $X_i = 2.70$ $X_f = 12.40$ $V_{ni} = 9.00$ $V_{nf} = 9.00$

8 COMBINAZIONI DEI CARICHI

Devono essere effettuate verifiche con riferimento ai seguenti stati limite:

SLU di tipo geotecnico (GEO) e di equilibrio di corpo rigido (EQU)

- stabilità globale del complesso opera di sostegno – terreno;
- scorrimento sul piano di posa;
- collasso per carico limite dell'insieme fondazione – terreno;
- ribaltamento;

SLU di tipo strutturale (STR)

- raggiungimento della resistenza negli elementi strutturali;

Le verifiche della stabilità globale devono essere effettuate secondo l'approccio progettuale di tipo 1 secondo la seguente combinazione:

Combinazione 2 (A2+M2+R2) per verifiche GEO

Tale verifica per il tombino scatolare non è significativa e pertanto non viene effettuata.

Tutte le altre verifiche devono essere effettuate secondo l'approccio 2, che prevede un'unica combinazione di coefficienti:

Combinazione 1 (A1+M1+R3)

In funzione del tipo di verifica da eseguire, si hanno, per le azioni derivanti da carichi gravitazionali, i seguenti coefficienti parziali:

Tab. 6.2.I – Coefficienti parziali per le azioni o per l'effetto delle azioni

| | Effetto | Coefficiente Parziale γ_F (o γ_E) | EQU | (A1) | (A2) |
|--------------------------------|-------------|---|-----|------|------|
| Carichi permanenti G_1 | Favorevole | γ_{G1} | 0,9 | 1,0 | 1,0 |
| | Sfavorevole | | 1,1 | 1,3 | 1,0 |
| Carichi permanenti $G_2^{(1)}$ | Favorevole | γ_{G2} | 0,8 | 0,8 | 0,8 |
| | Sfavorevole | | 1,5 | 1,5 | 1,3 |
| Azioni variabili Q | Favorevole | γ_Q | 0,0 | 0,0 | 0,0 |
| | Sfavorevole | | 1,5 | 1,5 | 1,3 |

⁽¹⁾ Per i carichi permanenti G_2 si applica quanto indicato alla Tabella 2.6.I. Per la spinta delle terre si fa riferimento ai coefficienti γ_G .

Tabella 4 – Coefficienti parziali per le azioni

Ai fini delle resistenze, in funzione del tipo di verifica da eseguire, il valore di progetto può ricavarsi applicando ai parametri geotecnici del terreno i seguenti coefficienti parziali:

Tab. 6.2.II – Coefficienti parziali per i parametri geotecnici del terreno

| Parametro | Grandezza alla quale applicare il coefficiente parziale | Coefficiente parziale γ_M | (M1) | (M2) |
|--|---|----------------------------------|------|------|
| Tangente dell'angolo di resistenza al taglio | $\tan \varphi'_k$ | γ_φ' | 1,0 | 1,25 |
| Coesione efficace | c'_k | γ_c' | 1,0 | 1,25 |
| Resistenza non drenata | c_{uk} | γ_{cu} | 1,0 | 1,4 |
| Peso dell'unità di volume | γ_y | γ_y | 1,0 | 1,0 |

Tabella 5 – Coefficienti parziali per i parametri geotecnici del terreno

Per quanto riguarda i coefficienti di sicurezza nei confronti dei diversi stati limite, essi sono riportati nelle tabelle seguenti:

Tab. 6.5.I - Coefficienti parziali γ_R per le verifiche agli stati limite ultimi di muri di sostegno

| Verifica | Coefficiente parziale (R3) |
|------------------------------------|----------------------------|
| Capacità portante della fondazione | $\gamma_R = 1,4$ |
| Scorrimento | $\gamma_R = 1,1$ |
| Ribaltamento | $\gamma_R = 1,15$ |
| Resistenza del terreno a valle | $\gamma_R = 1,4$ |

Tabella 6 – Coefficienti parziali R3 per le verifiche statiche

Tab. 7.11.III - Coefficienti parziali γ_R per le verifiche degli stati limite (SLV) dei muri di sostegno.

| Verifica | Coefficiente parziale γ_R |
|--------------------------------|----------------------------------|
| Carico limite | 1.2 |
| Scorrimento | 1.0 |
| Ribaltamento | 1.0 |
| Resistenza del terreno a valle | 1.2 |

Tabella 7 – Coefficienti parziali R3 per le verifiche sismiche

Sulla base delle indicazioni di cui al par. 2.5.1.3 delle NTC 2018, le azioni considerate ai fini della progettazione delle opere in esame possono essere assegnate alle seguenti famiglie di carico:

- $G1$ = carichi permanenti: peso proprio di tutti gli elementi strutturali; peso proprio del terreno; forze indotte dal terreno (esclusi gli effetti di carichi variabili applicati al terreno);
- forze risultanti dalla pressione dell'acqua (quando si configurino costanti nel tempo).
- $G2$ = carichi permanenti: peso proprio di tutti gli elementi non strutturali;
- Q = carichi variabili;
- E = carichi sismici: azioni derivanti dai terremoti.

Ai fini delle verifiche degli stati limite strutturali precedentemente definiti, sono state prese in esame le seguenti combinazioni delle azioni di progetto, esplicitate nei successivi paragrafi di verifica per ciascuna tipologia di cassone:

8.1 Combinazioni per verifiche allo SLU

- Combinazione fondamentale (SLU)

$$\gamma_{G1} \cdot G_1 + \gamma_{G2} \cdot G_2 + \gamma_P \cdot P + \gamma_{Q1} \cdot Q_{k1} + \gamma_{Q2} \cdot Q_{k2} + \gamma_{Q3} \cdot Q_{k3} + \dots$$

- Combinazione sismica (SLV)

$$E + G_1 + G_2 + P + \psi_{21} \cdot Q_{k1} + \psi_{22} \cdot Q_{k2} + \dots$$

- Combinazione eccezionale (ECC-STR)

$$G_1 + G_2 + P + A_d + \psi_{21} \cdot Q_{k1} + \psi_{22} \cdot Q_{k2} + \dots$$

8.2 Combinazioni per verifiche allo SLE

- Combinazione caratteristica o rara (SLE-RARA)

$$G_1 + G_2 + P + Q_{k1} + \psi_{02} \cdot Q_{k2} + \psi_{03} \cdot Q_{k3} + \dots$$

per le verifiche delle tensioni massime nel calcestruzzo e nell'acciaio

- Combinazione frequente (SLE-FREQ)

$$G_1 + G_2 + P + \psi_{11} \cdot Q_{k1} + \psi_{22} \cdot Q_{k2} + \psi_{23} \cdot Q_{k3} + \dots$$

per le verifiche allo stato limite di apertura delle fessure

- Combinazione quasi permanente (SLE-QP)

$$G_1 + G_2 + P + \psi_{21} \cdot Q_{k1} + \psi_{22} \cdot Q_{k2} + \psi_{23} \cdot Q_{k3} + \dots$$

per le verifiche delle tensioni di compressione nel calcestruzzo ed allo stato limite di apertura delle fessure

dove:

- Q_{k1} = azione variabile dominante;
- Q_{kj} = azioni variabili concomitanti con quella dominante;
- γ_{Qi} = coefficiente parziale delle azioni variabili;
- γ_{G1} = coefficiente parziale dei carichi permanenti strutturali;
- γ_{G2} = coefficiente parziale dei carichi permanenti non strutturali;
- $\psi_{0j}, \psi_{1j}, \psi_{2j}$ = coefficienti di combinazione delle azioni.

Nelle espressioni sopra riportate il simbolo + sta per *combinato con*.

8.3 Riepilogo delle combinazioni di carico

Simbologia adottata

| | |
|----------|--|
| γ | Coefficiente di partecipazione della condizione |
| ψ | Coefficiente di combinazione della condizione |
| C | Coefficiente totale di partecipazione della condizione |

Norme Tecniche 2018

Simbologia adottata

| | |
|---------------------|---|
| γ_{G1fav} | Coefficiente parziale sfavorevole sulle azioni permanenti |
| γ_{G1fav} | Coefficiente parziale favorevole sulle azioni permanenti |
| γ_{G2sfav} | Coefficiente parziale sfavorevole sulle azioni permanenti non strutturali |
| γ_{G2sfav} | Coefficiente parziale favorevole sulle azioni permanenti non strutturali |
| γ_Q | Coefficiente parziale sulle azioni variabili |
| $\gamma_{tan\phi'}$ | Coefficiente parziale di riduzione dell'angolo di attrito drenato |
| γ_c' | Coefficiente parziale di riduzione della coesione drenata |
| γ_{cu} | Coefficiente parziale di riduzione della coesione non drenata |
| γ_{qu} | Coefficiente parziale di riduzione del carico ultimo |

Coefficienti di partecipazione combinazioni staticheCoefficienti parziali per le azioni o per l'effetto delle azioni:

| <i>Carichi</i> | <i>Effetto</i> | <i>A1</i> | <i>A2</i> |
|----------------------------|----------------|-------------------|-----------|
| Permanenti | Favorevole | γ_{G1fav} | 1.00 |
| Permanenti | Sfavorevole | γ_{G1sfav} | 1.30 |
| Permanenti non strutturali | Favorevole | γ_{G2fav} | 0.80 |
| Permanenti non strutturali | Sfavorevole | γ_{G2sfav} | 1.50 |
| Variabili | Favorevole | γ_{Qifav} | 0.00 |
| Variabili | Sfavorevole | γ_{Qisfav} | 1.50 |
| Variabili da traffico | Favorevole | γ_{Qfav} | 0.00 |
| Variabili da traffico | Sfavorevole | γ_{Qsfav} | 1.35 |
| Termici | Favorevole | γ_{efav} | 0.00 |
| Termici | Sfavorevole | γ_{esfav} | 1.20 |

Coefficienti parziali per i parametri geotecnici del terreno:

| <i>Parametri</i> | | <i>M1</i> | <i>M2</i> |
|--------------------------------------|---------------------|-----------|-----------|
| Tangente dell'angolo di attrito | $\gamma_{tan\phi'}$ | 1.00 | 1.25 |
| Coesione efficace | γ_c' | 1.00 | 1.25 |
| Resistenza non drenata | γ_{cu} | 1.00 | 1.40 |
| Resistenza a compressione uniassiale | γ_{qu} | 1.00 | 1.60 |
| Peso dell'unità di volume | γ_γ | 1.00 | 1.00 |

Coefficienti di partecipazione combinazioni sismicheCoefficienti parziali per le azioni o per l'effetto delle azioni:

| <i>Carichi</i> | <i>Effetto</i> | <i>A1</i> | <i>A2</i> |
|-----------------------|----------------|-------------------|-----------|
| Permanenti | Favorevole | γ_{G1fav} | 1.00 |
| Permanenti | Sfavorevole | γ_{G1sfav} | 1.00 |
| Permanenti | Favorevole | γ_{G2fav} | 0.00 |
| Permanenti | Sfavorevole | γ_{G2sfav} | 1.00 |
| Variabili | Favorevole | γ_{Qifav} | 0.00 |
| Variabili | Sfavorevole | γ_{Qisfav} | 1.00 |
| Variabili da traffico | Favorevole | γ_{Qfav} | 0.00 |
| Variabili da traffico | Sfavorevole | γ_{Qsfav} | 1.00 |
| Termici | Favorevole | γ_{efav} | 0.00 |
| Termici | Sfavorevole | γ_{esfav} | 1.00 |

Coefficienti parziali per i parametri geotecnici del terreno:

| <i>Parametri</i> | | <i>M1</i> | <i>M2</i> |
|---|--|-----------|-----------|
| Scatolare pk 148+140 - TS10 SU S15 - Relazione tecnica e di calcolo | | | |

RTI di progettazione:**Mandataria**

Via G.B. Sammartini n°5
20125 - Milano
Tel. 02 6787911
email: mail@proiter.it

**Mandante**

Via Artemide n°3
92100 Agrigento
Tel. 0922 421007
email: deltaingegneria@pec.it

Progetto Esecutivo

| | | | |
|--------------------------------------|----------------------|------|------|
| Tangente dell'angolo di attrito | $\gamma_{\tan\phi'}$ | 1.00 | 1.00 |
| Coesione efficace | γ_c' | 1.00 | 1.00 |
| Resistenza non drenata | γ_{cu} | 1.00 | 1.00 |
| Resistenza a compressione uniassiale | γ_{qu} | 1.00 | 1.00 |
| Peso dell'unità di volume | γ_y | 1.00 | 1.00 |

Combinazione n° 1 SLU (Approccio 2)

| | Effetto | γ | Ψ | C |
|-------------------------|----------------|----------------------------|--------------------------|----------|
| Peso Proprio | Sfavorevole | 1.30 | 1.00 | 1.30 |
| Spinta terreno sinistra | Sfavorevole | 1.30 | 1.00 | 1.30 |
| Spinta terreno destra | Sfavorevole | 1.30 | 1.00 | 1.30 |

Combinazione n° 2 SLU (Approccio 2)

| | Effetto | γ | Ψ | C |
|-------------------------|----------------|----------------------------|--------------------------|----------|
| Peso Proprio | Sfavorevole | 1.30 | 1.00 | 1.30 |
| Spinta terreno sinistra | Sfavorevole | 1.30 | 1.00 | 1.30 |
| Spinta terreno destra | Sfavorevole | 1.30 | 1.00 | 1.30 |
| Distr_1 | Sfavorevole | 1.35 | 1.00 | 1.35 |
| Tandem_1 | Sfavorevole | 1.35 | 0.75 | 1.01 |
| Acqua | Sfavorevole | 1.50 | 1.00 | 1.50 |

Combinazione n° 3 SLU (Approccio 2)

| | Effetto | γ | Ψ | C |
|-------------------------|----------------|----------------------------|--------------------------|----------|
| Peso Proprio | Sfavorevole | 1.30 | 1.00 | 1.30 |
| Spinta terreno sinistra | Sfavorevole | 1.30 | 1.00 | 1.30 |
| Spinta terreno destra | Sfavorevole | 1.30 | 1.00 | 1.30 |
| Distr_1 | Sfavorevole | 1.35 | 0.40 | 0.54 |
| Tandem_1 | Sfavorevole | 1.35 | 1.00 | 1.35 |
| Acqua | Sfavorevole | 1.50 | 1.00 | 1.50 |

Combinazione n° 4 SLU (Approccio 2)

| | Effetto | γ | Ψ | C |
|-------------------------|----------------|----------------------------|--------------------------|----------|
| Peso Proprio | Sfavorevole | 1.30 | 1.00 | 1.30 |
| Spinta terreno sinistra | Sfavorevole | 1.30 | 1.00 | 1.30 |
| Spinta terreno destra | Sfavorevole | 1.30 | 1.00 | 1.30 |
| Distr_1 | Sfavorevole | 1.35 | 0.40 | 0.54 |
| Tandem_1 | Sfavorevole | 1.35 | 0.75 | 1.01 |
| Acqua | Sfavorevole | 1.50 | 1.00 | 1.50 |

Combinazione n° 5 SLU (Approccio 2)

| | Effetto | γ | Ψ | C |
|-------------------------|----------------|----------------------------|--------------------------|----------|
| Peso Proprio | Sfavorevole | 1.30 | 1.00 | 1.30 |
| Spinta terreno sinistra | Sfavorevole | 1.30 | 1.00 | 1.30 |
| Spinta terreno destra | Sfavorevole | 1.30 | 1.00 | 1.30 |
| Tandem_2 | Sfavorevole | 1.35 | 1.00 | 1.35 |
| Acqua | Sfavorevole | 1.50 | 1.00 | 1.50 |
| Distr_2 | Sfavorevole | 1.35 | 0.40 | 0.54 |

Combinazione n° 6 SLU (Approccio 2)

| | Effetto | γ | Ψ | C |
|-------------------------|----------------|----------------------------|--------------------------|----------|
| Peso Proprio | Sfavorevole | 1.30 | 1.00 | 1.30 |
| Spinta terreno sinistra | Sfavorevole | 1.30 | 1.00 | 1.30 |
| Spinta terreno destra | Sfavorevole | 1.30 | 1.00 | 1.30 |
| Tandem_2 | Sfavorevole | 1.35 | 0.75 | 1.01 |

Scatolare pk 148+140 - TS10 SU S15 - Relazione tecnica e di calcolo

50

RTI di progettazione:**Mandataria**

Via G.B. Sammartini n°5
20125 - Milano
Tel. 02 6787911
email: mail@proiter.it

**Mandante**

Via Artemide n°3
92100 Agrigento
Tel. 0922 421007
email: deltaingegneria@pec.it

Progetto Esecutivo

| | | | | |
|---------|-------------|------|------|------|
| Acqua | Sfavorevole | 1.50 | 1.00 | 1.50 |
| Distr_2 | Sfavorevole | 1.35 | 0.40 | 0.54 |

Combinazione n° 7 SLU (Approccio 2)

| | Effetto | γ | Ψ | C |
|-------------------------|----------------|----------------------------|--------------------------|----------|
| Peso Proprio | Sfavorevole | 1.30 | 1.00 | 1.30 |
| Spinta terreno sinistra | Sfavorevole | 1.30 | 1.00 | 1.30 |
| Spinta terreno destra | Sfavorevole | 1.30 | 1.00 | 1.30 |
| Tandem_2 | Sfavorevole | 1.35 | 0.75 | 1.01 |
| Acqua | Sfavorevole | 1.50 | 1.00 | 1.50 |
| Distr_2 | Sfavorevole | 1.35 | 1.00 | 1.35 |

Combinazione n° 8 SLU (Approccio 2)

| | Effetto | γ | Ψ | C |
|-------------------------|----------------|----------------------------|--------------------------|----------|
| Peso Proprio | Sfavorevole | 1.30 | 1.00 | 1.30 |
| Spinta terreno sinistra | Sfavorevole | 1.30 | 1.00 | 1.30 |
| Spinta terreno destra | Sfavorevole | 1.30 | 1.00 | 1.30 |
| Tandem_3 | Sfavorevole | 1.35 | 1.00 | 1.35 |
| Acqua | Sfavorevole | 1.50 | 1.00 | 1.50 |
| Distr_3 | Sfavorevole | 1.35 | 0.40 | 0.54 |

Combinazione n° 9 SLU (Approccio 2)

| | Effetto | γ | Ψ | C |
|-------------------------|----------------|----------------------------|--------------------------|----------|
| Peso Proprio | Sfavorevole | 1.30 | 1.00 | 1.30 |
| Spinta terreno sinistra | Sfavorevole | 1.30 | 1.00 | 1.30 |
| Spinta terreno destra | Sfavorevole | 1.30 | 1.00 | 1.30 |
| Tandem_3 | Sfavorevole | 1.35 | 0.75 | 1.01 |
| Acqua | Sfavorevole | 1.50 | 1.00 | 1.50 |
| Distr_3 | Sfavorevole | 1.35 | 0.40 | 0.54 |

Combinazione n° 10 SLU (Approccio 2)

| | Effetto | γ | Ψ | C |
|-------------------------|----------------|----------------------------|--------------------------|----------|
| Peso Proprio | Sfavorevole | 1.30 | 1.00 | 1.30 |
| Spinta terreno sinistra | Sfavorevole | 1.30 | 1.00 | 1.30 |
| Spinta terreno destra | Sfavorevole | 1.30 | 1.00 | 1.30 |
| Tandem_3 | Sfavorevole | 1.35 | 0.75 | 1.01 |
| Acqua | Sfavorevole | 1.50 | 1.00 | 1.50 |
| Distr_3 | Sfavorevole | 1.35 | 1.00 | 1.35 |

Combinazione n° 11 SLU (Approccio 2) - Sisma Vert. positivo

| | Effetto | γ | Ψ | C |
|-------------------------|----------------|----------------------------|--------------------------|----------|
| Peso Proprio | Sfavorevole | 1.00 | 1.00 | 1.00 |
| Spinta terreno sinistra | Sfavorevole | 1.00 | 1.00 | 1.00 |
| Spinta terreno destra | Sfavorevole | 1.00 | 1.00 | 1.00 |
| Acqua | Sfavorevole | 1.00 | 1.00 | 1.00 |
| Sisma da destra | Sfavorevole | 1.00 | 1.00 | 1.00 |

Combinazione n° 12 SLU (Approccio 2) - Sisma Vert. negativo

| | Effetto | γ | Ψ | C |
|-------------------------|----------------|----------------------------|--------------------------|----------|
| Peso Proprio | Sfavorevole | 1.00 | 1.00 | 1.00 |
| Spinta terreno sinistra | Sfavorevole | 1.00 | 1.00 | 1.00 |
| Spinta terreno destra | Sfavorevole | 1.00 | 1.00 | 1.00 |
| Acqua | Sfavorevole | 1.00 | 1.00 | 1.00 |
| Sisma da destra | Sfavorevole | 1.00 | 1.00 | 1.00 |

RTI di progettazione:**Mandataria**

Via G.B. Sammartini n°5
20125 - Milano
Tel. 02 6787911
email: mail@proiter.it

**Mandante**

Via Artemide n°3
92100 Agrigento
Tel. 0922 421007
email: deltaingegneria@pec.it

Progetto EsecutivoCombinazione n° 13 SLU (Approccio 2) - Sisma Vert. positivo

| | Effetto | γ | Ψ | C |
|-------------------------|----------------|----------------------------|--------------------------|----------|
| Peso Proprio | Sfavorevole | 1.00 | 1.00 | 1.00 |
| Spinta terreno sinistra | Sfavorevole | 1.00 | 1.00 | 1.00 |
| Spinta terreno destra | Sfavorevole | 1.00 | 1.00 | 1.00 |
| Acqua | Sfavorevole | 1.00 | 1.00 | 1.00 |
| Sisma da sinistra | Sfavorevole | 1.00 | 1.00 | 1.00 |

Combinazione n° 14 SLU (Approccio 2) - Sisma Vert. negativo

| | Effetto | γ | Ψ | C |
|-------------------------|----------------|----------------------------|--------------------------|----------|
| Peso Proprio | Sfavorevole | 1.00 | 1.00 | 1.00 |
| Spinta terreno sinistra | Sfavorevole | 1.00 | 1.00 | 1.00 |
| Spinta terreno destra | Sfavorevole | 1.00 | 1.00 | 1.00 |
| Acqua | Sfavorevole | 1.00 | 1.00 | 1.00 |
| Sisma da sinistra | Sfavorevole | 1.00 | 1.00 | 1.00 |

Combinazione n° 15 SLE (Rara)

| | Effetto | γ | Ψ | C |
|-------------------------|----------------|----------------------------|--------------------------|----------|
| Peso Proprio | Sfavorevole | 1.00 | 1.00 | 1.00 |
| Spinta terreno sinistra | Sfavorevole | 1.00 | 1.00 | 1.00 |
| Spinta terreno destra | Sfavorevole | 1.00 | 1.00 | 1.00 |
| Distr_1 | Sfavorevole | 1.00 | 1.00 | 1.00 |
| Tandem_1 | Sfavorevole | 1.00 | 0.75 | 0.75 |
| Acqua | Sfavorevole | 1.00 | 1.00 | 1.00 |

Combinazione n° 16 SLE (Frequente)

| | Effetto | γ | Ψ | C |
|-------------------------|----------------|----------------------------|--------------------------|----------|
| Peso Proprio | Sfavorevole | 1.00 | 1.00 | 1.00 |
| Spinta terreno sinistra | Sfavorevole | 1.00 | 1.00 | 1.00 |
| Spinta terreno destra | Sfavorevole | 1.00 | 1.00 | 1.00 |
| Distr_1 | Sfavorevole | 1.00 | 0.40 | 0.40 |
| Acqua | Sfavorevole | 1.00 | 1.00 | 1.00 |

Combinazione n° 17 SLE (Quasi Permanente)

| | Effetto | γ | Ψ | C |
|-------------------------|----------------|----------------------------|--------------------------|----------|
| Peso Proprio | Sfavorevole | 1.00 | 1.00 | 1.00 |
| Spinta terreno sinistra | Sfavorevole | 1.00 | 1.00 | 1.00 |
| Spinta terreno destra | Sfavorevole | 1.00 | 1.00 | 1.00 |
| Acqua | Sfavorevole | 1.00 | 1.00 | 1.00 |

Combinazione n° 18 SLE (Rara)

| | Effetto | γ | Ψ | C |
|-------------------------|----------------|----------------------------|--------------------------|----------|
| Peso Proprio | Sfavorevole | 1.00 | 1.00 | 1.00 |
| Spinta terreno sinistra | Sfavorevole | 1.00 | 1.00 | 1.00 |
| Spinta terreno destra | Sfavorevole | 1.00 | 1.00 | 1.00 |
| Distr_1 | Sfavorevole | 1.00 | 0.40 | 0.40 |
| Tandem_1 | Sfavorevole | 1.00 | 1.00 | 1.00 |
| Acqua | Sfavorevole | 1.00 | 1.00 | 1.00 |

Combinazione n° 19 SLE (Frequente)

| | Effetto | γ | Ψ | C |
|-------------------------|----------------|----------------------------|--------------------------|----------|
| Peso Proprio | Sfavorevole | 1.00 | 1.00 | 1.00 |
| Spinta terreno sinistra | Sfavorevole | 1.00 | 1.00 | 1.00 |
| Spinta terreno destra | Sfavorevole | 1.00 | 1.00 | 1.00 |
| Tandem_1 | Sfavorevole | 1.00 | 0.75 | 0.75 |
| Acqua | Sfavorevole | 1.00 | 1.00 | 1.00 |

Scatolare pk 148+140 - TS10 SU S15 - Relazione tecnica e di calcolo

RTI di progettazione:**Mandataria**

Via G.B. Sammartini n°5
20125 - Milano
Tel. 02 6787911
email: mail@proiter.it

**Mandante**

Via Artemide n°3
92100 Agrigento
Tel. 0922 421007
email: deltaingegneria@pec.it

Combinazione n° 20 SLE (Rara)

| | Effetto | γ | Ψ | C |
|-------------------------|----------------|----------------------------|--------------------------|----------|
| Peso Proprio | Sfavorevole | 1.00 | 1.00 | 1.00 |
| Spinta terreno sinistra | Sfavorevole | 1.00 | 1.00 | 1.00 |
| Spinta terreno destra | Sfavorevole | 1.00 | 1.00 | 1.00 |
| Distr_1 | Sfavorevole | 1.00 | 0.40 | 0.40 |
| Tandem_1 | Sfavorevole | 1.00 | 0.75 | 0.75 |
| Acqua | Sfavorevole | 1.00 | 1.00 | 1.00 |

Combinazione n° 21 SLE (Frequente)

| | Effetto | γ | Ψ | C |
|-------------------------|----------------|----------------------------|--------------------------|----------|
| Peso Proprio | Sfavorevole | 1.00 | 1.00 | 1.00 |
| Spinta terreno sinistra | Sfavorevole | 1.00 | 1.00 | 1.00 |
| Spinta terreno destra | Sfavorevole | 1.00 | 1.00 | 1.00 |
| Acqua | Sfavorevole | 1.00 | 1.00 | 1.00 |

Combinazione n° 22 SLE (Rara)

| | Effetto | γ | Ψ | C |
|-------------------------|----------------|----------------------------|--------------------------|----------|
| Peso Proprio | Sfavorevole | 1.00 | 1.00 | 1.00 |
| Spinta terreno sinistra | Sfavorevole | 1.00 | 1.00 | 1.00 |
| Spinta terreno destra | Sfavorevole | 1.00 | 1.00 | 1.00 |
| Tandem_2 | Sfavorevole | 1.00 | 1.00 | 1.00 |
| Acqua | Sfavorevole | 1.00 | 1.00 | 1.00 |
| Distr_2 | Sfavorevole | 1.00 | 0.40 | 0.40 |

Combinazione n° 23 SLE (Frequente)

| | Effetto | γ | Ψ | C |
|-------------------------|----------------|----------------------------|--------------------------|----------|
| Peso Proprio | Sfavorevole | 1.00 | 1.00 | 1.00 |
| Spinta terreno sinistra | Sfavorevole | 1.00 | 1.00 | 1.00 |
| Spinta terreno destra | Sfavorevole | 1.00 | 1.00 | 1.00 |
| Tandem_2 | Sfavorevole | 1.00 | 0.75 | 0.75 |
| Acqua | Sfavorevole | 1.00 | 1.00 | 1.00 |

Combinazione n° 24 SLE (Rara)

| | Effetto | γ | Ψ | C |
|-------------------------|----------------|----------------------------|--------------------------|----------|
| Peso Proprio | Sfavorevole | 1.00 | 1.00 | 1.00 |
| Spinta terreno sinistra | Sfavorevole | 1.00 | 1.00 | 1.00 |
| Spinta terreno destra | Sfavorevole | 1.00 | 1.00 | 1.00 |
| Tandem_2 | Sfavorevole | 1.00 | 0.75 | 0.75 |
| Acqua | Sfavorevole | 1.00 | 1.00 | 1.00 |
| Distr_2 | Sfavorevole | 1.00 | 0.40 | 0.40 |

Combinazione n° 25 SLE (Rara)

| | Effetto | γ | Ψ | C |
|-------------------------|----------------|----------------------------|--------------------------|----------|
| Peso Proprio | Sfavorevole | 1.00 | 1.00 | 1.00 |
| Spinta terreno sinistra | Sfavorevole | 1.00 | 1.00 | 1.00 |
| Spinta terreno destra | Sfavorevole | 1.00 | 1.00 | 1.00 |
| Tandem_2 | Sfavorevole | 1.00 | 0.75 | 0.75 |
| Acqua | Sfavorevole | 1.00 | 1.00 | 1.00 |
| Distr_2 | Sfavorevole | 1.00 | 1.00 | 1.00 |

Combinazione n° 26 SLE (Frequente)

| | Effetto | γ | Ψ | C |
|--------------|----------------|----------------------------|--------------------------|----------|
| Peso Proprio | Sfavorevole | 1.00 | 1.00 | 1.00 |

Scatolare pk 148+140 - TS10 SU S15 - Relazione tecnica e di calcolo

RTI di progettazione:**Mandataria**

Via G.B. Sammartini n°5
20125 - Milano
Tel. 02 6787911
email: mail@proiter.it

**Mandante**

Via Artemide n°3
92100 Agrigento
Tel. 0922 421007
email: deltaingegneria@pec.it

Progetto Esecutivo

| | | | | |
|-------------------------|-------------|------|------|------|
| Spinta terreno sinistra | Sfavorevole | 1.00 | 1.00 | 1.00 |
| Spinta terreno destra | Sfavorevole | 1.00 | 1.00 | 1.00 |
| Acqua | Sfavorevole | 1.00 | 1.00 | 1.00 |
| Distr_2 | Sfavorevole | 1.00 | 0.40 | 0.40 |

Combinazione n° 27 SLE (Rara)

| | Effetto | γ | Ψ | C |
|-------------------------|----------------|----------------------------|--------------------------|----------|
| Peso Proprio | Sfavorevole | 1.00 | 1.00 | 1.00 |
| Spinta terreno sinistra | Sfavorevole | 1.00 | 1.00 | 1.00 |
| Spinta terreno destra | Sfavorevole | 1.00 | 1.00 | 1.00 |
| Tandem_3 | Sfavorevole | 1.00 | 1.00 | 1.00 |
| Acqua | Sfavorevole | 1.00 | 1.00 | 1.00 |
| Distr_3 | Sfavorevole | 1.00 | 0.40 | 0.40 |

Combinazione n° 28 SLE (Frequente)

| | Effetto | γ | Ψ | C |
|-------------------------|----------------|----------------------------|--------------------------|----------|
| Peso Proprio | Sfavorevole | 1.00 | 1.00 | 1.00 |
| Spinta terreno sinistra | Sfavorevole | 1.00 | 1.00 | 1.00 |
| Spinta terreno destra | Sfavorevole | 1.00 | 1.00 | 1.00 |
| Tandem_3 | Sfavorevole | 1.00 | 0.75 | 0.75 |
| Acqua | Sfavorevole | 1.00 | 1.00 | 1.00 |

Combinazione n° 29 SLE (Rara)

| | Effetto | γ | Ψ | C |
|-------------------------|----------------|----------------------------|--------------------------|----------|
| Peso Proprio | Sfavorevole | 1.00 | 1.00 | 1.00 |
| Spinta terreno sinistra | Sfavorevole | 1.00 | 1.00 | 1.00 |
| Spinta terreno destra | Sfavorevole | 1.00 | 1.00 | 1.00 |
| Tandem_3 | Sfavorevole | 1.00 | 0.75 | 0.75 |
| Acqua | Sfavorevole | 1.00 | 1.00 | 1.00 |
| Distr_3 | Sfavorevole | 1.00 | 0.40 | 0.40 |

Combinazione n° 30 SLE (Rara)

| | Effetto | γ | Ψ | C |
|-------------------------|----------------|----------------------------|--------------------------|----------|
| Peso Proprio | Sfavorevole | 1.00 | 1.00 | 1.00 |
| Spinta terreno sinistra | Sfavorevole | 1.00 | 1.00 | 1.00 |
| Spinta terreno destra | Sfavorevole | 1.00 | 1.00 | 1.00 |
| Tandem_3 | Sfavorevole | 1.00 | 0.75 | 0.75 |
| Acqua | Sfavorevole | 1.00 | 1.00 | 1.00 |
| Distr_3 | Sfavorevole | 1.00 | 1.00 | 1.00 |

Combinazione n° 31 SLE (Frequente)

| | Effetto | γ | Ψ | C |
|-------------------------|----------------|----------------------------|--------------------------|----------|
| Peso Proprio | Sfavorevole | 1.00 | 1.00 | 1.00 |
| Spinta terreno sinistra | Sfavorevole | 1.00 | 1.00 | 1.00 |
| Spinta terreno destra | Sfavorevole | 1.00 | 1.00 | 1.00 |
| Acqua | Sfavorevole | 1.00 | 1.00 | 1.00 |
| Distr_3 | Sfavorevole | 1.00 | 0.40 | 0.40 |

Combinazione n° 32 SLE (Quasi Permanente) - Sisma Vert. positivo

| | Effetto | γ | Ψ | C |
|-------------------------|----------------|----------------------------|--------------------------|----------|
| Peso Proprio | Sfavorevole | 1.00 | 1.00 | 1.00 |
| Spinta terreno sinistra | Sfavorevole | 1.00 | 1.00 | 1.00 |
| Spinta terreno destra | Sfavorevole | 1.00 | 1.00 | 1.00 |
| Acqua | Sfavorevole | 1.00 | 1.00 | 1.00 |
| Sisma da sinistra | Sfavorevole | 1.00 | 1.00 | 1.00 |

Combinazione n° 33 SLE (Quasi Permanente) - Sisma Vert. negativo

| | Effetto | γ | Ψ | C |
|-------------------------|----------------|----------------------------|--------------------------|----------|
| Peso Proprio | Sfavorevole | 1.00 | 1.00 | 1.00 |
| Spinta terreno sinistra | Sfavorevole | 1.00 | 1.00 | 1.00 |
| Spinta terreno destra | Sfavorevole | 1.00 | 1.00 | 1.00 |
| Acqua | Sfavorevole | 1.00 | 1.00 | 1.00 |
| Sisma da sinistra | Sfavorevole | 1.00 | 1.00 | 1.00 |

Combinazione n° 34 SLE (Quasi Permanente) - Sisma Vert. positivo

| | Effetto | γ | Ψ | C |
|-------------------------|----------------|----------------------------|--------------------------|----------|
| Peso Proprio | Sfavorevole | 1.00 | 1.00 | 1.00 |
| Spinta terreno sinistra | Sfavorevole | 1.00 | 1.00 | 1.00 |
| Spinta terreno destra | Sfavorevole | 1.00 | 1.00 | 1.00 |
| Acqua | Sfavorevole | 1.00 | 1.00 | 1.00 |
| Sisma da destra | Sfavorevole | 1.00 | 1.00 | 1.00 |

Combinazione n° 35 SLE (Quasi Permanente) - Sisma Vert. negativo

| | Effetto | γ | Ψ | C |
|-------------------------|----------------|----------------------------|--------------------------|----------|
| Peso Proprio | Sfavorevole | 1.00 | 1.00 | 1.00 |
| Spinta terreno sinistra | Sfavorevole | 1.00 | 1.00 | 1.00 |
| Spinta terreno destra | Sfavorevole | 1.00 | 1.00 | 1.00 |
| Acqua | Sfavorevole | 1.00 | 1.00 | 1.00 |
| Sisma da destra | Sfavorevole | 1.00 | 1.00 | 1.00 |

9 RISULTATI DEI CALCOLI

9.1 Sollecitazioni

Vengono di seguito riportati, per ciascun elemento strutturale e per ciascuna combinazione, le sollecitazioni massime e minime.

Combinazione n° 1

| Elemento | M [kNm] | X [m] | V [kN] | X [m] | N [kN] | X [m] |
|--------------------|---------|-------|--------|-------|--------|-------|
| Fondazione | -34.12 | 0.18 | 108.05 | 2.44 | 64.82 | 0.26 |
| Piedritto sinistro | -34.12 | 0.18 | 64.89 | 0.18 | 111.88 | 0.18 |
| Piedritto destro | -34.12 | 0.18 | -64.89 | 0.18 | 111.88 | 0.18 |
| Traverso | -26.22 | 0.18 | 85.66 | 0.18 | 46.85 | 0.66 |

Combinazione n° 2

| Elemento | M [kNm] | X [m] | V [kN] | X [m] | N [kN] | X [m] |
|--------------------|---------|-------|--------|-------|--------|-------|
| Fondazione | 58.47 | 1.35 | 186.95 | 2.44 | 80.02 | 2.17 |
| Piedritto sinistro | -52.08 | 0.18 | 80.11 | 0.18 | 195.15 | 0.18 |
| Piedritto destro | -52.08 | 0.18 | -80.11 | 0.18 | 195.15 | 0.18 |
| Traverso | 56.34 | 1.35 | 168.94 | 0.18 | 65.17 | 0.51 |

Combinazione n° 3

| Elemento | M [kNm] | X [m] | V [kN] | X [m] | N [kN] | X [m] |
|--------------------|---------|-------|--------|-------|--------|-------|
| Fondazione | 64.83 | 1.35 | 202.42 | 2.44 | 79.46 | 2.17 |
| Piedritto sinistro | -55.01 | 0.18 | 79.55 | 0.18 | 211.26 | 0.18 |
| Piedritto destro | -55.01 | 0.18 | -79.55 | 0.18 | 211.26 | 0.18 |
| Traverso | 63.74 | 1.35 | 185.05 | 0.18 | 65.26 | 2.35 |

Combinazione n° 4

| Elemento | M [kNm] | X [m] | V [kN] | X [m] | N [kN] | X [m] |
|--------------------|----------------|--------------|---------------|--------------|---------------|--------------|
| Fondazione | 56.30 | 1.35 | 179.75 | 2.44 | 76.29 | 2.44 |
| Piedritto sinistro | -49.90 | 0.18 | 76.38 | 0.18 | 187.66 | 0.18 |
| Piedritto destro | -49.90 | 0.18 | -76.38 | 0.18 | 187.66 | 0.18 |
| Traverso | 54.15 | 1.35 | -161.45 | 2.53 | 61.41 | 2.19 |

Combinazione n° 5

| Elemento | M [kNm] | X [m] | V [kN] | X [m] | N [kN] | X [m] |
|--------------------|----------------|--------------|---------------|--------------|---------------|--------------|
| Fondazione | -73.62 | 2.53 | 201.27 | 2.44 | 81.27 | 1.80 |
| Piedritto sinistro | -60.27 | 2.53 | -65.34 | 2.53 | 201.60 | 0.18 |
| Piedritto destro | -73.62 | 0.18 | -107.55 | 0.18 | 208.37 | 0.18 |
| Traverso | -60.27 | 0.18 | -182.15 | 2.53 | 65.34 | 0.18 |

Combinazione n° 6

| Elemento | M [kNm] | X [m] | V [kN] | X [m] | N [kN] | X [m] |
|--------------------|----------------|--------------|---------------|--------------|---------------|--------------|
| Fondazione | -63.86 | 2.53 | 178.89 | 2.44 | 77.65 | 1.71 |
| Piedritto sinistro | -52.18 | 2.53 | -61.47 | 2.53 | 180.42 | 0.18 |
| Piedritto destro | -63.86 | 0.18 | -97.38 | 0.18 | 185.49 | 0.18 |
| Traverso | -52.18 | 0.18 | -159.28 | 2.53 | 61.47 | 0.18 |

Combinazione n° 7

| Elemento | M [kNm] | X [m] | V [kN] | X [m] | N [kN] | X [m] |
|--------------------|----------------|--------------|---------------|--------------|---------------|--------------|
| Fondazione | -66.04 | 2.53 | 186.09 | 2.44 | 81.38 | 2.17 |
| Piedritto sinistro | -54.38 | 2.53 | -65.23 | 2.53 | 187.91 | 0.18 |
| Piedritto destro | -66.04 | 0.18 | -101.11 | 0.18 | 192.98 | 0.18 |
| Traverso | -54.38 | 0.18 | -166.77 | 2.53 | 65.23 | 0.51 |

Combinazione n° 8

| Elemento | M [kNm] | X [m] | V [kN] | X [m] | N [kN] | X [m] |
|--------------------|----------------|--------------|---------------|--------------|---------------|--------------|
| Fondazione | -58.29 | 2.53 | -115.93 | 0.18 | 79.57 | 0.53 |
| Piedritto sinistro | -44.09 | 2.53 | -62.64 | 2.53 | 125.25 | 0.18 |
| Piedritto destro | -58.29 | 0.18 | -110.21 | 0.18 | 103.26 | 0.18 |
| Traverso | -44.09 | 0.18 | 99.03 | 0.18 | 62.64 | 1.86 |

Combinazione n° 9

| Elemento | M [kNm] | X [m] | V [kN] | X [m] | N [kN] | X [m] |
|--------------------|----------------|--------------|---------------|--------------|---------------|--------------|
| Fondazione | -52.57 | 2.53 | -113.91 | 0.18 | 76.02 | 1.53 |
| Piedritto sinistro | -40.09 | 2.53 | -59.10 | 2.53 | 122.43 | 0.18 |
| Piedritto destro | -52.57 | 0.18 | -99.57 | 0.18 | 106.08 | 0.18 |
| Traverso | -40.09 | 0.18 | 96.22 | 0.18 | 59.10 | 1.26 |

Combinazione n° 10

| Elemento | M [kNm] | X [m] | V [kN] | X [m] | N [kN] | X [m] |
|--------------------|----------------|--------------|---------------|--------------|---------------|--------------|
| Fondazione | -56.01 | 2.53 | -116.73 | 0.18 | 77.65 | 1.62 |
| Piedritto sinistro | -42.59 | 2.53 | -60.77 | 2.53 | 125.58 | 0.18 |
| Piedritto destro | -56.01 | 0.18 | -104.50 | 0.18 | 110.05 | 0.18 |
| Traverso | -42.59 | 0.18 | 99.37 | 0.18 | 60.77 | 1.26 |

Combinazione n° 11

| Elemento | M [kNm] | X [m] | V [kN] | X [m] | N [kN] | X [m] |
|--------------------|----------------|--------------|---------------|--------------|---------------|--------------|
| Fondazione | -31.68 | 2.53 | -85.11 | 0.18 | 52.81 | 0.18 |
| Piedritto sinistro | -24.72 | 2.53 | 44.98 | 0.18 | 90.49 | 0.18 |
| Piedritto destro | -31.68 | 0.18 | -59.28 | 0.18 | 83.85 | 0.18 |
| Traverso | -24.72 | 0.18 | 69.58 | 0.18 | 39.49 | 0.18 |

Combinazione n° 12

| Elemento | M [kNm] | X [m] | V [kN] | X [m] | N [kN] | X [m] |
|--------------------|----------------|--------------|---------------|--------------|---------------|--------------|
| Fondazione | -29.50 | 2.53 | -82.41 | 0.18 | 51.59 | 0.18 |
| Piedritto sinistro | -23.47 | 2.53 | 45.84 | 0.18 | 87.44 | 0.18 |
| Piedritto destro | -29.50 | 0.18 | -55.98 | 0.18 | 82.46 | 0.18 |
| Traverso | -23.47 | 0.18 | 68.02 | 0.18 | 38.63 | 0.18 |

Combinazione n° 13

| Elemento | M [kNm] | X [m] | V [kN] | X [m] | N [kN] | X [m] |
|--------------------|----------------|--------------|---------------|--------------|---------------|--------------|
| Fondazione | -31.68 | 0.18 | 85.89 | 2.44 | 52.81 | 2.53 |
| Piedritto sinistro | -31.68 | 0.18 | 59.28 | 0.18 | 83.85 | 0.18 |
| Piedritto destro | -24.72 | 2.53 | -44.98 | 0.18 | 90.49 | 0.18 |
| Traverso | -24.72 | 2.53 | -69.58 | 2.53 | 39.49 | 2.53 |

Combinazione n° 14

| Elemento | M [kNm] | X [m] | V [kN] | X [m] | N [kN] | X [m] |
|--------------------|----------------|--------------|---------------|--------------|---------------|--------------|
| Fondazione | -29.50 | 0.18 | 83.13 | 2.44 | 51.59 | 2.53 |
| Piedritto sinistro | -29.50 | 0.18 | 55.98 | 0.18 | 82.46 | 0.18 |
| Piedritto destro | -23.47 | 2.53 | -45.84 | 0.18 | 87.44 | 0.18 |
| Traverso | -23.47 | 2.53 | -68.02 | 2.53 | 38.63 | 2.53 |

Combinazione n° 15

| Elemento | M [kNm] | X [m] | V [kN] | X [m] | N [kN] | X [m] |
|--------------------|----------------|--------------|---------------|--------------|---------------|--------------|
| Fondazione | 44.31 | 1.35 | 141.64 | 2.44 | 61.16 | 0.62 |
| Piedritto sinistro | -39.62 | 0.18 | 61.23 | 0.18 | 147.75 | 0.18 |
| Piedritto destro | -39.62 | 0.18 | -61.23 | 0.18 | 147.75 | 0.18 |
| Traverso | 42.44 | 1.35 | 127.58 | 0.18 | 49.57 | 0.35 |

Combinazione n° 16

| Elemento | M [kNm] | X [m] | V [kN] | X [m] | N [kN] | X [m] |
|--------------------|----------------|--------------|---------------|--------------|---------------|--------------|
| Fondazione | -26.65 | 2.53 | 85.93 | 2.44 | 51.36 | 0.44 |
| Piedritto sinistro | -26.65 | 0.18 | 51.42 | 0.18 | 89.76 | 0.18 |
| Piedritto destro | -26.65 | 0.18 | -51.42 | 0.18 | 89.76 | 0.18 |
| Traverso | -21.39 | 2.53 | -69.59 | 2.53 | 38.23 | 0.35 |

Combinazione n° 17

| Elemento | M [kNm] | X [m] | V [kN] | X [m] | N [kN] | X [m] |
|--------------------|----------------|--------------|---------------|--------------|---------------|--------------|
| Fondazione | -25.57 | 2.53 | 82.38 | 2.44 | 49.52 | 2.08 |
| Piedritto sinistro | -25.57 | 0.18 | 49.57 | 0.18 | 86.06 | 0.18 |
| Piedritto destro | -25.57 | 0.18 | -49.57 | 0.18 | 86.06 | 0.18 |
| Traverso | -20.30 | 0.18 | 65.90 | 0.18 | 36.38 | 0.18 |

Combinazione n° 18

| Elemento | M [kNm] | X [m] | V [kN] | X [m] | N [kN] | X [m] |
|--------------------|----------------|--------------|---------------|--------------|---------------|--------------|
| Fondazione | 49.02 | 1.35 | 153.10 | 2.44 | 60.74 | 0.18 |
| Piedritto sinistro | -41.79 | 0.18 | 60.81 | 0.18 | 159.68 | 0.18 |
| Piedritto destro | -41.79 | 0.18 | -60.81 | 0.18 | 159.68 | 0.18 |
| Traverso | 47.91 | 1.35 | -139.51 | 2.53 | 49.64 | 0.18 |

Combinazione n° 19

| Elemento | M [kNm] | X [m] | V [kN] | X [m] | N [kN] | X [m] |
|--------------------|----------------|--------------|---------------|--------------|---------------|--------------|
| Fondazione | 41.63 | 1.35 | 132.75 | 2.44 | 56.55 | 0.71 |
| Piedritto sinistro | -36.93 | 0.18 | 56.62 | 0.18 | 138.50 | 0.18 |
| Piedritto destro | -36.93 | 0.18 | -56.62 | 0.18 | 138.50 | 0.18 |
| Traverso | 39.73 | 1.35 | -118.33 | 2.53 | 44.93 | 0.66 |

Combinazione n° 20

| Elemento | M [kNm] | X [m] | V [kN] | X [m] | N [kN] | X [m] |
|--------------------|----------------|--------------|---------------|--------------|---------------|--------------|
| Fondazione | 42.70 | 1.35 | 136.31 | 2.44 | 58.40 | 2.44 |
| Piedritto sinistro | -38.01 | 0.18 | 58.46 | 0.18 | 142.20 | 0.18 |
| Piedritto destro | -38.01 | 0.18 | -58.46 | 0.18 | 142.20 | 0.18 |
| Traverso | 40.81 | 1.35 | -122.03 | 2.53 | 46.79 | 0.51 |

Combinazione n° 21

| Elemento | M [kNm] | X [m] | V [kN] | X [m] | N [kN] | X [m] |
|--------------------|----------------|--------------|---------------|--------------|---------------|--------------|
| Fondazione | -25.57 | 2.53 | 82.38 | 2.44 | 49.52 | 2.08 |
| Piedritto sinistro | -25.57 | 0.18 | 49.57 | 0.18 | 86.06 | 0.18 |
| Piedritto destro | -25.57 | 0.18 | -49.57 | 0.18 | 86.06 | 0.18 |
| Traverso | -20.30 | 0.18 | 65.90 | 0.18 | 36.38 | 0.18 |

Combinazione n° 22

| Elemento | M [kNm] | X [m] | V [kN] | X [m] | N [kN] | X [m] |
|--------------------|----------------|--------------|---------------|--------------|---------------|--------------|
| Fondazione | -55.58 | 2.53 | 152.25 | 2.44 | 62.08 | 1.08 |
| Piedritto sinistro | -45.38 | 2.53 | -49.70 | 2.53 | 152.52 | 0.18 |
| Piedritto destro | -55.58 | 0.18 | -81.55 | 0.18 | 157.53 | 0.18 |
| Traverso | -45.38 | 0.18 | -137.37 | 2.53 | 49.70 | 0.96 |

Combinazione n° 23

| Elemento | M [kNm] | X [m] | V [kN] | X [m] | N [kN] | X [m] |
|--------------------|----------------|--------------|---------------|--------------|---------------|--------------|
| Fondazione | -47.27 | 2.53 | 132.11 | 2.44 | 57.56 | 0.71 |
| Piedritto sinistro | -38.29 | 2.53 | -44.98 | 2.53 | 133.13 | 0.18 |
| Piedritto destro | -47.27 | 0.18 | -72.17 | 0.18 | 136.89 | 0.18 |
| Traverso | -38.29 | 0.18 | -116.73 | 2.53 | 44.98 | 0.66 |

Combinazione n° 24

| Elemento | M [kNm] | X [m] | V [kN] | X [m] | N [kN] | X [m] |
|--------------------|----------------|--------------|---------------|--------------|---------------|--------------|
| Fondazione | -48.35 | 2.53 | 135.67 | 2.44 | 59.40 | 2.08 |
| Piedritto sinistro | -39.38 | 2.53 | -46.83 | 2.53 | 136.83 | 0.18 |
| Piedritto destro | -48.35 | 0.18 | -74.02 | 0.18 | 140.59 | 0.18 |
| Traverso | -39.38 | 0.18 | -120.43 | 2.53 | 46.83 | 0.81 |

Combinazione n° 25

| Elemento | M [kNm] | X [m] | V [kN] | X [m] | N [kN] | X [m] |
|--------------------|----------------|--------------|---------------|--------------|---------------|--------------|
| Fondazione | -49.96 | 2.53 | 141.00 | 2.44 | 62.17 | 1.53 |
| Piedritto sinistro | -41.01 | 2.53 | -49.62 | 2.53 | 142.38 | 0.18 |
| Piedritto destro | -49.96 | 0.18 | -76.79 | 0.18 | 146.14 | 0.18 |
| Traverso | -41.01 | 0.18 | -125.97 | 2.53 | 49.62 | 2.02 |

Combinazione n° 26

| Elemento | M [kNm] | X [m] | V [kN] | X [m] | N [kN] | X [m] |
|--------------------|----------------|--------------|---------------|--------------|---------------|--------------|
| Fondazione | -26.65 | 2.53 | 85.93 | 2.44 | 51.36 | 0.44 |
| Piedritto sinistro | -26.65 | 0.18 | 51.42 | 0.18 | 89.76 | 0.18 |
| Piedritto destro | -26.65 | 0.18 | -51.42 | 0.18 | 89.76 | 0.18 |
| Traverso | -21.39 | 2.53 | -69.59 | 2.53 | 38.23 | 0.35 |

Combinazione n° 27

| Elemento | M [kNm] | X [m] | V [kN] | X [m] | N [kN] | X [m] |
|--------------------|----------------|--------------|---------------|--------------|---------------|--------------|
| Fondazione | -44.23 | 2.53 | -89.01 | 0.18 | 60.82 | 1.80 |
| Piedritto sinistro | -33.39 | 2.53 | -47.70 | 2.53 | 95.96 | 0.18 |
| Piedritto destro | -44.23 | 0.18 | -83.52 | 0.18 | 79.68 | 0.18 |
| Traverso | -33.39 | 0.18 | 75.80 | 0.18 | 47.70 | 0.35 |

Combinazione n° 28

| Elemento | M [kNm] | X [m] | V [kN] | X [m] | N [kN] | X [m] |
|--------------------|----------------|--------------|---------------|--------------|---------------|--------------|
| Fondazione | -38.29 | 2.53 | -86.12 | 0.18 | 57.39 | 1.08 |
| Piedritto sinistro | -29.19 | 2.53 | -44.25 | 2.53 | 92.32 | 0.18 |
| Piedritto destro | -38.29 | 0.18 | -73.21 | 0.18 | 79.80 | 0.18 |
| Traverso | -29.19 | 0.18 | 72.15 | 0.18 | 44.25 | 0.66 |

Combinazione n° 29

| Elemento | M [kNm] | X [m] | V [kN] | X [m] | N [kN] | X [m] |
|--------------------|----------------|--------------|---------------|--------------|---------------|--------------|
| Fondazione | -39.99 | 2.53 | -87.51 | 0.18 | 58.20 | 1.26 |
| Piedritto sinistro | -30.43 | 2.53 | -45.07 | 2.53 | 93.88 | 0.18 |
| Piedritto destro | -39.99 | 0.18 | -75.64 | 0.18 | 81.76 | 0.18 |
| Traverso | -30.43 | 0.18 | 73.71 | 0.18 | 45.07 | 1.86 |

Combinazione n° 30

| Elemento | M [kNm] | X [m] | V [kN] | X [m] | N [kN] | X [m] |
|--------------------|----------------|--------------|---------------|--------------|---------------|--------------|
| Fondazione | -42.53 | 2.53 | -89.60 | 0.18 | 59.40 | 0.90 |
| Piedritto sinistro | -32.28 | 2.53 | -46.31 | 2.53 | 96.21 | 0.18 |
| Piedritto destro | -42.53 | 0.18 | -79.30 | 0.18 | 84.71 | 0.18 |
| Traverso | -32.28 | 0.18 | 76.05 | 0.18 | 46.31 | 1.26 |

Combinazione n° 31

| Elemento | M [kNm] | X [m] | V [kN] | X [m] | N [kN] | X [m] |
|--------------------|----------------|--------------|---------------|--------------|---------------|--------------|
| Fondazione | -27.27 | 2.53 | 84.36 | 2.44 | 50.32 | 0.80 |
| Piedritto sinistro | -24.87 | 0.18 | 48.75 | 0.18 | 87.62 | 0.18 |
| Piedritto destro | -27.27 | 0.18 | -52.01 | 0.18 | 88.02 | 0.18 |
| Traverso | -21.53 | 0.18 | -67.86 | 2.53 | 37.21 | 0.81 |

Combinazione n° 32

| Elemento | M [kNm] | X [m] | V [kN] | X [m] | N [kN] | X [m] |
|--------------------|----------------|--------------|---------------|--------------|---------------|--------------|
| Fondazione | -28.68 | 0.18 | 84.17 | 2.44 | 51.19 | 2.53 |
| Piedritto sinistro | -28.68 | 0.18 | 54.50 | 0.18 | 84.94 | 0.18 |
| Piedritto destro | -23.22 | 0.18 | -47.23 | 0.18 | 88.33 | 0.18 |
| Traverso | -22.55 | 2.53 | -67.78 | 2.53 | 37.96 | 2.53 |

Combinazione n° 33

| Elemento | M [kNm] | X [m] | V [kN] | X [m] | N [kN] | X [m] |
|--------------------|----------------|--------------|---------------|--------------|---------------|--------------|
| Fondazione | -27.55 | 0.18 | 82.75 | 2.44 | 50.55 | 2.53 |
| Piedritto sinistro | -27.55 | 0.18 | 52.78 | 0.18 | 84.23 | 0.18 |
| Piedritto destro | -23.62 | 0.18 | -47.68 | 0.18 | 86.75 | 0.18 |
| Traverso | -21.90 | 2.53 | -66.96 | 2.53 | 37.51 | 2.53 |

Combinazione n° 34

| Elemento | M [kNm] | X [m] | V [kN] | X [m] | N [kN] | X [m] |
|--------------------|----------------|--------------|---------------|--------------|---------------|--------------|
| Fondazione | -28.68 | 2.53 | -83.41 | 0.18 | 51.19 | 0.18 |
| Piedritto sinistro | -23.22 | 0.18 | 47.23 | 0.18 | 88.33 | 0.18 |
| Piedritto destro | -28.68 | 0.18 | -54.50 | 0.18 | 84.94 | 0.18 |
| Traverso | -22.55 | 0.18 | 67.78 | 0.18 | 37.96 | 0.18 |

Combinazione n° 35

| Elemento | M [kNm] | X [m] | V [kN] | X [m] | N [kN] | X [m] |
|--------------------|----------------|--------------|---------------|--------------|---------------|--------------|
| Fondazione | -27.55 | 2.53 | -82.01 | 0.18 | 50.55 | 0.18 |
| Piedritto sinistro | -23.62 | 0.18 | 47.68 | 0.18 | 86.75 | 0.18 |
| Piedritto destro | -27.55 | 0.18 | -52.78 | 0.18 | 84.23 | 0.18 |
| Traverso | -21.90 | 0.18 | 66.96 | 0.18 | 37.51 | 0.18 |

9.2 Inviluppo delle sollecitazioni

Sollecitazioni massime e minime

| Elemento | M [kNm] | X [m] | V [kN] | X [m] | N [kN] | X [m] |
|--------------------|------------|-------|-------------|-------|------------|-------|
| Fondazione | -73.62 (5) | 2.53 | 202.42 (3) | 2.44 | 81.38 (7) | 2.17 |
| Piedritto sinistro | -60.27 (5) | 2.53 | 80.11 (2) | 0.18 | 211.26 (3) | 0.18 |
| Piedritto destro | -73.62 (5) | 0.18 | -110.21 (8) | 0.18 | 211.26 (3) | 0.18 |
| Traverso | 63.74 (3) | 1.35 | 185.05 (3) | 0.18 | 65.34 (5) | 0.18 |

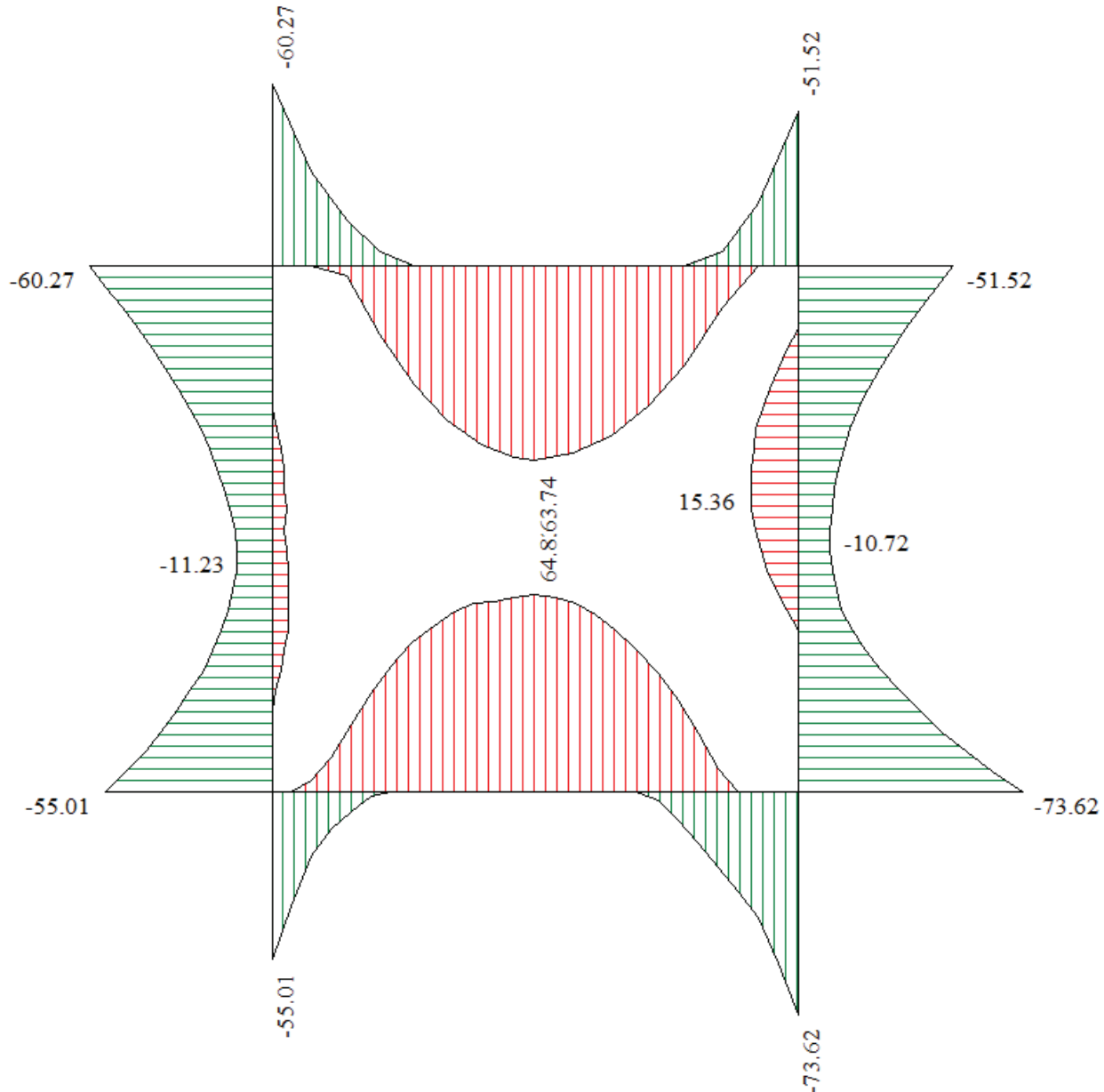


Figura 15 – Inviluppo del diagramma del momento

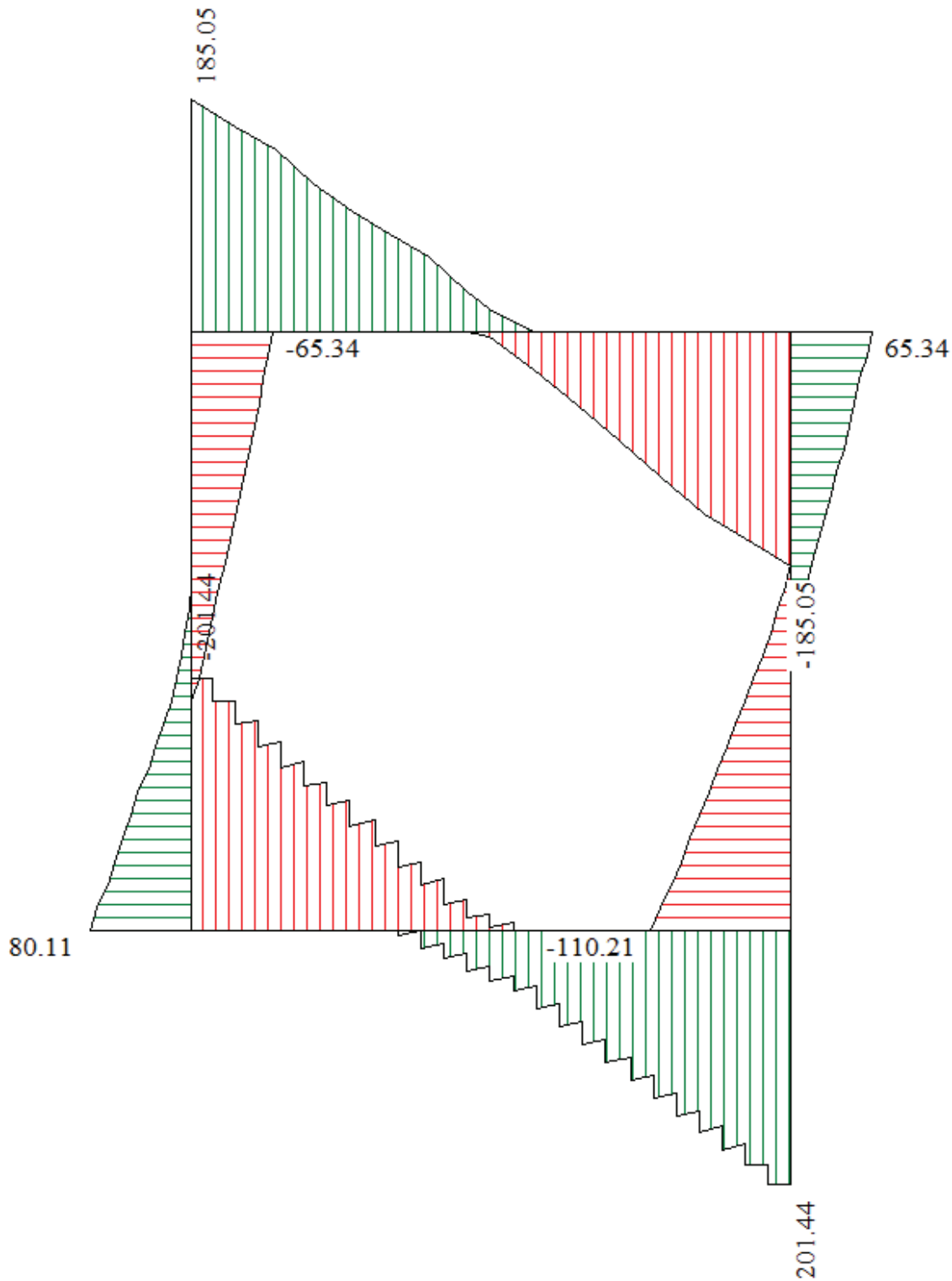


Figura 16 – Inviluppo del diagramma del taglio

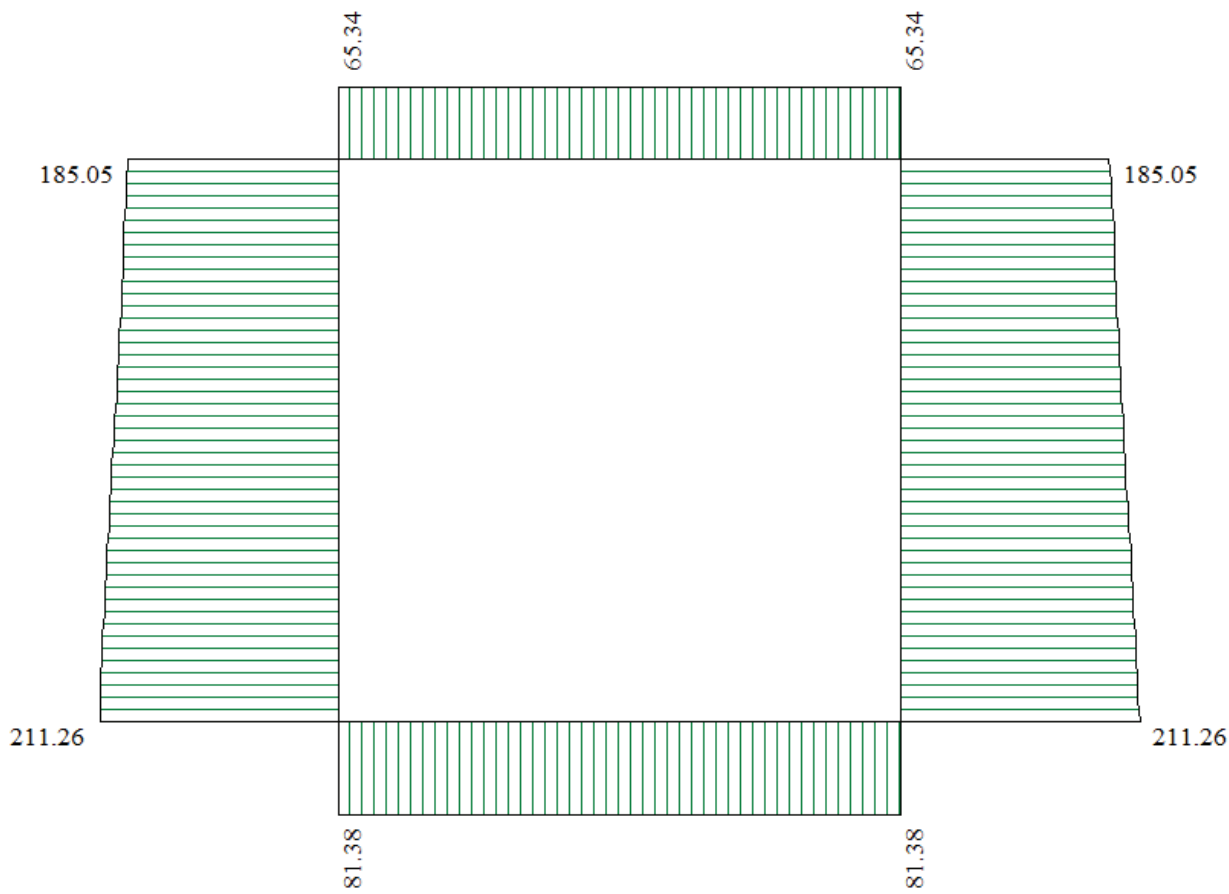


Figura 17 – Inviluppo del diagramma dello sforzo normale

9.3 Inviluppo spostamenti nodali

Inviluppo spostamenti fondazione

| X [m] | uXmin [cm] | uXmax [cm] | uYmin [cm] | uYmax [cm] |
|-------|------------|------------|------------|------------|
| 0.18 | -0.2767 | 0.0722 | 0.1644 | 0.5056 |
| 1.35 | -0.2775 | 0.0717 | 0.1918 | 0.4227 |
| 2.44 | -0.2783 | 0.0712 | 0.0922 | 0.4489 |

Inviluppo spostamenti traverso

| X [m] | uXmin [cm] | uXmax [cm] | uYmin [cm] | uYmax [cm] |
|-------|------------|------------|------------|------------|
| 0.18 | -0.6127 | 0.1616 | 0.1659 | 0.5094 |

Progetto Esecutivo

| | | | | |
|------|---------|--------|--------|--------|
| 1.35 | -0.6133 | 0.1613 | 0.2083 | 0.4786 |
| 2.53 | -0.6139 | 0.1609 | 0.0936 | 0.4529 |

Inviluppo spostamenti piedritto sinistro

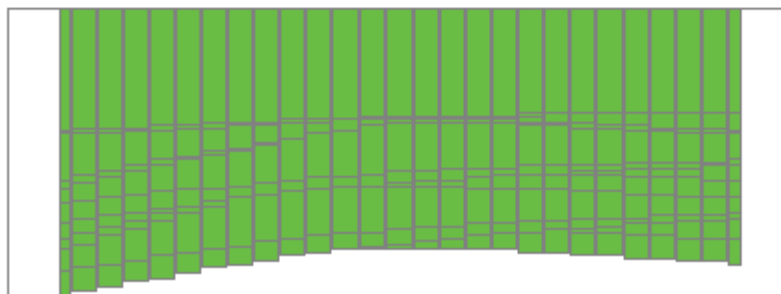
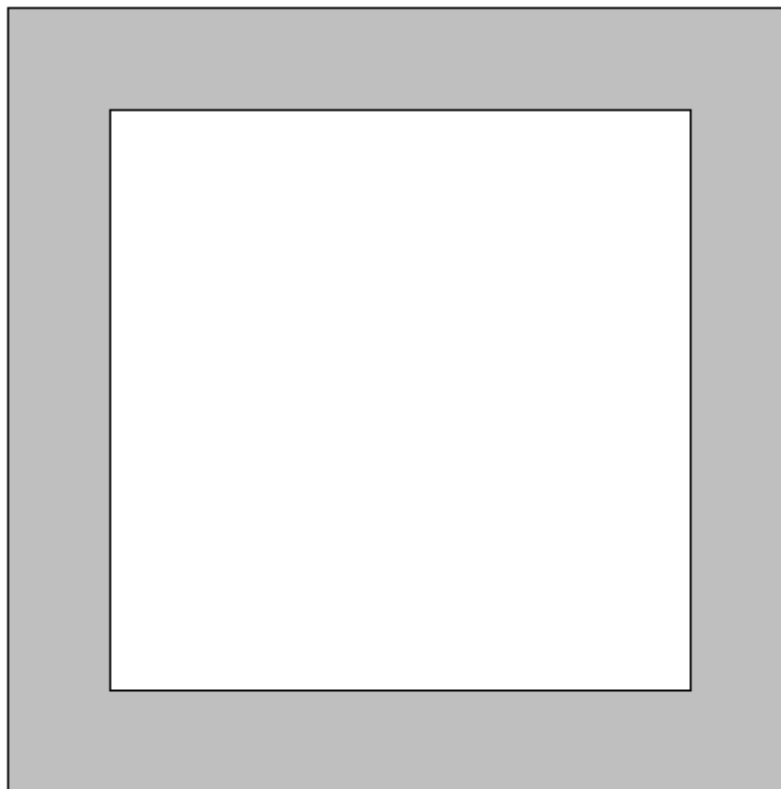
| Y [m] | uXmin [cm] | uXmax [cm] | uYmin [cm] | uYmax [cm] |
|-------|------------|------------|------------|------------|
| 0.18 | -0.2767 | 0.0722 | 0.1644 | 0.5056 |
| 1.35 | -0.4459 | 0.1166 | 0.1652 | 0.5075 |
| 2.53 | -0.6127 | 0.1616 | 0.1659 | 0.5094 |

Inviluppo spostamenti piedritto destro

| Y [m] | uXmin [cm] | uXmax [cm] | uYmin [cm] | uYmax [cm] |
|-------|------------|------------|------------|------------|
| 0.18 | -0.2783 | 0.0712 | 0.0922 | 0.4489 |
| 1.35 | -0.4492 | 0.1173 | 0.0930 | 0.4510 |
| 2.53 | -0.6139 | 0.1609 | 0.0936 | 0.4529 |

9.4 Inviluppo pressioni sul terreno di fondazione

| X [m] | $\sigma_{t\min}$ [N/mmq] | $\sigma_{t\max}$ [N/mmq] |
|-------|--------------------------|--------------------------|
| 0.18 | 0.082 | 0.253 |
| 1.35 | 0.096 | 0.211 |
| 2.53 | 0.046 | 0.224 |



0.253 [N/mm²]

Figura 18 – Inviluppo delle pressioni sul terreno di fondazione

10 VERIFICHE STRUTTURALI

10.1 Armature

Il tombino sarà armato come segue:

- Fondazione:
 - spessore 35 cm
 - armatura superiore $\Phi 16/20\text{cm}$
 - armatura inferiore $\Phi 16/20\text{cm}$
 - armatura a taglio spille $\Phi 8/20\text{cm} \times 20\text{cm}$ per una larghezza di 60 cm dagli incastri sui muri
 - armatura longitudinale $\Phi 12/20\text{cm}$

- Traverso:
 - spessore 35 cm
 - armatura superiore $\Phi 16/20\text{cm}$
 - armatura inferiore $\Phi 16/20\text{cm}$
 - armatura a taglio spille $9\Phi 8/20\text{cm} \times 20\text{cm}$ per una larghezza di 60 cm dagli incastri sui muri
 - armatura longitudinale $\Phi 12/20\text{cm}$

- Piedritti:
 - spessore 35 cm
 - armatura esterna $\Phi 16/20\text{cm}$
 - armatura interna $\Phi 12/20\text{cm}$
 - armatura a taglio non necessaria
 - armatura longitudinale $\Phi 12/20\text{cm}$

10.2 Verifiche allo stato limite ultimo (SLU)

10.2.1 Fondazione

Momento massimo agli incastri: -74 kN m

| | | |
|------------------------|---------------|-------------------|
| M_{xRd} | -116.8 | kN m |
| σ_c | -17 | N/mm ² |
| σ_s | 391.3 | N/mm ² |
| ϵ_c | 3.5 | % |
| ϵ_s | 22.42 | % |
| d | 30 | cm |
| x | 4.051 | x/d 0.135 |
| δ | 0.7 | |

Momento massimo in mezzeria: 65 kN m

| | | |
|------------------------|--------------|-------------------|
| M_{xRd} | 116.8 | kN m |
| σ_c | -17 | N/mm ² |
| σ_s | 391.3 | N/mm ² |
| ϵ_c | 3.5 | % |
| ϵ_s | 22.42 | % |
| d | 30 | cm |
| x | 4.051 | x/d 0.135 |
| δ | 0.7 | |

Verifica a taglio:

Caratteristiche geometriche della sezione

| | | |
|-----------------------------|----------------|------------------------|
| Base della sezione | b _w | 1000 mm |
| Altezza della sezione | H | 350 mm |
| Copriferro | c | 40 mm |
| Area della sezione | A _c | 350000 mm ² |
| | δ | 48 mm |
| Altezza utile della sezione | d | 302 mm |

Armatura longitudinale tesa

| | |
|--------------|----|
| n ferri long | 5 |
| ϕ_{sl} | 16 |

Armatura a taglio

| | | |
|---|-------------|---------|
| Inclinazione armatura a taglio | α | 90.00 ° |
| numero staffe al metro in direzione longitudinale | n. staffe | 5.00 |
| | n° bracci | 5 |
| | ϕ_{sw} | 8 mm |

Azioni di calcolo

| | | |
|--|-----------------|-----------|
| Taglio di calcolo | V _{ED} | 201.00 kN |
| Sforzo normale (compressione positivo) | N _{Ed} | 0.00 kN |

α_{cw} 1.00 -
 $\cot\delta$ 2.50 -

Elementi privi di armatura resistente a taglio

| | |
|-----------------------|------------------|
| - Vcls1 | 140.04 kN |
| - Vcls2 | 139.16 kN |
| V_{Rd} | 140.04 kN |

Necessità di armature a taglio

V_{RD cl5} < **V_{ED}** SI

Elementi con amature trasversali resistenti a taglio

| | | |
|------------------------------------|-----------------------|------------------|
| Resistenza a "taglio trazione" | V _{RSD} | 333.96 kN |
| Resistenza a "taglio compressione" | V _{RCD} | 771.43 kN |
| Resistenza a taglio | V_{RD} | 333.96 kN |



10.2.2 Traverso

Momento massimo agli incastri: -60 kN m

| | | |
|------------------------|---------------|-------------------|
| M_{xRd} | -116.8 | kN m |
| σ_c | -17 | N/mm ² |
| σ_s | 391.3 | N/mm ² |
| ϵ_c | 3.5 | % |
| ϵ_s | 22.42 | % |
| d | 30 | cm |
| x | 4.051 | x/d 0.135 |
| δ | 0.7 | |

Momento massimo in mezzeria: 64 kN m

| | | |
|------------------------|--------------|-------------------|
| M_{xRd} | 116.8 | kN m |
| σ_c | -17 | N/mm ² |
| σ_s | 391.3 | N/mm ² |
| ϵ_c | 3.5 | % |
| ϵ_s | 22.42 | % |
| d | 30 | cm |
| x | 4.051 | x/d 0.135 |
| δ | 0.7 | |

Verifica a taglio:

Caratteristiche geometriche della sezione

| | | |
|-----------------------------|----------------|------------------------|
| Base della sezione | b _w | 1000 mm |
| Altezza della sezione | H | 350 mm |
| Copriferro | c | 40 mm |
| Area della sezione | A _c | 350000 mm ² |
| | δ | 48 mm |
| Altezza utile della sezione | d | 302 mm |

Armatura longitudinale tesa

| | |
|--------------|----|
| n ferri long | 5 |
| ϕ_{sl} | 16 |

Armatura a taglio

| | | |
|---|-----------|---------|
| Inclinazione armatura a taglio | α | 90.00 ° |
| numero staffe al metro in direzione longitudinale | n. staffe | 5.00 |
| | n° bracci | 5 |

ϕ_{sw} 8 mm

Azioni di calcolo

| | | |
|--|-----------------|-----------|
| Taglio di calcolo | V _{ED} | 185.00 kN |
| Sforzo normale (compressione positivo) | N _{Ed} | 0.00 kN |

| | | |
|---------------|------------|--------|
| α_{cw} | α_w | 1.00 - |
| cot δ | | 2.50 - |

Elementi privi di armatura resistente a taglio

| | |
|-----------------|------------------|
| - Vcls1 | 140.04 kN |
| - Vcls2 | 139.16 kN |
| V _{Rd} | 140.04 kN |

Necessità di armature a taglio

V_{RD cl5} < V_{ED} SI

Elementi con amature trasversali resistenti a taglio

| | | |
|------------------------------------|------------------|------------------|
| Resistenza a "taglio trazione" | V _{RSD} | 333.96 kN |
| Resistenza a "taglio compressione" | V _{RCD} | 771.43 kN |
| Resistenza a taglio | V _{RD} | 333.96 kN |



10.2.3 Piedritti

Momento massimo negativo: -73 kN m

| | | |
|------------------------|---------------|-------------------|
| M_{xRd} | -116.8 | kN m |
| σ_c | -17 | N/mm ² |
| σ_s | 391.3 | N/mm ² |
| ϵ_c | 3.5 | % |
| ϵ_s | 22.42 | % |
| d | 30 | cm |
| x | 4.051 | x/d 0.135 |
| δ | 0.7 | |

Momento massimo positivo: 15 kN m

| | | |
|------------------------|--------------|-------------------|
| M_{xRd} | 72.62 | kN m |
| σ_c | -17 | N/mm ² |
| σ_s | 391.3 | N/mm ² |
| ϵ_c | 3.5 | % |
| ϵ_s | 25.7 | % |
| d | 30 | cm |
| x | 3.596 | x/d 0.1199 |
| δ | 0.7 | |

Verifica a taglio:

| Caratteristiche geometriche della sezione | | |
|--|----------------|------------------------|
| Base della sezione | b _w | 1000 mm |
| Altezza della sezione | H | 350 mm |
| Copriferro | c | 40 mm |
| Area della sezione | A _c | 350000 mm ² |
| | δ | 46 mm |
| Altezza utile della sezione | d | 304 mm |

| Armatura longitudinale tesa | | |
|------------------------------------|---|--|
| n ferri long | 5 | |

| Armatura a taglio | | |
|---|-----------|---------|
| Inclinazione armatura a taglio | α | 90.00 ° |
| numero staffe al metro in direzione longitudinale | n. staffe | 5.00 |
| n° bracci | 5 | |
| ϕ_{sw} | 8 | mm |

| Azioni di calcolo | | |
|--|-----------------|-----------|
| Taglio di calcolo | V _{ED} | 110.00 kN |
| Sforzo normale (compressione positivo) | N _{Ed} | 0.00 kN |

| | | |
|---|---------------------------------------|-----------|
| Caratteristiche della sezione | a_w | 1.00 - |
| | $\cot\theta$ | 2.50 - |
| Elementi privi di armatura resistente a taglio | | |
| | | |
| Resistenza al taglio | V _{Rd} | 139.78 kN |
| Necessità di armature a taglio | | |
| | V _{RD cl5} < V _{ED} | NO |
| Elementi con amature trasversali resistenti a taglio | | |
| Resistenza a "taglio trazione" | V _{RSO} | 336.17 kN |
| Resistenza a "taglio compressione" | V _{RCD} | 776.54 kN |
| Resistenza a taglio | V _{RD} | 336.17 kN |

10.3 Verifiche allo stato limite esercizio (SLE)

Verifica sezioni fondazione (Inviluppo)

Base sezione $B = 100 \text{ cm}$

Altezza sezione $H = 35.00 \text{ cm}$

| X | A _{fi} | A _{fs} | σ_c | σ_{fi} | σ_{fs} |
|------|-----------------|-----------------|------------|---------------|---------------|
| 0.18 | 10.05 | 10.05 | 3.554 | 123.393 | 23.856 |
| 1.35 | 10.05 | 10.05 | 4.167 | 27.124 | 149.768 |
| 2.53 | 10.05 | 10.05 | 4.724 | 173.119 | 30.191 |

Verifica sezioni traverso (Inviluppo)

Base sezione $B = 100 \text{ cm}$

Altezza sezione $H = 35.00 \text{ cm}$

| X | A _{fi} | A _{fs} | σ_c | σ_{fi} | σ_{fs} |
|------|-----------------|-----------------|------------|---------------|---------------|
| 0.18 | 10.05 | 10.05 | 3.856 | 24.566 | 141.820 |
| 1.35 | 10.05 | 10.05 | 4.071 | 151.119 | 25.699 |
| 2.53 | 10.05 | 10.05 | 3.306 | 21.641 | 118.140 |

Verifica sezioni piedritto sinistro (Inviluppo)

Base sezione $B = 100 \text{ cm}$

Altezza sezione $H = 35.00 \text{ cm}$

| X | A _{fi} | A _{fs} | σ_c | σ_{fi} | σ_{fs} |
|---|-----------------|-----------------|------------|---------------|---------------|
| | | | | | |

Progetto Esecutivo

| | | | | | |
|------|------|-------|-------|--------|---------|
| 0.18 | 5.65 | 10.05 | 3.611 | 32.015 | 78.754 |
| 1.35 | 5.65 | 10.05 | 0.803 | 10.253 | 4.535 |
| 2.53 | 5.65 | 10.05 | 3.967 | 32.397 | 103.114 |

Verifica sezioni piedritto destro (Inviluppo)

Base sezione B = 100 cm

Altezza sezione H = 35.00 cm

| X | A _{fi} | A _{fs} | σ _c | σ _{fi} | σ _{fs} |
|------|-----------------|-----------------|----------------|-----------------|-----------------|
| 0.18 | 5.65 | 10.05 | 4.862 | 39.387 | 128.332 |
| 1.35 | 5.65 | 10.05 | 0.865 | 11.979 | 8.820 |
| 2.53 | 5.65 | 10.05 | 3.372 | 29.308 | 77.087 |

10.4 Verifiche allo stato limite di fessurazione (SLF)

Simbologia adottata ed unità di misura

N° Indice sezione

X_i Ascissa/Ordinata sezione, espresse in mM_p Momento, espresse in kNmM_n Momento, espresse in kNmW_k Ampiezza fessure, espresse in mmW_{lim} Apertura limite fessure, espresse in mm

s Distanza media tra le fessure, espresse in mm

ε_{sm} Deformazione nelle fessure, espresse in [%]**Verifica fessurazione fondazione [Combinazione n° 15 - SLE (Rara)]**

| N° | X | A _{fi} | A _{fs} | M _p | M _n | M | w | W _{lim} | s _m | ε _{sm} |
|----|------|-----------------|-----------------|----------------|----------------|--------|------|------------------|----------------|-----------------|
| 1 | 0.17 | 10.05 | 10.05 | 68.21 | -68.21 | 39.62 | 0.00 | 100.00 | 0.00 | 0.000000 |
| 2 | 1.35 | 10.05 | 10.05 | 68.21 | -68.21 | -44.31 | 0.00 | 100.00 | 0.00 | 0.000000 |
| 3 | 2.53 | 10.05 | 10.05 | 68.21 | -68.21 | 39.62 | 0.00 | 100.00 | 0.00 | 0.000000 |

Verifica fessurazione traverso [Combinazione n° 15 - SLE (Rara)]

| N° | X | A _{fi} | A _{fs} | M _p | M _n | M | w | W _{lim} | s _m | ε _{sm} |
|----|------|-----------------|-----------------|----------------|----------------|--------|------|------------------|----------------|-----------------|
| 1 | 0.17 | 10.05 | 10.05 | 68.21 | -68.21 | -36.15 | 0.00 | 100.00 | 0.00 | 0.000000 |
| 2 | 1.35 | 10.05 | 10.05 | 68.21 | -68.21 | 42.44 | 0.00 | 100.00 | 0.00 | 0.000000 |
| 3 | 2.53 | 10.05 | 10.05 | 68.21 | -68.21 | -36.15 | 0.00 | 100.00 | 0.00 | 0.000000 |

Scatolare pk 148+140 - TS10 SU S15 - Relazione tecnica e di calcolo

76

RTT di progettazione:**Mandataria**

Via G.B. Sammartini n°5
20125 - Milano
Tel. 02 6787911
email: mail@proiter.it

**Mandante**

Via Artemide n°3
92100 Agrigento
Tel. 0922 421007
email: deltaingegneria@pec.it

Verifica fessurazione piedritto sinistro [Combinazione n° 15 - SLE (Rara)]

| N° | X | A _{f1} | A _{f2} | M _p | M _n | M | w | w _{lim} | s _m | ε _{sm} |
|----|------|-----------------|-----------------|----------------|----------------|--------|------|------------------|----------------|-----------------|
| 1 | 0.17 | 5.65 | 10.05 | 66.15 | -67.91 | -39.62 | 0.00 | 100.00 | 0.00 | 0.000000 |
| 2 | 1.35 | 5.65 | 10.05 | 66.15 | -67.91 | -5.34 | 0.00 | 100.00 | 0.00 | 0.000000 |
| 3 | 2.53 | 5.65 | 10.05 | 66.15 | -67.91 | -36.15 | 0.00 | 100.00 | 0.00 | 0.000000 |

Verifica fessurazione piedritto destro [Combinazione n° 15 - SLE (Rara)]

| N° | X | A _{f1} | A _{f2} | M _p | M _n | M | w | w _{lim} | s _m | ε _{sm} |
|----|------|-----------------|-----------------|----------------|----------------|--------|------|------------------|----------------|-----------------|
| 1 | 0.17 | 5.65 | 10.05 | 66.15 | -67.91 | -39.62 | 0.00 | 100.00 | 0.00 | 0.000000 |
| 2 | 1.35 | 5.65 | 10.05 | 66.15 | -67.91 | -5.34 | 0.00 | 100.00 | 0.00 | 0.000000 |
| 3 | 2.53 | 5.65 | 10.05 | 66.15 | -67.91 | -36.15 | 0.00 | 100.00 | 0.00 | 0.000000 |

Verifica fessurazione fondazione [Combinazione n° 16 - SLE (Frequente)]

| N° | X | A _{f1} | A _{f2} | M _p | M _n | M | w | w _{lim} | s _m | ε _{sm} |
|----|------|-----------------|-----------------|----------------|----------------|--------|------|------------------|----------------|-----------------|
| 1 | 0.17 | 10.05 | 10.05 | 68.21 | -68.21 | 26.65 | 0.00 | 0.40 | 0.00 | 0.000000 |
| 2 | 1.35 | 10.05 | 10.05 | 68.21 | -68.21 | -23.76 | 0.00 | 0.40 | 0.00 | 0.000000 |
| 3 | 2.53 | 10.05 | 10.05 | 68.21 | -68.21 | 26.65 | 0.00 | 0.40 | 0.00 | 0.000000 |

Verifica fessurazione traverso [Combinazione n° 16 - SLE (Frequente)]

| N° | X | A _{f1} | A _{f2} | M _p | M _n | M | w | w _{lim} | s _m | ε _{sm} |
|----|------|-----------------|-----------------|----------------|----------------|--------|------|------------------|----------------|-----------------|
| 1 | 0.17 | 10.05 | 10.05 | 68.21 | -68.21 | -21.39 | 0.00 | 0.40 | 0.00 | 0.000000 |
| 2 | 1.35 | 10.05 | 10.05 | 68.21 | -68.21 | 19.50 | 0.00 | 0.40 | 0.00 | 0.000000 |
| 3 | 2.53 | 10.05 | 10.05 | 68.21 | -68.21 | -21.39 | 0.00 | 0.40 | 0.00 | 0.000000 |

Verifica fessurazione piedritto sinistro [Combinazione n° 16 - SLE (Frequente)]

| N° | X | A _{f1} | A _{f2} | M _p | M _n | M | w | w _{lim} | s _m | ε _{sm} |
|----|------|-----------------|-----------------|----------------|----------------|--------|------|------------------|----------------|-----------------|
| 1 | 0.17 | 5.65 | 10.05 | 66.15 | -67.91 | -26.65 | 0.00 | 0.40 | 0.00 | 0.000000 |
| 2 | 1.35 | 5.65 | 10.05 | 66.15 | -67.91 | 2.32 | 0.00 | 0.40 | 0.00 | 0.000000 |
| 3 | 2.53 | 5.65 | 10.05 | 66.15 | -67.91 | -21.39 | 0.00 | 0.40 | 0.00 | 0.000000 |

Verifica fessurazione piedritto destro [Combinazione n° 16 - SLE (Frequente)]

| N° | X | A _{f1} | A _{f2} | M _p | M _n | M | w | w _{lim} | s _m | ε _{sm} |
|----|------|-----------------|-----------------|----------------|----------------|--------|------|------------------|----------------|-----------------|
| 1 | 0.17 | 5.65 | 10.05 | 66.15 | -67.91 | -26.65 | 0.00 | 0.40 | 0.00 | 0.000000 |
| 2 | 1.35 | 5.65 | 10.05 | 66.15 | -67.91 | 2.32 | 0.00 | 0.40 | 0.00 | 0.000000 |
| 3 | 2.53 | 5.65 | 10.05 | 66.15 | -67.91 | -21.39 | 0.00 | 0.40 | 0.00 | 0.000000 |

Verifica fessurazione fondazione [Combinazione n° 17 - SLE (Quasi Permanente)]

| N° | X | A _{f1} | A _{f2} | M _p | M _n | M | w | w _{lim} | s _m | ε _{sm} |
|----|------|-----------------|-----------------|----------------|----------------|--------|------|------------------|----------------|-----------------|
| 1 | 0.17 | 10.05 | 10.05 | 68.21 | -68.21 | 25.57 | 0.00 | 0.30 | 0.00 | 0.000000 |
| 2 | 1.35 | 10.05 | 10.05 | 68.21 | -68.21 | -22.69 | 0.00 | 0.30 | 0.00 | 0.000000 |
| 3 | 2.53 | 10.05 | 10.05 | 68.21 | -68.21 | 25.57 | 0.00 | 0.30 | 0.00 | 0.000000 |

Verifica fessurazione traverso [Combinazione n° 17 - SLE (Quasi Permanente)]

| N° | X | A _{f1} | A _{f2} | M _p | M _n | M | w | w _{lim} | s _m | ε _{sm} |
|----|------|-----------------|-----------------|----------------|----------------|--------|------|------------------|----------------|-----------------|
| 1 | 0.17 | 10.05 | 10.05 | 68.21 | -68.21 | -20.30 | 0.00 | 0.30 | 0.00 | 0.000000 |
| 2 | 1.35 | 10.05 | 10.05 | 68.21 | -68.21 | 18.41 | 0.00 | 0.30 | 0.00 | 0.000000 |
| 3 | 2.53 | 10.05 | 10.05 | 68.21 | -68.21 | -20.30 | 0.00 | 0.30 | 0.00 | 0.000000 |

Verifica fessurazione piedritto sinistro [Combinazione n° 17 - SLE (Quasi Permanente)]

| N° | X | A _{f1} | A _{f2} | M _p | M _n | M | w | w _{lim} | s _m | ε _{sm} |
|----|------|-----------------|-----------------|----------------|----------------|--------|------|------------------|----------------|-----------------|
| 1 | 0.17 | 5.65 | 10.05 | 66.15 | -67.91 | -25.57 | 0.00 | 0.30 | 0.00 | 0.000000 |
| 2 | 1.35 | 5.65 | 10.05 | 66.15 | -67.91 | 2.31 | 0.00 | 0.30 | 0.00 | 0.000000 |
| 3 | 2.53 | 5.65 | 10.05 | 66.15 | -67.91 | -20.30 | 0.00 | 0.30 | 0.00 | 0.000000 |

Verifica fessurazione piedritto destro [Combinazione n° 17 - SLE (Quasi Permanente)]

| N° | X | A _{f1} | A _{f2} | M _p | M _n | M | w | w _{lim} | s _m | ε _{sm} |
|----|------|-----------------|-----------------|----------------|----------------|--------|------|------------------|----------------|-----------------|
| 1 | 0.17 | 5.65 | 10.05 | 66.15 | -67.91 | -25.57 | 0.00 | 0.30 | 0.00 | 0.000000 |
| 2 | 1.35 | 5.65 | 10.05 | 66.15 | -67.91 | 2.31 | 0.00 | 0.30 | 0.00 | 0.000000 |
| 3 | 2.53 | 5.65 | 10.05 | 66.15 | -67.91 | -20.30 | 0.00 | 0.30 | 0.00 | 0.000000 |

Verifica fessurazione fondazione [Combinazione n° 18 - SLE (Rara)]

| N° | X | A _f | A _{fs} | M _p | M _n | M | w | w _{lim} | s _m | ε _{sm} |
|----|------|----------------|-----------------|----------------|----------------|--------|------|------------------|----------------|-----------------|
| 1 | 0.17 | 10.05 | 10.05 | 68.21 | -68.21 | 41.79 | 0.00 | 100.00 | 0.00 | 0.000000 |
| 2 | 1.35 | 10.05 | 10.05 | 68.21 | -68.21 | -49.02 | 0.00 | 100.00 | 0.00 | 0.000000 |
| 3 | 2.53 | 10.05 | 10.05 | 68.21 | -68.21 | 41.79 | 0.00 | 100.00 | 0.00 | 0.000000 |

Verifica fessurazione traverso [Combinazione n° 18 - SLE (Rara)]

| N° | X | A _f | A _{fs} | M _p | M _n | M | w | w _{lim} | s _m | ε _{sm} |
|----|------|----------------|-----------------|----------------|----------------|--------|------|------------------|----------------|-----------------|
| 1 | 0.17 | 10.05 | 10.05 | 68.21 | -68.21 | -38.89 | 0.00 | 100.00 | 0.00 | 0.000000 |
| 2 | 1.35 | 10.05 | 10.05 | 68.21 | -68.21 | 47.91 | 0.00 | 100.00 | 0.00 | 0.000000 |
| 3 | 2.53 | 10.05 | 10.05 | 68.21 | -68.21 | -38.89 | 0.00 | 100.00 | 0.00 | 0.000000 |

Verifica fessurazione piedritto sinistro [Combinazione n° 18 - SLE (Rara)]

| N° | X | A _f | A _{fs} | M _p | M _n | M | w | w _{lim} | s _m | ε _{sm} |
|----|------|----------------|-----------------|----------------|----------------|--------|------|------------------|----------------|-----------------|
| 1 | 0.17 | 5.65 | 10.05 | 66.15 | -67.91 | -41.79 | 0.00 | 100.00 | 0.00 | 0.000000 |
| 2 | 1.35 | 5.65 | 10.05 | 66.15 | -67.91 | -7.90 | 0.00 | 100.00 | 0.00 | 0.000000 |
| 3 | 2.53 | 5.65 | 10.05 | 66.15 | -67.91 | -38.89 | 0.00 | 100.00 | 0.00 | 0.000000 |

Verifica fessurazione piedritto destro [Combinazione n° 18 - SLE (Rara)]

| N° | X | A _f | A _{fs} | M _p | M _n | M | w | w _{lim} | s _m | ε _{sm} |
|----|------|----------------|-----------------|----------------|----------------|--------|------|------------------|----------------|-----------------|
| 1 | 0.17 | 5.65 | 10.05 | 66.15 | -67.91 | -41.79 | 0.00 | 100.00 | 0.00 | 0.000000 |
| 2 | 1.35 | 5.65 | 10.05 | 66.15 | -67.91 | -7.90 | 0.00 | 100.00 | 0.00 | 0.000000 |
| 3 | 2.53 | 5.65 | 10.05 | 66.15 | -67.91 | -38.89 | 0.00 | 100.00 | 0.00 | 0.000000 |

Verifica fessurazione fondazione [Combinazione n° 19 - SLE (Frequente)]

| N° | X | A _f | A _{fs} | M _p | M _n | M | w | w _{lim} | s _m | ε _{sm} |
|----|------|----------------|-----------------|----------------|----------------|--------|------|------------------|----------------|-----------------|
| 1 | 0.17 | 10.05 | 10.05 | 68.21 | -68.21 | 36.93 | 0.00 | 0.40 | 0.00 | 0.000000 |
| 2 | 1.35 | 10.05 | 10.05 | 68.21 | -68.21 | -41.63 | 0.00 | 0.40 | 0.00 | 0.000000 |
| 3 | 2.53 | 10.05 | 10.05 | 68.21 | -68.21 | 36.93 | 0.00 | 0.40 | 0.00 | 0.000000 |

Verifica fessurazione traverso [Combinazione n° 19 - SLE (Frequente)]

| N° | X | A _f | A _{fs} | M _p | M _n | M | w | w _{lim} | s _m | ε _{sm} |
|----|------|----------------|-----------------|----------------|----------------|--------|------|------------------|----------------|-----------------|
| 1 | 0.17 | 10.05 | 10.05 | 68.21 | -68.21 | -33.43 | 0.00 | 0.40 | 0.00 | 0.000000 |
| 2 | 1.35 | 10.05 | 10.05 | 68.21 | -68.21 | 39.73 | 0.00 | 0.40 | 0.00 | 0.000000 |
| 3 | 2.53 | 10.05 | 10.05 | 68.21 | -68.21 | -33.43 | 0.00 | 0.40 | 0.00 | 0.000000 |

Verifica fessurazione piedritto sinistro [Combinazione n° 19 - SLE (Frequente)]

| N° | X | A _f | A _{fs} | M _p | M _n | M | w | w _{lim} | s _m | ε _{sm} |
|----|------|----------------|-----------------|----------------|----------------|--------|------|------------------|----------------|-----------------|
| 1 | 0.17 | 5.65 | 10.05 | 66.15 | -67.91 | -36.93 | 0.00 | 0.40 | 0.00 | 0.000000 |
| 2 | 1.35 | 5.65 | 10.05 | 66.15 | -67.91 | -5.35 | 0.00 | 0.40 | 0.00 | 0.000000 |
| 3 | 2.53 | 5.65 | 10.05 | 66.15 | -67.91 | -33.43 | 0.00 | 0.40 | 0.00 | 0.000000 |

Verifica fessurazione piedritto destro [Combinazione n° 19 - SLE (Frequente)]

| N° | X | A _f | A _{fs} | M _p | M _n | M | w | w _{lim} | s _m | ε _{sm} |
|----|------|----------------|-----------------|----------------|----------------|--------|------|------------------|----------------|-----------------|
| 1 | 0.17 | 5.65 | 10.05 | 66.15 | -67.91 | -36.93 | 0.00 | 0.40 | 0.00 | 0.000000 |
| 2 | 1.35 | 5.65 | 10.05 | 66.15 | -67.91 | -5.35 | 0.00 | 0.40 | 0.00 | 0.000000 |
| 3 | 2.53 | 5.65 | 10.05 | 66.15 | -67.91 | -33.43 | 0.00 | 0.40 | 0.00 | 0.000000 |

Verifica fessurazione fondazione [Combinazione n° 20 - SLE (Rara)]

| N° | X | A _f | A _{fs} | M _p | M _n | M | w | w _{lim} | s _m | ε _{sm} |
|----|------|----------------|-----------------|----------------|----------------|--------|------|------------------|----------------|-----------------|
| 1 | 0.17 | 10.05 | 10.05 | 68.21 | -68.21 | 38.01 | 0.00 | 100.00 | 0.00 | 0.000000 |
| 2 | 1.35 | 10.05 | 10.05 | 68.21 | -68.21 | -42.70 | 0.00 | 100.00 | 0.00 | 0.000000 |
| 3 | 2.53 | 10.05 | 10.05 | 68.21 | -68.21 | 38.01 | 0.00 | 100.00 | 0.00 | 0.000000 |

Verifica fessurazione traverso [Combinazione n° 20 - SLE (Rara)]

| N° | X | A _f | A _{fs} | M _p | M _n | M | w | w _{lim} | s _m | ε _{sm} |
|----|------|----------------|-----------------|----------------|----------------|--------|------|------------------|----------------|-----------------|
| 1 | 0.17 | 10.05 | 10.05 | 68.21 | -68.21 | -34.52 | 0.00 | 100.00 | 0.00 | 0.000000 |
| 2 | 1.35 | 10.05 | 10.05 | 68.21 | -68.21 | 40.81 | 0.00 | 100.00 | 0.00 | 0.000000 |
| 3 | 2.53 | 10.05 | 10.05 | 68.21 | -68.21 | -34.52 | 0.00 | 100.00 | 0.00 | 0.000000 |

Progetto Esecutivo

Verifica fessurazione piedritto sinistro [Combinazione n° 20 - SLE (Rara)]

| N° | X | A _{f1} | A _{f2} | M _p | M _n | M | w | w _{lim} | s _m | ε _{sm} |
|----|------|-----------------|-----------------|----------------|----------------|--------|------|------------------|----------------|-----------------|
| 1 | 0.17 | 5.65 | 10.05 | 66.15 | -67.91 | -38.01 | 0.00 | 100.00 | 0.00 | 0.000000 |
| 2 | 1.35 | 5.65 | 10.05 | 66.15 | -67.91 | -5.35 | 0.00 | 100.00 | 0.00 | 0.000000 |
| 3 | 2.53 | 5.65 | 10.05 | 66.15 | -67.91 | -34.52 | 0.00 | 100.00 | 0.00 | 0.000000 |

Verifica fessurazione piedritto destro [Combinazione n° 20 - SLE (Rara)]

| N° | X | A _{f1} | A _{f2} | M _p | M _n | M | w | w _{lim} | s _m | ε _{sm} |
|----|------|-----------------|-----------------|----------------|----------------|--------|------|------------------|----------------|-----------------|
| 1 | 0.17 | 5.65 | 10.05 | 66.15 | -67.91 | -38.01 | 0.00 | 100.00 | 0.00 | 0.000000 |
| 2 | 1.35 | 5.65 | 10.05 | 66.15 | -67.91 | -5.35 | 0.00 | 100.00 | 0.00 | 0.000000 |
| 3 | 2.53 | 5.65 | 10.05 | 66.15 | -67.91 | -34.52 | 0.00 | 100.00 | 0.00 | 0.000000 |

Verifica fessurazione fondazione [Combinazione n° 21 - SLE (Frequente)]

| N° | X | A _{f1} | A _{f2} | M _p | M _n | M | w | w _{lim} | s _m | ε _{sm} |
|----|------|-----------------|-----------------|----------------|----------------|--------|------|------------------|----------------|-----------------|
| 1 | 0.17 | 10.05 | 10.05 | 68.21 | -68.21 | 25.57 | 0.00 | 0.40 | 0.00 | 0.000000 |
| 2 | 1.35 | 10.05 | 10.05 | 68.21 | -68.21 | -22.69 | 0.00 | 0.40 | 0.00 | 0.000000 |
| 3 | 2.53 | 10.05 | 10.05 | 68.21 | -68.21 | 25.57 | 0.00 | 0.40 | 0.00 | 0.000000 |

Verifica fessurazione traverso [Combinazione n° 21 - SLE (Frequente)]

| N° | X | A _{f1} | A _{f2} | M _p | M _n | M | w | w _{lim} | s _m | ε _{sm} |
|----|------|-----------------|-----------------|----------------|----------------|--------|------|------------------|----------------|-----------------|
| 1 | 0.17 | 10.05 | 10.05 | 68.21 | -68.21 | -20.30 | 0.00 | 0.40 | 0.00 | 0.000000 |
| 2 | 1.35 | 10.05 | 10.05 | 68.21 | -68.21 | 18.41 | 0.00 | 0.40 | 0.00 | 0.000000 |
| 3 | 2.53 | 10.05 | 10.05 | 68.21 | -68.21 | -20.30 | 0.00 | 0.40 | 0.00 | 0.000000 |

Verifica fessurazione piedritto sinistro [Combinazione n° 21 - SLE (Frequente)]

| N° | X | A _{f1} | A _{f2} | M _p | M _n | M | w | w _{lim} | s _m | ε _{sm} |
|----|------|-----------------|-----------------|----------------|----------------|--------|------|------------------|----------------|-----------------|
| 1 | 0.17 | 5.65 | 10.05 | 66.15 | -67.91 | -25.57 | 0.00 | 0.40 | 0.00 | 0.000000 |
| 2 | 1.35 | 5.65 | 10.05 | 66.15 | -67.91 | 2.31 | 0.00 | 0.40 | 0.00 | 0.000000 |
| 3 | 2.53 | 5.65 | 10.05 | 66.15 | -67.91 | -20.30 | 0.00 | 0.40 | 0.00 | 0.000000 |

Verifica fessurazione piedritto destro [Combinazione n° 21 - SLE (Frequente)]

| N° | X | A _{f1} | A _{f2} | M _p | M _n | M | w | w _{lim} | s _m | ε _{sm} |
|----|------|-----------------|-----------------|----------------|----------------|--------|------|------------------|----------------|-----------------|
| 1 | 0.17 | 5.65 | 10.05 | 66.15 | -67.91 | -25.57 | 0.00 | 0.40 | 0.00 | 0.000000 |
| 2 | 1.35 | 5.65 | 10.05 | 66.15 | -67.91 | 2.31 | 0.00 | 0.40 | 0.00 | 0.000000 |
| 3 | 2.53 | 5.65 | 10.05 | 66.15 | -67.91 | -20.30 | 0.00 | 0.40 | 0.00 | 0.000000 |

Verifica fessurazione fondazione [Combinazione n° 22 - SLE (Rara)]

| N° | X | A _{f1} | A _{f2} | M _p | M _n | M | w | w _{lim} | s _m | ε _{sm} |
|----|------|-----------------|-----------------|----------------|----------------|--------|------|------------------|----------------|-----------------|
| 1 | 0.17 | 10.05 | 10.05 | 68.21 | -68.21 | 26.99 | 0.00 | 100.00 | 0.00 | 0.000000 |
| 2 | 1.35 | 10.05 | 10.05 | 68.21 | -68.21 | -46.85 | 0.00 | 100.00 | 0.00 | 0.000000 |
| 3 | 2.53 | 10.05 | 10.05 | 68.21 | -68.21 | 55.58 | 0.00 | 100.00 | 0.00 | 0.000000 |

Verifica fessurazione traverso [Combinazione n° 22 - SLE (Rara)]

| N° | X | A _{f1} | A _{f2} | M _p | M _n | M | w | w _{lim} | s _m | ε _{sm} |
|----|------|-----------------|-----------------|----------------|----------------|--------|------|------------------|----------------|-----------------|
| 1 | 0.17 | 10.05 | 10.05 | 68.21 | -68.21 | -45.38 | 0.00 | 100.00 | 0.00 | 0.000000 |
| 2 | 1.35 | 10.05 | 10.05 | 68.21 | -68.21 | 44.32 | 0.00 | 100.00 | 0.00 | 0.000000 |
| 3 | 2.53 | 10.05 | 10.05 | 68.21 | -68.21 | -28.38 | 0.00 | 100.00 | 0.00 | 0.000000 |

Verifica fessurazione piedritto sinistro [Combinazione n° 22 - SLE (Rara)]

| N° | X | A _{f1} | A _{f2} | M _p | M _n | M | w | w _{lim} | s _m | ε _{sm} |
|----|------|-----------------|-----------------|----------------|----------------|--------|------|------------------|----------------|-----------------|
| 1 | 0.17 | 5.65 | 10.05 | 66.15 | -67.91 | -26.99 | 0.00 | 100.00 | 0.00 | 0.000000 |
| 2 | 1.35 | 5.65 | 10.05 | 66.15 | -67.91 | -9.03 | 0.00 | 100.00 | 0.00 | 0.000000 |
| 3 | 2.53 | 5.65 | 10.05 | 66.15 | -67.91 | -45.38 | 0.00 | 100.00 | 0.00 | 0.000000 |

Verifica fessurazione piedritto destro [Combinazione n° 22 - SLE (Rara)]

| N° | X | A _{f1} | A _{f2} | M _p | M _n | M | w | w _{lim} | s _m | ε _{sm} |
|----|------|-----------------|-----------------|----------------|----------------|--------|------|------------------|----------------|-----------------|
| 1 | 0.17 | 5.65 | 10.05 | 66.15 | -67.91 | -55.58 | 0.00 | 100.00 | 0.00 | 0.000000 |
| 2 | 1.35 | 5.65 | 10.05 | 66.15 | -67.91 | -3.43 | 0.00 | 100.00 | 0.00 | 0.000000 |
| 3 | 2.53 | 5.65 | 10.05 | 66.15 | -67.91 | -28.38 | 0.00 | 100.00 | 0.00 | 0.000000 |

Progetto Esecutivo

Verifica fessurazione fondazione [Combinazione n° 23 - SLE (Frequente)]

| N° | X | A _{f1} | A _{f2} | M _p | M _n | M | w | w _{lim} | s _m | ε _{sm} |
|----|------|-----------------|-----------------|----------------|----------------|--------|------|------------------|----------------|-----------------|
| 1 | 0.17 | 10.05 | 10.05 | 68.21 | -68.21 | 25.83 | 0.00 | 0.40 | 0.00 | 0.000000 |
| 2 | 1.35 | 10.05 | 10.05 | 68.21 | -68.21 | -40.01 | 0.00 | 0.40 | 0.00 | 0.000000 |
| 3 | 2.53 | 10.05 | 10.05 | 68.21 | -68.21 | 47.27 | 0.00 | 0.40 | 0.00 | 0.000000 |

Verifica fessurazione traverso [Combinazione n° 23 - SLE (Frequente)]

| N° | X | A _{f1} | A _{f2} | M _p | M _n | M | w | w _{lim} | s _m | ε _{sm} |
|----|------|-----------------|-----------------|----------------|----------------|--------|------|------------------|----------------|-----------------|
| 1 | 0.17 | 10.05 | 10.05 | 68.21 | -68.21 | -38.29 | 0.00 | 0.40 | 0.00 | 0.000000 |
| 2 | 1.35 | 10.05 | 10.05 | 68.21 | -68.21 | 37.03 | 0.00 | 0.40 | 0.00 | 0.000000 |
| 3 | 2.53 | 10.05 | 10.05 | 68.21 | -68.21 | -25.54 | 0.00 | 0.40 | 0.00 | 0.000000 |

Verifica fessurazione piedritto sinistro [Combinazione n° 23 - SLE (Frequente)]

| N° | X | A _{f1} | A _{f2} | M _p | M _n | M | w | w _{lim} | s _m | ε _{sm} |
|----|------|-----------------|-----------------|----------------|----------------|--------|------|------------------|----------------|-----------------|
| 1 | 0.17 | 5.65 | 10.05 | 66.15 | -67.91 | -25.83 | 0.00 | 0.40 | 0.00 | 0.000000 |
| 2 | 1.35 | 5.65 | 10.05 | 66.15 | -67.91 | -6.20 | 0.00 | 0.40 | 0.00 | 0.000000 |
| 3 | 2.53 | 5.65 | 10.05 | 66.15 | -67.91 | -38.29 | 0.00 | 0.40 | 0.00 | 0.000000 |

Verifica fessurazione piedritto destro [Combinazione n° 23 - SLE (Frequente)]

| N° | X | A _{f1} | A _{f2} | M _p | M _n | M | w | w _{lim} | s _m | ε _{sm} |
|----|------|-----------------|-----------------|----------------|----------------|--------|------|------------------|----------------|-----------------|
| 1 | 0.17 | 5.65 | 10.05 | 66.15 | -67.91 | -47.27 | 0.00 | 0.40 | 0.00 | 0.000000 |
| 2 | 1.35 | 5.65 | 10.05 | 66.15 | -67.91 | -1.99 | 0.00 | 0.40 | 0.00 | 0.000000 |
| 3 | 2.53 | 5.65 | 10.05 | 66.15 | -67.91 | -25.54 | 0.00 | 0.40 | 0.00 | 0.000000 |

Verifica fessurazione fondazione [Combinazione n° 24 - SLE (Rara)]

| N° | X | A _{f1} | A _{f2} | M _p | M _n | M | w | w _{lim} | s _m | ε _{sm} |
|----|------|-----------------|-----------------|----------------|----------------|--------|------|------------------|----------------|-----------------|
| 1 | 0.17 | 10.05 | 10.05 | 68.21 | -68.21 | 26.91 | 0.00 | 100.00 | 0.00 | 0.000000 |
| 2 | 1.35 | 10.05 | 10.05 | 68.21 | -68.21 | -41.08 | 0.00 | 100.00 | 0.00 | 0.000000 |
| 3 | 2.53 | 10.05 | 10.05 | 68.21 | -68.21 | 48.35 | 0.00 | 100.00 | 0.00 | 0.000000 |

Verifica fessurazione traverso [Combinazione n° 24 - SLE (Rara)]

| N° | X | A _{f1} | A _{f2} | M _p | M _n | M | w | w _{lim} | s _m | ε _{sm} |
|----|------|-----------------|-----------------|----------------|----------------|--------|------|------------------|----------------|-----------------|
| 1 | 0.17 | 10.05 | 10.05 | 68.21 | -68.21 | -39.38 | 0.00 | 100.00 | 0.00 | 0.000000 |
| 2 | 1.35 | 10.05 | 10.05 | 68.21 | -68.21 | 38.11 | 0.00 | 100.00 | 0.00 | 0.000000 |
| 3 | 2.53 | 10.05 | 10.05 | 68.21 | -68.21 | -26.63 | 0.00 | 100.00 | 0.00 | 0.000000 |

Verifica fessurazione piedritto sinistro [Combinazione n° 24 - SLE (Rara)]

| N° | X | A _{f1} | A _{f2} | M _p | M _n | M | w | w _{lim} | s _m | ε _{sm} |
|----|------|-----------------|-----------------|----------------|----------------|--------|------|------------------|----------------|-----------------|
| 1 | 0.17 | 5.65 | 10.05 | 66.15 | -67.91 | -26.91 | 0.00 | 100.00 | 0.00 | 0.000000 |
| 2 | 1.35 | 5.65 | 10.05 | 66.15 | -67.91 | -6.19 | 0.00 | 100.00 | 0.00 | 0.000000 |
| 3 | 2.53 | 5.65 | 10.05 | 66.15 | -67.91 | -39.38 | 0.00 | 100.00 | 0.00 | 0.000000 |

Verifica fessurazione piedritto destro [Combinazione n° 24 - SLE (Rara)]

| N° | X | A _{f1} | A _{f2} | M _p | M _n | M | w | w _{lim} | s _m | ε _{sm} |
|----|------|-----------------|-----------------|----------------|----------------|--------|------|------------------|----------------|-----------------|
| 1 | 0.17 | 5.65 | 10.05 | 66.15 | -67.91 | -48.35 | 0.00 | 100.00 | 0.00 | 0.000000 |
| 2 | 1.35 | 5.65 | 10.05 | 66.15 | -67.91 | -1.99 | 0.00 | 100.00 | 0.00 | 0.000000 |
| 3 | 2.53 | 5.65 | 10.05 | 66.15 | -67.91 | -26.63 | 0.00 | 100.00 | 0.00 | 0.000000 |

Verifica fessurazione fondazione [Combinazione n° 25 - SLE (Rara)]

| N° | X | A _{f1} | A _{f2} | M _p | M _n | M | w | w _{lim} | s _m | ε _{sm} |
|----|------|-----------------|-----------------|----------------|----------------|--------|------|------------------|----------------|-----------------|
| 1 | 0.17 | 10.05 | 10.05 | 68.21 | -68.21 | 28.52 | 0.00 | 100.00 | 0.00 | 0.000000 |
| 2 | 1.35 | 10.05 | 10.05 | 68.21 | -68.21 | -42.68 | 0.00 | 100.00 | 0.00 | 0.000000 |
| 3 | 2.53 | 10.05 | 10.05 | 68.21 | -68.21 | 49.96 | 0.00 | 100.00 | 0.00 | 0.000000 |

Verifica fessurazione traverso [Combinazione n° 25 - SLE (Rara)]

| N° | X | A _{f1} | A _{f2} | M _p | M _n | M | w | w _{lim} | s _m | ε _{sm} |
|----|------|-----------------|-----------------|----------------|----------------|--------|------|------------------|----------------|-----------------|
| 1 | 0.17 | 10.05 | 10.05 | 68.21 | -68.21 | -41.01 | 0.00 | 100.00 | 0.00 | 0.000000 |
| 2 | 1.35 | 10.05 | 10.05 | 68.21 | -68.21 | 39.74 | 0.00 | 100.00 | 0.00 | 0.000000 |
| 3 | 2.53 | 10.05 | 10.05 | 68.21 | -68.21 | -28.26 | 0.00 | 100.00 | 0.00 | 0.000000 |

Progetto Esecutivo

Verifica fessurazione piedritto sinistro [Combinazione n° 25 - SLE (Rara)]

| N° | X | A _{f1} | A _{f2} | M _p | M _n | M | w | w _{lim} | s _m | ε _{sm} |
|----|------|-----------------|-----------------|----------------|----------------|--------|------|------------------|----------------|-----------------|
| 1 | 0.17 | 5.65 | 10.05 | 66.15 | -67.91 | -28.52 | 0.00 | 100.00 | 0.00 | 0.000000 |
| 2 | 1.35 | 5.65 | 10.05 | 66.15 | -67.91 | -6.19 | 0.00 | 100.00 | 0.00 | 0.000000 |
| 3 | 2.53 | 5.65 | 10.05 | 66.15 | -67.91 | -41.01 | 0.00 | 100.00 | 0.00 | 0.000000 |

Verifica fessurazione piedritto destro [Combinazione n° 25 - SLE (Rara)]

| N° | X | A _{f1} | A _{f2} | M _p | M _n | M | w | w _{lim} | s _m | ε _{sm} |
|----|------|-----------------|-----------------|----------------|----------------|--------|------|------------------|----------------|-----------------|
| 1 | 0.17 | 5.65 | 10.05 | 66.15 | -67.91 | -49.96 | 0.00 | 100.00 | 0.00 | 0.000000 |
| 2 | 1.35 | 5.65 | 10.05 | 66.15 | -67.91 | -1.98 | 0.00 | 100.00 | 0.00 | 0.000000 |
| 3 | 2.53 | 5.65 | 10.05 | 66.15 | -67.91 | -28.26 | 0.00 | 100.00 | 0.00 | 0.000000 |

Verifica fessurazione fondazione [Combinazione n° 26 - SLE (Frequente)]

| N° | X | A _{f1} | A _{f2} | M _p | M _n | M | w | w _{lim} | s _m | ε _{sm} |
|----|------|-----------------|-----------------|----------------|----------------|--------|------|------------------|----------------|-----------------|
| 1 | 0.17 | 10.05 | 10.05 | 68.21 | -68.21 | 26.65 | 0.00 | 0.40 | 0.00 | 0.000000 |
| 2 | 1.35 | 10.05 | 10.05 | 68.21 | -68.21 | -23.76 | 0.00 | 0.40 | 0.00 | 0.000000 |
| 3 | 2.53 | 10.05 | 10.05 | 68.21 | -68.21 | 26.65 | 0.00 | 0.40 | 0.00 | 0.000000 |

Verifica fessurazione traverso [Combinazione n° 26 - SLE (Frequente)]

| N° | X | A _{f1} | A _{f2} | M _p | M _n | M | w | w _{lim} | s _m | ε _{sm} |
|----|------|-----------------|-----------------|----------------|----------------|--------|------|------------------|----------------|-----------------|
| 1 | 0.17 | 10.05 | 10.05 | 68.21 | -68.21 | -21.39 | 0.00 | 0.40 | 0.00 | 0.000000 |
| 2 | 1.35 | 10.05 | 10.05 | 68.21 | -68.21 | 19.50 | 0.00 | 0.40 | 0.00 | 0.000000 |
| 3 | 2.53 | 10.05 | 10.05 | 68.21 | -68.21 | -21.39 | 0.00 | 0.40 | 0.00 | 0.000000 |

Verifica fessurazione piedritto sinistro [Combinazione n° 26 - SLE (Frequente)]

| N° | X | A _{f1} | A _{f2} | M _p | M _n | M | w | w _{lim} | s _m | ε _{sm} |
|----|------|-----------------|-----------------|----------------|----------------|--------|------|------------------|----------------|-----------------|
| 1 | 0.17 | 5.65 | 10.05 | 66.15 | -67.91 | -26.65 | 0.00 | 0.40 | 0.00 | 0.000000 |
| 2 | 1.35 | 5.65 | 10.05 | 66.15 | -67.91 | 2.32 | 0.00 | 0.40 | 0.00 | 0.000000 |
| 3 | 2.53 | 5.65 | 10.05 | 66.15 | -67.91 | -21.39 | 0.00 | 0.40 | 0.00 | 0.000000 |

Verifica fessurazione piedritto destro [Combinazione n° 26 - SLE (Frequente)]

| N° | X | A _{f1} | A _{f2} | M _p | M _n | M | w | w _{lim} | s _m | ε _{sm} |
|----|------|-----------------|-----------------|----------------|----------------|--------|------|------------------|----------------|-----------------|
| 1 | 0.17 | 5.65 | 10.05 | 66.15 | -67.91 | -26.65 | 0.00 | 0.40 | 0.00 | 0.000000 |
| 2 | 1.35 | 5.65 | 10.05 | 66.15 | -67.91 | 2.32 | 0.00 | 0.40 | 0.00 | 0.000000 |
| 3 | 2.53 | 5.65 | 10.05 | 66.15 | -67.91 | -21.39 | 0.00 | 0.40 | 0.00 | 0.000000 |

Verifica fessurazione fondazione [Combinazione n° 27 - SLE (Rara)]

| N° | X | A _{f1} | A _{f2} | M _p | M _n | M | w | w _{lim} | s _m | ε _{sm} |
|----|------|-----------------|-----------------|----------------|----------------|--------|------|------------------|----------------|-----------------|
| 1 | 0.17 | 10.05 | 10.05 | 68.21 | -68.21 | 12.08 | 0.00 | 100.00 | 0.00 | 0.000000 |
| 2 | 1.35 | 10.05 | 10.05 | 68.21 | -68.21 | -21.20 | 0.00 | 100.00 | 0.00 | 0.000000 |
| 3 | 2.53 | 10.05 | 10.05 | 68.21 | -68.21 | 44.23 | 0.00 | 100.00 | 0.00 | 0.000000 |

Verifica fessurazione traverso [Combinazione n° 27 - SLE (Rara)]

| N° | X | A _{f1} | A _{f2} | M _p | M _n | M | w | w _{lim} | s _m | ε _{sm} |
|----|------|-----------------|-----------------|----------------|----------------|--------|------|------------------|----------------|-----------------|
| 1 | 0.17 | 10.05 | 10.05 | 68.21 | -68.21 | -33.39 | 0.00 | 100.00 | 0.00 | 0.000000 |
| 2 | 1.35 | 10.05 | 10.05 | 68.21 | -68.21 | 16.94 | 0.00 | 100.00 | 0.00 | 0.000000 |
| 3 | 2.53 | 10.05 | 10.05 | 68.21 | -68.21 | -12.35 | 0.00 | 100.00 | 0.00 | 0.000000 |

Verifica fessurazione piedritto sinistro [Combinazione n° 27 - SLE (Rara)]

| N° | X | A _{f1} | A _{f2} | M _p | M _n | M | w | w _{lim} | s _m | ε _{sm} |
|----|------|-----------------|-----------------|----------------|----------------|--------|------|------------------|----------------|-----------------|
| 1 | 0.17 | 5.65 | 10.05 | 66.15 | -67.91 | -12.08 | 0.00 | 100.00 | 0.00 | 0.000000 |
| 2 | 1.35 | 5.65 | 10.05 | 66.15 | -67.91 | 2.51 | 0.00 | 100.00 | 0.00 | 0.000000 |
| 3 | 2.53 | 5.65 | 10.05 | 66.15 | -67.91 | -33.39 | 0.00 | 100.00 | 0.00 | 0.000000 |

Verifica fessurazione piedritto destro [Combinazione n° 27 - SLE (Rara)]

| N° | X | A _{f1} | A _{f2} | M _p | M _n | M | w | w _{lim} | s _m | ε _{sm} |
|----|------|-----------------|-----------------|----------------|----------------|--------|------|------------------|----------------|-----------------|
| 1 | 0.17 | 5.65 | 10.05 | 66.15 | -67.91 | -44.23 | 0.00 | 100.00 | 0.00 | 0.000000 |
| 2 | 1.35 | 5.65 | 10.05 | 66.15 | -67.91 | 10.26 | 0.00 | 100.00 | 0.00 | 0.000000 |
| 3 | 2.53 | 5.65 | 10.05 | 66.15 | -67.91 | -12.35 | 0.00 | 100.00 | 0.00 | 0.000000 |

Progetto Esecutivo

Verifica fessurazione fondazione [Combinazione n° 28 - SLE (Frequente)]

| N° | X | A _{f1} | A _{f2} | M _p | M _n | M | w | w _{lim} | s _m | ε _{sm} |
|----|------|-----------------|-----------------|----------------|----------------|--------|------|------------------|----------------|-----------------|
| 1 | 0.17 | 10.05 | 10.05 | 68.21 | -68.21 | 15.98 | 0.00 | 0.40 | 0.00 | 0.000000 |
| 2 | 1.35 | 10.05 | 10.05 | 68.21 | -68.21 | -21.18 | 0.00 | 0.40 | 0.00 | 0.000000 |
| 3 | 2.53 | 10.05 | 10.05 | 68.21 | -68.21 | 38.29 | 0.00 | 0.40 | 0.00 | 0.000000 |

Verifica fessurazione traverso [Combinazione n° 28 - SLE (Frequente)]

| N° | X | A _{f1} | A _{f2} | M _p | M _n | M | w | w _{lim} | s _m | ε _{sm} |
|----|------|-----------------|-----------------|----------------|----------------|--------|------|------------------|----------------|-----------------|
| 1 | 0.17 | 10.05 | 10.05 | 68.21 | -68.21 | -29.19 | 0.00 | 0.40 | 0.00 | 0.000000 |
| 2 | 1.35 | 10.05 | 10.05 | 68.21 | -68.21 | 16.87 | 0.00 | 0.40 | 0.00 | 0.000000 |
| 3 | 2.53 | 10.05 | 10.05 | 68.21 | -68.21 | -14.48 | 0.00 | 0.40 | 0.00 | 0.000000 |

Verifica fessurazione piedritto sinistro [Combinazione n° 28 - SLE (Frequente)]

| N° | X | A _{f1} | A _{f2} | M _p | M _n | M | w | w _{lim} | s _m | ε _{sm} |
|----|------|-----------------|-----------------|----------------|----------------|--------|------|------------------|----------------|-----------------|
| 1 | 0.17 | 5.65 | 10.05 | 66.15 | -67.91 | -15.98 | 0.00 | 0.40 | 0.00 | 0.000000 |
| 2 | 1.35 | 5.65 | 10.05 | 66.15 | -67.91 | 2.66 | 0.00 | 0.40 | 0.00 | 0.000000 |
| 3 | 2.53 | 5.65 | 10.05 | 66.15 | -67.91 | -29.19 | 0.00 | 0.40 | 0.00 | 0.000000 |

Verifica fessurazione piedritto destro [Combinazione n° 28 - SLE (Frequente)]

| N° | X | A _{f1} | A _{f2} | M _p | M _n | M | w | w _{lim} | s _m | ε _{sm} |
|----|------|-----------------|-----------------|----------------|----------------|--------|------|------------------|----------------|-----------------|
| 1 | 0.17 | 5.65 | 10.05 | 66.15 | -67.91 | -38.29 | 0.00 | 0.40 | 0.00 | 0.000000 |
| 2 | 1.35 | 5.65 | 10.05 | 66.15 | -67.91 | 8.12 | 0.00 | 0.40 | 0.00 | 0.000000 |
| 3 | 2.53 | 5.65 | 10.05 | 66.15 | -67.91 | -14.48 | 0.00 | 0.40 | 0.00 | 0.000000 |

Verifica fessurazione fondazione [Combinazione n° 29 - SLE (Rara)]

| N° | X | A _{f1} | A _{f2} | M _p | M _n | M | w | w _{lim} | s _m | ε _{sm} |
|----|------|-----------------|-----------------|----------------|----------------|--------|------|------------------|----------------|-----------------|
| 1 | 0.17 | 10.05 | 10.05 | 68.21 | -68.21 | 15.27 | 0.00 | 100.00 | 0.00 | 0.000000 |
| 2 | 1.35 | 10.05 | 10.05 | 68.21 | -68.21 | -21.70 | 0.00 | 100.00 | 0.00 | 0.000000 |
| 3 | 2.53 | 10.05 | 10.05 | 68.21 | -68.21 | 39.99 | 0.00 | 100.00 | 0.00 | 0.000000 |

Verifica fessurazione traverso [Combinazione n° 29 - SLE (Rara)]

| N° | X | A _{f1} | A _{f2} | M _p | M _n | M | w | w _{lim} | s _m | ε _{sm} |
|----|------|-----------------|-----------------|----------------|----------------|--------|------|------------------|----------------|-----------------|
| 1 | 0.17 | 10.05 | 10.05 | 68.21 | -68.21 | -30.43 | 0.00 | 100.00 | 0.00 | 0.000000 |
| 2 | 1.35 | 10.05 | 10.05 | 68.21 | -68.21 | 17.46 | 0.00 | 100.00 | 0.00 | 0.000000 |
| 3 | 2.53 | 10.05 | 10.05 | 68.21 | -68.21 | -14.29 | 0.00 | 100.00 | 0.00 | 0.000000 |

Verifica fessurazione piedritto sinistro [Combinazione n° 29 - SLE (Rara)]

| N° | X | A _{f1} | A _{f2} | M _p | M _n | M | w | w _{lim} | s _m | ε _{sm} |
|----|------|-----------------|-----------------|----------------|----------------|--------|------|------------------|----------------|-----------------|
| 1 | 0.17 | 5.65 | 10.05 | 66.15 | -67.91 | -15.27 | 0.00 | 100.00 | 0.00 | 0.000000 |
| 2 | 1.35 | 5.65 | 10.05 | 66.15 | -67.91 | 2.40 | 0.00 | 100.00 | 0.00 | 0.000000 |
| 3 | 2.53 | 5.65 | 10.05 | 66.15 | -67.91 | -30.43 | 0.00 | 100.00 | 0.00 | 0.000000 |

Verifica fessurazione piedritto destro [Combinazione n° 29 - SLE (Rara)]

| N° | X | A _{f1} | A _{f2} | M _p | M _n | M | w | w _{lim} | s _m | ε _{sm} |
|----|------|-----------------|-----------------|----------------|----------------|--------|------|------------------|----------------|-----------------|
| 1 | 0.17 | 5.65 | 10.05 | 66.15 | -67.91 | -39.99 | 0.00 | 100.00 | 0.00 | 0.000000 |
| 2 | 1.35 | 5.65 | 10.05 | 66.15 | -67.91 | 8.32 | 0.00 | 100.00 | 0.00 | 0.000000 |
| 3 | 2.53 | 5.65 | 10.05 | 66.15 | -67.91 | -14.29 | 0.00 | 100.00 | 0.00 | 0.000000 |

Verifica fessurazione fondazione [Combinazione n° 30 - SLE (Rara)]

| N° | X | A _{f1} | A _{f2} | M _p | M _n | M | w | w _{lim} | s _m | ε _{sm} |
|----|------|-----------------|-----------------|----------------|----------------|--------|------|------------------|----------------|-----------------|
| 1 | 0.17 | 10.05 | 10.05 | 68.21 | -68.21 | 14.22 | 0.00 | 100.00 | 0.00 | 0.000000 |
| 2 | 1.35 | 10.05 | 10.05 | 68.21 | -68.21 | -22.49 | 0.00 | 100.00 | 0.00 | 0.000000 |
| 3 | 2.53 | 10.05 | 10.05 | 68.21 | -68.21 | 42.53 | 0.00 | 100.00 | 0.00 | 0.000000 |

Verifica fessurazione traverso [Combinazione n° 30 - SLE (Rara)]

| N° | X | A _{f1} | A _{f2} | M _p | M _n | M | w | w _{lim} | s _m | ε _{sm} |
|----|------|-----------------|-----------------|----------------|----------------|--------|------|------------------|----------------|-----------------|
| 1 | 0.17 | 10.05 | 10.05 | 68.21 | -68.21 | -32.28 | 0.00 | 100.00 | 0.00 | 0.000000 |
| 2 | 1.35 | 10.05 | 10.05 | 68.21 | -68.21 | 18.33 | 0.00 | 100.00 | 0.00 | 0.000000 |
| 3 | 2.53 | 10.05 | 10.05 | 68.21 | -68.21 | -14.00 | 0.00 | 100.00 | 0.00 | 0.000000 |

Progetto Esecutivo

Verifica fessurazione piedritto sinistro [Combinazione n° 30 - SLE (Rara)]

| N° | X | A _{f1} | A _{fs} | M _p | M _n | M | w | w _{lim} | s _m | ε _{sm} |
|----|------|-----------------|-----------------|----------------|----------------|--------|------|------------------|----------------|-----------------|
| 1 | 0.17 | 5.65 | 10.05 | 66.15 | -67.91 | -14.22 | 0.00 | 100.00 | 0.00 | 0.000000 |
| 2 | 1.35 | 5.65 | 10.05 | 66.15 | -67.91 | 2.00 | 0.00 | 100.00 | 0.00 | 0.000000 |
| 3 | 2.53 | 5.65 | 10.05 | 66.15 | -67.91 | -32.28 | 0.00 | 100.00 | 0.00 | 0.000000 |

Verifica fessurazione piedritto destro [Combinazione n° 30 - SLE (Rara)]

| N° | X | A _{f1} | A _{fs} | M _p | M _n | M | w | w _{lim} | s _m | ε _{sm} |
|----|------|-----------------|-----------------|----------------|----------------|--------|------|------------------|----------------|-----------------|
| 1 | 0.17 | 5.65 | 10.05 | 66.15 | -67.91 | -42.53 | 0.00 | 100.00 | 0.00 | 0.000000 |
| 2 | 1.35 | 5.65 | 10.05 | 66.15 | -67.91 | 8.63 | 0.00 | 100.00 | 0.00 | 0.000000 |
| 3 | 2.53 | 5.65 | 10.05 | 66.15 | -67.91 | -14.00 | 0.00 | 100.00 | 0.00 | 0.000000 |

Verifica fessurazione fondazione [Combinazione n° 31 - SLE (Frequente)]

| N° | X | A _{f1} | A _{fs} | M _p | M _n | M | w | w _{lim} | s _m | ε _{sm} |
|----|------|-----------------|-----------------|----------------|----------------|--------|------|------------------|----------------|-----------------|
| 1 | 0.17 | 10.05 | 10.05 | 68.21 | -68.21 | 24.87 | 0.00 | 0.40 | 0.00 | 0.000000 |
| 2 | 1.35 | 10.05 | 10.05 | 68.21 | -68.21 | -23.21 | 0.00 | 0.40 | 0.00 | 0.000000 |
| 3 | 2.53 | 10.05 | 10.05 | 68.21 | -68.21 | 27.27 | 0.00 | 0.40 | 0.00 | 0.000000 |

Verifica fessurazione traverso [Combinazione n° 31 - SLE (Frequente)]

| N° | X | A _{f1} | A _{fs} | M _p | M _n | M | w | w _{lim} | s _m | ε _{sm} |
|----|------|-----------------|-----------------|----------------|----------------|--------|------|------------------|----------------|-----------------|
| 1 | 0.17 | 10.05 | 10.05 | 68.21 | -68.21 | -21.53 | 0.00 | 0.40 | 0.00 | 0.000000 |
| 2 | 1.35 | 10.05 | 10.05 | 68.21 | -68.21 | 19.00 | 0.00 | 0.40 | 0.00 | 0.000000 |
| 3 | 2.53 | 10.05 | 10.05 | 68.21 | -68.21 | -20.11 | 0.00 | 0.40 | 0.00 | 0.000000 |

Verifica fessurazione piedritto sinistro [Combinazione n° 31 - SLE (Frequente)]

| N° | X | A _{f1} | A _{fs} | M _p | M _n | M | w | w _{lim} | s _m | ε _{sm} |
|----|------|-----------------|-----------------|----------------|----------------|--------|------|------------------|----------------|-----------------|
| 1 | 0.17 | 5.65 | 10.05 | 66.15 | -67.91 | -24.87 | 0.00 | 0.40 | 0.00 | 0.000000 |
| 2 | 1.35 | 5.65 | 10.05 | 66.15 | -67.91 | 2.05 | 0.00 | 0.40 | 0.00 | 0.000000 |
| 3 | 2.53 | 5.65 | 10.05 | 66.15 | -67.91 | -21.53 | 0.00 | 0.40 | 0.00 | 0.000000 |

Verifica fessurazione piedritto destro [Combinazione n° 31 - SLE (Frequente)]

| N° | X | A _{f1} | A _{fs} | M _p | M _n | M | w | w _{lim} | s _m | ε _{sm} |
|----|------|-----------------|-----------------|----------------|----------------|--------|------|------------------|----------------|-----------------|
| 1 | 0.17 | 5.65 | 10.05 | 66.15 | -67.91 | -27.27 | 0.00 | 0.40 | 0.00 | 0.000000 |
| 2 | 1.35 | 5.65 | 10.05 | 66.15 | -67.91 | 2.52 | 0.00 | 0.40 | 0.00 | 0.000000 |
| 3 | 2.53 | 5.65 | 10.05 | 66.15 | -67.91 | -20.11 | 0.00 | 0.40 | 0.00 | 0.000000 |

Verifica fessurazione fondazione [Combinazione n° 32 - SLE (Quasi Permanente) - Sisma Vert. positivo]

| N° | X | A _{f1} | A _{fs} | M _p | M _n | M | w | w _{lim} | s _m | ε _{sm} |
|----|------|-----------------|-----------------|----------------|----------------|--------|------|------------------|----------------|-----------------|
| 1 | 0.17 | 10.05 | 10.05 | 68.21 | -68.21 | 28.68 | 0.00 | 0.30 | 0.00 | 0.000000 |
| 2 | 1.35 | 10.05 | 10.05 | 68.21 | -68.21 | -22.65 | 0.00 | 0.30 | 0.00 | 0.000000 |
| 3 | 2.53 | 10.05 | 10.05 | 68.21 | -68.21 | 23.22 | 0.00 | 0.30 | 0.00 | 0.000000 |

Verifica fessurazione traverso [Combinazione n° 32 - SLE (Quasi Permanente) - Sisma Vert. positivo]

| N° | X | A _{f1} | A _{fs} | M _p | M _n | M | w | w _{lim} | s _m | ε _{sm} |
|----|------|-----------------|-----------------|----------------|----------------|--------|------|------------------|----------------|-----------------|
| 1 | 0.17 | 10.05 | 10.05 | 68.21 | -68.21 | -18.57 | 0.00 | 0.30 | 0.00 | 0.000000 |
| 2 | 1.35 | 10.05 | 10.05 | 68.21 | -68.21 | 18.26 | 0.00 | 0.30 | 0.00 | 0.000000 |
| 3 | 2.53 | 10.05 | 10.05 | 68.21 | -68.21 | -22.55 | 0.00 | 0.30 | 0.00 | 0.000000 |

Verifica fessurazione piedritto sinistro [Combinazione n° 32 - SLE (Quasi Permanente) - Sisma Vert. positivo]

| N° | X | A _{f1} | A _{fs} | M _p | M _n | M | w | w _{lim} | s _m | ε _{sm} |
|----|------|-----------------|-----------------|----------------|----------------|--------|------|------------------|----------------|-----------------|
| 1 | 0.17 | 5.65 | 10.05 | 66.15 | -67.91 | -28.68 | 0.00 | 0.30 | 0.00 | 0.000000 |
| 2 | 1.35 | 5.65 | 10.05 | 66.15 | -67.91 | 3.31 | 0.00 | 0.30 | 0.00 | 0.000000 |
| 3 | 2.53 | 5.65 | 10.05 | 66.15 | -67.91 | -18.57 | 0.00 | 0.30 | 0.00 | 0.000000 |

Verifica fessurazione piedritto destro [Combinazione n° 32 - SLE (Quasi Permanente) - Sisma Vert. positivo]

| N° | X | A _{f1} | A _{fs} | M _p | M _n | M | w | w _{lim} | s _m | ε _{sm} |
|----|------|-----------------|-----------------|----------------|----------------|--------|------|------------------|----------------|-----------------|
| 1 | 0.17 | 5.65 | 10.05 | 66.15 | -67.91 | -23.22 | 0.00 | 0.30 | 0.00 | 0.000000 |
| 2 | 1.35 | 5.65 | 10.05 | 66.15 | -67.91 | 2.14 | 0.00 | 0.30 | 0.00 | 0.000000 |
| 3 | 2.53 | 5.65 | 10.05 | 66.15 | -67.91 | -22.55 | 0.00 | 0.30 | 0.00 | 0.000000 |

Progetto Esecutivo

Verifica fessurazione fondazione [Combinazione n° 33 - SLE (Quasi Permanente) - Sisma Vert. negativo]

| N° | X | A _{f1} | A _{f2} | M _p | M _n | M | w | w _{lim} | s _m | ε _{sm} |
|----|------|-----------------|-----------------|----------------|----------------|--------|------|------------------|----------------|-----------------|
| 1 | 0.17 | 10.05 | 10.05 | 68.21 | -68.21 | 27.55 | 0.00 | 0.30 | 0.00 | 0.000000 |
| 2 | 1.35 | 10.05 | 10.05 | 68.21 | -68.21 | -22.35 | 0.00 | 0.30 | 0.00 | 0.000000 |
| 3 | 2.53 | 10.05 | 10.05 | 68.21 | -68.21 | 23.62 | 0.00 | 0.30 | 0.00 | 0.000000 |

Verifica fessurazione traverso [Combinazione n° 33 - SLE (Quasi Permanente) - Sisma Vert. negativo]

| N° | X | A _{f1} | A _{f2} | M _p | M _n | M | w | w _{lim} | s _m | ε _{sm} |
|----|------|-----------------|-----------------|----------------|----------------|--------|------|------------------|----------------|-----------------|
| 1 | 0.17 | 10.05 | 10.05 | 68.21 | -68.21 | -18.94 | 0.00 | 0.30 | 0.00 | 0.000000 |
| 2 | 1.35 | 10.05 | 10.05 | 68.21 | -68.21 | 18.18 | 0.00 | 0.30 | 0.00 | 0.000000 |
| 3 | 2.53 | 10.05 | 10.05 | 68.21 | -68.21 | -21.90 | 0.00 | 0.30 | 0.00 | 0.000000 |

Verifica fessurazione piedritto sinistro [Combinazione n° 33 - SLE (Quasi Permanente) - Sisma Vert. negativo]

| N° | X | A _{f1} | A _{f2} | M _p | M _n | M | w | w _{lim} | s _m | ε _{sm} |
|----|------|-----------------|-----------------|----------------|----------------|--------|------|------------------|----------------|-----------------|
| 1 | 0.17 | 5.65 | 10.05 | 66.15 | -67.91 | -27.55 | 0.00 | 0.30 | 0.00 | 0.000000 |
| 2 | 1.35 | 5.65 | 10.05 | 66.15 | -67.91 | 3.05 | 0.00 | 0.30 | 0.00 | 0.000000 |
| 3 | 2.53 | 5.65 | 10.05 | 66.15 | -67.91 | -18.94 | 0.00 | 0.30 | 0.00 | 0.000000 |

Verifica fessurazione piedritto destro [Combinazione n° 33 - SLE (Quasi Permanente) - Sisma Vert. negativo]

| N° | X | A _{f1} | A _{f2} | M _p | M _n | M | w | w _{lim} | s _m | ε _{sm} |
|----|------|-----------------|-----------------|----------------|----------------|--------|------|------------------|----------------|-----------------|
| 1 | 0.17 | 5.65 | 10.05 | 66.15 | -67.91 | -23.62 | 0.00 | 0.30 | 0.00 | 0.000000 |
| 2 | 1.35 | 5.65 | 10.05 | 66.15 | -67.91 | 2.26 | 0.00 | 0.30 | 0.00 | 0.000000 |
| 3 | 2.53 | 5.65 | 10.05 | 66.15 | -67.91 | -21.90 | 0.00 | 0.30 | 0.00 | 0.000000 |

Verifica fessurazione fondazione [Combinazione n° 34 - SLE (Quasi Permanente) - Sisma Vert. positivo]

| N° | X | A _{f1} | A _{f2} | M _p | M _n | M | w | w _{lim} | s _m | ε _{sm} |
|----|------|-----------------|-----------------|----------------|----------------|--------|------|------------------|----------------|-----------------|
| 1 | 0.17 | 10.05 | 10.05 | 68.21 | -68.21 | 23.22 | 0.00 | 0.30 | 0.00 | 0.000000 |
| 2 | 1.35 | 10.05 | 10.05 | 68.21 | -68.21 | -22.65 | 0.00 | 0.30 | 0.00 | 0.000000 |
| 3 | 2.53 | 10.05 | 10.05 | 68.21 | -68.21 | 28.68 | 0.00 | 0.30 | 0.00 | 0.000000 |

Verifica fessurazione traverso [Combinazione n° 34 - SLE (Quasi Permanente) - Sisma Vert. positivo]

| N° | X | A _{f1} | A _{f2} | M _p | M _n | M | w | w _{lim} | s _m | ε _{sm} |
|----|------|-----------------|-----------------|----------------|----------------|--------|------|------------------|----------------|-----------------|
| 1 | 0.17 | 10.05 | 10.05 | 68.21 | -68.21 | -22.55 | 0.00 | 0.30 | 0.00 | 0.000000 |
| 2 | 1.35 | 10.05 | 10.05 | 68.21 | -68.21 | 18.26 | 0.00 | 0.30 | 0.00 | 0.000000 |
| 3 | 2.53 | 10.05 | 10.05 | 68.21 | -68.21 | -18.57 | 0.00 | 0.30 | 0.00 | 0.000000 |

Verifica fessurazione piedritto sinistro [Combinazione n° 34 - SLE (Quasi Permanente) - Sisma Vert. positivo]

| N° | X | A _{f1} | A _{f2} | M _p | M _n | M | w | w _{lim} | s _m | ε _{sm} |
|----|------|-----------------|-----------------|----------------|----------------|--------|------|------------------|----------------|-----------------|
| 1 | 0.17 | 5.65 | 10.05 | 66.15 | -67.91 | -23.22 | 0.00 | 0.30 | 0.00 | 0.000000 |
| 2 | 1.35 | 5.65 | 10.05 | 66.15 | -67.91 | 2.14 | 0.00 | 0.30 | 0.00 | 0.000000 |
| 3 | 2.53 | 5.65 | 10.05 | 66.15 | -67.91 | -22.55 | 0.00 | 0.30 | 0.00 | 0.000000 |

Verifica fessurazione piedritto destro [Combinazione n° 34 - SLE (Quasi Permanente) - Sisma Vert. positivo]

| N° | X | A _{f1} | A _{f2} | M _p | M _n | M | w | w _{lim} | s _m | ε _{sm} |
|----|------|-----------------|-----------------|----------------|----------------|--------|------|------------------|----------------|-----------------|
| 1 | 0.17 | 5.65 | 10.05 | 66.15 | -67.91 | -28.68 | 0.00 | 0.30 | 0.00 | 0.000000 |
| 2 | 1.35 | 5.65 | 10.05 | 66.15 | -67.91 | 3.31 | 0.00 | 0.30 | 0.00 | 0.000000 |
| 3 | 2.53 | 5.65 | 10.05 | 66.15 | -67.91 | -18.57 | 0.00 | 0.30 | 0.00 | 0.000000 |

Verifica fessurazione fondazione [Combinazione n° 35 - SLE (Quasi Permanente) - Sisma Vert. negativo]

| N° | X | A _{f1} | A _{f2} | M _p | M _n | M | w | w _{lim} | s _m | ε _{sm} |
|----|------|-----------------|-----------------|----------------|----------------|--------|------|------------------|----------------|-----------------|
| 1 | 0.17 | 10.05 | 10.05 | 68.21 | -68.21 | 23.62 | 0.00 | 0.30 | 0.00 | 0.000000 |
| 2 | 1.35 | 10.05 | 10.05 | 68.21 | -68.21 | -22.35 | 0.00 | 0.30 | 0.00 | 0.000000 |
| 3 | 2.53 | 10.05 | 10.05 | 68.21 | -68.21 | 27.55 | 0.00 | 0.30 | 0.00 | 0.000000 |

Verifica fessurazione traverso [Combinazione n° 35 - SLE (Quasi Permanente) - Sisma Vert. negativo]

| N° | X | A _{f1} | A _{f2} | M _p | M _n | M | w | w _{lim} | s _m | ε _{sm} |
|----|------|-----------------|-----------------|----------------|----------------|--------|------|------------------|----------------|-----------------|
| 1 | 0.17 | 10.05 | 10.05 | 68.21 | -68.21 | -21.90 | 0.00 | 0.30 | 0.00 | 0.000000 |
| 2 | 1.35 | 10.05 | 10.05 | 68.21 | -68.21 | 18.18 | 0.00 | 0.30 | 0.00 | 0.000000 |
| 3 | 2.53 | 10.05 | 10.05 | 68.21 | -68.21 | -18.94 | 0.00 | 0.30 | 0.00 | 0.000000 |

Verifica fessurazione piedritto sinistro [Combinazione n° 35 - SLE (Quasi Permanente) - Sisma Vert. negativo]

| N° | X | A _{f1} | A _{f2} | M _p | M _n | M | w | w _{lim} | s _m | ϵ_{sm} |
|----|------|-----------------|-----------------|----------------|----------------|--------|------|------------------|----------------|-----------------|
| 1 | 0.17 | 5.65 | 10.05 | 66.15 | -67.91 | -23.62 | 0.00 | 0.30 | 0.00 | 0.000000 |
| 2 | 1.35 | 5.65 | 10.05 | 66.15 | -67.91 | 2.26 | 0.00 | 0.30 | 0.00 | 0.000000 |
| 3 | 2.53 | 5.65 | 10.05 | 66.15 | -67.91 | -21.90 | 0.00 | 0.30 | 0.00 | 0.000000 |

Verifica fessurazione piedritto destro [Combinazione n° 35 - SLE (Quasi Permanente) - Sisma Vert. negativo]

| N° | X | A _{f1} | A _{f2} | M _p | M _n | M | w | w _{lim} | s _m | ϵ_{sm} |
|----|------|-----------------|-----------------|----------------|----------------|--------|------|------------------|----------------|-----------------|
| 1 | 0.17 | 5.65 | 10.05 | 66.15 | -67.91 | -27.55 | 0.00 | 0.30 | 0.00 | 0.000000 |
| 2 | 1.35 | 5.65 | 10.05 | 66.15 | -67.91 | 3.05 | 0.00 | 0.30 | 0.00 | 0.000000 |
| 3 | 2.53 | 5.65 | 10.05 | 66.15 | -67.91 | -18.94 | 0.00 | 0.30 | 0.00 | 0.000000 |

11 VERIFICHE GEOTECNICHE

Simbologia adottata

IC Indice della combinazione

Nc, Nq, Ng Fattori di capacità portante

Nc, Nq, Ng Fattori di capacità portante corretti per effetto forma, inclinazione del carico, affondamento, etc.

qu Portanza ultima del terreno, espressa in [N/mmq]

Qu Portanza ultima del terreno, espressa in [kN]/m

Qy Carico verticale al piano di posa, espressa in [kN]/m

FS Fattore di sicurezza a carico limite

| IC | Nc | Nq | N· | N'c | N'q | N'y | qu | Qu | Qy | FS |
|-----------|-----------|-----------|-----------|------------|------------|------------|-----------|-----------|-----------|-----------|
| 1 | 23.94 | 13.20 | 14.47 | 34.40 | 17.58 | 14.47 | 2.088 | 5638.35 | 249.97 | 22.56 |
| 2 | 23.94 | 13.20 | 14.47 | 34.40 | 17.58 | 14.47 | 2.088 | 5638.35 | 476.52 | 11.83 |
| 3 | 23.94 | 13.20 | 14.47 | 34.40 | 17.58 | 14.47 | 2.088 | 5638.35 | 508.74 | 11.08 |
| 4 | 23.94 | 13.20 | 14.47 | 34.40 | 17.58 | 14.47 | 2.088 | 5638.35 | 461.54 | 12.22 |
| 5 | 23.94 | 13.20 | 14.47 | 27.44 | 14.29 | 10.52 | 1.591 | 4296.47 | 496.19 | 8.66 |
| 6 | 23.94 | 13.20 | 14.47 | 28.62 | 14.85 | 11.16 | 1.673 | 4516.72 | 452.13 | 9.99 |
| 7 | 23.94 | 13.20 | 14.47 | 28.80 | 14.93 | 11.26 | 1.685 | 4550.20 | 467.11 | 9.74 |
| 8 | 23.94 | 13.20 | 14.47 | 22.11 | 11.78 | 7.81 | 1.133 | 3058.26 | 314.72 | 9.72 |
| 9 | 23.94 | 13.20 | 14.47 | 24.76 | 13.03 | 9.12 | 1.322 | 3569.33 | 314.72 | 11.34 |
| 10 | 23.94 | 13.20 | 14.47 | 23.74 | 12.54 | 8.61 | 1.260 | 3401.91 | 321.85 | 10.57 |
| 11 | 23.94 | 13.20 | 14.47 | 29.90 | 15.45 | 11.87 | 1.709 | 4614.42 | 235.25 | 19.62 |
| 12 | 23.94 | 13.20 | 14.47 | 30.98 | 15.96 | 12.47 | 1.797 | 4852.39 | 229.33 | 21.16 |
| 13 | 23.94 | 13.20 | 14.47 | 29.90 | 15.45 | 11.87 | 1.709 | 4614.42 | 235.25 | 19.62 |
| 14 | 23.94 | 13.20 | 14.47 | 30.98 | 15.96 | 12.47 | 1.797 | 4852.39 | 229.33 | 21.16 |

12 MURI D'ALA LATO OVEST

12.1 Generalità

Nel presente capitolo vengono riportati i calcoli e le verifiche relativi ai muri d'ala posti da realizzare in corrispondenza dell'imbocco ovest del tombino.

La geometria di tali elementi è riportata di seguito.

Paramento

| | |
|--|------------|
| Materiale | Cls Armato |
| Altezza paramento | 3.50 [m] |
| Altezza paramento libero | 2.80 [m] |
| Spessore in sommità | 0.30 [m] |
| Spessore all'attacco con la fondazione | 0.58 [m] |
| Inclinazione paramento esterno | 0.00 [°] |
| Inclinazione paramento interno | 5.80 [°] |

Fondazione

| | |
|----------------------------|------------|
| Materiale | Cls Armato |
| Lunghezza mensola di valle | 0.40 [m] |
| Lunghezza mensola di monte | 2.02 [m] |
| Lunghezza totale | 3.00 [m] |
| Inclinazione piano di posa | 0.00 [°] |
| Spessore | 0.70 [m] |
| Spessore magrone | 0.20 [m] |

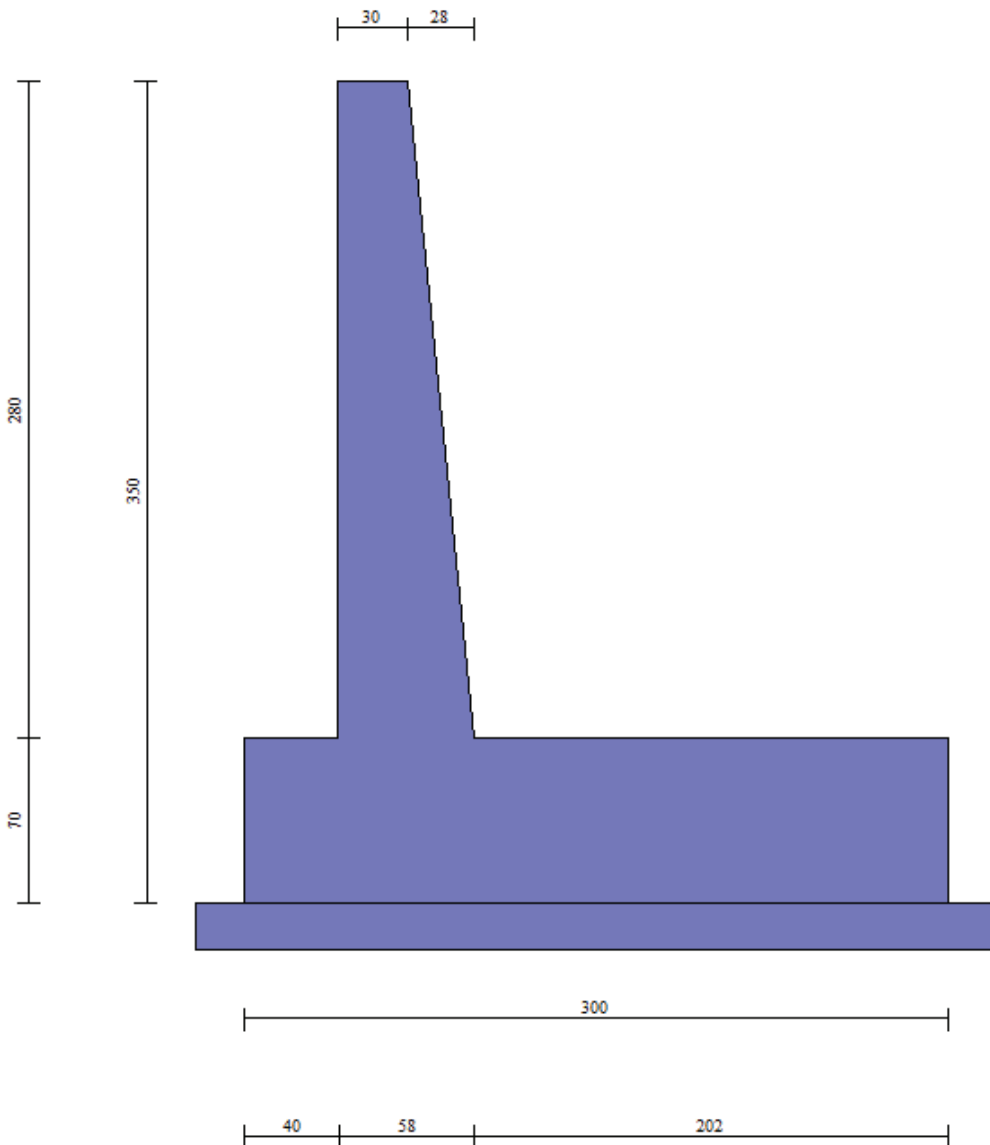


Figura 19 – Geometria del muro d'ala

12.2 Modellazione

12.2.1 Tipo di analisi svolta

L'analisi strutturale e le verifiche sono condotte con l'ausilio di un codice di calcolo automatico. La verifica della sicurezza degli elementi strutturali è stata valutata con i metodi della scienza delle costruzioni.

Il calcolo dei muri di sostegno viene eseguito secondo le seguenti fasi:

- Calcolo della spinta del terreno

Scatolare pk 148+140 - TS10 SU S15 - Relazione tecnica e di calcolo

88

RTI di progettazione:



Mandataria

Via G.B. Sammartini n°5
20125 - Milano
Tel. 02 6787911
email: mail@proiter.it



Mandante

Via Artemide n°3
92100 Agrigento
Tel. 0922 421007
email: deltaingegneria@pec.it

- Verifica a ribaltamento
- Verifica a scorrimento del muro sul piano di posa
- Verifica della stabilità complesso fondazione terreno (carico limite)
- Verifica della stabilità globale
- Calcolo delle sollecitazioni sia del muro che della fondazione, progetto delle armature e relative verifiche dei materiali.

L'analisi strutturale sotto le azioni sismiche è condotta con il metodo dell'analisi statica equivalente secondo le disposizioni del capitolo 7 del D.M. 17/07/2018.

La verifica delle sezioni degli elementi strutturali è eseguita con il metodo degli Stati Limite. Le combinazioni di carico adottate sono esaustive relativamente agli scenari di carico più gravosi cui l'opera sarà soggetta.

12.2.2 Origine e caratteristiche dei codici di calcolo

Titolo MAX - Analisi e Calcolo Muri di Sostegno

Versione 15.0

Produttore Aztec Informatica srl, Casali del Manco - loc. Casole Bruzio (CS)

Utente Duomi S.r.l.

Licenza AIU2302G8

12.2.3 Affidabilità dei codici di calcolo

Un attento esame preliminare della documentazione a corredo del software ha consentito di valutarne l'affidabilità. La documentazione fornita dal produttore del software contiene un'esauriente descrizione delle basi teoriche, degli algoritmi impiegati e l'individuazione dei campi d'impiego. La società produttrice Aztec Informatica srl ha verificato l'affidabilità e la robustezza del codice di calcolo attraverso un numero significativo di casi prova in cui i risultati dell'analisi numerica sono stati confrontati con soluzioni teoriche.

12.2.4 Modalità di presentazione dei risultati

La relazione di calcolo strutturale presenta i dati di calcolo tale da garantirne la leggibilità, la corretta interpretazione e la riproducibilità. La relazione di calcolo illustra in modo esaustivo i dati in ingresso ed i risultati delle analisi in forma tabellare.

12.2.5 Informazioni generali sull'elaborazione

Il software prevede una serie di controlli automatici che consentono l'individuazione di errori di modellazione, di non rispetto di limitazioni geometriche e di armatura e di presenza di elementi non verificati. Il codice di calcolo consente di visualizzare e controllare, sia in forma grafica che tabellare, i dati del modello strutturale, in modo da avere una visione consapevole del comportamento corretto del modello strutturale.

12.2.6 Giudizio motivato di accettabilità dei risultati

I risultati delle elaborazioni sono stati sottoposti a controlli dall'utente del software. Tale valutazione ha compreso il confronto con i risultati di semplici calcoli, eseguiti con metodi tradizionali. Inoltre sulla base di considerazioni riguardanti gli stati tensionali e deformativi determinati, si è valutata la validità delle scelte operate in sede di schematizzazione e di modellazione della struttura e delle azioni.

In base a quanto sopra, si può affermare che l'elaborazione è corretta ed idonea al caso specifico, pertanto i risultati di calcolo sono da ritenersi validi ed accettabili.

12.3 Calcolo della spinta sul muro

12.3.1 Metodo di Culmann

Il metodo di Culmann adotta le stesse ipotesi di base del metodo di Coulomb. La differenza sostanziale è che mentre Coulomb considera un terrapieno con superficie a pendenza costante e carico uniformemente distribuito (il che permette di ottenere una espressione in forma chiusa per il coefficiente di spinta) il metodo di Culmann consente di analizzare situazioni con profilo di forma generica e carichi sia concentrati che distribuiti comunque disposti. Inoltre, rispetto al metodo di Coulomb, risulta più immediato e lineare tener conto della coesione del masso spingente. Il metodo di Culmann, nato come metodo essenzialmente grafico, si è evoluto per essere trattato mediante analisi numerica (noto in questa forma come metodo del cuneo di tentativo). Come il metodo di Coulomb anche questo metodo considera una superficie di rottura rettilinea.

I passi del procedimento risolutivo sono i seguenti:

- si impone una superficie di rottura e si considera il cuneo di spinta delimitato dalla superficie di rottura stessa, dalla parete su cui si calcola la spinta e dal profilo del terreno;

- si valutano tutte le forze agenti sul cuneo di spinta e cioè peso proprio (W), carichi sul terrapieno, resistenza per attrito e per coesione lungo la superficie di rottura (R e C) e resistenza per coesione lungo la parete (A);
- dalle equazioni di equilibrio si ricava il valore della spinta S sulla parete.

Questo processo viene iterato fino a trovare l'angolo di rottura per cui la spinta risulta massima. La convergenza non si raggiunge se il terrapieno risulta inclinato di un angolo maggiore dell'angolo d'attrito del terreno.

Nei casi in cui è applicabile il metodo di Coulomb (profilo a monte rettilineo e carico uniformemente distribuito) i risultati ottenuti col metodo di Culmann coincidono con quelli del metodo di Coulomb.

Le pressioni sulla parete di spinta si ricavano derivando l'espressione della spinta S rispetto all'ordinata z . Noto il diagramma delle pressioni è possibile ricavare il punto di applicazione della spinta.

12.3.2 Spinta in presenza di falda

Si rimanda a quanto riportato nel §4.2.2.

12.3.3 Spinta in presenza di sisma

Si rimanda a quanto riportato nel §4.2.4.

12.4 Analisi dei carichi

12.4.1 Pesi propri

Il peso proprio degli elementi strutturali è calcolato considerando un peso specifico pari a 25 kN/m³ per il calcestruzzo armato.

12.4.2 Spinta del terreno

La spinta del terreno è stata determinata secondo quanto riportato nel §12.3.

Le caratteristiche del terreno di fondazione e del terreno di rinfianco sono riportate nel §6.

Non è presente falda.

Il profilo del terreno è riportato nella seguente figura.

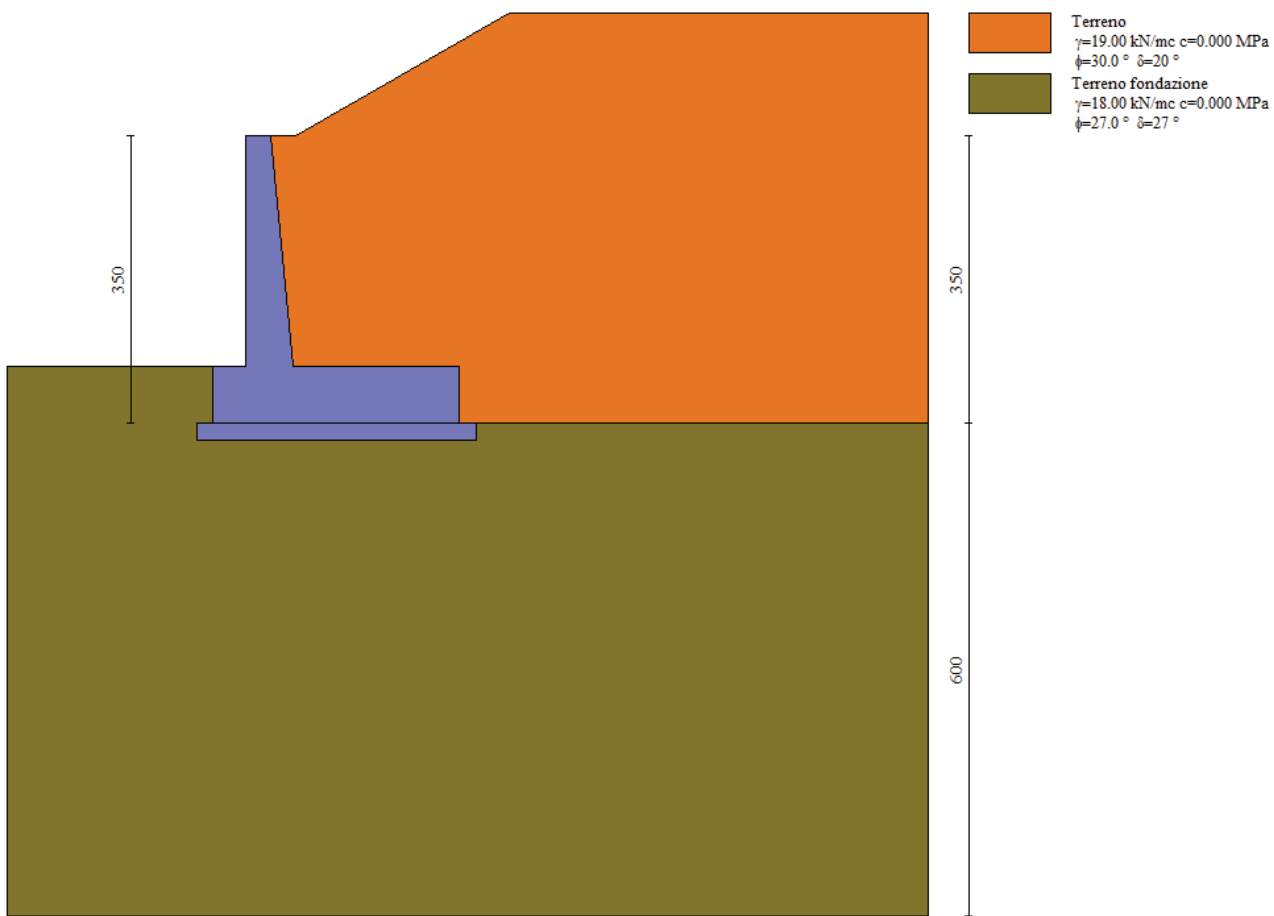


Figura 20 – Profilo del terreno

Geometria profilo terreno a monte del muro

Simbologia adottata

(Sistema di riferimento con origine in testa al muro, ascissa X positiva verso monte, ordinata Y positiva verso l'alto)

N numero ordine del punto

X ascissa del punto espressa in [m]

Y ordinata del punto espressa in [m]

A inclinazione del tratto espressa in [°]

| n° | X [m] | Y [m] | A [°] |
|----|----------|----------|----------|
| 1 | 0.00 | 0.00 | 0.000 |
| 2 | 0.30 | 0.00 | 0.000 |
| 3 | 2.90 | 1.50 | 29.982 |
| 4 | 8.00 | 1.50 | 0.000 |

Terreno a valle del muro

Inclinazione terreno a valle del muro rispetto all'orizzontale 0.000 [°]

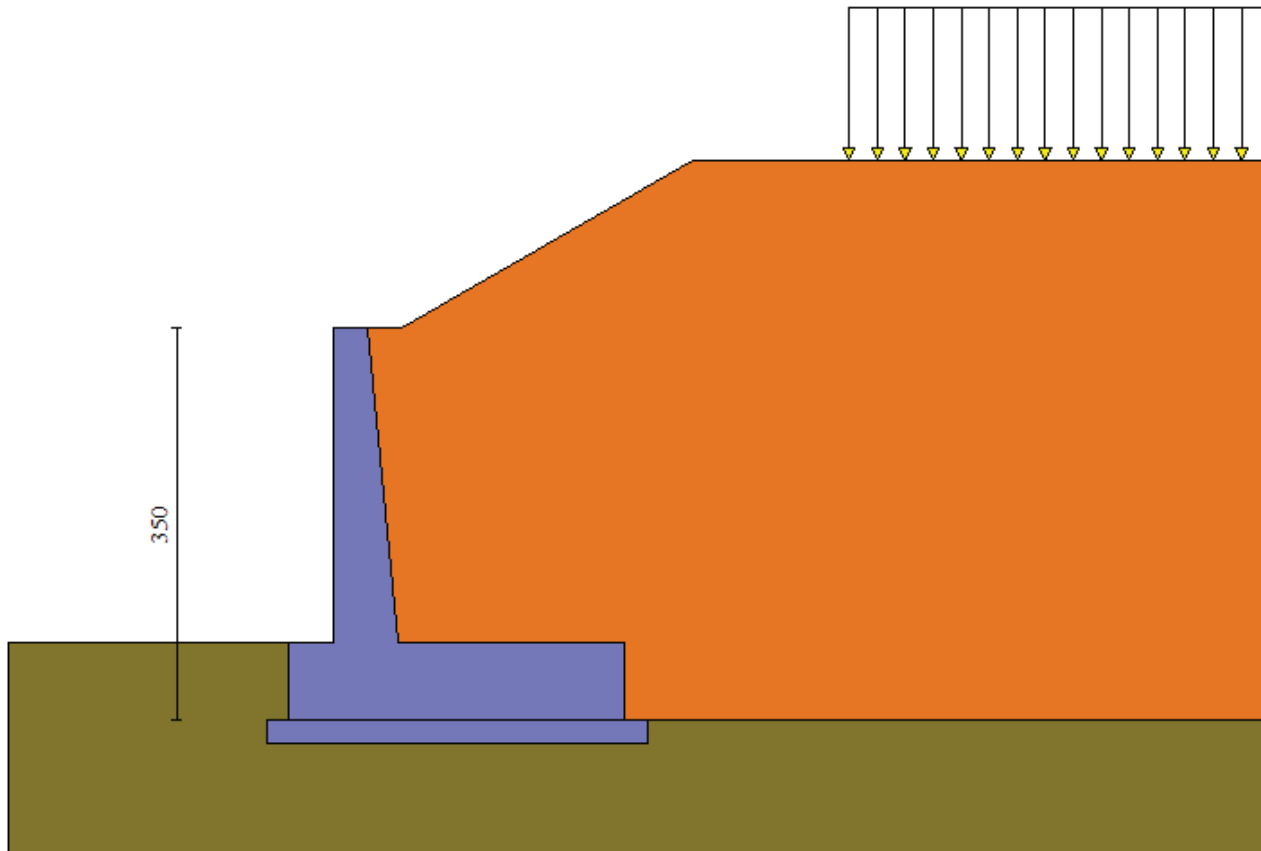
12.4.3 Carichi variabiliÈ stato considerato un carico di 20 kN/m², applicato sull'intera carreggiata stradale.

Figura 21 – Carico variabile

Simbologia adottata

Carichi verticali positivi verso il basso.

Carichi orizzontali positivi verso sinistra.

Momento positivo senso antiorario.

X Ascissa del punto di applicazione del carico concentrato espressa in [m]

Scatolare pk 148+140 - TS10 SU S15 - Relazione tecnica e di calcolo

93

RTI di progettazione:**Mandataria**

Via G.B. Sammartini n°5
20125 - Milano
Tel. 02 6787911
email: mail@proiter.it

**Mandante**

Via Artemide n°3
92100 Agrigento
Tel. 0922 421007
email: deltaingeengneria@pec.it

| | |
|-------|---|
| F_x | Componente orizzontale del carico concentrato espressa in [kg] |
| F_y | Componente verticale del carico concentrato espressa in [kg] |
| M | Momento espresso in [kgm] |
| X_i | Ascissa del punto iniziale del carico ripartito espressa in [m] |
| X_f | Ascissa del punto finale del carico ripartito espressa in [m] |
| Q_i | Intensità del carico per $x=X_i$ espressa in [kg] |
| Q_f | Intensità del carico per $x=X_f$ espressa in [kg] |

Condizione n° 1 (Condizione 1) - VARIABILE TFCoeff. di combinazione $\Psi_0=0.75$ - $\Psi_1=0.75$ - $\Psi_2=0.00$ *Carichi sul terreno*

| n° | Tipo | X [m] | Fx [kg] | Fy [kg] | M [kgm] | Xi [m] | Xf [m] | Qi [kg] | Qf [kg] |
|----|-------------|----------|------------|------------|------------|-----------|-----------|------------|------------|
| 1 | Distribuito | | | | | 4.30 | 8.00 | 2039.40 | 2039.40 |

12.4.4 Azione sismica

Si rimanda a quanto riportato nel §7.4.

A differenza del tombino, si assume che il muro possa muoversi rispetto al terreno, per cui vengono assunti i coefficienti di riduzione dell'accelerazione massima previsti dalle NTC 2018, come riportato di seguito.

| | SLV | SLD |
|---|--------------|--------------|
| Accelerazione al suolo ag [m/s ²] | 0.600 | 0.310 |
| Accelerazione al suolo ag [% di g] | 0.061 | 0.032 |
| Massimo fattore amplificazione spettro orizzontale F0 | 2.970 | 2.730 |
| Periodo inizio tratto spettro a velocità costante Tc* | 0.370 | 0.310 |
| Tipo di sottosuolo - Coefficiente stratigrafico Ss | Tipo B | 1.200 |
| Coefficiente di riduzione (β_m) | C | 0.380 |
| Coefficiente di riduzione (β_m) verifica ribaltamento | | 0.57 |
| Coefficiente amplificazione topografica S _T | T1 | 1.00 |
| $K_h = ag/g * Ss * St * \beta_m$ | | |
| Coeff. di intensità sismica orizzontale Kh [%] | 2.789 | 1.782 |
| Intensità sismica Verticale/Orizzontale | | 0.50 |

Figura 22 – Determinazione dei coefficienti di intensità sismica

12.5 Combinazioni dei carichi

Si rimanda a quanto riportato nel §8.

12.5.1 Riepilogo dei coefficienti

Coeff. parziali per le azioni o per l'effetto delle azioni

| Carichi | Effetto | | Combinazioni statiche | | | | | | Combinazioni sismiche | | |
|----------------------------|-------------|--------------------|-----------------------|------|------|------|------|------|-----------------------|------|------|
| | | | HYD | UPL | EQU | A1 | A2 | EQU | A1 | A2 | |
| Permanenti strutturali | Favolevoli | $\gamma_{G1,fav}$ | 0.90 | 0.90 | 0.90 | 1.00 | 1.00 | 1.00 | 1.00 | 1.00 | 1.00 |
| Permanenti strutturali | Sfavolevoli | $\gamma_{G1,sfav}$ | 1.30 | 1.10 | 1.10 | 1.30 | 1.00 | 1.00 | 1.00 | 1.00 | 1.00 |
| Permanenti non strutturali | Favolevoli | $\gamma_{G2,fav}$ | 0.90 | 0.00 | 0.00 | 0.00 | 0.00 | 1.00 | 0.00 | 0.00 | 0.00 |
| Permanenti non strutturali | Sfavolevoli | $\gamma_{G2,sfav}$ | 1.30 | 1.50 | 1.50 | 1.50 | 1.30 | 1.00 | 1.00 | 1.00 | 1.00 |
| Variabili | Favolevoli | γ_0,fav | 0.00 | 0.00 | 0.00 | 0.00 | 0.00 | 0.00 | 0.00 | 0.00 | 0.00 |

| Carichi | Effetto | | Combinazioni statiche | | | | | | Combinazioni sismiche | | |
|-----------------------|-------------|--------------------|-----------------------|------|------|------|------|--|-----------------------|------|------|
| | | | HYD | UPL | EQU | A1 | A2 | | EQU | A1 | A2 |
| Variabili | Sfavolevoli | $\gamma_{0,sfav}$ | 1.50 | 1.50 | 1.50 | 1.50 | 1.30 | | 1.00 | 1.00 | 1.00 |
| Variabili da traffico | Favolevoli | $\gamma_{QT,fav}$ | 0.00 | 0.00 | 0.00 | 0.00 | 0.00 | | 0.00 | 0.00 | 0.00 |
| Variabili da traffico | Sfavolevoli | $\gamma_{QT,sfav}$ | 1.50 | 1.50 | 1.35 | 1.35 | 1.15 | | 1.00 | 1.00 | 1.00 |

Coeff. parziali per i parametri geotecnici del terreno

| Parametro | | Combinazioni statiche | | Combinazioni sismiche | |
|---------------------------------|----------------------|-----------------------|------|-----------------------|------|
| | | M1 | M2 | M1 | M2 |
| Tangente dell'angolo di attrito | $\gamma \tan(\phi')$ | 1.00 | 1.25 | 1.00 | 1.00 |
| Coesione efficace | γ_c' | 1.00 | 1.25 | 1.00 | 1.00 |
| Resistenza non drenata | γ_{cu} | 1.00 | 1.40 | 1.00 | 1.00 |
| Peso nell'unità di volume | γ_y | 1.00 | 1.00 | 1.00 | 1.00 |

Coeff. parziali γ_R per le verifiche agli stati limite ultimi STR e GEO

| Verifica | Combinazioni statiche | | | Combinazioni sismiche | | |
|----------------------------|-----------------------|------|------|-----------------------|------|------|
| | R1 | R2 | R3 | R1 | R2 | R3 |
| Capacità portante | -- | -- | 1.40 | -- | -- | 1.20 |
| Scorrimento | -- | -- | 1.10 | -- | -- | 1.00 |
| Resistenza terreno a valle | -- | -- | 1.40 | -- | -- | 1.20 |
| Stabilità fronte di scavo | -- | 1.10 | -- | -- | 1.20 | -- |

12.5.2 Descrizione combinazioni di carico

Simbologia adottata

γ Coefficiente di partecipazione della condizione
 Ψ Coefficiente di combinazione della condizione

Combinazione n° 1 - STR A1-M1-R3

| Condizione | γ | Ψ | Effetto |
|-----------------|----------|--------|-------------|
| Peso muro | 1.00 | -- | Favorevole |
| Peso terrapieno | 1.00 | -- | Favorevole |
| Spinta terreno | 1.30 | -- | Sfavorevole |
| Condizione 1 | 1.35 | 1.00 | Sfavorevole |

Combinazione n° 2 - STR A1-M1-R3 (sismica)

| Condizione | γ | Ψ | Effetto |
|-----------------|----------|--------|-------------|
| Peso muro | 1.00 | -- | Favorevole |
| Peso terrapieno | 1.00 | -- | Favorevole |
| Spinta terreno | 1.00 | -- | Sfavorevole |

Combinazione n° 3 - STR A1-M1-R3 (sismica)

| Condizione | γ | Ψ | Effetto |
|-----------------|----------|--------|-------------|
| Peso muro | 1.00 | -- | Sfavorevole |
| Peso terrapieno | 1.00 | -- | Sfavorevole |
| Spinta terreno | 1.00 | -- | Sfavorevole |

Combinazione n° 4 - STR A1-M1-R3

| Condizione | γ | Ψ | Effetto |
|-----------------|----------|--------|-------------|
| Peso muro | 1.30 | -- | Sfavorevole |
| Peso terrapieno | 1.30 | -- | Sfavorevole |
| Spinta terreno | 1.30 | -- | Sfavorevole |
| Condizione 1 | 1.35 | 1.00 | Sfavorevole |

Combinazione n° 5 - STR A1-M1-R3

| Condizione | γ | Ψ | Effetto |
|-----------------|----------|--------|-------------|
| Peso muro | 1.00 | -- | Favorevole |
| Peso terrapieno | 1.30 | -- | Sfavorevole |
| Spinta terreno | 1.30 | -- | Sfavorevole |
| Condizione 1 | 1.35 | 1.00 | Sfavorevole |

Combinazione n° 6 - STR A1-M1-R3

| Condizione | γ | Ψ | Effetto |
|-----------------|----------|--------|-------------|
| Peso muro | 1.30 | -- | Sfavorevole |
| Peso terrapieno | 1.00 | -- | Favorevole |
| Spinta terreno | 1.30 | -- | Sfavorevole |
| Condizione 1 | 1.35 | 1.00 | Sfavorevole |

Combinazione n° 7 - GEO A2-M2-R2

| Condizione | γ | Ψ | Effetto |
|-----------------|----------|--------|-------------|
| Peso muro | 1.00 | -- | Sfavorevole |
| Peso terrapieno | 1.00 | -- | Sfavorevole |
| Spinta terreno | 1.00 | -- | Sfavorevole |
| Condizione 1 | 1.15 | 1.00 | Sfavorevole |

Combinazione n° 8 - GEO A2-M2-R2 (sismica)

| Condizione | γ | Ψ | Effetto |
|-----------------|----------|--------|-------------|
| Peso muro | 1.00 | -- | Sfavorevole |
| Peso terrapieno | 1.00 | -- | Sfavorevole |
| Spinta terreno | 1.00 | -- | Sfavorevole |

Combinazione n° 9 - GEO A2-M2-R2 (sismica)

| Condizione | γ | Ψ | Effetto |
|------------|----------|--------|---------|
|------------|----------|--------|---------|

Scatolare pk 148+140 - TS10 SU S15 - Relazione tecnica e di calcolo

97

RTI di progettazione:**Mandataria**

Via G.B. Sammartini n°5
20125 - Milano
Tel. 02 6787911
email: mail@proiter.it

**Mandante**

Via Artemide n°3
92100 Agrigento
Tel. 0922 421007
email: deltaingegneria@pec.it

Progetto Esecutivo

| Condizione | γ | Ψ | Effetto |
|-------------------|----------------------------|--------------------------|----------------|
| Peso muro | 1.00 | -- | Sfavorevole |
| Peso terrapieno | 1.00 | -- | Sfavorevole |
| Spinta terreno | 1.00 | -- | Sfavorevole |

Combinazione n° 10 - EQU

| Condizione | γ | Ψ | Effetto |
|-------------------|----------------------------|--------------------------|----------------|
| Peso muro | 0.90 | -- | Favorevole |
| Peso terrapieno | 0.90 | -- | Favorevole |
| Spinta terreno | 1.10 | -- | Sfavorevole |
| Condizione 1 | 1.35 | 1.00 | Sfavorevole |

Combinazione n° 11 - EQU (sismica) (sismica)

| Condizione | γ | Ψ | Effetto |
|-------------------|----------------------------|--------------------------|----------------|
| Peso muro | 1.00 | -- | Favorevole |
| Peso terrapieno | 1.00 | -- | Favorevole |
| Spinta terreno | 1.00 | -- | Sfavorevole |

Combinazione n° 12 - EQU (sismica)

| Condizione | γ | Ψ | Effetto |
|-------------------|----------------------------|--------------------------|----------------|
| Peso muro | 1.00 | -- | Favorevole |
| Peso terrapieno | 1.00 | -- | Favorevole |
| Spinta terreno | 1.00 | -- | Sfavorevole |

Combinazione n° 13 - SLER

| Condizione | γ | Ψ | Effetto |
|-------------------|----------------------------|--------------------------|----------------|
| Peso muro | 1.00 | -- | Sfavorevole |
| Peso terrapieno | 1.00 | -- | Sfavorevole |
| Spinta terreno | 1.00 | -- | Sfavorevole |
| Condizione 1 | 1.00 | 1.00 | Sfavorevole |

Combinazione n° 14 - SLEF

| Condizione | γ | Ψ | Effetto |
|-------------------|----------------------------|--------------------------|----------------|
| Peso muro | 1.00 | -- | Sfavorevole |
| Peso terrapieno | 1.00 | -- | Sfavorevole |
| Spinta terreno | 1.00 | -- | Sfavorevole |
| Condizione 1 | 1.00 | 0.75 | Sfavorevole |

Combinazione n° 15 - SLEQ

| Condizione | γ | Ψ | Effetto |
|-------------------|----------------------------|--------------------------|----------------|
| Peso muro | 1.00 | -- | Sfavorevole |
| Peso terrapieno | 1.00 | -- | Sfavorevole |
| Spinta terreno | 1.00 | -- | Sfavorevole |

Combinazione n° 16 - SLEQ (sismica)

| Condizione | γ | Ψ | Effetto |
|-----------------|----------|--------|-------------|
| Peso muro | 1.00 | -- | Sfavorevole |
| Peso terrapieno | 1.00 | -- | Sfavorevole |
| Spinta terreno | 1.00 | -- | Sfavorevole |

Combinazione n° 17 - SLEQ (sismica)

| Condizione | γ | Ψ | Effetto |
|-----------------|----------|--------|-------------|
| Peso muro | 1.00 | -- | Sfavorevole |
| Peso terrapieno | 1.00 | -- | Sfavorevole |
| Spinta terreno | 1.00 | -- | Sfavorevole |

12.6 Risultati del calcolo delle forze

12.6.1 Spinta

Simbologia adottata

| | |
|------------------|--|
| n° | Indice della combinazione |
| Sp | Spinta statica, espressa in [kg] |
| P _{Sp} | Punto di applicazione della spinta statica, espressa in [m] |
| Sps | Incremento spinta sismica, espressa in [kg] |
| P _{Sps} | Punto di applicazione dell'incremento di spinta sismica, espressa in [m] |
| Sw | Spinta falda, espressa in [kg] |
| P _{Sw} | Punto di applicazione della spinta della falda, espressa in [m] |
| Ss | Sottospinta falda, espressa in [kg] |

| n° | Sp | P _{Sp} | Sps | P _{Sps} | Sw | P _{Sw} | Ss |
|----|-------|-----------------|------|------------------|------|-----------------|------|
| | [kg] | [m] | [kg] | [m] | [kg] | [m] | [kg] |
| 1 | 11097 | 2.30; -1.92 | 0 | 0.00; 0.00 | 0 | 0.00; 0.00 | 0 |
| 2 | 7113 | 2.30; -1.87 | 524 | 2.30; -1.55 | 0 | 0.00; 0.00 | 0 |
| 3 | 7113 | 2.30; -1.87 | 326 | 2.30; -1.55 | 0 | 0.00; 0.00 | 0 |
| 4 | 11097 | 2.30; -1.92 | 0 | 0.00; 0.00 | 0 | 0.00; 0.00 | 0 |
| 5 | 11097 | 2.30; -1.92 | 0 | 0.00; 0.00 | 0 | 0.00; 0.00 | 0 |
| 6 | 11097 | 2.30; -1.92 | 0 | 0.00; 0.00 | 0 | 0.00; 0.00 | 0 |
| 7 | 10918 | 2.30; -1.90 | 0 | 0.00; 0.00 | 0 | 0.00; 0.00 | 0 |
| 8 | 7113 | 2.30; -1.87 | 524 | 2.30; -1.55 | 0 | 0.00; 0.00 | 0 |
| 9 | 7113 | 2.30; -1.87 | 326 | 2.30; -1.55 | 0 | 0.00; 0.00 | 0 |
| 10 | 12180 | 2.30; -1.90 | 0 | 0.00; 0.00 | 0 | 0.00; 0.00 | 0 |
| 11 | 7113 | 2.30; -1.87 | 796 | 2.30; -1.55 | 0 | 0.00; 0.00 | 0 |
| 12 | 7113 | 2.30; -1.87 | 499 | 2.30; -1.55 | 0 | 0.00; 0.00 | 0 |
| 13 | 8481 | 2.30; -1.92 | 0 | 0.00; 0.00 | 0 | 0.00; 0.00 | 0 |
| 14 | 8123 | 2.30; -1.92 | 0 | 0.00; 0.00 | 0 | 0.00; 0.00 | 0 |
| 15 | 7113 | 2.30; -1.87 | 0 | 0.00; 0.00 | 0 | 0.00; 0.00 | 0 |
| 16 | 7113 | 2.30; -1.87 | 332 | 2.30; -1.55 | 0 | 0.00; 0.00 | 0 |
| 17 | 7113 | 2.30; -1.87 | 205 | 2.30; -1.55 | 0 | 0.00; 0.00 | 0 |

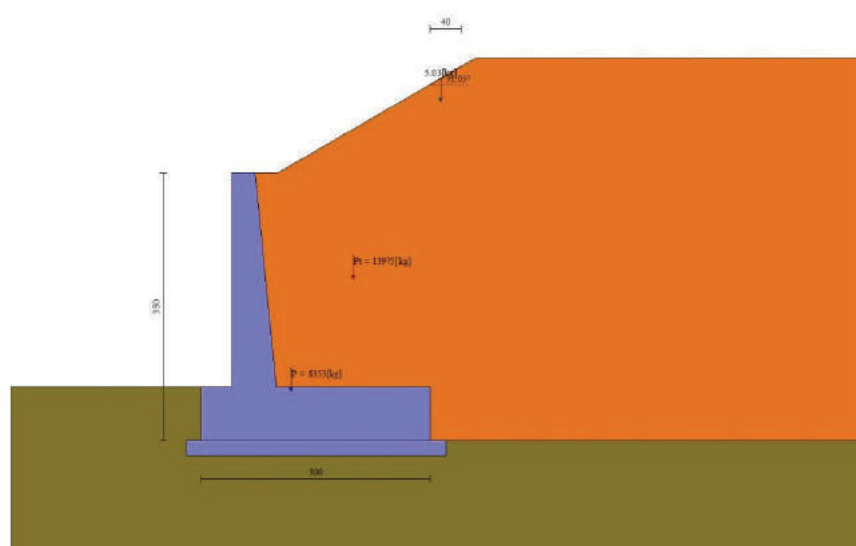


Figura 23 – Cuneo di spinta statico (Combinazione n° 1)

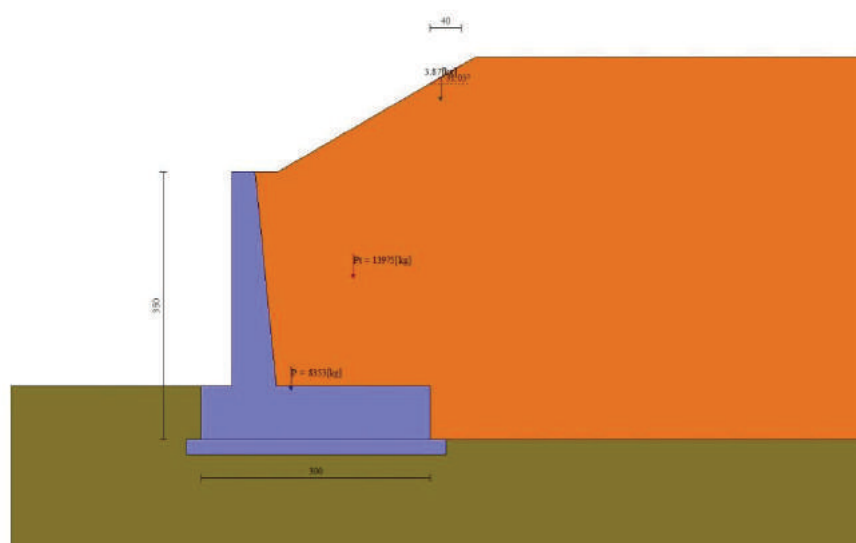


Figura 24 – Cuneo di spinta sismico (Combinazione n° 2)

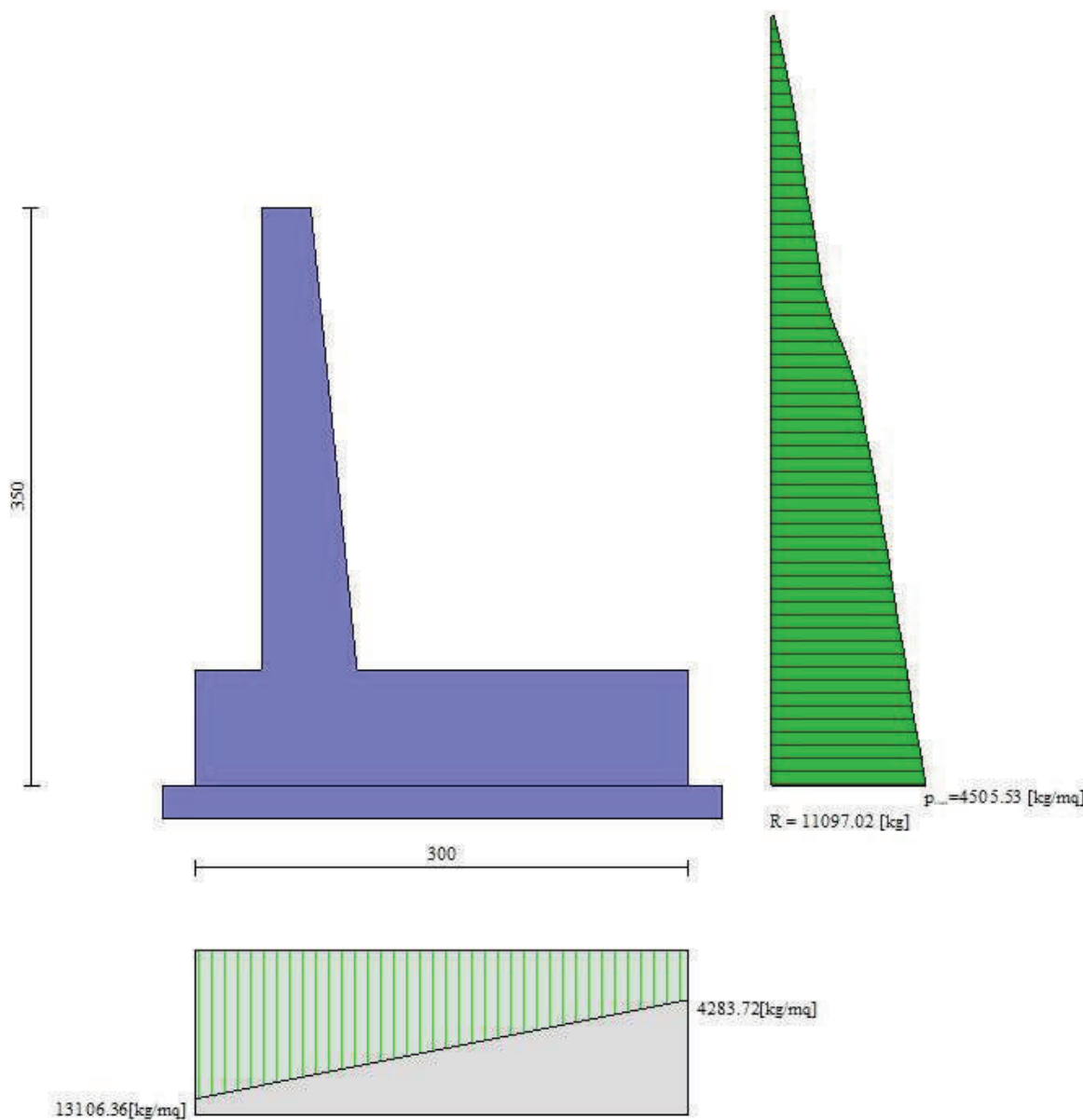
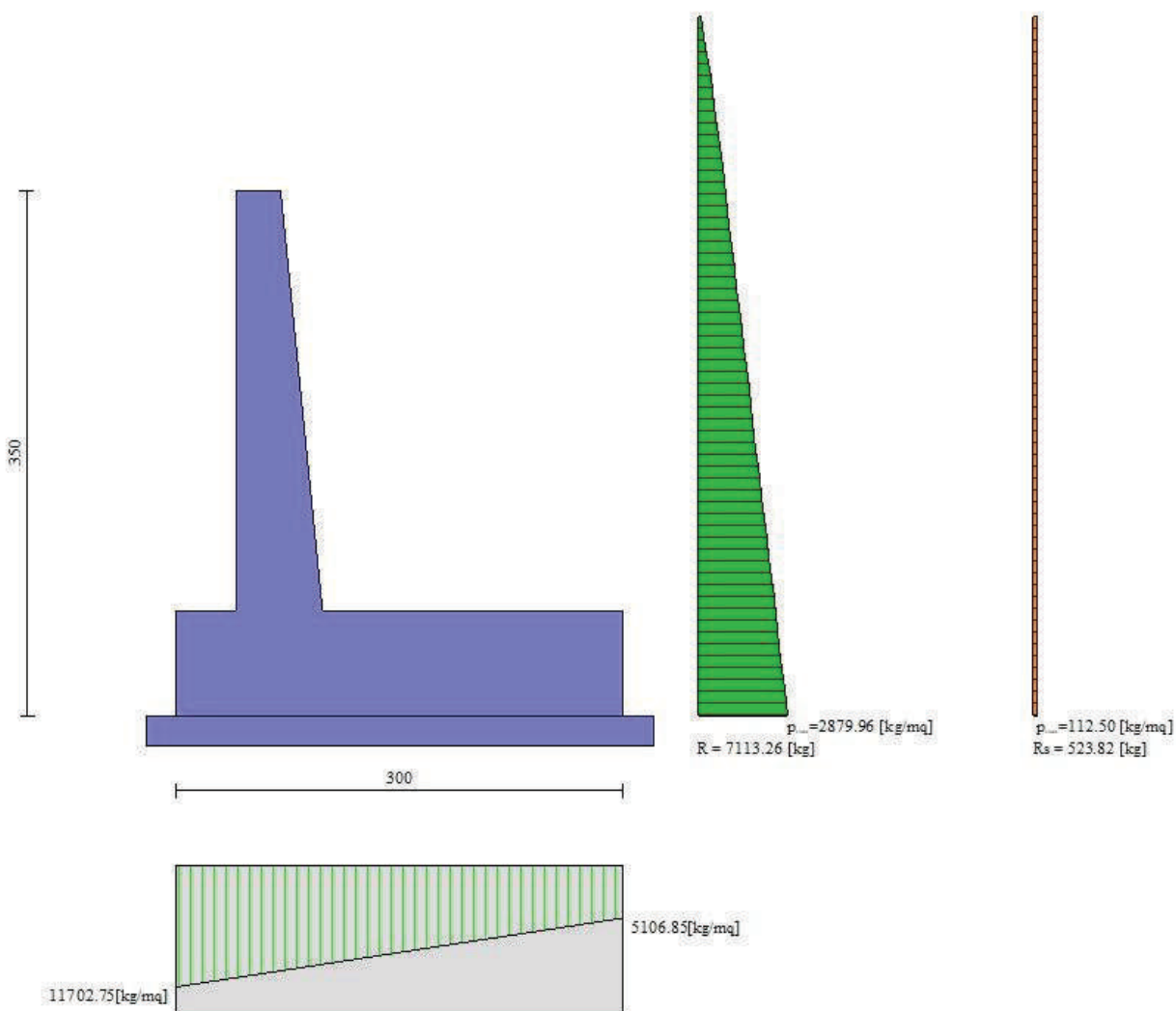


Figura 25 – Diagramma delle pressioni agenti sull'opera (combinazione statica) (Combinazione n° 1)



12.6.2 Forze

Simbologia adottata

| | |
|----------|--|
| n° | Indice della combinazione |
| Pm | Peso muro, espressa in [kg] |
| Imx, Imy | Inerzia orizzontale e verticale muro, espressa in [kg] |
| Gm | Baricentro muro, espressa in [m] |
| Pt | Peso terrapieno, espressa in [kg] |
| Itx, Ity | Inerzia orizzontale e verticale terrapieno, espressa in [kg] |
| Gt | Baricentro terrapieno, espressa in [m] |
| Fx | Sottospinta falda, espressa in [kg] |
| Fy | Sottospinta falda, espressa in [kg] |

| n° | Pm [kg] | Imx [kg] | Imy [kg] | Gm [m] | Pt [kg] | Itx [kg] | Ity [kg] | Gt [m] | Fy [kg] | Fx [kg] |
|----|------------|-------------|-------------|-------------|------------|-------------|-------------|-------------|------------|------------|
| 1 | 8353 | 0 | 0 | 0.48; -2.56 | 13975 | 0 | 0 | 1.29; -1.09 | 0 | 0 |
| 2 | 8353 | 233 | 116 | 0.48; -2.56 | 13975 | 390 | 195 | 1.29; -1.09 | 0 | 0 |
| 3 | 8353 | 233 | -116 | 0.48; -2.56 | 13975 | 390 | -195 | 1.29; -1.09 | 0 | 0 |
| 4 | 10859 | 0 | 0 | 0.48; -2.56 | 18167 | 0 | 0 | 1.29; -1.09 | 0 | 0 |
| 5 | 8353 | 0 | 0 | 0.48; -2.56 | 18167 | 0 | 0 | 1.29; -1.09 | 0 | 0 |
| 6 | 10859 | 0 | 0 | 0.48; -2.56 | 13975 | 0 | 0 | 1.29; -1.09 | 0 | 0 |
| 7 | 8353 | 0 | 0 | 0.48; -2.56 | 13975 | 0 | 0 | 1.29; -1.09 | 0 | 0 |
| 8 | 8353 | 233 | 116 | 0.48; -2.56 | 13975 | 390 | 195 | 1.29; -1.09 | 0 | 0 |
| 9 | 8353 | 233 | -116 | 0.48; -2.56 | 13975 | 390 | -195 | 1.29; -1.09 | 0 | 0 |
| 10 | 7518 | 0 | 0 | 0.48; -2.56 | 12577 | 0 | 0 | 1.29; -1.09 | 0 | 0 |
| 11 | 8353 | 349 | 175 | 0.48; -2.56 | 13975 | 585 | 292 | 1.29; -1.09 | 0 | 0 |
| 12 | 8353 | 349 | -175 | 0.48; -2.56 | 13975 | 585 | -292 | 1.29; -1.09 | 0 | 0 |
| 13 | 8353 | 0 | 0 | 0.48; -2.56 | 13975 | 0 | 0 | 1.29; -1.09 | 0 | 0 |
| 14 | 8353 | 0 | 0 | 0.48; -2.56 | 13975 | 0 | 0 | 1.29; -1.09 | 0 | 0 |
| 15 | 8353 | 0 | 0 | 0.48; -2.56 | 13975 | 0 | 0 | 1.29; -1.09 | 0 | 0 |
| 16 | 8353 | 149 | 74 | 0.48; -2.56 | 13975 | 249 | 125 | 1.29; -1.09 | 0 | 0 |
| 17 | 8353 | 149 | -74 | 0.48; -2.56 | 13975 | 249 | -125 | 1.29; -1.09 | 0 | 0 |

12.7 Verifiche geotecniche

12.7.1 Verifica a ribaltamento

La verifica a ribaltamento consiste nel determinare il momento risultante di tutte le forze che tendono a fare ribaltare il muro (momento ribaltante M_r) ed il momento risultante di tutte le forze che tendono a stabilizzare il muro (momento stabilizzante M_s) rispetto allo spigolo a valle della fondazione e verificare che il rapporto M_s/M_r sia maggiore di un determinato coefficiente di sicurezza. Deve quindi essere verificata la seguente diseguaglianza:

$$\frac{M_s}{M_r} \geq FS_{RIB}$$

Il momento ribaltante M_r è dato dalla componente orizzontale della spinta S , dalle forze di inerzia del muro e del terreno gravante sulla fondazione di monte (caso di presenza di sisma) per i rispettivi bracci. Nel momento stabilizzante interviene il peso del muro (applicato nel baricentro) ed il peso del terreno gravante sulla fondazione di monte. Per quanto riguarda invece la componente verticale della spinta essa sarà stabilizzante se l'angolo d'attrito terra-muro è positivo, ribaltante se è negativo.

Simbologia adottata

n° Indice combinazione

Ms Momento stabilizzante, espresso in [kgm]

Scatolare pk 148+140 - TS10 SU S15 - Relazione tecnica e di calcolo

103

RTI di progettazione:



Mandataria

Via G.B. Sammartini n°5
20125 - Milano
Tel. 02 6787911
email: mail@proiter.it



Mandante

Via Artemide n°3
92100 Agrigento
Tel. 0922 421007
email: deltaingegneria@pec.it

| | |
|----|--|
| Mr | Momento ribaltante, espresso in [kgm] |
| FS | Fattore di sicurezza (rapporto tra momento stabilizzante e momento ribaltante) |

| n° | Ms [kgm] | Mr [kgm] | FS |
|----|-------------|-------------|-------|
| 10 | 44098 | 18746 | 2.352 |
| 11 | 46546 | 14110 | 3.299 |
| 12 | 45454 | 14355 | 3.166 |

12.7.2 Verifica a scorrimento

Per la verifica a scorrimento del muro lungo il piano di fondazione deve risultare che la somma di tutte le forze parallele al piano di posa che tendono a fare scorrere il muro deve essere minore di tutte le forze, parallele al piano di scorrimento, che si oppongono allo scivolamento, secondo un certo coefficiente di sicurezza. La verifica a scorrimento risulta soddisfatta se il rapporto fra la risultante delle forze resistenti allo scivolamento F_r e la risultante delle forze che tendono a fare scorrere il muro F_s risulta maggiore di un determinato coefficiente di sicurezza:

$$\frac{F_r}{F_s} \geq FS_{SCOR}$$

Le forze che intervengono nella F_s sono: la componente della spinta parallela al piano di fondazione e la componente delle forze d'inerzia parallela al piano di fondazione.

La forza resistente è data dalla resistenza d'attrito e dalla resistenza per adesione lungo la base della fondazione. Detta N la componente normale al piano di fondazione del carico totale gravante in fondazione e indicando con δ_f l'angolo d'attrito terreno-fondazione, con c_a l'adesione terreno-fondazione e con B_r la larghezza della fondazione reagente, la forza resistente può esprimersi come

$$F_r = N \operatorname{tg} \delta_f + c_a B_r$$

La Normativa consente di computare, nelle forze resistenti, una aliquota dell'eventuale spinta dovuta al terreno posto a valle del muro. In tal caso, però, il coefficiente di sicurezza deve essere aumentato opportunamente. L'aliquota di spinta passiva che si può considerare ai fini della verifica a scorrimento non può comunque superare il 50 percento.

Per quanto riguarda l'angolo d'attrito terra-fondazione, δ_f , diversi autori suggeriscono di assumere un valore di δ_f pari all'angolo d'attrito del terreno di fondazione.

Simbologia adottata

| | |
|------------------------------------|---|
| n° | Indice combinazione |
| Rsa | Resistenza allo scorrimento per attrito, espresso in [kg] |
| Rpt | Resistenza passiva terreno antistante, espresso in [kg] |
| Scatolare pk 148+140 - TS10 SU S15 | - Relazione tecnica e di calcolo |

104

RTI di progettazione:



Mandataria

Via G.B. Sammartini n°5
20125 - Milano
Tel. 02 6787911
email: mail@proiter.it



Mandante

Via Artemide n°3
92100 Agrigento
Tel. 0922 421007
email: deltaingegneria@pec.it

| | |
|-----|---|
| Rps | Resistenza passiva sperone, espresso in [kg] |
| T | Carico parallelo al piano di posa, espresso in [kg] |
| Rt | Resistenza allo scorrimento (somma di Rsa+Rpt+Rps), espresso in [kg] |
| FS | Fattore di sicurezza (rapporto tra resistenza allo scorrimento e carico parallelo al piano di posa) |

| n° | Rsa [kg] | Rpt [kg] | Rps [kg] | Rt [kg] | T [kg] | FS |
|----|-------------|-------------|-------------|------------|-----------|-------|
| 1 | 13909 | 599 | 0 | 14508 | 10428 | 1.334 |
| 2 | 13465 | 599 | 0 | 14064 | 7799 | 1.726 |
| 3 | 13113 | 599 | 0 | 13712 | 7613 | 1.722 |
| 4 | 17322 | 599 | 0 | 17921 | 10428 | 1.661 |
| 5 | 16046 | 599 | 0 | 16644 | 10428 | 1.539 |
| 6 | 15186 | 599 | 0 | 15785 | 10428 | 1.456 |

12.7.3 Verifica al carico limite

Si rimanda a quanto riportato nel §4.3.

Simbologia adottata

| | |
|----|---|
| n° | Indice combinazione |
| N | Carico verticale totale, espresso in [kg] |
| Qu | carico limite del terreno, espresso in [kg] |
| Qd | Portanza di progetto, espresso in [kg] |
| FS | Fattore di sicurezza (rapporto tra portanza di progetto e carico agente al piano di posa) |

| n° | N [kg] | Qu [kg] | Qd [kg] | FS |
|----|-----------|------------|------------|-------|
| 1 | 26123 | 39717 | 39717 | 1.520 |
| 2 | 25251 | 58150 | 58150 | 2.303 |
| 3 | 24561 | 57977 | 57977 | 2.361 |
| 4 | 32822 | 58787 | 58787 | 1.791 |
| 5 | 30316 | 54784 | 54784 | 1.807 |
| 6 | 28629 | 44584 | 44584 | 1.557 |

Simbologia adottata

| | |
|------------|--|
| n° | Indice combinazione |
| Nc, Nq, Ny | Fattori di capacità portante |
| ic, iq, iy | Fattori di inclinazione del carico |
| dc, dq, dy | Fattori di profondità del piano di posa |
| gc, gq, gy | Fattori di inclinazione del profilo topografico |
| bc, bq, by | Fattori di inclinazione del piano di posa |
| sc, sq, sy | Fattori di forma della fondazione |
| pc, pq, py | Fattori di riduzione per punzonamento secondo Vesic |
| rγ | Fattori per tener conto dell'effetto piastra. Per fondazioni che hanno larghezza maggiore di 2 m, il terzo termine della formula trinomia $0.5B\gamma N$, viene moltiplicato per questo fattore |
| D | Affondamento del piano di posa, espresso in [m] |
| H | Altezza del cuneo di rottura, espresso in [m] |
| γ | Peso di volume del terreno medio, espresso in [kg/mc] |
| ϕ | Angolo di attrito del terreno medio, espresso in [°] |
| c | Coesione del terreno medio, espresso in [kg/cm²] |

Per i coeff. che in tabella sono indicati con il simbolo '--' sono coeff. non presenti nel metodo scelto (Vesic).

Progetto Esecutivo

| n° | Nc Nq Nγ | ic iq iγ | dc dq dγ | gc gq gγ | bc bq bγ | sc sq sγ | pc pq pγ | rγ | D | H | γ | ϕ | c |
|----|----------------------------|-------------------------|-------------------------|-------------------------|-------------------------|----------------|----------------|-------|------|------|-------------|-------|--------------|
| | | | | | | | | | [m] | [m] | [kg/m c] | [°] | [kg/c mq] |
| 1 | 23.942 13.199 14.470 | 0.381 0.428 0.257 | 1.093 1.071 1.000 | 0.000 0.000 0.000 | 0.000 0.000 0.000 | -- -- -- | -- -- -- | 0.956 | 0.70 | 2.45 | 1835 | 27.00 | 0.00 |
| 2 | 23.942 13.199 14.470 | 0.505 0.542 0.375 | 1.093 1.071 1.000 | 0.000 0.000 0.000 | 0.000 0.000 0.000 | -- -- -- | -- -- -- | 0.956 | 0.70 | 2.45 | 1835 | 27.00 | 0.00 |
| 3 | 23.942 13.199 14.470 | 0.503 0.541 0.373 | 1.093 1.071 1.000 | 0.000 0.000 0.000 | 0.000 0.000 0.000 | -- -- -- | -- -- -- | 0.956 | 0.70 | 2.45 | 1835 | 27.00 | 0.00 |
| 4 | 23.942 13.199 14.470 | 0.493 0.532 0.363 | 1.093 1.071 1.000 | 0.000 0.000 0.000 | 0.000 0.000 0.000 | -- -- -- | -- -- -- | 0.956 | 0.70 | 2.45 | 1835 | 27.00 | 0.00 |
| 5 | 23.942 13.199 14.470 | 0.458 0.499 0.327 | 1.093 1.071 1.000 | 0.000 0.000 0.000 | 0.000 0.000 0.000 | -- -- -- | -- -- -- | 0.956 | 0.70 | 2.45 | 1835 | 27.00 | 0.00 |
| 6 | 23.942 13.199 14.470 | 0.426 0.470 0.299 | 1.093 1.071 1.000 | 0.000 0.000 0.000 | 0.000 0.000 0.000 | -- -- -- | -- -- -- | 0.956 | 0.70 | 2.45 | 1835 | 27.00 | 0.00 |

RTI di progettazione:**Mandataria**

Via G.B. Sammartini n°5
20125 - Milano
Tel. 02 6787911
email: mail@proiter.it

**Mandante**

Via Artemide n°3
92100 Agrigento
Tel. 0922 421007
email: deltaingegneria@pec.it

12.7.4 Verifica alla stabilità globale

Viene usata la tecnica della suddivisione a strisce della superficie di scorrimento da analizzare. La superficie di scorrimento viene supposta circolare e determinata in modo tale da non avere intersezione con il profilo del muro o con i pali di fondazione. Si determina il minimo coefficiente di sicurezza su una maglia di centri di dimensioni 10x10 posta in prossimità della sommità del muro. Il numero di strisce è pari a 50.

Si adotta per la verifica di stabilità globale il metodo di Bishop.

Il coefficiente di sicurezza si esprime mediante la relazione:

$$\eta = \frac{\sum_{i=1}^n \left(\frac{b_i c_i + W_i \operatorname{tg}\phi_i}{m} \right)}{\sum_{i=1}^n W_i \sin\alpha_i}$$

con

$$m = \left(1 + \frac{\operatorname{tg}\alpha_i \operatorname{tg}\phi_i}{\eta} \right) \cos\alpha_i$$

dove n è il numero delle strisce considerate, b_i ed α_i sono la larghezza e l'inclinazione della base della striscia i -esima rispetto all'orizzontale, W_i è il peso della striscia i -esima e c_i e ϕ_i sono le caratteristiche del terreno (coesione ed angolo di attrito) lungo la base della striscia.

L'espressione del coefficiente di sicurezza di **Bishop** contiene al secondo membro il termine m che è funzione di η . Quindi essa va risolta per successive approssimazioni assumendo un valore iniziale per η da inserire nell'espressione di m ed iterare fino a quando il valore calcolato coincide con il valore assunto.

Simbologia adottata

| | |
|----|---|
| Ic | Indice combinazione |
| C | Centro superficie di scorrimento, espresso in [m] |
| R | Raggio, espresso in [m] |
| FS | Fattore di sicurezza |

| Ic | C [m] | R [m] | FS |
|----|-------------|----------|-------|
| 7 | -0.60; 3.40 | 7.50 | 1.127 |
| 8 | -0.80; 2.60 | 6.85 | 1.471 |
| 9 | -0.80; 2.60 | 6.85 | 1.469 |

Dettagli strisce verifiche stabilità

Simbologia adottata

Le ascisse X sono considerate positive verso monte

Le ordinate Y sono considerate positive verso l'alto

Origine in testa al muro (spigolo contro terra)

W peso della striscia espresso in [kg]

Qy carico sulla striscia espresso in [kg]

α angolo fra la base della striscia e l'orizzontale espresso in [°] (positivo antiorario)

ϕ angolo d'attrito del terreno lungo la base della striscia

c coesione del terreno lungo la base della striscia espressa in [kg/cmq]

b larghezza della striscia espressa in [m]

u pressione neutra lungo la base della striscia espressa in [kg/cmq]

Tx; Ty Resistenza al taglio fornita dai tiranti in direzione X ed Y espressa in [kg/cmq]

Combinazione n° 7 - GEO A2-M2-R2

| n° | W [kg] | Qy [kg] | b [m] | α [°] | ϕ [°] | c [kg/cmq]] | u [kg/cmq]] | Tx; Ty [kg] |
|----|-----------|------------|--------------|-----------------|---------------|--------------------|--------------------|----------------|
| 1 | 557 | 1078 | 6.66 - 0.46 | 69.833 | 24.791 | 0.00 | 0.000 | |
| 2 | 1491 | 1078 | 0.46 | 61.459 | 24.791 | 0.00 | 0.000 | |
| 3 | 2157 | 1078 | 0.46 | 54.735 | 24.791 | 0.00 | 0.000 | |
| 4 | 2682 | 1078 | 0.46 | 49.012 | 24.791 | 0.00 | 0.000 | |
| 5 | 3115 | 1078 | 0.46 | 43.894 | 24.791 | 0.00 | 0.000 | |
| 6 | 3479 | 147 | 0.46 | 39.188 | 24.791 | 0.00 | 0.000 | |
| 7 | 3788 | 0 | 0.46 | 34.781 | 24.791 | 0.00 | 0.000 | |
| 8 | 4051 | 0 | 0.46 | 30.600 | 24.791 | 0.00 | 0.000 | |
| 9 | 4196 | 0 | 0.46 | 26.594 | 24.791 | 0.00 | 0.000 | |
| 10 | 4045 | 0 | 0.46 | 22.723 | 22.177 | 0.00 | 0.000 | |
| 11 | 4244 | 0 | 0.46 | 18.961 | 22.177 | 0.00 | 0.000 | |
| 12 | 4127 | 0 | 0.46 | 15.281 | 22.177 | 0.00 | 0.000 | |
| 13 | 3984 | 0 | 0.46 | 11.665 | 22.177 | 0.00 | 0.000 | |
| 14 | 3828 | 0 | 0.46 | 8.097 | 22.177 | 0.00 | 0.000 | |
| 15 | 4362 | 0 | 0.46 | 4.559 | 22.177 | 0.00 | 0.000 | |
| 16 | 1479 | 0 | 0.46 | 1.039 | 22.177 | 0.00 | 0.000 | |
| 17 | 1120 | 0 | 0.46 | -2.477 | 22.177 | 0.00 | 0.000 | |
| 18 | 1089 | 0 | 0.46 | -6.003 | 22.177 | 0.00 | 0.000 | |
| 19 | 1036 | 0 | 0.46 | -9.551 | 22.177 | 0.00 | 0.000 | |
| 20 | 958 | 0 | 0.46 | -13.137 | 22.177 | 0.00 | 0.000 | |
| 21 | 854 | 0 | 0.46 | -16.777 | 22.177 | 0.00 | 0.000 | |
| 22 | 723 | 0 | 0.46 | -20.488 | 22.177 | 0.00 | 0.000 | |
| 23 | 560 | 0 | 0.46 | -24.291 | 22.177 | 0.00 | 0.000 | |
| 24 | 358 | 0 | 0.46 | -28.213 | 22.177 | 0.00 | 0.000 | |
| 25 | 119 | 0 | -4.83 - 0.46 | -31.202 | 22.177 | 0.00 | 0.000 | |

Progetto Esecutivo

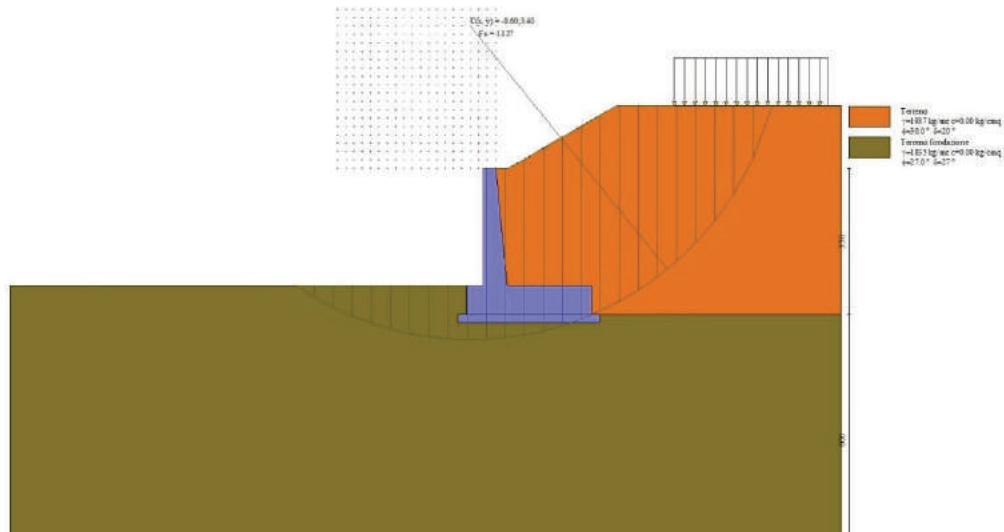


Figura 27 – Stabilità fronte di scavo - Cerchio critico (Combinazione n° 7)

Combinazione n° 8 - GEO A2-M2-R2

| n° | W [kg] | Qy [kg] | b [m] | α [°] | ϕ [°] | c [kg/cmq]] | u [kg/cmq]] | Tx; Ty [kg] |
|----|-----------|------------|--------------|-----------------|---------------|--------------------|--------------------|----------------|
| 1 | 648 | 0 | 5.97 - 0.44 | 73.840 | 30.000 | 0.00 | 0.000 | |
| 2 | 1672 | 0 | 0.44 | 63.415 | 30.000 | 0.00 | 0.000 | |
| 3 | 2326 | 0 | 0.44 | 56.005 | 30.000 | 0.00 | 0.000 | |
| 4 | 2827 | 0 | 0.44 | 49.856 | 30.000 | 0.00 | 0.000 | |
| 5 | 3234 | 0 | 0.44 | 44.422 | 30.000 | 0.00 | 0.000 | |
| 6 | 3573 | 0 | 0.44 | 39.460 | 30.000 | 0.00 | 0.000 | |
| 7 | 3858 | 0 | 0.44 | 34.833 | 30.000 | 0.00 | 0.000 | |
| 8 | 3987 | 0 | 0.44 | 30.454 | 30.000 | 0.00 | 0.000 | |
| 9 | 3901 | 0 | 0.44 | 26.266 | 27.000 | 0.00 | 0.000 | |
| 10 | 4089 | 0 | 0.44 | 22.225 | 27.000 | 0.00 | 0.000 | |
| 11 | 4003 | 0 | 0.44 | 18.297 | 27.000 | 0.00 | 0.000 | |
| 12 | 3891 | 0 | 0.44 | 14.457 | 27.000 | 0.00 | 0.000 | |
| 13 | 3759 | 0 | 0.44 | 10.683 | 27.000 | 0.00 | 0.000 | |
| 14 | 4247 | 0 | 0.44 | 6.956 | 27.000 | 0.00 | 0.000 | |
| 15 | 1789 | 0 | 0.44 | 3.257 | 27.000 | 0.00 | 0.000 | |
| 16 | 1231 | 0 | 0.44 | -0.427 | 27.000 | 0.00 | 0.000 | |
| 17 | 1190 | 0 | 0.44 | -4.114 | 27.000 | 0.00 | 0.000 | |
| 18 | 1153 | 0 | 0.44 | -7.817 | 27.000 | 0.00 | 0.000 | |
| 19 | 1092 | 0 | 0.44 | -11.554 | 27.000 | 0.00 | 0.000 | |
| 20 | 1007 | 0 | 0.44 | -15.342 | 27.000 | 0.00 | 0.000 | |
| 21 | 896 | 0 | 0.44 | -19.200 | 27.000 | 0.00 | 0.000 | |
| 22 | 758 | 0 | 0.44 | -23.151 | 27.000 | 0.00 | 0.000 | |
| 23 | 589 | 0 | 0.44 | -27.223 | 27.000 | 0.00 | 0.000 | |
| 24 | 378 | 0 | 0.44 | -31.451 | 27.000 | 0.00 | 0.000 | |
| 25 | 127 | 0 | -5.03 - 0.44 | -35.027 | 27.000 | 0.00 | 0.000 | |

RTI di progettazione:



Mandataria

Via G.B. Sammartini n°5
20125 - Milano
Tel. 02 6787911
email: mail@proiter.it



Mandante

Via Artemide n°3
92100 Agrigento
Tel. 0922 421007
email: deltaingegegnaria@pec.it

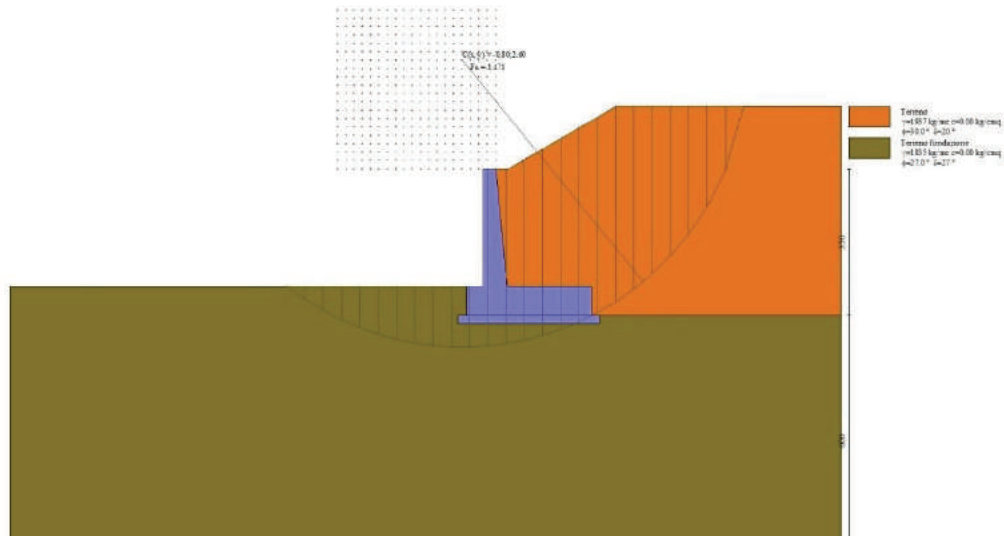


Figura 28 – Stabilità fronte di scavo - Cerchio critico (Combinazione n° 8)

Combinazione n° 9 - GEO A2-M2-R2

| n° | W [kg] | Qy [kg] | b [m] | α [°] | ϕ [°] | c [kg/cmq] J | u [kg/cmq] J | Tx; Ty [kg] |
|----|-----------|------------|--------------|----------|----------|--------------------|--------------------|----------------|
| 1 | 648 | 0 | 5.97 - 0.44 | 73.840 | 30.000 | 0.00 | 0.000 | |
| 2 | 1672 | 0 | 0.44 | 63.415 | 30.000 | 0.00 | 0.000 | |
| 3 | 2326 | 0 | 0.44 | 56.005 | 30.000 | 0.00 | 0.000 | |
| 4 | 2827 | 0 | 0.44 | 49.856 | 30.000 | 0.00 | 0.000 | |
| 5 | 3234 | 0 | 0.44 | 44.422 | 30.000 | 0.00 | 0.000 | |
| 6 | 3573 | 0 | 0.44 | 39.460 | 30.000 | 0.00 | 0.000 | |
| 7 | 3858 | 0 | 0.44 | 34.833 | 30.000 | 0.00 | 0.000 | |
| 8 | 3987 | 0 | 0.44 | 30.454 | 30.000 | 0.00 | 0.000 | |
| 9 | 3901 | 0 | 0.44 | 26.266 | 27.000 | 0.00 | 0.000 | |
| 10 | 4089 | 0 | 0.44 | 22.225 | 27.000 | 0.00 | 0.000 | |
| 11 | 4003 | 0 | 0.44 | 18.297 | 27.000 | 0.00 | 0.000 | |
| 12 | 3891 | 0 | 0.44 | 14.457 | 27.000 | 0.00 | 0.000 | |
| 13 | 3759 | 0 | 0.44 | 10.683 | 27.000 | 0.00 | 0.000 | |
| 14 | 4247 | 0 | 0.44 | 6.956 | 27.000 | 0.00 | 0.000 | |
| 15 | 1789 | 0 | 0.44 | 3.257 | 27.000 | 0.00 | 0.000 | |
| 16 | 1231 | 0 | 0.44 | -0.427 | 27.000 | 0.00 | 0.000 | |
| 17 | 1190 | 0 | 0.44 | -4.114 | 27.000 | 0.00 | 0.000 | |
| 18 | 1153 | 0 | 0.44 | -7.817 | 27.000 | 0.00 | 0.000 | |
| 19 | 1092 | 0 | 0.44 | -11.554 | 27.000 | 0.00 | 0.000 | |
| 20 | 1007 | 0 | 0.44 | -15.342 | 27.000 | 0.00 | 0.000 | |
| 21 | 896 | 0 | 0.44 | -19.200 | 27.000 | 0.00 | 0.000 | |
| 22 | 758 | 0 | 0.44 | -23.151 | 27.000 | 0.00 | 0.000 | |
| 23 | 589 | 0 | 0.44 | -27.223 | 27.000 | 0.00 | 0.000 | |
| 24 | 378 | 0 | 0.44 | -31.451 | 27.000 | 0.00 | 0.000 | |
| 25 | 127 | 0 | -5.03 - 0.44 | -35.027 | 27.000 | 0.00 | 0.000 | |

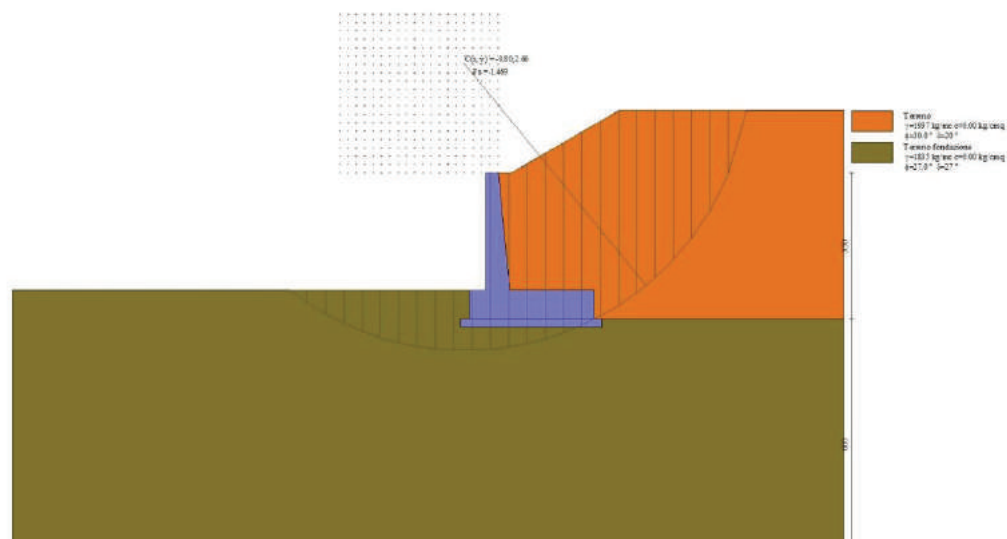
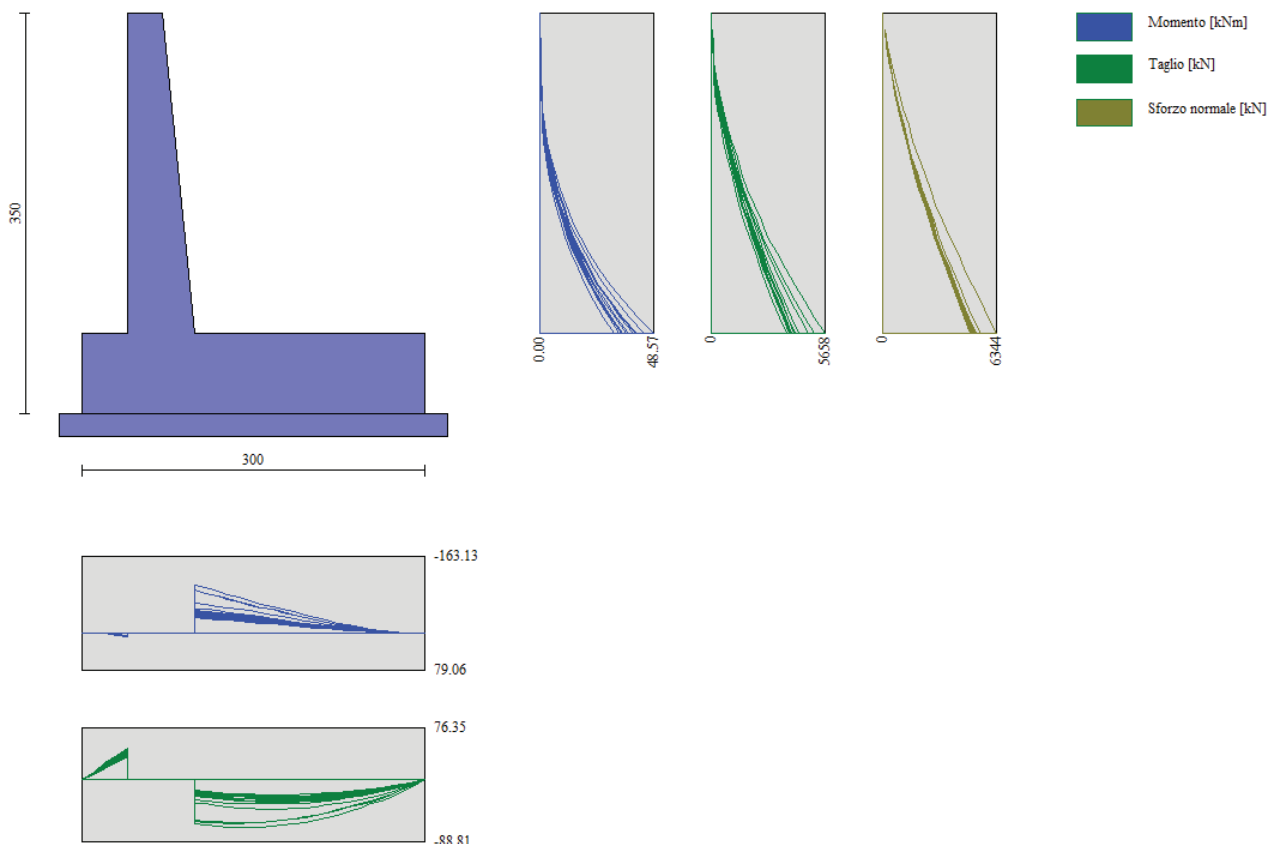


Figura 29 – Stabilità fronte di scavo - Cerchio critico (Combinazione n° 9)

12.8 Verifiche strutturali

12.8.1 Inviluppo delle sollecitazioni



12.8.2 Armature

Il muro sarà armato come segue:

- Fondazione:

- spessore 70 cm
- armatura superiore Φ16/20cm
- armatura inferiore Φ16/20cm
- armatura a taglio non necessaria
- armatura longitudinale Φ12/20cm

- Paramento:

- spessore in testa 30 cm
- spessore al piede 58 cm
- armatura interna Φ16/20cm
- armatura esterna Φ12/20cm
- armatura a taglio non necessaria
- armatura longitudinale Φ12/20cm

12.8.3 Verifiche a flessione

Elementi calcolati a trave

Simbologia adottata

| | |
|-----|---|
| n° | indice sezione |
| Y | ordinata sezione espressa in [m] |
| B | larghezza sezione espresso in [cm] |
| H | altezza sezione espressa in [cm] |
| Afi | area ferri inferiori espresso in [cmq] |
| Afs | area ferri superiori espresso in [cmq] |
| M | momento agente espresso in [kgm] |
| N | sforzo normale agente espresso in [kg] |
| Mu | momento ultimo espresso in [kgm] |
| Nu | sforzo normale ultimo espresso in [kg] |
| FS | fattore di sicurezza (rapporto tra sollecitazione ultima e sollecitazione agente) |

Paramento

Combinazione n° 1 - STR A1-M1-R3

| n° | Y | B | H | Afi | Afs | M | N | Mu | Nu | FS |
|----|-------|------|------|-------|-------|-------|------|-------|--------|----------|
| | [m] | [cm] | [cm] | [cmq] | [cmq] | [kgm] | [kg] | [kgm] | [kg] | |
| 1 | 0.00 | 100 | 30 | 10.05 | 5.65 | 0 | 0 | 0 | 0 | 1000.000 |
| 2 | -0.14 | 100 | 31 | 10.05 | 5.65 | 0 | 111 | 0 | 0 | 1000.000 |
| 3 | -0.28 | 100 | 33 | 10.05 | 5.65 | 2 | 236 | 0 | 0 | 1000.000 |
| 4 | -0.42 | 100 | 34 | 10.05 | 5.65 | 7 | 378 | 0 | 0 | 1000.000 |
| 5 | -0.56 | 100 | 36 | 10.05 | 5.65 | 20 | 540 | 13157 | 360309 | 667.354 |
| 6 | -0.70 | 100 | 37 | 10.05 | 5.65 | 43 | 724 | 19371 | 322940 | 446.274 |
| 7 | -0.84 | 100 | 39 | 10.05 | 5.65 | 83 | 927 | 25129 | 281019 | 303.246 |
| 8 | -0.98 | 100 | 40 | 10.05 | 5.65 | 142 | 1148 | 29964 | 242093 | 210.916 |
| 9 | -1.12 | 100 | 41 | 10.05 | 5.65 | 225 | 1386 | 33949 | 209535 | 151.161 |
| 10 | -1.26 | 100 | 43 | 10.05 | 5.65 | 334 | 1641 | 35083 | 172477 | 105.103 |
| 11 | -1.40 | 100 | 44 | 10.05 | 5.65 | 473 | 1912 | 34680 | 140206 | 73.339 |
| 12 | -1.54 | 100 | 46 | 10.05 | 5.65 | 645 | 2198 | 33687 | 114827 | 52.244 |
| 13 | -1.68 | 100 | 47 | 10.05 | 5.65 | 852 | 2499 | 32531 | 95367 | 38.161 |
| 14 | -1.82 | 100 | 48 | 10.05 | 5.65 | 1099 | 2815 | 31545 | 80823 | 28.713 |
| 15 | -1.96 | 100 | 50 | 10.05 | 5.65 | 1386 | 3145 | 30747 | 69773 | 22.185 |
| 16 | -2.10 | 100 | 51 | 10.05 | 11.31 | 1717 | 3489 | 30269 | 61512 | 17.629 |
| 17 | -2.24 | 100 | 53 | 10.05 | 11.31 | 2094 | 3847 | 29876 | 54886 | 14.266 |
| 18 | -2.38 | 100 | 54 | 10.05 | 5.65 | 2520 | 4219 | 29558 | 49485 | 11.729 |
| 19 | -2.52 | 100 | 56 | 10.05 | 5.65 | 2997 | 4604 | 29575 | 45434 | 9.867 |
| 20 | -2.66 | 100 | 57 | 10.05 | 5.65 | 3528 | 5003 | 29715 | 42145 | 8.424 |
| 21 | -2.80 | 100 | 58 | 10.05 | 5.65 | 4114 | 5415 | 29950 | 39425 | 7.280 |

Combinazione n° 2 - STR A1-M1-R3

| n° | Y | B | H | Afi | Afs | M | N | Mu | Nu | FS |
|----|-------|------|------|-------|-------|-------|------|-------|--------|----------|
| | [m] | [cm] | [cm] | [cmq] | [cmq] | [kgm] | [kg] | [kgm] | [kg] | |
| 1 | 0.00 | 100 | 30 | 10.05 | 5.65 | 0 | 0 | 0 | 0 | 1000.000 |
| 2 | -0.14 | 100 | 31 | 10.05 | 5.65 | 0 | 118 | 0 | 0 | 1000.000 |
| 3 | -0.28 | 100 | 33 | 10.05 | 5.65 | 5 | 248 | 0 | 0 | 1000.000 |
| 4 | -0.42 | 100 | 34 | 10.05 | 5.65 | 15 | 393 | 12850 | 340918 | 868.103 |
| 5 | -0.56 | 100 | 36 | 10.05 | 5.65 | 33 | 554 | 18373 | 306700 | 553.570 |
| 6 | -0.70 | 100 | 37 | 10.05 | 5.65 | 63 | 733 | 23379 | 271149 | 369.955 |
| 7 | -0.84 | 100 | 39 | 10.05 | 5.65 | 108 | 928 | 27747 | 237723 | 256.214 |
| 8 | -0.98 | 100 | 40 | 10.05 | 5.65 | 172 | 1138 | 31526 | 209059 | 183.744 |
| 9 | -1.12 | 100 | 41 | 10.05 | 5.65 | 256 | 1362 | 33591 | 178856 | 131.307 |
| 10 | -1.26 | 100 | 43 | 10.05 | 5.65 | 364 | 1600 | 33668 | 148168 | 92.587 |
| 11 | -1.40 | 100 | 44 | 10.05 | 5.65 | 498 | 1852 | 33106 | 123229 | 66.544 |
| 12 | -1.54 | 100 | 46 | 10.05 | 5.65 | 660 | 2116 | 32338 | 103736 | 49.015 |
| 13 | -1.68 | 100 | 47 | 10.05 | 5.65 | 853 | 2394 | 31688 | 88962 | 37.165 |
| 14 | -1.82 | 100 | 48 | 10.05 | 5.65 | 1078 | 2683 | 30876 | 76839 | 28.635 |
| 15 | -1.96 | 100 | 50 | 10.05 | 5.65 | 1339 | 2985 | 30409 | 67808 | 22.715 |
| 16 | -2.10 | 100 | 51 | 10.05 | 11.31 | 1636 | 3299 | 30108 | 60712 | 18.403 |
| 17 | -2.24 | 100 | 53 | 10.05 | 11.31 | 1972 | 3625 | 29884 | 54924 | 15.153 |
| 18 | -2.38 | 100 | 54 | 10.05 | 5.65 | 2349 | 3962 | 29679 | 50059 | 12.635 |

| n° | Y | B | H | Afi | Afs | M | N | Mu | Nu | FS |
|----|-------|------|------|-------|-------|-------|------|-------|-------|--------|
| | [m] | [cm] | [cm] | [cmq] | [cmq] | [kgm] | [kg] | [kgm] | [kg] | |
| 19 | -2.52 | 100 | 56 | 10.05 | 5.65 | 2768 | 4311 | 29777 | 46367 | 10.756 |
| 20 | -2.66 | 100 | 57 | 10.05 | 5.65 | 3232 | 4671 | 29977 | 43322 | 9.274 |
| 21 | -2.80 | 100 | 58 | 10.05 | 5.65 | 3742 | 5043 | 30257 | 40774 | 8.085 |

Combinazione n° 3 - STR A1-M1-R3

| n° | Y | B | H | Afi | Afs | M | N | Mu | Nu | FS |
|----|-------|------|------|-------|-------|-------|------|-------|--------|----------|
| | [m] | [cm] | [cm] | [cmq] | [cmq] | [kgm] | [kg] | [kgm] | [kg] | |
| 1 | 0.00 | 100 | 30 | 10.05 | 5.65 | 0 | 0 | 0 | 0 | 1000.000 |
| 2 | -0.14 | 100 | 31 | 10.05 | 5.65 | 0 | 116 | 0 | 0 | 1000.000 |
| 3 | -0.28 | 100 | 33 | 10.05 | 5.65 | 4 | 243 | 0 | 0 | 1000.000 |
| 4 | -0.42 | 100 | 34 | 10.05 | 5.65 | 13 | 385 | 11704 | 351315 | 911.952 |
| 5 | -0.56 | 100 | 36 | 10.05 | 5.65 | 29 | 544 | 17190 | 320378 | 588.860 |
| 6 | -0.70 | 100 | 37 | 10.05 | 5.65 | 56 | 720 | 22391 | 285613 | 396.434 |
| 7 | -0.84 | 100 | 39 | 10.05 | 5.65 | 98 | 913 | 27016 | 251190 | 275.166 |
| 8 | -0.98 | 100 | 40 | 10.05 | 5.65 | 157 | 1120 | 31018 | 220819 | 197.105 |
| 9 | -1.12 | 100 | 41 | 10.05 | 5.65 | 237 | 1342 | 33929 | 192277 | 143.259 |
| 10 | -1.26 | 100 | 43 | 10.05 | 5.65 | 339 | 1578 | 34489 | 160437 | 101.680 |
| 11 | -1.40 | 100 | 44 | 10.05 | 5.65 | 467 | 1827 | 34137 | 133574 | 73.114 |
| 12 | -1.54 | 100 | 46 | 10.05 | 5.65 | 622 | 2089 | 33414 | 112164 | 53.693 |
| 13 | -1.68 | 100 | 47 | 10.05 | 5.65 | 808 | 2364 | 32497 | 95109 | 40.236 |
| 14 | -1.82 | 100 | 48 | 10.05 | 5.65 | 1025 | 2651 | 31768 | 82155 | 30.991 |
| 15 | -1.96 | 100 | 50 | 10.05 | 5.65 | 1277 | 2950 | 31114 | 71903 | 24.372 |
| 16 | -2.10 | 100 | 51 | 10.05 | 11.31 | 1564 | 3262 | 30818 | 64252 | 19.699 |
| 17 | -2.24 | 100 | 53 | 10.05 | 11.31 | 1890 | 3585 | 30477 | 57799 | 16.123 |
| 18 | -2.38 | 100 | 54 | 10.05 | 5.65 | 2256 | 3920 | 30179 | 52430 | 13.376 |
| 19 | -2.52 | 100 | 56 | 10.05 | 5.65 | 2664 | 4266 | 30213 | 48384 | 11.342 |
| 20 | -2.66 | 100 | 57 | 10.05 | 5.65 | 3115 | 4624 | 30365 | 45067 | 9.747 |
| 21 | -2.80 | 100 | 58 | 10.05 | 5.65 | 3612 | 4993 | 30607 | 42305 | 8.473 |

Combinazione n° 4 - STR A1-M1-R3

| n° | Y | B | H | Afi | Afs | M | N | Mu | Nu | FS |
|----|-------|------|------|-------|-------|-------|------|-------|--------|----------|
| | [m] | [cm] | [cm] | [cmq] | [cmq] | [kgm] | [kg] | [kgm] | [kg] | |
| 1 | 0.00 | 100 | 30 | 10.05 | 5.65 | 0 | 0 | 0 | 0 | 1000.000 |
| 2 | -0.14 | 100 | 31 | 10.05 | 5.65 | 0 | 143 | 0 | 0 | 1000.000 |
| 3 | -0.28 | 100 | 33 | 10.05 | 5.65 | 2 | 302 | 0 | 0 | 1000.000 |
| 4 | -0.42 | 100 | 34 | 10.05 | 5.65 | 8 | 479 | 0 | 0 | 1000.000 |
| 5 | -0.56 | 100 | 36 | 10.05 | 5.65 | 22 | 678 | 11850 | 371523 | 548.088 |
| 6 | -0.70 | 100 | 37 | 10.05 | 5.65 | 46 | 900 | 17634 | 341759 | 379.817 |
| 7 | -0.84 | 100 | 39 | 10.05 | 5.65 | 87 | 1143 | 23326 | 305358 | 267.253 |
| 8 | -0.98 | 100 | 40 | 10.05 | 5.65 | 148 | 1405 | 28404 | 269335 | 191.711 |
| 9 | -1.12 | 100 | 41 | 10.05 | 5.65 | 233 | 1686 | 32745 | 237282 | 140.741 |
| 10 | -1.26 | 100 | 43 | 10.05 | 5.65 | 344 | 1985 | 36314 | 209446 | 105.514 |
| 11 | -1.40 | 100 | 44 | 10.05 | 5.65 | 486 | 2301 | 37034 | 175430 | 76.227 |
| 12 | -1.54 | 100 | 46 | 10.05 | 5.65 | 661 | 2635 | 36811 | 146795 | 55.715 |
| 13 | -1.68 | 100 | 47 | 10.05 | 5.65 | 872 | 2985 | 36026 | 123355 | 41.331 |
| 14 | -1.82 | 100 | 48 | 10.05 | 5.65 | 1121 | 3351 | 35079 | 104805 | 31.280 |

| n° | Y | B | H | Afi | Afs | M | N | Mu | Nu | FS |
|----|-------|------|------|-------|-------|-------|------|-------|-------|--------|
| | [m] | [cm] | [cm] | [cmq] | [cmq] | [kgm] | [kg] | [kgm] | [kg] | |
| 15 | -1.96 | 100 | 50 | 10.05 | 5.65 | 1413 | 3732 | 34369 | 90799 | 24.328 |
| 16 | -2.10 | 100 | 51 | 10.05 | 11.31 | 1748 | 4130 | 34072 | 80490 | 19.490 |
| 17 | -2.24 | 100 | 53 | 10.05 | 11.31 | 2130 | 4543 | 33130 | 70649 | 15.553 |
| 18 | -2.38 | 100 | 54 | 10.05 | 5.65 | 2561 | 4970 | 32366 | 62810 | 12.637 |
| 19 | -2.52 | 100 | 56 | 10.05 | 5.65 | 3044 | 5413 | 32097 | 57084 | 10.545 |
| 20 | -2.66 | 100 | 57 | 10.05 | 5.65 | 3580 | 5871 | 32019 | 52509 | 8.943 |
| 21 | -2.80 | 100 | 58 | 10.05 | 5.65 | 4173 | 6344 | 32083 | 48777 | 7.689 |

Combinazione n° 5 - STR A1-M1-R3

| n° | Y | B | H | Afi | Afs | M | N | Mu | Nu | FS |
|----|-------|------|------|-------|-------|-------|------|-------|--------|----------|
| | [m] | [cm] | [cm] | [cmq] | [cmq] | [kgm] | [kg] | [kgm] | [kg] | |
| 1 | 0.00 | 100 | 30 | 10.05 | 5.65 | 0 | 0 | 0 | 0 | 1000.000 |
| 2 | -0.14 | 100 | 31 | 10.05 | 5.65 | 0 | 111 | 0 | 0 | 1000.000 |
| 3 | -0.28 | 100 | 33 | 10.05 | 5.65 | 2 | 236 | 0 | 0 | 1000.000 |
| 4 | -0.42 | 100 | 34 | 10.05 | 5.65 | 7 | 378 | 0 | 0 | 1000.000 |
| 5 | -0.56 | 100 | 36 | 10.05 | 5.65 | 20 | 540 | 13157 | 360309 | 667.354 |
| 6 | -0.70 | 100 | 37 | 10.05 | 5.65 | 43 | 724 | 19371 | 322940 | 446.274 |
| 7 | -0.84 | 100 | 39 | 10.05 | 5.65 | 83 | 927 | 25129 | 281019 | 303.246 |
| 8 | -0.98 | 100 | 40 | 10.05 | 5.65 | 142 | 1148 | 29964 | 242093 | 210.916 |
| 9 | -1.12 | 100 | 41 | 10.05 | 5.65 | 225 | 1386 | 33949 | 209535 | 151.161 |
| 10 | -1.26 | 100 | 43 | 10.05 | 5.65 | 334 | 1641 | 35083 | 172477 | 105.103 |
| 11 | -1.40 | 100 | 44 | 10.05 | 5.65 | 473 | 1912 | 34680 | 140206 | 73.339 |
| 12 | -1.54 | 100 | 46 | 10.05 | 5.65 | 645 | 2198 | 33687 | 114827 | 52.244 |
| 13 | -1.68 | 100 | 47 | 10.05 | 5.65 | 852 | 2499 | 32531 | 95367 | 38.161 |
| 14 | -1.82 | 100 | 48 | 10.05 | 5.65 | 1099 | 2815 | 31545 | 80823 | 28.713 |
| 15 | -1.96 | 100 | 50 | 10.05 | 5.65 | 1386 | 3145 | 30747 | 69773 | 22.185 |
| 16 | -2.10 | 100 | 51 | 10.05 | 11.31 | 1717 | 3489 | 30269 | 61512 | 17.629 |
| 17 | -2.24 | 100 | 53 | 10.05 | 11.31 | 2094 | 3847 | 29876 | 54886 | 14.266 |
| 18 | -2.38 | 100 | 54 | 10.05 | 5.65 | 2520 | 4219 | 29558 | 49485 | 11.729 |
| 19 | -2.52 | 100 | 56 | 10.05 | 5.65 | 2997 | 4604 | 29575 | 45434 | 9.867 |
| 20 | -2.66 | 100 | 57 | 10.05 | 5.65 | 3528 | 5003 | 29715 | 42145 | 8.424 |
| 21 | -2.80 | 100 | 58 | 10.05 | 5.65 | 4114 | 5415 | 29950 | 39425 | 7.280 |

Combinazione n° 6 - STR A1-M1-R3

| n° | Y | B | H | Afi | Afs | M | N | Mu | Nu | FS |
|----|-------|------|------|-------|-------|-------|------|-------|--------|----------|
| | [m] | [cm] | [cm] | [cmq] | [cmq] | [kgm] | [kg] | [kgm] | [kg] | |
| 1 | 0.00 | 100 | 30 | 10.05 | 5.65 | 0 | 0 | 0 | 0 | 1000.000 |
| 2 | -0.14 | 100 | 31 | 10.05 | 5.65 | 0 | 143 | 0 | 0 | 1000.000 |
| 3 | -0.28 | 100 | 33 | 10.05 | 5.65 | 2 | 302 | 0 | 0 | 1000.000 |
| 4 | -0.42 | 100 | 34 | 10.05 | 5.65 | 8 | 479 | 0 | 0 | 1000.000 |
| 5 | -0.56 | 100 | 36 | 10.05 | 5.65 | 22 | 678 | 11850 | 371523 | 548.088 |
| 6 | -0.70 | 100 | 37 | 10.05 | 5.65 | 46 | 900 | 17634 | 341759 | 379.817 |
| 7 | -0.84 | 100 | 39 | 10.05 | 5.65 | 87 | 1143 | 23326 | 305358 | 267.253 |
| 8 | -0.98 | 100 | 40 | 10.05 | 5.65 | 148 | 1405 | 28404 | 269335 | 191.711 |
| 9 | -1.12 | 100 | 41 | 10.05 | 5.65 | 233 | 1686 | 32745 | 237282 | 140.741 |
| 10 | -1.26 | 100 | 43 | 10.05 | 5.65 | 344 | 1985 | 36314 | 209446 | 105.514 |

| n° | Y | B | H | Afi | Afs | M | N | Mu | Nu | FS |
|----|-------|------|------|-------|-------|-------|------|-------|--------|--------|
| | [m] | [cm] | [cm] | [cmq] | [cmq] | [kgm] | [kg] | [kgm] | [kg] | |
| 11 | -1.40 | 100 | 44 | 10.05 | 5.65 | 486 | 2301 | 37034 | 175430 | 76.227 |
| 12 | -1.54 | 100 | 46 | 10.05 | 5.65 | 661 | 2635 | 36811 | 146795 | 55.715 |
| 13 | -1.68 | 100 | 47 | 10.05 | 5.65 | 872 | 2985 | 36026 | 123355 | 41.331 |
| 14 | -1.82 | 100 | 48 | 10.05 | 5.65 | 1121 | 3351 | 35079 | 104805 | 31.280 |
| 15 | -1.96 | 100 | 50 | 10.05 | 5.65 | 1413 | 3732 | 34369 | 90799 | 24.328 |
| 16 | -2.10 | 100 | 51 | 10.05 | 11.31 | 1748 | 4130 | 34072 | 80490 | 19.490 |
| 17 | -2.24 | 100 | 53 | 10.05 | 11.31 | 2130 | 4543 | 33130 | 70649 | 15.553 |
| 18 | -2.38 | 100 | 54 | 10.05 | 5.65 | 2561 | 4970 | 32366 | 62810 | 12.637 |
| 19 | -2.52 | 100 | 56 | 10.05 | 5.65 | 3044 | 5413 | 32097 | 57084 | 10.545 |
| 20 | -2.66 | 100 | 57 | 10.05 | 5.65 | 3580 | 5871 | 32019 | 52509 | 8.943 |
| 21 | -2.80 | 100 | 58 | 10.05 | 5.65 | 4173 | 6344 | 32083 | 48777 | 7.689 |

Fondazione

Combinazione n° 1 - STR A1-M1-R3

| n° | Y | B | H | Afi | Afs | M | N | Mu | Nu | FS |
|----|-------|------|------|-------|-------|-------|------|--------|------|----------|
| | [m] | [cm] | [cm] | [cmq] | [cmq] | [kgm] | [kg] | [kgm] | [kg] | |
| 1 | -0.70 | 100 | 70 | 10.05 | 10.05 | 0 | 0 | 0 | 0 | 1000.000 |
| 2 | -0.60 | 100 | 70 | 10.05 | 10.05 | 56 | 0 | 25007 | 0 | 444.227 |
| 3 | -0.50 | 100 | 70 | 10.05 | 10.05 | 223 | 0 | 25007 | 0 | 112.031 |
| 4 | -0.40 | 100 | 70 | 10.05 | 10.05 | 498 | 0 | 25007 | 0 | 50.232 |
| 5 | -0.30 | 100 | 70 | 10.05 | 10.05 | 877 | 0 | 25007 | 0 | 28.508 |
| 6 | 0.28 | 100 | 70 | 10.05 | 10.05 | -9131 | 0 | -25007 | 0 | 2.739 |
| 7 | 0.38 | 100 | 70 | 10.05 | 10.05 | -8542 | 0 | -25007 | 0 | 2.927 |
| 8 | 0.48 | 100 | 70 | 10.05 | 10.05 | -7944 | 0 | -25007 | 0 | 3.148 |
| 9 | 0.57 | 100 | 70 | 10.05 | 10.05 | -7341 | 0 | -25007 | 0 | 3.406 |
| 10 | 0.67 | 100 | 70 | 10.05 | 10.05 | -6736 | 0 | -25007 | 0 | 3.712 |
| 11 | 0.77 | 100 | 70 | 10.05 | 10.05 | -6134 | 0 | -25007 | 0 | 4.077 |
| 12 | 0.86 | 100 | 70 | 10.05 | 10.05 | -5538 | 0 | -25007 | 0 | 4.516 |
| 13 | 0.96 | 100 | 70 | 10.05 | 10.05 | -4951 | 0 | -25007 | 0 | 5.050 |
| 14 | 1.05 | 100 | 70 | 10.05 | 10.05 | -4379 | 0 | -25007 | 0 | 5.710 |
| 15 | 1.15 | 100 | 70 | 10.05 | 10.05 | -3825 | 0 | -25007 | 0 | 6.537 |
| 16 | 1.25 | 100 | 70 | 10.05 | 10.05 | -3293 | 0 | -25007 | 0 | 7.594 |
| 17 | 1.34 | 100 | 70 | 10.05 | 10.05 | -2787 | 0 | -25007 | 0 | 8.974 |
| 18 | 1.44 | 100 | 70 | 10.05 | 10.05 | -2310 | 0 | -25007 | 0 | 10.825 |
| 19 | 1.53 | 100 | 70 | 10.05 | 10.05 | -1867 | 0 | -25007 | 0 | 13.395 |
| 20 | 1.63 | 100 | 70 | 10.05 | 10.05 | -1461 | 0 | -25007 | 0 | 17.114 |
| 21 | 1.73 | 100 | 70 | 10.05 | 10.05 | -1097 | 0 | -25007 | 0 | 22.796 |
| 22 | 1.82 | 100 | 70 | 10.05 | 10.05 | -778 | 0 | -25007 | 0 | 32.139 |
| 23 | 1.92 | 100 | 70 | 10.05 | 10.05 | -508 | 0 | -25007 | 0 | 49.189 |
| 24 | 2.02 | 100 | 70 | 10.05 | 10.05 | -292 | 0 | -25007 | 0 | 85.690 |
| 25 | 2.11 | 100 | 70 | 10.05 | 10.05 | -132 | 0 | -25007 | 0 | 189.008 |
| 26 | 2.21 | 100 | 70 | 10.05 | 10.05 | -34 | 0 | -25007 | 0 | 741.435 |
| 27 | 2.30 | 100 | 70 | 10.05 | 10.05 | 0 | 0 | 0 | 0 | 1000.000 |

Combinazione n° 2 - STR A1-M1-R3

Scatolare pk 148+140 - TS10 SU S15 - Relazione tecnica e di calcolo

117

RTI di progettazione:**Mandataria**

Via G.B. Sammartini n°5
20125 - Milano
Tel. 02 6787911
email: mail@proiter.it

**Mandante**

Via Artemide n°3
92100 Agrigento
Tel. 0922 421007
email: deltaingegneria@pec.it

| n° | Y | B | H | Afi | Afs | M | N | Mu | Nu | FS |
|----|-------|------|------|-------|-------|-------|------|--------|------|----------|
| | [m] | [cm] | [cm] | [cmq] | [cmq] | [kgm] | [kg] | [kgm] | [kg] | |
| 1 | -0.70 | 100 | 70 | 10.05 | 10.05 | 0 | 0 | 0 | 0 | 1000.000 |
| 2 | -0.60 | 100 | 70 | 10.05 | 10.05 | 49 | 0 | 25007 | 0 | 506.229 |
| 3 | -0.50 | 100 | 70 | 10.05 | 10.05 | 196 | 0 | 25007 | 0 | 127.502 |
| 4 | -0.40 | 100 | 70 | 10.05 | 10.05 | 438 | 0 | 25007 | 0 | 57.093 |
| 5 | -0.30 | 100 | 70 | 10.05 | 10.05 | 773 | 0 | 25007 | 0 | 32.358 |
| 6 | 0.28 | 100 | 70 | 10.05 | 10.05 | -4239 | 0 | -25007 | 0 | 5.900 |
| 7 | 0.38 | 100 | 70 | 10.05 | 10.05 | -4041 | 0 | -25007 | 0 | 6.188 |
| 8 | 0.48 | 100 | 70 | 10.05 | 10.05 | -3825 | 0 | -25007 | 0 | 6.539 |
| 9 | 0.57 | 100 | 70 | 10.05 | 10.05 | -3592 | 0 | -25007 | 0 | 6.962 |
| 10 | 0.67 | 100 | 70 | 10.05 | 10.05 | -3346 | 0 | -25007 | 0 | 7.474 |
| 11 | 0.77 | 100 | 70 | 10.05 | 10.05 | -3090 | 0 | -25007 | 0 | 8.094 |
| 12 | 0.86 | 100 | 70 | 10.05 | 10.05 | -2826 | 0 | -25007 | 0 | 8.849 |
| 13 | 0.96 | 100 | 70 | 10.05 | 10.05 | -2558 | 0 | -25007 | 0 | 9.775 |
| 14 | 1.05 | 100 | 70 | 10.05 | 10.05 | -2289 | 0 | -25007 | 0 | 10.926 |
| 15 | 1.15 | 100 | 70 | 10.05 | 10.05 | -2021 | 0 | -25007 | 0 | 12.374 |
| 16 | 1.25 | 100 | 70 | 10.05 | 10.05 | -1758 | 0 | -25007 | 0 | 14.227 |
| 17 | 1.34 | 100 | 70 | 10.05 | 10.05 | -1502 | 0 | -25007 | 0 | 16.652 |
| 18 | 1.44 | 100 | 70 | 10.05 | 10.05 | -1256 | 0 | -25007 | 0 | 19.906 |
| 19 | 1.53 | 100 | 70 | 10.05 | 10.05 | -1024 | 0 | -25007 | 0 | 24.420 |
| 20 | 1.63 | 100 | 70 | 10.05 | 10.05 | -808 | 0 | -25007 | 0 | 30.945 |
| 21 | 1.73 | 100 | 70 | 10.05 | 10.05 | -611 | 0 | -25007 | 0 | 40.901 |
| 22 | 1.82 | 100 | 70 | 10.05 | 10.05 | -437 | 0 | -25007 | 0 | 57.241 |
| 23 | 1.92 | 100 | 70 | 10.05 | 10.05 | -287 | 0 | -25007 | 0 | 86.992 |
| 24 | 2.02 | 100 | 70 | 10.05 | 10.05 | -166 | 0 | -25007 | 0 | 150.535 |
| 25 | 2.11 | 100 | 70 | 10.05 | 10.05 | -76 | 0 | -25007 | 0 | 329.920 |
| 26 | 2.21 | 100 | 70 | 10.05 | 10.05 | -19 | 0 | 0 | 0 | 1000.000 |
| 27 | 2.30 | 100 | 70 | 10.05 | 10.05 | 0 | 0 | 0 | 0 | 1000.000 |

Combinazione n° 3 - STR A1-M1-R3

| n° | Y | B | H | Afi | Afs | M | N | Mu | Nu | FS |
|----|-------|------|------|-------|-------|-------|------|--------|------|----------|
| | [m] | [cm] | [cm] | [cmq] | [cmq] | [kgm] | [kg] | [kgm] | [kg] | |
| 1 | -0.70 | 100 | 70 | 10.05 | 10.05 | 0 | 0 | 0 | 0 | 1000.000 |
| 2 | -0.60 | 100 | 70 | 10.05 | 10.05 | 48 | 0 | 25007 | 0 | 523.454 |
| 3 | -0.50 | 100 | 70 | 10.05 | 10.05 | 190 | 0 | 25007 | 0 | 131.844 |
| 4 | -0.40 | 100 | 70 | 10.05 | 10.05 | 424 | 0 | 25007 | 0 | 59.039 |
| 5 | -0.30 | 100 | 70 | 10.05 | 10.05 | 747 | 0 | 25007 | 0 | 33.462 |
| 6 | 0.28 | 100 | 70 | 10.05 | 10.05 | -4598 | 0 | -25007 | 0 | 5.439 |
| 7 | 0.38 | 100 | 70 | 10.05 | 10.05 | -4363 | 0 | -25007 | 0 | 5.732 |
| 8 | 0.48 | 100 | 70 | 10.05 | 10.05 | -4112 | 0 | -25007 | 0 | 6.082 |
| 9 | 0.57 | 100 | 70 | 10.05 | 10.05 | -3846 | 0 | -25007 | 0 | 6.502 |
| 10 | 0.67 | 100 | 70 | 10.05 | 10.05 | -3570 | 0 | -25007 | 0 | 7.005 |
| 11 | 0.77 | 100 | 70 | 10.05 | 10.05 | -3286 | 0 | -25007 | 0 | 7.611 |
| 12 | 0.86 | 100 | 70 | 10.05 | 10.05 | -2996 | 0 | -25007 | 0 | 8.346 |
| 13 | 0.96 | 100 | 70 | 10.05 | 10.05 | -2705 | 0 | -25007 | 0 | 9.246 |
| 14 | 1.05 | 100 | 70 | 10.05 | 10.05 | -2413 | 0 | -25007 | 0 | 10.362 |
| 15 | 1.15 | 100 | 70 | 10.05 | 10.05 | -2126 | 0 | -25007 | 0 | 11.764 |

| n° | Y | B | H | Afi | Afs | M | N | Mu | Nu | FS |
|----|------|------|------|-------|-------|-------|------|--------|------|----------|
| | [m] | [cm] | [cm] | [cmq] | [cmq] | [kgm] | [kg] | [kgm] | [kg] | |
| 16 | 1.25 | 100 | 70 | 10.05 | 10.05 | -1845 | 0 | -25007 | 0 | 13.557 |
| 17 | 1.34 | 100 | 70 | 10.05 | 10.05 | -1573 | 0 | -25007 | 0 | 15.902 |
| 18 | 1.44 | 100 | 70 | 10.05 | 10.05 | -1313 | 0 | -25007 | 0 | 19.048 |
| 19 | 1.53 | 100 | 70 | 10.05 | 10.05 | -1068 | 0 | -25007 | 0 | 23.412 |
| 20 | 1.63 | 100 | 70 | 10.05 | 10.05 | -841 | 0 | -25007 | 0 | 29.720 |
| 21 | 1.73 | 100 | 70 | 10.05 | 10.05 | -636 | 0 | -25007 | 0 | 39.349 |
| 22 | 1.82 | 100 | 70 | 10.05 | 10.05 | -453 | 0 | -25007 | 0 | 55.157 |
| 23 | 1.92 | 100 | 70 | 10.05 | 10.05 | -298 | 0 | -25007 | 0 | 83.952 |
| 24 | 2.02 | 100 | 70 | 10.05 | 10.05 | -172 | 0 | -25007 | 0 | 145.482 |
| 25 | 2.11 | 100 | 70 | 10.05 | 10.05 | -78 | 0 | -25007 | 0 | 319.279 |
| 26 | 2.21 | 100 | 70 | 10.05 | 10.05 | -20 | 0 | 0 | 0 | 1000.000 |
| 27 | 2.30 | 100 | 70 | 10.05 | 10.05 | 0 | 0 | 0 | 0 | 1000.000 |

Combinazione n° 4 - STR A1-M1-R3

| n° | Y | B | H | Afi | Afs | M | N | Mu | Nu | FS |
|----|-------|------|------|-------|-------|-------|------|--------|------|----------|
| | [m] | [cm] | [cm] | [cmq] | [cmq] | [kgm] | [kg] | [kgm] | [kg] | |
| 1 | -0.70 | 100 | 70 | 10.05 | 10.05 | 0 | 0 | 0 | 0 | 1000.000 |
| 2 | -0.60 | 100 | 70 | 10.05 | 10.05 | 61 | 0 | 25007 | 0 | 411.107 |
| 3 | -0.50 | 100 | 70 | 10.05 | 10.05 | 242 | 0 | 25007 | 0 | 103.455 |
| 4 | -0.40 | 100 | 70 | 10.05 | 10.05 | 540 | 0 | 25007 | 0 | 46.286 |
| 5 | -0.30 | 100 | 70 | 10.05 | 10.05 | 954 | 0 | 25007 | 0 | 26.210 |
| 6 | 0.28 | 100 | 70 | 10.05 | 10.05 | -4735 | 0 | -25007 | 0 | 5.281 |
| 7 | 0.38 | 100 | 70 | 10.05 | 10.05 | -4523 | 0 | -25007 | 0 | 5.529 |
| 8 | 0.48 | 100 | 70 | 10.05 | 10.05 | -4288 | 0 | -25007 | 0 | 5.832 |
| 9 | 0.57 | 100 | 70 | 10.05 | 10.05 | -4033 | 0 | -25007 | 0 | 6.200 |
| 10 | 0.67 | 100 | 70 | 10.05 | 10.05 | -3763 | 0 | -25007 | 0 | 6.646 |
| 11 | 0.77 | 100 | 70 | 10.05 | 10.05 | -3479 | 0 | -25007 | 0 | 7.188 |
| 12 | 0.86 | 100 | 70 | 10.05 | 10.05 | -3186 | 0 | -25007 | 0 | 7.849 |
| 13 | 0.96 | 100 | 70 | 10.05 | 10.05 | -2887 | 0 | -25007 | 0 | 8.661 |
| 14 | 1.05 | 100 | 70 | 10.05 | 10.05 | -2586 | 0 | -25007 | 0 | 9.670 |
| 15 | 1.15 | 100 | 70 | 10.05 | 10.05 | -2286 | 0 | -25007 | 0 | 10.941 |
| 16 | 1.25 | 100 | 70 | 10.05 | 10.05 | -1990 | 0 | -25007 | 0 | 12.569 |
| 17 | 1.34 | 100 | 70 | 10.05 | 10.05 | -1701 | 0 | -25007 | 0 | 14.698 |
| 18 | 1.44 | 100 | 70 | 10.05 | 10.05 | -1424 | 0 | -25007 | 0 | 17.557 |
| 19 | 1.53 | 100 | 70 | 10.05 | 10.05 | -1162 | 0 | -25007 | 0 | 21.522 |
| 20 | 1.63 | 100 | 70 | 10.05 | 10.05 | -918 | 0 | -25007 | 0 | 27.254 |
| 21 | 1.73 | 100 | 70 | 10.05 | 10.05 | -695 | 0 | -25007 | 0 | 35.999 |
| 22 | 1.82 | 100 | 70 | 10.05 | 10.05 | -497 | 0 | -25007 | 0 | 50.349 |
| 23 | 1.92 | 100 | 70 | 10.05 | 10.05 | -327 | 0 | -25007 | 0 | 76.474 |
| 24 | 2.02 | 100 | 70 | 10.05 | 10.05 | -189 | 0 | -25007 | 0 | 132.261 |
| 25 | 2.11 | 100 | 70 | 10.05 | 10.05 | -86 | 0 | -25007 | 0 | 289.719 |
| 26 | 2.21 | 100 | 70 | 10.05 | 10.05 | -22 | 0 | 0 | 0 | 1000.000 |
| 27 | 2.30 | 100 | 70 | 10.05 | 10.05 | 0 | 0 | 0 | 0 | 1000.000 |

Combinazione n° 5 - STR A1-M1-R3

| n° | Y | B | H | Afi | Afs | M | N | Mu | Nu | FS |
|----|-----|------|------|-------|-------|-------|------|-------|------|----|
| | [m] | [cm] | [cm] | [cmq] | [cmq] | [kgm] | [kg] | [kgm] | [kg] | |

RTI di progettazione:**Mandataria**

Via G.B. Sammartini n°5
20125 - Milano
Tel. 02 6787911
email: mail@proiter.it

**Mandante**

Via Artemide n°3
92100 Agrigento
Tel. 0922 421007
email: deltaingegneria@pec.it

Progetto Esecutivo

| | [m] | [cm] | [cm] | [cmq] | [cmq] | [kgm] | [kg] | [kgm] | [kg] | |
|----|-------|------|------|-------|-------|-------|------|--------|------|----------|
| 1 | -0.70 | 100 | 70 | 10.05 | 10.05 | 0 | 0 | 0 | 0 | 1000.000 |
| 2 | -0.60 | 100 | 70 | 10.05 | 10.05 | 57 | 0 | 25007 | 0 | 441.454 |
| 3 | -0.50 | 100 | 70 | 10.05 | 10.05 | 225 | 0 | 25007 | 0 | 111.028 |
| 4 | -0.40 | 100 | 70 | 10.05 | 10.05 | 504 | 0 | 25007 | 0 | 49.645 |
| 5 | -0.30 | 100 | 70 | 10.05 | 10.05 | 890 | 0 | 25007 | 0 | 28.095 |
| 6 | 0.28 | 100 | 70 | 10.05 | 10.05 | -4759 | 0 | -25007 | 0 | 5.255 |
| 7 | 0.38 | 100 | 70 | 10.05 | 10.05 | -4523 | 0 | -25007 | 0 | 5.529 |
| 8 | 0.48 | 100 | 70 | 10.05 | 10.05 | -4269 | 0 | -25007 | 0 | 5.858 |
| 9 | 0.57 | 100 | 70 | 10.05 | 10.05 | -3999 | 0 | -25007 | 0 | 6.253 |
| 10 | 0.67 | 100 | 70 | 10.05 | 10.05 | -3717 | 0 | -25007 | 0 | 6.728 |
| 11 | 0.77 | 100 | 70 | 10.05 | 10.05 | -3425 | 0 | -25007 | 0 | 7.302 |
| 12 | 0.86 | 100 | 70 | 10.05 | 10.05 | -3126 | 0 | -25007 | 0 | 7.999 |
| 13 | 0.96 | 100 | 70 | 10.05 | 10.05 | -2825 | 0 | -25007 | 0 | 8.853 |
| 14 | 1.05 | 100 | 70 | 10.05 | 10.05 | -2523 | 0 | -25007 | 0 | 9.911 |
| 15 | 1.15 | 100 | 70 | 10.05 | 10.05 | -2224 | 0 | -25007 | 0 | 11.242 |
| 16 | 1.25 | 100 | 70 | 10.05 | 10.05 | -1932 | 0 | -25007 | 0 | 12.946 |
| 17 | 1.34 | 100 | 70 | 10.05 | 10.05 | -1648 | 0 | -25007 | 0 | 15.173 |
| 18 | 1.44 | 100 | 70 | 10.05 | 10.05 | -1377 | 0 | -25007 | 0 | 18.161 |
| 19 | 1.53 | 100 | 70 | 10.05 | 10.05 | -1121 | 0 | -25007 | 0 | 22.307 |
| 20 | 1.63 | 100 | 70 | 10.05 | 10.05 | -884 | 0 | -25007 | 0 | 28.299 |
| 21 | 1.73 | 100 | 70 | 10.05 | 10.05 | -668 | 0 | -25007 | 0 | 37.444 |
| 22 | 1.82 | 100 | 70 | 10.05 | 10.05 | -477 | 0 | -25007 | 0 | 52.457 |
| 23 | 1.92 | 100 | 70 | 10.05 | 10.05 | -313 | 0 | -25007 | 0 | 79.799 |
| 24 | 2.02 | 100 | 70 | 10.05 | 10.05 | -181 | 0 | -25007 | 0 | 138.214 |
| 25 | 2.11 | 100 | 70 | 10.05 | 10.05 | -82 | 0 | -25007 | 0 | 303.179 |
| 26 | 2.21 | 100 | 70 | 10.05 | 10.05 | -21 | 0 | 0 | 0 | 1000.000 |
| 27 | 2.30 | 100 | 70 | 10.05 | 10.05 | 0 | 0 | 0 | 0 | 1000.000 |

Combinazione n° 6 - STR A1-M1-R3

| n° | Y | B | H | Afi | Afs | M | N | Mu | Nu | FS |
|----|-------|------|------|-------|-------|-------|------|--------|------|----------|
| | [m] | [cm] | [cm] | [cmq] | [cmq] | [kgm] | [kg] | [kgm] | [kg] | |
| 1 | -0.70 | 100 | 70 | 10.05 | 10.05 | 0 | 0 | 0 | 0 | 1000.000 |
| 2 | -0.60 | 100 | 70 | 10.05 | 10.05 | 60 | 0 | 25007 | 0 | 413.511 |
| 3 | -0.50 | 100 | 70 | 10.05 | 10.05 | 240 | 0 | 25007 | 0 | 104.325 |
| 4 | -0.40 | 100 | 70 | 10.05 | 10.05 | 534 | 0 | 25007 | 0 | 46.796 |
| 5 | -0.30 | 100 | 70 | 10.05 | 10.05 | 941 | 0 | 25007 | 0 | 26.568 |
| 6 | 0.28 | 100 | 70 | 10.05 | 10.05 | -9107 | 0 | -25007 | 0 | 2.746 |
| 7 | 0.38 | 100 | 70 | 10.05 | 10.05 | -8542 | 0 | -25007 | 0 | 2.927 |
| 8 | 0.48 | 100 | 70 | 10.05 | 10.05 | -7964 | 0 | -25007 | 0 | 3.140 |
| 9 | 0.57 | 100 | 70 | 10.05 | 10.05 | -7376 | 0 | -25007 | 0 | 3.390 |
| 10 | 0.67 | 100 | 70 | 10.05 | 10.05 | -6782 | 0 | -25007 | 0 | 3.687 |
| 11 | 0.77 | 100 | 70 | 10.05 | 10.05 | -6188 | 0 | -25007 | 0 | 4.041 |
| 12 | 0.86 | 100 | 70 | 10.05 | 10.05 | -5597 | 0 | -25007 | 0 | 4.468 |
| 13 | 0.96 | 100 | 70 | 10.05 | 10.05 | -5014 | 0 | -25007 | 0 | 4.987 |
| 14 | 1.05 | 100 | 70 | 10.05 | 10.05 | -4442 | 0 | -25007 | 0 | 5.629 |
| 15 | 1.15 | 100 | 70 | 10.05 | 10.05 | -3887 | 0 | -25007 | 0 | 6.434 |
| 16 | 1.25 | 100 | 70 | 10.05 | 10.05 | -3351 | 0 | -25007 | 0 | 7.462 |
| 17 | 1.34 | 100 | 70 | 10.05 | 10.05 | -2840 | 0 | -25007 | 0 | 8.805 |

| n° | Y | B | H | Afi | Afs | M | N | Mu | Nu | FS |
|----|------|------|------|-------|-------|-------|------|--------|------|----------|
| | [m] | [cm] | [cm] | [cmq] | [cmq] | [kgm] | [kg] | [kgm] | [kg] | |
| 18 | 1.44 | 100 | 70 | 10.05 | 10.05 | -2357 | 0 | -25007 | 0 | 10.608 |
| 19 | 1.53 | 100 | 70 | 10.05 | 10.05 | -1908 | 0 | -25007 | 0 | 13.108 |
| 20 | 1.63 | 100 | 70 | 10.05 | 10.05 | -1495 | 0 | -25007 | 0 | 16.726 |
| 21 | 1.73 | 100 | 70 | 10.05 | 10.05 | -1124 | 0 | -25007 | 0 | 22.252 |
| 22 | 1.82 | 100 | 70 | 10.05 | 10.05 | -798 | 0 | -25007 | 0 | 31.336 |
| 23 | 1.92 | 100 | 70 | 10.05 | 10.05 | -522 | 0 | -25007 | 0 | 47.905 |
| 24 | 2.02 | 100 | 70 | 10.05 | 10.05 | -300 | 0 | -25007 | 0 | 83.364 |
| 25 | 2.11 | 100 | 70 | 10.05 | 10.05 | -136 | 0 | -25007 | 0 | 183.688 |
| 26 | 2.21 | 100 | 70 | 10.05 | 10.05 | -35 | 0 | -25007 | 0 | 719.853 |
| 27 | 2.30 | 100 | 70 | 10.05 | 10.05 | 0 | 0 | 0 | 0 | 1000.000 |

12.8.4 Verifiche a taglio

Elementi calcolati a trave

Simbologia adottata

| | |
|------|---|
| n° | indice sezione |
| Y | ordinata sezione espresso in [m] |
| B | larghezza sezione espresso in [cm] |
| H | altezza sezione espresso in [cm] |
| Afw | area ferri a taglio espresso in [cmq] |
| VRcd | resistenza di progetto a 'taglio compressione' espresso in [kg] |
| VRsd | resistenza di progetto a 'taglio trazione' espresso in [kg] |
| VRd | resistenza di progetto a taglio (min(VRcd, VRsd)) espresso in [kg] |
| T | taglio agente espresso in [kg] |
| FS | fattore di sicurezza (rapporto tra sollecitazione resistente e sollecitazione agente) |

Paramento

Combinazione n° 1 - STR A1-M1-R3

| n° | Y | B | H | Afw | VRcd | VRsd | VRd | T | FS |
|----|-------|------|------|-------|------|------|-------|------|----------|
| | [m] | [cm] | [cm] | [cmq] | [kg] | [kg] | [kg] | [kg] | |
| 1 | 0.00 | 100 | 30 | 0.00 | 0 | 0 | 13649 | 0 | 100.000 |
| 2 | -0.14 | 100 | 31 | 0.00 | 0 | 0 | 13994 | 8 | 1831.742 |
| 3 | -0.28 | 100 | 33 | 0.00 | 0 | 0 | 14332 | 32 | 441.990 |
| 4 | -0.42 | 100 | 34 | 0.00 | 0 | 0 | 14667 | 83 | 176.756 |
| 5 | -0.56 | 100 | 36 | 0.00 | 0 | 0 | 14998 | 166 | 90.528 |
| 6 | -0.70 | 100 | 37 | 0.00 | 0 | 0 | 15326 | 282 | 54.309 |
| 7 | -0.84 | 100 | 39 | 0.00 | 0 | 0 | 15651 | 428 | 36.532 |
| 8 | -0.98 | 100 | 40 | 0.00 | 0 | 0 | 15974 | 602 | 26.548 |
| 9 | -1.12 | 100 | 41 | 0.00 | 0 | 0 | 16294 | 800 | 20.359 |
| 10 | -1.26 | 100 | 43 | 0.00 | 0 | 0 | 16612 | 1023 | 16.242 |
| 11 | -1.40 | 100 | 44 | 0.00 | 0 | 0 | 16929 | 1268 | 13.352 |
| 12 | -1.54 | 100 | 46 | 0.00 | 0 | 0 | 17243 | 1534 | 11.237 |
| 13 | -1.68 | 100 | 47 | 0.00 | 0 | 0 | 17556 | 1822 | 9.636 |
| 14 | -1.82 | 100 | 48 | 0.00 | 0 | 0 | 17867 | 2129 | 8.391 |
| 15 | -1.96 | 100 | 50 | 0.00 | 0 | 0 | 18177 | 2456 | 7.401 |

Scatolare pk 148+140 - TS10 SU S15 - Relazione tecnica e di calcolo

121

RTI di progettazione:**Mandataria**

Via G.B. Sammartini n°5
20125 - Milano
Tel. 02 6787911
email: mail@proiter.it

**Mandante**

Via Artemide n°3
92100 Agrigento
Tel. 0922 421007
email: deltaingegneria@pec.it

| n° | Y | B | H | Afw | VRcd | VRsd | VRd | T | FS |
|----|-------|------|------|-------|------|------|-------|------|-------|
| | [m] | [cm] | [cm] | [cmq] | [kg] | [kg] | [kg] | [kg] | |
| 16 | -2.10 | 100 | 51 | 0.00 | 0 | 0 | 20429 | 2802 | 7.292 |
| 17 | -2.24 | 100 | 53 | 0.00 | 0 | 0 | 20764 | 3166 | 6.559 |
| 18 | -2.38 | 100 | 54 | 0.00 | 0 | 0 | 19099 | 3548 | 5.384 |
| 19 | -2.52 | 100 | 56 | 0.00 | 0 | 0 | 19404 | 3947 | 4.916 |
| 20 | -2.66 | 100 | 57 | 0.00 | 0 | 0 | 19709 | 4364 | 4.516 |
| 21 | -2.80 | 100 | 58 | 0.00 | 0 | 0 | 20013 | 4799 | 4.170 |

Combinazione n° 2 - STR A1-M1-R3

| n° | Y | B | H | Afw | VRcd | VRsd | VRd | T | FS |
|----|-------|------|------|-------|------|------|-------|------|---------|
| | [m] | [cm] | [cm] | [cmq] | [kg] | [kg] | [kg] | [kg] | |
| 1 | 0.00 | 100 | 30 | 0.00 | 0 | 0 | 13649 | 0 | 100.000 |
| 2 | -0.14 | 100 | 31 | 0.00 | 0 | 0 | 13994 | 26 | 543.648 |
| 3 | -0.28 | 100 | 33 | 0.00 | 0 | 0 | 14334 | 65 | 221.159 |
| 4 | -0.42 | 100 | 34 | 0.00 | 0 | 0 | 14669 | 124 | 118.449 |
| 5 | -0.56 | 100 | 36 | 0.00 | 0 | 0 | 15000 | 208 | 72.207 |
| 6 | -0.70 | 100 | 37 | 0.00 | 0 | 0 | 15327 | 318 | 48.230 |
| 7 | -0.84 | 100 | 39 | 0.00 | 0 | 0 | 15651 | 451 | 34.716 |
| 8 | -0.98 | 100 | 40 | 0.00 | 0 | 0 | 15973 | 605 | 26.409 |
| 9 | -1.12 | 100 | 41 | 0.00 | 0 | 0 | 16291 | 778 | 20.928 |
| 10 | -1.26 | 100 | 43 | 0.00 | 0 | 0 | 16607 | 971 | 17.111 |
| 11 | -1.40 | 100 | 44 | 0.00 | 0 | 0 | 16921 | 1180 | 14.338 |
| 12 | -1.54 | 100 | 46 | 0.00 | 0 | 0 | 17232 | 1407 | 12.252 |
| 13 | -1.68 | 100 | 47 | 0.00 | 0 | 0 | 17541 | 1649 | 10.638 |
| 14 | -1.82 | 100 | 48 | 0.00 | 0 | 0 | 17849 | 1907 | 9.360 |
| 15 | -1.96 | 100 | 50 | 0.00 | 0 | 0 | 18155 | 2180 | 8.328 |
| 16 | -2.10 | 100 | 51 | 0.00 | 0 | 0 | 20403 | 2468 | 8.268 |
| 17 | -2.24 | 100 | 53 | 0.00 | 0 | 0 | 20734 | 2770 | 7.486 |
| 18 | -2.38 | 100 | 54 | 0.00 | 0 | 0 | 19064 | 3085 | 6.179 |
| 19 | -2.52 | 100 | 56 | 0.00 | 0 | 0 | 19364 | 3415 | 5.670 |
| 20 | -2.66 | 100 | 57 | 0.00 | 0 | 0 | 19664 | 3758 | 5.232 |
| 21 | -2.80 | 100 | 58 | 0.00 | 0 | 0 | 19962 | 4115 | 4.851 |

Combinazione n° 3 - STR A1-M1-R3

| n° | Y | B | H | Afw | VRcd | VRsd | VRd | T | FS |
|----|-------|------|------|-------|------|------|-------|------|---------|
| | [m] | [cm] | [cm] | [cmq] | [kg] | [kg] | [kg] | [kg] | |
| 1 | 0.00 | 100 | 30 | 0.00 | 0 | 0 | 13649 | 0 | 100.000 |
| 2 | -0.14 | 100 | 31 | 0.00 | 0 | 0 | 13994 | 21 | 679.905 |
| 3 | -0.28 | 100 | 33 | 0.00 | 0 | 0 | 14333 | 54 | 263.024 |
| 4 | -0.42 | 100 | 34 | 0.00 | 0 | 0 | 14668 | 108 | 135.358 |
| 5 | -0.56 | 100 | 36 | 0.00 | 0 | 0 | 14998 | 187 | 80.164 |
| 6 | -0.70 | 100 | 37 | 0.00 | 0 | 0 | 15326 | 292 | 52.486 |
| 7 | -0.84 | 100 | 39 | 0.00 | 0 | 0 | 15649 | 420 | 37.271 |
| 8 | -0.98 | 100 | 40 | 0.00 | 0 | 0 | 15970 | 569 | 28.082 |
| 9 | -1.12 | 100 | 41 | 0.00 | 0 | 0 | 16288 | 737 | 22.096 |
| 10 | -1.26 | 100 | 43 | 0.00 | 0 | 0 | 16604 | 924 | 17.967 |
| 11 | -1.40 | 100 | 44 | 0.00 | 0 | 0 | 16917 | 1129 | 14.990 |

| n° | Y | B | H | Afw | VRcd | VRsd | VRd | T | FS |
|----|-------|------|------|-------|------|------|-------|------|--------|
| | [m] | [cm] | [cm] | [cmq] | [kg] | [kg] | [kg] | [kg] | |
| 12 | -1.54 | 100 | 46 | 0.00 | 0 | 0 | 17228 | 1350 | 12.764 |
| 13 | -1.68 | 100 | 47 | 0.00 | 0 | 0 | 17537 | 1587 | 11.050 |
| 14 | -1.82 | 100 | 48 | 0.00 | 0 | 0 | 17845 | 1840 | 9.699 |
| 15 | -1.96 | 100 | 50 | 0.00 | 0 | 0 | 18150 | 2108 | 8.611 |
| 16 | -2.10 | 100 | 51 | 0.00 | 0 | 0 | 20398 | 2390 | 8.534 |
| 17 | -2.24 | 100 | 53 | 0.00 | 0 | 0 | 20729 | 2687 | 7.714 |
| 18 | -2.38 | 100 | 54 | 0.00 | 0 | 0 | 19058 | 2998 | 6.357 |
| 19 | -2.52 | 100 | 56 | 0.00 | 0 | 0 | 19358 | 3322 | 5.827 |
| 20 | -2.66 | 100 | 57 | 0.00 | 0 | 0 | 19657 | 3660 | 5.370 |
| 21 | -2.80 | 100 | 58 | 0.00 | 0 | 0 | 19955 | 4012 | 4.974 |

Combinazione n° 4 - STR A1-M1-R3

| n° | Y | B | H | Afw | VRcd | VRsd | VRd | T | FS |
|----|-------|------|------|-------|------|------|-------|------|----------|
| | [m] | [cm] | [cm] | [cmq] | [kg] | [kg] | [kg] | [kg] | |
| 1 | 0.00 | 100 | 30 | 0.00 | 0 | 0 | 13649 | 0 | 100.000 |
| 2 | -0.14 | 100 | 31 | 0.00 | 0 | 0 | 13998 | 8 | 1832.275 |
| 3 | -0.28 | 100 | 33 | 0.00 | 0 | 0 | 14341 | 32 | 442.249 |
| 4 | -0.42 | 100 | 34 | 0.00 | 0 | 0 | 14680 | 83 | 176.912 |
| 5 | -0.56 | 100 | 36 | 0.00 | 0 | 0 | 15016 | 166 | 90.636 |
| 6 | -0.70 | 100 | 37 | 0.00 | 0 | 0 | 15349 | 282 | 54.390 |
| 7 | -0.84 | 100 | 39 | 0.00 | 0 | 0 | 15679 | 428 | 36.597 |
| 8 | -0.98 | 100 | 40 | 0.00 | 0 | 0 | 16008 | 602 | 26.604 |
| 9 | -1.12 | 100 | 41 | 0.00 | 0 | 0 | 16334 | 800 | 20.409 |
| 10 | -1.26 | 100 | 43 | 0.00 | 0 | 0 | 16658 | 1023 | 16.286 |
| 11 | -1.40 | 100 | 44 | 0.00 | 0 | 0 | 16980 | 1268 | 13.393 |
| 12 | -1.54 | 100 | 46 | 0.00 | 0 | 0 | 17301 | 1534 | 11.275 |
| 13 | -1.68 | 100 | 47 | 0.00 | 0 | 0 | 17621 | 1822 | 9.672 |
| 14 | -1.82 | 100 | 48 | 0.00 | 0 | 0 | 17939 | 2129 | 8.425 |
| 15 | -1.96 | 100 | 50 | 0.00 | 0 | 0 | 18256 | 2456 | 7.433 |
| 16 | -2.10 | 100 | 51 | 0.00 | 0 | 0 | 20516 | 2802 | 7.323 |
| 17 | -2.24 | 100 | 53 | 0.00 | 0 | 0 | 20859 | 3166 | 6.589 |
| 18 | -2.38 | 100 | 54 | 0.00 | 0 | 0 | 19201 | 3548 | 5.412 |
| 19 | -2.52 | 100 | 56 | 0.00 | 0 | 0 | 19515 | 3947 | 4.944 |
| 20 | -2.66 | 100 | 57 | 0.00 | 0 | 0 | 19828 | 4364 | 4.543 |
| 21 | -2.80 | 100 | 58 | 0.00 | 0 | 0 | 20140 | 4799 | 4.197 |

Combinazione n° 5 - STR A1-M1-R3

| n° | Y | B | H | Afw | VRcd | VRsd | VRd | T | FS |
|----|-------|------|------|-------|------|------|-------|------|----------|
| | [m] | [cm] | [cm] | [cmq] | [kg] | [kg] | [kg] | [kg] | |
| 1 | 0.00 | 100 | 30 | 0.00 | 0 | 0 | 13649 | 0 | 100.000 |
| 2 | -0.14 | 100 | 31 | 0.00 | 0 | 0 | 13994 | 8 | 1831.742 |
| 3 | -0.28 | 100 | 33 | 0.00 | 0 | 0 | 14332 | 32 | 441.990 |
| 4 | -0.42 | 100 | 34 | 0.00 | 0 | 0 | 14667 | 83 | 176.756 |
| 5 | -0.56 | 100 | 36 | 0.00 | 0 | 0 | 14998 | 166 | 90.528 |
| 6 | -0.70 | 100 | 37 | 0.00 | 0 | 0 | 15326 | 282 | 54.309 |
| 7 | -0.84 | 100 | 39 | 0.00 | 0 | 0 | 15651 | 428 | 36.532 |

| n° | Y [m] | B [cm] | H [cm] | Afw [cmq] | VRcd [kg] | VRsd [kg] | VRd [kg] | T [kg] | FS |
|----|----------|-----------|-----------|--------------|--------------|--------------|-------------|-----------|--------|
| 8 | -0.98 | 100 | 40 | 0.00 | 0 | 0 | 15974 | 602 | 26.548 |
| 9 | -1.12 | 100 | 41 | 0.00 | 0 | 0 | 16294 | 800 | 20.359 |
| 10 | -1.26 | 100 | 43 | 0.00 | 0 | 0 | 16612 | 1023 | 16.242 |
| 11 | -1.40 | 100 | 44 | 0.00 | 0 | 0 | 16929 | 1268 | 13.352 |
| 12 | -1.54 | 100 | 46 | 0.00 | 0 | 0 | 17243 | 1534 | 11.237 |
| 13 | -1.68 | 100 | 47 | 0.00 | 0 | 0 | 17556 | 1822 | 9.636 |
| 14 | -1.82 | 100 | 48 | 0.00 | 0 | 0 | 17867 | 2129 | 8.391 |
| 15 | -1.96 | 100 | 50 | 0.00 | 0 | 0 | 18177 | 2456 | 7.401 |
| 16 | -2.10 | 100 | 51 | 0.00 | 0 | 0 | 20429 | 2802 | 7.292 |
| 17 | -2.24 | 100 | 53 | 0.00 | 0 | 0 | 20764 | 3166 | 6.559 |
| 18 | -2.38 | 100 | 54 | 0.00 | 0 | 0 | 19099 | 3548 | 5.384 |
| 19 | -2.52 | 100 | 56 | 0.00 | 0 | 0 | 19404 | 3947 | 4.916 |
| 20 | -2.66 | 100 | 57 | 0.00 | 0 | 0 | 19709 | 4364 | 4.516 |
| 21 | -2.80 | 100 | 58 | 0.00 | 0 | 0 | 20013 | 4799 | 4.170 |

Combinazione n° 6 - STR A1-M1-R3

| n° | Y [m] | B [cm] | H [cm] | Afw [cmq] | VRcd [kg] | VRsd [kg] | VRd [kg] | T [kg] | FS |
|----|----------|-----------|-----------|--------------|--------------|--------------|-------------|-----------|----------|
| 1 | 0.00 | 100 | 30 | 0.00 | 0 | 0 | 13649 | 0 | 100.000 |
| 2 | -0.14 | 100 | 31 | 0.00 | 0 | 0 | 13998 | 8 | 1832.275 |
| 3 | -0.28 | 100 | 33 | 0.00 | 0 | 0 | 14341 | 32 | 442.249 |
| 4 | -0.42 | 100 | 34 | 0.00 | 0 | 0 | 14680 | 83 | 176.912 |
| 5 | -0.56 | 100 | 36 | 0.00 | 0 | 0 | 15016 | 166 | 90.636 |
| 6 | -0.70 | 100 | 37 | 0.00 | 0 | 0 | 15349 | 282 | 54.390 |
| 7 | -0.84 | 100 | 39 | 0.00 | 0 | 0 | 15679 | 428 | 36.597 |
| 8 | -0.98 | 100 | 40 | 0.00 | 0 | 0 | 16008 | 602 | 26.604 |
| 9 | -1.12 | 100 | 41 | 0.00 | 0 | 0 | 16334 | 800 | 20.409 |
| 10 | -1.26 | 100 | 43 | 0.00 | 0 | 0 | 16658 | 1023 | 16.286 |
| 11 | -1.40 | 100 | 44 | 0.00 | 0 | 0 | 16980 | 1268 | 13.393 |
| 12 | -1.54 | 100 | 46 | 0.00 | 0 | 0 | 17301 | 1534 | 11.275 |
| 13 | -1.68 | 100 | 47 | 0.00 | 0 | 0 | 17621 | 1822 | 9.672 |
| 14 | -1.82 | 100 | 48 | 0.00 | 0 | 0 | 17939 | 2129 | 8.425 |
| 15 | -1.96 | 100 | 50 | 0.00 | 0 | 0 | 18256 | 2456 | 7.433 |
| 16 | -2.10 | 100 | 51 | 0.00 | 0 | 0 | 20516 | 2802 | 7.323 |
| 17 | -2.24 | 100 | 53 | 0.00 | 0 | 0 | 20859 | 3166 | 6.589 |
| 18 | -2.38 | 100 | 54 | 0.00 | 0 | 0 | 19201 | 3548 | 5.412 |
| 19 | -2.52 | 100 | 56 | 0.00 | 0 | 0 | 19515 | 3947 | 4.944 |
| 20 | -2.66 | 100 | 57 | 0.00 | 0 | 0 | 19828 | 4364 | 4.543 |
| 21 | -2.80 | 100 | 58 | 0.00 | 0 | 0 | 20140 | 4799 | 4.197 |

Fondazione

Combinazione n° 1 - STR A1-M1-R3

| n° | Y [m] | B [cm] | H [cm] | Afw [cmq] | VRcd [kg] | VRsd [kg] | VRd [kg] | T [kg] | FS |
|----|----------|-----------|-----------|--------------|--------------|--------------|-------------|-----------|---------|
| 1 | -0.70 | 100 | 70 | 0.00 | 0 | 0 | 22996 | 0 | 100.000 |
| 2 | -0.60 | 100 | 70 | 0.00 | 0 | 0 | 22996 | 1121 | 20.515 |
| 3 | -0.50 | 100 | 70 | 0.00 | 0 | 0 | 22996 | 2213 | 10.394 |
| 4 | -0.40 | 100 | 70 | 0.00 | 0 | 0 | 22996 | 3275 | 7.022 |
| 5 | -0.30 | 100 | 70 | 0.00 | 0 | 0 | 22996 | 4308 | 5.339 |
| 6 | 0.28 | 100 | 70 | 0.00 | 0 | 0 | 22996 | -6055 | 3.798 |
| 7 | 0.38 | 100 | 70 | 0.00 | 0 | 0 | 22996 | -6173 | 3.725 |
| 8 | 0.48 | 100 | 70 | 0.00 | 0 | 0 | 22996 | -6250 | 3.679 |
| 9 | 0.57 | 100 | 70 | 0.00 | 0 | 0 | 22996 | -6287 | 3.658 |
| 10 | 0.67 | 100 | 70 | 0.00 | 0 | 0 | 22996 | -6283 | 3.660 |
| 11 | 0.77 | 100 | 70 | 0.00 | 0 | 0 | 22996 | -6238 | 3.687 |
| 12 | 0.86 | 100 | 70 | 0.00 | 0 | 0 | 22996 | -6153 | 3.738 |
| 13 | 0.96 | 100 | 70 | 0.00 | 0 | 0 | 22996 | -6027 | 3.816 |
| 14 | 1.05 | 100 | 70 | 0.00 | 0 | 0 | 22996 | -5860 | 3.924 |
| 15 | 1.15 | 100 | 70 | 0.00 | 0 | 0 | 22996 | -5653 | 4.068 |
| 16 | 1.25 | 100 | 70 | 0.00 | 0 | 0 | 22996 | -5406 | 4.254 |
| 17 | 1.34 | 100 | 70 | 0.00 | 0 | 0 | 22996 | -5117 | 4.494 |
| 18 | 1.44 | 100 | 70 | 0.00 | 0 | 0 | 22996 | -4788 | 4.803 |
| 19 | 1.53 | 100 | 70 | 0.00 | 0 | 0 | 22996 | -4419 | 5.204 |
| 20 | 1.63 | 100 | 70 | 0.00 | 0 | 0 | 22996 | -4009 | 5.737 |
| 21 | 1.73 | 100 | 70 | 0.00 | 0 | 0 | 22996 | -3558 | 6.464 |
| 22 | 1.82 | 100 | 70 | 0.00 | 0 | 0 | 22996 | -3066 | 7.500 |
| 23 | 1.92 | 100 | 70 | 0.00 | 0 | 0 | 22996 | -2534 | 9.074 |
| 24 | 2.02 | 100 | 70 | 0.00 | 0 | 0 | 22996 | -1962 | 11.723 |
| 25 | 2.11 | 100 | 70 | 0.00 | 0 | 0 | 22996 | -1348 | 17.055 |
| 26 | 2.21 | 100 | 70 | 0.00 | 0 | 0 | 22996 | -694 | 33.113 |
| 27 | 2.30 | 100 | 70 | 0.00 | 0 | 0 | 22996 | 0 | 100.000 |

Combinazione n° 2 - STR A1-M1-R3

| n° | Y [m] | B [cm] | H [cm] | Afw [cmq] | VRcd [kg] | VRsd [kg] | VRd [kg] | T [kg] | FS |
|----|----------|-----------|-----------|--------------|--------------|--------------|-------------|-----------|---------|
| 1 | -0.70 | 100 | 70 | 0.00 | 0 | 0 | 22996 | 0 | 100.000 |
| 2 | -0.60 | 100 | 70 | 0.00 | 0 | 0 | 22996 | 984 | 23.363 |
| 3 | -0.50 | 100 | 70 | 0.00 | 0 | 0 | 22996 | 1947 | 11.813 |
| 4 | -0.40 | 100 | 70 | 0.00 | 0 | 0 | 22996 | 2887 | 7.965 |
| 5 | -0.30 | 100 | 70 | 0.00 | 0 | 0 | 22996 | 3805 | 6.043 |
| 6 | 0.28 | 100 | 70 | 0.00 | 0 | 0 | 22996 | -1944 | 11.832 |
| 7 | 0.38 | 100 | 70 | 0.00 | 0 | 0 | 22996 | -2157 | 10.659 |
| 8 | 0.48 | 100 | 70 | 0.00 | 0 | 0 | 22996 | -2341 | 9.824 |
| 9 | 0.57 | 100 | 70 | 0.00 | 0 | 0 | 22996 | -2494 | 9.223 |
| 10 | 0.67 | 100 | 70 | 0.00 | 0 | 0 | 22996 | -2616 | 8.792 |
| 11 | 0.77 | 100 | 70 | 0.00 | 0 | 0 | 22996 | -2707 | 8.495 |
| 12 | 0.86 | 100 | 70 | 0.00 | 0 | 0 | 22996 | -2768 | 8.309 |

| n° | Y [m] | B [cm] | H [cm] | Afw [cmq] | VRcd [kg] | VRsd [kg] | VRd [kg] | T [kg] | FS |
|----|----------|-----------|-----------|--------------|--------------|--------------|-------------|-----------|---------|
| 13 | 0.96 | 100 | 70 | 0.00 | 0 | 0 | 22996 | -2798 | 8.220 |
| 14 | 1.05 | 100 | 70 | 0.00 | 0 | 0 | 22996 | -2797 | 8.221 |
| 15 | 1.15 | 100 | 70 | 0.00 | 0 | 0 | 22996 | -2766 | 8.314 |
| 16 | 1.25 | 100 | 70 | 0.00 | 0 | 0 | 22996 | -2704 | 8.504 |
| 17 | 1.34 | 100 | 70 | 0.00 | 0 | 0 | 22996 | -2611 | 8.806 |
| 18 | 1.44 | 100 | 70 | 0.00 | 0 | 0 | 22996 | -2488 | 9.242 |
| 19 | 1.53 | 100 | 70 | 0.00 | 0 | 0 | 22996 | -2334 | 9.851 |
| 20 | 1.63 | 100 | 70 | 0.00 | 0 | 0 | 22996 | -2150 | 10.696 |
| 21 | 1.73 | 100 | 70 | 0.00 | 0 | 0 | 22996 | -1935 | 11.886 |
| 22 | 1.82 | 100 | 70 | 0.00 | 0 | 0 | 22996 | -1689 | 13.616 |
| 23 | 1.92 | 100 | 70 | 0.00 | 0 | 0 | 22996 | -1412 | 16.281 |
| 24 | 2.02 | 100 | 70 | 0.00 | 0 | 0 | 22996 | -1105 | 20.805 |
| 25 | 2.11 | 100 | 70 | 0.00 | 0 | 0 | 22996 | -768 | 29.961 |
| 26 | 2.21 | 100 | 70 | 0.00 | 0 | 0 | 22996 | -399 | 57.621 |
| 27 | 2.30 | 100 | 70 | 0.00 | 0 | 0 | 22996 | 0 | 100.000 |

Combinazione n° 3 - STR A1-M1-R3

| n° | Y [m] | B [cm] | H [cm] | Afw [cmq] | VRcd [kg] | VRsd [kg] | VRd [kg] | T [kg] | FS |
|----|----------|-----------|-----------|--------------|--------------|--------------|-------------|-----------|---------|
| 1 | -0.70 | 100 | 70 | 0.00 | 0 | 0 | 22996 | 0 | 100.000 |
| 2 | -0.60 | 100 | 70 | 0.00 | 0 | 0 | 22996 | 952 | 24.159 |
| 3 | -0.50 | 100 | 70 | 0.00 | 0 | 0 | 22996 | 1882 | 12.216 |
| 4 | -0.40 | 100 | 70 | 0.00 | 0 | 0 | 22996 | 2792 | 8.237 |
| 5 | -0.30 | 100 | 70 | 0.00 | 0 | 0 | 22996 | 3680 | 6.249 |
| 6 | 0.28 | 100 | 70 | 0.00 | 0 | 0 | 22996 | -2343 | 9.814 |
| 7 | 0.38 | 100 | 70 | 0.00 | 0 | 0 | 22996 | -2532 | 9.082 |
| 8 | 0.48 | 100 | 70 | 0.00 | 0 | 0 | 22996 | -2691 | 8.546 |
| 9 | 0.57 | 100 | 70 | 0.00 | 0 | 0 | 22996 | -2820 | 8.155 |
| 10 | 0.67 | 100 | 70 | 0.00 | 0 | 0 | 22996 | -2919 | 7.879 |
| 11 | 0.77 | 100 | 70 | 0.00 | 0 | 0 | 22996 | -2987 | 7.698 |
| 12 | 0.86 | 100 | 70 | 0.00 | 0 | 0 | 22996 | -3026 | 7.599 |
| 13 | 0.96 | 100 | 70 | 0.00 | 0 | 0 | 22996 | -3035 | 7.578 |
| 14 | 1.05 | 100 | 70 | 0.00 | 0 | 0 | 22996 | -3013 | 7.631 |
| 15 | 1.15 | 100 | 70 | 0.00 | 0 | 0 | 22996 | -2962 | 7.764 |
| 16 | 1.25 | 100 | 70 | 0.00 | 0 | 0 | 22996 | -2880 | 7.984 |
| 17 | 1.34 | 100 | 70 | 0.00 | 0 | 0 | 22996 | -2769 | 8.306 |
| 18 | 1.44 | 100 | 70 | 0.00 | 0 | 0 | 22996 | -2627 | 8.753 |
| 19 | 1.53 | 100 | 70 | 0.00 | 0 | 0 | 22996 | -2455 | 9.365 |
| 20 | 1.63 | 100 | 70 | 0.00 | 0 | 0 | 22996 | -2254 | 10.204 |
| 21 | 1.73 | 100 | 70 | 0.00 | 0 | 0 | 22996 | -2022 | 11.373 |
| 22 | 1.82 | 100 | 70 | 0.00 | 0 | 0 | 22996 | -1760 | 13.065 |
| 23 | 1.92 | 100 | 70 | 0.00 | 0 | 0 | 22996 | -1468 | 15.663 |
| 24 | 2.02 | 100 | 70 | 0.00 | 0 | 0 | 22996 | -1146 | 20.063 |
| 25 | 2.11 | 100 | 70 | 0.00 | 0 | 0 | 22996 | -794 | 28.955 |
| 26 | 2.21 | 100 | 70 | 0.00 | 0 | 0 | 22996 | -412 | 55.799 |
| 27 | 2.30 | 100 | 70 | 0.00 | 0 | 0 | 22996 | 0 | 100.000 |

Combinazione n° 4 - STR A1-M1-R3

| n° | Y [m] | B [cm] | H [cm] | Afw [cmq] | VRcd [kg] | VRsd [kg] | VRd [kg] | T [kg] | FS |
|----|----------|-----------|-----------|--------------|--------------|--------------|-------------|-----------|---------|
| 1 | -0.70 | 100 | 70 | 0.00 | 0 | 0 | 22996 | 0 | 100.000 |
| 2 | -0.60 | 100 | 70 | 0.00 | 0 | 0 | 22996 | 1213 | 18.965 |
| 3 | -0.50 | 100 | 70 | 0.00 | 0 | 0 | 22996 | 2401 | 9.577 |
| 4 | -0.40 | 100 | 70 | 0.00 | 0 | 0 | 22996 | 3566 | 6.449 |
| 5 | -0.30 | 100 | 70 | 0.00 | 0 | 0 | 22996 | 4707 | 4.886 |
| 6 | 0.28 | 100 | 70 | 0.00 | 0 | 0 | 22996 | -2072 | 11.097 |
| 7 | 0.38 | 100 | 70 | 0.00 | 0 | 0 | 22996 | -2329 | 9.873 |
| 8 | 0.48 | 100 | 70 | 0.00 | 0 | 0 | 22996 | -2551 | 9.015 |
| 9 | 0.57 | 100 | 70 | 0.00 | 0 | 0 | 22996 | -2737 | 8.402 |
| 10 | 0.67 | 100 | 70 | 0.00 | 0 | 0 | 22996 | -2888 | 7.964 |
| 11 | 0.77 | 100 | 70 | 0.00 | 0 | 0 | 22996 | -3002 | 7.659 |
| 12 | 0.86 | 100 | 70 | 0.00 | 0 | 0 | 22996 | -3082 | 7.462 |
| 13 | 0.96 | 100 | 70 | 0.00 | 0 | 0 | 22996 | -3125 | 7.358 |
| 14 | 1.05 | 100 | 70 | 0.00 | 0 | 0 | 22996 | -3134 | 7.339 |
| 15 | 1.15 | 100 | 70 | 0.00 | 0 | 0 | 22996 | -3106 | 7.404 |
| 16 | 1.25 | 100 | 70 | 0.00 | 0 | 0 | 22996 | -3043 | 7.557 |
| 17 | 1.34 | 100 | 70 | 0.00 | 0 | 0 | 22996 | -2944 | 7.811 |
| 18 | 1.44 | 100 | 70 | 0.00 | 0 | 0 | 22996 | -2810 | 8.184 |
| 19 | 1.53 | 100 | 70 | 0.00 | 0 | 0 | 22996 | -2640 | 8.710 |
| 20 | 1.63 | 100 | 70 | 0.00 | 0 | 0 | 22996 | -2435 | 9.445 |
| 21 | 1.73 | 100 | 70 | 0.00 | 0 | 0 | 22996 | -2194 | 10.483 |
| 22 | 1.82 | 100 | 70 | 0.00 | 0 | 0 | 22996 | -1917 | 11.996 |
| 23 | 1.92 | 100 | 70 | 0.00 | 0 | 0 | 22996 | -1605 | 14.330 |
| 24 | 2.02 | 100 | 70 | 0.00 | 0 | 0 | 22996 | -1257 | 18.295 |
| 25 | 2.11 | 100 | 70 | 0.00 | 0 | 0 | 22996 | -874 | 26.324 |
| 26 | 2.21 | 100 | 70 | 0.00 | 0 | 0 | 22996 | -455 | 50.587 |
| 27 | 2.30 | 100 | 70 | 0.00 | 0 | 0 | 22996 | 0 | 100.000 |

Combinazione n° 5 - STR A1-M1-R3

| n° | Y [m] | B [cm] | H [cm] | Afw [cmq] | VRcd [kg] | VRsd [kg] | VRd [kg] | T [kg] | FS |
|----|----------|-----------|-----------|--------------|--------------|--------------|-------------|-----------|---------|
| 1 | -0.70 | 100 | 70 | 0.00 | 0 | 0 | 22996 | 0 | 100.000 |
| 2 | -0.60 | 100 | 70 | 0.00 | 0 | 0 | 22996 | 1130 | 20.359 |
| 3 | -0.50 | 100 | 70 | 0.00 | 0 | 0 | 22996 | 2239 | 10.272 |
| 4 | -0.40 | 100 | 70 | 0.00 | 0 | 0 | 22996 | 3328 | 6.911 |
| 5 | -0.30 | 100 | 70 | 0.00 | 0 | 0 | 22996 | 4396 | 5.231 |
| 6 | 0.28 | 100 | 70 | 0.00 | 0 | 0 | 22996 | -2340 | 9.829 |
| 7 | 0.38 | 100 | 70 | 0.00 | 0 | 0 | 22996 | -2551 | 9.015 |
| 8 | 0.48 | 100 | 70 | 0.00 | 0 | 0 | 22996 | -2730 | 8.424 |
| 9 | 0.57 | 100 | 70 | 0.00 | 0 | 0 | 22996 | -2877 | 7.994 |
| 10 | 0.67 | 100 | 70 | 0.00 | 0 | 0 | 22996 | -2991 | 7.688 |
| 11 | 0.77 | 100 | 70 | 0.00 | 0 | 0 | 22996 | -3073 | 7.482 |
| 12 | 0.86 | 100 | 70 | 0.00 | 0 | 0 | 22996 | -3123 | 7.363 |
| 13 | 0.96 | 100 | 70 | 0.00 | 0 | 0 | 22996 | -3141 | 7.321 |
| 14 | 1.05 | 100 | 70 | 0.00 | 0 | 0 | 22996 | -3126 | 7.356 |

| n° | Y [m] | B [cm] | H [cm] | Afw [cmq] | VRcd [kg] | VRsd [kg] | VRd [kg] | T [kg] | FS |
|----|----------|-----------|-----------|--------------|--------------|--------------|-------------|-----------|---------|
| 15 | 1.15 | 100 | 70 | 0.00 | 0 | 0 | 22996 | -3080 | 7.467 |
| 16 | 1.25 | 100 | 70 | 0.00 | 0 | 0 | 22996 | -3000 | 7.664 |
| 17 | 1.34 | 100 | 70 | 0.00 | 0 | 0 | 22996 | -2889 | 7.960 |
| 18 | 1.44 | 100 | 70 | 0.00 | 0 | 0 | 22996 | -2745 | 8.377 |
| 19 | 1.53 | 100 | 70 | 0.00 | 0 | 0 | 22996 | -2569 | 8.950 |
| 20 | 1.63 | 100 | 70 | 0.00 | 0 | 0 | 22996 | -2361 | 9.740 |
| 21 | 1.73 | 100 | 70 | 0.00 | 0 | 0 | 22996 | -2121 | 10.844 |
| 22 | 1.82 | 100 | 70 | 0.00 | 0 | 0 | 22996 | -1848 | 12.445 |
| 23 | 1.92 | 100 | 70 | 0.00 | 0 | 0 | 22996 | -1543 | 14.905 |
| 24 | 2.02 | 100 | 70 | 0.00 | 0 | 0 | 22996 | -1206 | 19.076 |
| 25 | 2.11 | 100 | 70 | 0.00 | 0 | 0 | 22996 | -836 | 27.509 |
| 26 | 2.21 | 100 | 70 | 0.00 | 0 | 0 | 22996 | -434 | 52.973 |
| 27 | 2.30 | 100 | 70 | 0.00 | 0 | 0 | 22996 | 0 | 100.000 |

Combinazione n° 6 - STR A1-M1-R3

| n° | Y [m] | B [cm] | H [cm] | Afw [cmq] | VRcd [kg] | VRsd [kg] | VRd [kg] | T [kg] | FS |
|----|----------|-----------|-----------|--------------|--------------|--------------|-------------|-----------|---------|
| 1 | -0.70 | 100 | 70 | 0.00 | 0 | 0 | 22996 | 0 | 100.000 |
| 2 | -0.60 | 100 | 70 | 0.00 | 0 | 0 | 22996 | 1204 | 19.100 |
| 3 | -0.50 | 100 | 70 | 0.00 | 0 | 0 | 22996 | 2375 | 9.683 |
| 4 | -0.40 | 100 | 70 | 0.00 | 0 | 0 | 22996 | 3513 | 6.546 |
| 5 | -0.30 | 100 | 70 | 0.00 | 0 | 0 | 22996 | 4618 | 4.980 |
| 6 | 0.28 | 100 | 70 | 0.00 | 0 | 0 | 22996 | -5788 | 3.973 |
| 7 | 0.38 | 100 | 70 | 0.00 | 0 | 0 | 22996 | -5951 | 3.864 |
| 8 | 0.48 | 100 | 70 | 0.00 | 0 | 0 | 22996 | -6071 | 3.788 |
| 9 | 0.57 | 100 | 70 | 0.00 | 0 | 0 | 22996 | -6147 | 3.741 |
| 10 | 0.67 | 100 | 70 | 0.00 | 0 | 0 | 22996 | -6179 | 3.722 |
| 11 | 0.77 | 100 | 70 | 0.00 | 0 | 0 | 22996 | -6167 | 3.729 |
| 12 | 0.86 | 100 | 70 | 0.00 | 0 | 0 | 22996 | -6111 | 3.763 |
| 13 | 0.96 | 100 | 70 | 0.00 | 0 | 0 | 22996 | -6011 | 3.826 |
| 14 | 1.05 | 100 | 70 | 0.00 | 0 | 0 | 22996 | -5867 | 3.919 |
| 15 | 1.15 | 100 | 70 | 0.00 | 0 | 0 | 22996 | -5680 | 4.049 |
| 16 | 1.25 | 100 | 70 | 0.00 | 0 | 0 | 22996 | -5448 | 4.221 |
| 17 | 1.34 | 100 | 70 | 0.00 | 0 | 0 | 22996 | -5172 | 4.446 |
| 18 | 1.44 | 100 | 70 | 0.00 | 0 | 0 | 22996 | -4853 | 4.739 |
| 19 | 1.53 | 100 | 70 | 0.00 | 0 | 0 | 22996 | -4489 | 5.122 |
| 20 | 1.63 | 100 | 70 | 0.00 | 0 | 0 | 22996 | -4082 | 5.634 |
| 21 | 1.73 | 100 | 70 | 0.00 | 0 | 0 | 22996 | -3631 | 6.334 |
| 22 | 1.82 | 100 | 70 | 0.00 | 0 | 0 | 22996 | -3135 | 7.334 |
| 23 | 1.92 | 100 | 70 | 0.00 | 0 | 0 | 22996 | -2596 | 8.858 |
| 24 | 2.02 | 100 | 70 | 0.00 | 0 | 0 | 22996 | -2013 | 11.423 |
| 25 | 2.11 | 100 | 70 | 0.00 | 0 | 0 | 22996 | -1386 | 16.592 |
| 26 | 2.21 | 100 | 70 | 0.00 | 0 | 0 | 22996 | -715 | 32.164 |
| 27 | 2.30 | 100 | 70 | 0.00 | 0 | 0 | 22996 | 0 | 100.000 |

12.8.5 Verifica delle tensioni

Simbologia adottata

| | |
|---------------|---|
| n° | indice sezione |
| Y | ordinata sezione espressa in [m] |
| B | larghezza sezione espresso in [cm] |
| H | altezza sezione espressa in [cm] |
| Afi | area ferri inferiori espresso in [cmq] |
| Afs | area ferri superiori espressa in [cmq] |
| M | momento agente espressa in [kgm] |
| N | sforzo normale agente espressa in [kg] |
| σ_c | area ferri a taglio espresso in [kg/cmq] |
| σ_{fi} | resistenza di progetto a 'taglio compressione' espressa in [kg/cmq] |
| σ_{fs} | resistenza di progetto a 'taglio trazione' espressa in [kg/cmq] |

Paramento

Combinazione n° 13 - SLER

| n° | Y [m] | B [cm] | H [cm] | Afi [cmq] | Afs [cmq] | M [kgm] | N [kg] | σ_c [kg/cmq] J | σ_{fi} [kg/cmq] J | σ_{fs} [kg/cmq] J |
|----|----------|-----------|-----------|--------------|--------------|------------|-----------|-----------------------------|--------------------------------|--------------------------------|
| 1 | 0.00 | 100 | 30 | 10.05 | 5.65 | 0 | 0 | 0.00 | 0.00 | 0.00 |
| 2 | -0.14 | 100 | 31 | 10.05 | 5.65 | 0 | 110 | 0.04 | 0.47 | 0.52 |
| 3 | -0.28 | 100 | 33 | 10.05 | 5.65 | 2 | 232 | 0.08 | 0.87 | 1.11 |
| 4 | -0.42 | 100 | 34 | 10.05 | 5.65 | 6 | 368 | 0.13 | 1.16 | 1.87 |
| 5 | -0.56 | 100 | 36 | 10.05 | 5.65 | 17 | 521 | 0.21 | 1.25 | 2.89 |
| 6 | -0.70 | 100 | 37 | 10.05 | 5.65 | 36 | 692 | 0.32 | 1.04 | 4.27 |
| 7 | -0.84 | 100 | 39 | 10.05 | 5.65 | 67 | 879 | 0.47 | 0.38 | 6.12 |
| 8 | -0.98 | 100 | 40 | 10.05 | 5.65 | 114 | 1081 | 0.70 | 1.67 | 8.70 |
| 9 | -1.12 | 100 | 41 | 10.05 | 5.65 | 179 | 1297 | 1.02 | 6.53 | 12.25 |
| 10 | -1.26 | 100 | 43 | 10.05 | 5.65 | 265 | 1527 | 1.44 | 15.57 | 16.75 |
| 11 | -1.40 | 100 | 44 | 10.05 | 5.65 | 374 | 1770 | 1.97 | 29.38 | 22.07 |
| 12 | -1.54 | 100 | 46 | 10.05 | 5.65 | 508 | 2027 | 2.59 | 47.97 | 28.12 |
| 13 | -1.68 | 100 | 47 | 10.05 | 5.65 | 671 | 2296 | 3.28 | 71.24 | 34.85 |
| 14 | -1.82 | 100 | 48 | 10.05 | 5.65 | 863 | 2577 | 4.04 | 99.09 | 42.25 |
| 15 | -1.96 | 100 | 50 | 10.05 | 5.65 | 1087 | 2871 | 4.87 | 131.46 | 50.30 |
| 16 | -2.10 | 100 | 51 | 10.05 | 11.31 | 1345 | 3177 | 5.51 | 166.80 | 55.68 |
| 17 | -2.24 | 100 | 53 | 10.05 | 11.31 | 1639 | 3494 | 6.42 | 207.91 | 64.48 |
| 18 | -2.38 | 100 | 54 | 10.05 | 5.65 | 1970 | 3823 | 7.74 | 255.14 | 78.29 |
| 19 | -2.52 | 100 | 56 | 10.05 | 5.65 | 2341 | 4164 | 8.80 | 305.07 | 88.86 |
| 20 | -2.66 | 100 | 57 | 10.05 | 5.65 | 2754 | 4516 | 9.92 | 359.28 | 100.03 |
| 21 | -2.80 | 100 | 58 | 10.05 | 5.65 | 3210 | 4880 | 11.10 | 417.71 | 111.78 |

Combinazione n° 14 - SLEF

| n° | Y [m] | B [cm] | H [cm] | Afi [cmq] | Afs [cmq] | M [kgm] | N [kg] | σ_c [kg/cmq] J | σ_{fi} [kg/cmq] J | σ_{fs} [kg/cmq] J |
|----|----------|-----------|-----------|--------------|--------------|------------|-----------|-----------------------------|--------------------------------|--------------------------------|
| 1 | 0.00 | 100 | 30 | 10.05 | 5.65 | 0 | 0 | 0.00 | 0.00 | 0.00 |

Progetto Esecutivo

| n° | Y | B | H | Afi | Afs | M | N | σc | σfi | σfs |
|----|-------|------|------|-------|-------|-------|------|----------|----------|----------|
| | [m] | [cm] | [cm] | [cmq] | [cmq] | [kgm] | [kg] | [kg/cmq] | [kg/cmq] | [kg/cmq] |
| 2 | -0.14 | 100 | 31 | 10.05 | 5.65 | 0 | 110 | 0.04 | 0.47 | 0.52 |
| 3 | -0.28 | 100 | 33 | 10.05 | 5.65 | 2 | 232 | 0.08 | 0.87 | 1.11 |
| 4 | -0.42 | 100 | 34 | 10.05 | 5.65 | 6 | 368 | 0.13 | 1.16 | 1.87 |
| 5 | -0.56 | 100 | 36 | 10.05 | 5.65 | 17 | 521 | 0.21 | 1.25 | 2.89 |
| 6 | -0.70 | 100 | 37 | 10.05 | 5.65 | 36 | 692 | 0.32 | 1.04 | 4.27 |
| 7 | -0.84 | 100 | 39 | 10.05 | 5.65 | 67 | 879 | 0.47 | 0.38 | 6.12 |
| 8 | -0.98 | 100 | 40 | 10.05 | 5.65 | 114 | 1081 | 0.70 | 1.67 | 8.70 |
| 9 | -1.12 | 100 | 41 | 10.05 | 5.65 | 179 | 1297 | 1.02 | 6.53 | 12.25 |
| 10 | -1.26 | 100 | 43 | 10.05 | 5.65 | 265 | 1527 | 1.44 | 15.57 | 16.75 |
| 11 | -1.40 | 100 | 44 | 10.05 | 5.65 | 374 | 1770 | 1.97 | 29.38 | 22.07 |
| 12 | -1.54 | 100 | 46 | 10.05 | 5.65 | 508 | 2027 | 2.59 | 47.97 | 28.12 |
| 13 | -1.68 | 100 | 47 | 10.05 | 5.65 | 671 | 2296 | 3.28 | 71.24 | 34.85 |
| 14 | -1.82 | 100 | 48 | 10.05 | 5.65 | 863 | 2577 | 4.04 | 99.09 | 42.25 |
| 15 | -1.96 | 100 | 50 | 10.05 | 5.65 | 1087 | 2871 | 4.87 | 131.46 | 50.30 |
| 16 | -2.10 | 100 | 51 | 10.05 | 11.31 | 1345 | 3177 | 5.51 | 166.80 | 55.68 |
| 17 | -2.24 | 100 | 53 | 10.05 | 11.31 | 1639 | 3494 | 6.42 | 207.91 | 64.48 |
| 18 | -2.38 | 100 | 54 | 10.05 | 5.65 | 1970 | 3823 | 7.74 | 255.14 | 78.29 |
| 19 | -2.52 | 100 | 56 | 10.05 | 5.65 | 2341 | 4164 | 8.80 | 305.07 | 88.86 |
| 20 | -2.66 | 100 | 57 | 10.05 | 5.65 | 2754 | 4516 | 9.92 | 359.28 | 100.03 |
| 21 | -2.80 | 100 | 58 | 10.05 | 5.65 | 3210 | 4880 | 11.10 | 417.71 | 111.78 |

Combinazione n° 15 - SLEQ

| n° | Y | B | H | Afi | Afs | M | N | σc | σfi | σfs |
|----|-------|------|------|-------|-------|-------|------|----------|----------|----------|
| | [m] | [cm] | [cm] | [cmq] | [cmq] | [kgm] | [kg] | [kg/cmq] | [kg/cmq] | [kg/cmq] |
| 1 | 0.00 | 100 | 30 | 10.05 | 5.65 | 0 | 0 | 0.00 | 0.00 | 0.00 |
| 2 | -0.14 | 100 | 31 | 10.05 | 5.65 | 0 | 110 | 0.04 | 0.47 | 0.52 |
| 3 | -0.28 | 100 | 33 | 10.05 | 5.65 | 2 | 232 | 0.08 | 0.87 | 1.11 |
| 4 | -0.42 | 100 | 34 | 10.05 | 5.65 | 6 | 368 | 0.13 | 1.16 | 1.87 |
| 5 | -0.56 | 100 | 36 | 10.05 | 5.65 | 17 | 521 | 0.21 | 1.25 | 2.89 |
| 6 | -0.70 | 100 | 37 | 10.05 | 5.65 | 36 | 692 | 0.32 | 1.04 | 4.27 |
| 7 | -0.84 | 100 | 39 | 10.05 | 5.65 | 67 | 879 | 0.47 | 0.38 | 6.12 |
| 8 | -0.98 | 100 | 40 | 10.05 | 5.65 | 114 | 1081 | 0.70 | 1.67 | 8.70 |
| 9 | -1.12 | 100 | 41 | 10.05 | 5.65 | 179 | 1297 | 1.02 | 6.53 | 12.25 |
| 10 | -1.26 | 100 | 43 | 10.05 | 5.65 | 265 | 1527 | 1.44 | 15.57 | 16.75 |
| 11 | -1.40 | 100 | 44 | 10.05 | 5.65 | 374 | 1770 | 1.97 | 29.38 | 22.07 |
| 12 | -1.54 | 100 | 46 | 10.05 | 5.65 | 508 | 2027 | 2.59 | 47.97 | 28.12 |
| 13 | -1.68 | 100 | 47 | 10.05 | 5.65 | 671 | 2296 | 3.28 | 71.24 | 34.85 |
| 14 | -1.82 | 100 | 48 | 10.05 | 5.65 | 863 | 2577 | 4.04 | 99.09 | 42.25 |
| 15 | -1.96 | 100 | 50 | 10.05 | 5.65 | 1087 | 2871 | 4.87 | 131.46 | 50.30 |
| 16 | -2.10 | 100 | 51 | 10.05 | 11.31 | 1345 | 3177 | 5.51 | 166.80 | 55.68 |
| 17 | -2.24 | 100 | 53 | 10.05 | 11.31 | 1639 | 3494 | 6.42 | 207.91 | 64.48 |
| 18 | -2.38 | 100 | 54 | 10.05 | 5.65 | 1970 | 3823 | 7.74 | 255.14 | 78.29 |
| 19 | -2.52 | 100 | 56 | 10.05 | 5.65 | 2341 | 4164 | 8.80 | 305.07 | 88.86 |
| 20 | -2.66 | 100 | 57 | 10.05 | 5.65 | 2754 | 4516 | 9.92 | 359.28 | 100.03 |
| 21 | -2.80 | 100 | 58 | 10.05 | 5.65 | 3210 | 4880 | 11.10 | 417.71 | 111.78 |

Combinazione n° 16 - SLEQ

| n° | Y [m] | B [cm] | H [cm] | Afi [cmq] | Afs [cmq] | M [kgm] | N [kg] | σc [kg/cmq] J | σfi [kg/cmq] J | σfs [kg/cmq] J |
|----|----------|-----------|-----------|--------------|--------------|------------|-----------|---------------------|----------------------|----------------------|
| 1 | 0.00 | 100 | 30 | 10.05 | 5.65 | 0 | 0 | 0.00 | 0.00 | 0.00 |
| 2 | -0.14 | 100 | 31 | 10.05 | 5.65 | 0 | 115 | 0.04 | 0.48 | 0.54 |
| 3 | -0.28 | 100 | 33 | 10.05 | 5.65 | 4 | 242 | 0.09 | 0.82 | 1.25 |
| 4 | -0.42 | 100 | 34 | 10.05 | 5.65 | 12 | 384 | 0.16 | 0.96 | 2.20 |
| 5 | -0.56 | 100 | 36 | 10.05 | 5.65 | 27 | 542 | 0.27 | 0.85 | 3.47 |
| 6 | -0.70 | 100 | 37 | 10.05 | 5.65 | 53 | 718 | 0.40 | 0.33 | 5.16 |
| 7 | -0.84 | 100 | 39 | 10.05 | 5.65 | 93 | 910 | 0.61 | 1.47 | 7.57 |
| 8 | -0.98 | 100 | 40 | 10.05 | 5.65 | 150 | 1117 | 0.92 | 5.97 | 10.91 |
| 9 | -1.12 | 100 | 41 | 10.05 | 5.65 | 228 | 1338 | 1.33 | 14.54 | 15.20 |
| 10 | -1.26 | 100 | 43 | 10.05 | 5.65 | 327 | 1573 | 1.84 | 27.80 | 20.32 |
| 11 | -1.40 | 100 | 44 | 10.05 | 5.65 | 452 | 1822 | 2.45 | 45.86 | 26.19 |
| 12 | -1.54 | 100 | 46 | 10.05 | 5.65 | 604 | 2083 | 3.13 | 68.66 | 32.78 |
| 13 | -1.68 | 100 | 47 | 10.05 | 5.65 | 786 | 2358 | 3.90 | 96.14 | 40.06 |
| 14 | -1.82 | 100 | 48 | 10.05 | 5.65 | 999 | 2644 | 4.73 | 128.27 | 48.04 |
| 15 | -1.96 | 100 | 50 | 10.05 | 5.65 | 1246 | 2943 | 5.63 | 165.00 | 56.69 |
| 16 | -2.10 | 100 | 51 | 10.05 | 11.31 | 1529 | 3254 | 6.30 | 204.83 | 62.22 |
| 17 | -2.24 | 100 | 53 | 10.05 | 11.31 | 1850 | 3577 | 7.29 | 250.49 | 71.62 |
| 18 | -2.38 | 100 | 54 | 10.05 | 5.65 | 2210 | 3911 | 8.71 | 302.36 | 86.61 |
| 19 | -2.52 | 100 | 56 | 10.05 | 5.65 | 2612 | 4257 | 9.85 | 357.06 | 97.86 |
| 20 | -2.66 | 100 | 57 | 10.05 | 5.65 | 3057 | 4614 | 11.04 | 416.13 | 109.72 |
| 21 | -2.80 | 100 | 58 | 10.05 | 5.65 | 3547 | 4983 | 12.28 | 479.52 | 122.17 |

Combinazione n° 17 - SLEQ

| n° | Y [m] | B [cm] | H [cm] | Afi [cmq] | Afs [cmq] | M [kgm] | N [kg] | σc [kg/cmq] J | σfi [kg/cmq] J | σfs [kg/cmq] J |
|----|----------|-----------|-----------|--------------|--------------|------------|-----------|---------------------|----------------------|----------------------|
| 1 | 0.00 | 100 | 30 | 10.05 | 5.65 | 0 | 0 | 0.00 | 0.00 | 0.00 |
| 2 | -0.14 | 100 | 31 | 10.05 | 5.65 | 0 | 114 | 0.04 | 0.48 | 0.54 |
| 3 | -0.28 | 100 | 33 | 10.05 | 5.65 | 3 | 239 | 0.09 | 0.83 | 1.22 |
| 4 | -0.42 | 100 | 34 | 10.05 | 5.65 | 10 | 379 | 0.16 | 1.01 | 2.12 |
| 5 | -0.56 | 100 | 36 | 10.05 | 5.65 | 25 | 536 | 0.25 | 0.94 | 3.32 |
| 6 | -0.70 | 100 | 37 | 10.05 | 5.65 | 49 | 710 | 0.38 | 0.53 | 4.93 |
| 7 | -0.84 | 100 | 39 | 10.05 | 5.65 | 87 | 900 | 0.57 | 0.92 | 7.18 |
| 8 | -0.98 | 100 | 40 | 10.05 | 5.65 | 141 | 1106 | 0.86 | 4.73 | 10.34 |
| 9 | -1.12 | 100 | 41 | 10.05 | 5.65 | 215 | 1325 | 1.25 | 12.38 | 14.46 |
| 10 | -1.26 | 100 | 43 | 10.05 | 5.65 | 312 | 1559 | 1.74 | 24.66 | 19.44 |
| 11 | -1.40 | 100 | 44 | 10.05 | 5.65 | 433 | 1806 | 2.33 | 41.72 | 25.18 |
| 12 | -1.54 | 100 | 46 | 10.05 | 5.65 | 580 | 2066 | 3.00 | 63.53 | 31.63 |
| 13 | -1.68 | 100 | 47 | 10.05 | 5.65 | 757 | 2339 | 3.74 | 90.00 | 38.77 |
| 14 | -1.82 | 100 | 48 | 10.05 | 5.65 | 965 | 2624 | 4.56 | 121.11 | 46.60 |
| 15 | -1.96 | 100 | 50 | 10.05 | 5.65 | 1207 | 2921 | 5.44 | 156.79 | 55.10 |
| 16 | -2.10 | 100 | 51 | 10.05 | 11.31 | 1483 | 3230 | 6.11 | 195.55 | 60.59 |
| 17 | -2.24 | 100 | 53 | 10.05 | 11.31 | 1797 | 3551 | 7.07 | 240.11 | 69.84 |

| n° | Y | B | H | Afi | Afs | M | N | σc | σfi | σfs |
|----|-------|------|------|-------|-------|-------|------|----------|----------|----------|
| | [m] | [cm] | [cm] | [cmq] | [cmq] | [kgm] | [kg] | [kg/cmq] | [kg/cmq] | [kg/cmq] |
| 18 | -2.38 | 100 | 54 | 10.05 | 5.65 | 2151 | 3884 | 8.47 | 290.87 | 84.54 |
| 19 | -2.52 | 100 | 56 | 10.05 | 5.65 | 2545 | 4228 | 9.59 | 344.43 | 95.62 |
| 20 | -2.66 | 100 | 57 | 10.05 | 5.65 | 2982 | 4584 | 10.77 | 402.34 | 107.31 |
| 21 | -2.80 | 100 | 58 | 10.05 | 5.65 | 3464 | 4951 | 11.99 | 464.56 | 119.59 |

Fondazione

Combinazione n° 13 - SLER

| n° | Y | B | H | Afi | Afs | M | N | σc | σfi | σfs |
|----|-------|------|------|-------|-------|-------|------|----------|----------|----------|
| | [m] | [cm] | [cm] | [cmq] | [cmq] | [kgm] | [kg] | [kg/cmq] | [kg/cmq] | [kg/cmq] |
| 1 | -0.70 | 100 | 70 | 10.05 | 10.05 | 0 | 0 | 0.00 | 0.00 | 0.00 |
| 2 | -0.60 | 100 | 70 | 10.05 | 10.05 | 47 | 0 | 0.11 | 7.61 | 0.98 |
| 3 | -0.50 | 100 | 70 | 10.05 | 10.05 | 185 | 0 | 0.45 | 30.24 | 3.88 |
| 4 | -0.40 | 100 | 70 | 10.05 | 10.05 | 414 | 0 | 1.00 | 67.60 | 8.67 |
| 5 | -0.30 | 100 | 70 | 10.05 | 10.05 | 731 | 0 | 1.77 | 119.39 | 15.32 |
| 6 | 0.28 | 100 | 70 | 10.05 | 10.05 | -3621 | 0 | 8.76 | 75.86 | 591.21 |
| 7 | 0.38 | 100 | 70 | 10.05 | 10.05 | -3459 | 0 | 8.37 | 72.46 | 564.71 |
| 8 | 0.48 | 100 | 70 | 10.05 | 10.05 | -3279 | 0 | 7.94 | 68.70 | 535.35 |
| 9 | 0.57 | 100 | 70 | 10.05 | 10.05 | -3084 | 0 | 7.46 | 64.61 | 503.54 |
| 10 | 0.67 | 100 | 70 | 10.05 | 10.05 | -2877 | 0 | 6.96 | 60.27 | 469.71 |
| 11 | 0.77 | 100 | 70 | 10.05 | 10.05 | -2660 | 0 | 6.44 | 55.73 | 434.30 |
| 12 | 0.86 | 100 | 70 | 10.05 | 10.05 | -2436 | 0 | 5.90 | 51.04 | 397.72 |
| 13 | 0.96 | 100 | 70 | 10.05 | 10.05 | -2207 | 0 | 5.34 | 46.25 | 360.41 |
| 14 | 1.05 | 100 | 70 | 10.05 | 10.05 | -1977 | 0 | 4.78 | 41.42 | 322.79 |
| 15 | 1.15 | 100 | 70 | 10.05 | 10.05 | -1747 | 0 | 4.23 | 36.61 | 285.29 |
| 16 | 1.25 | 100 | 70 | 10.05 | 10.05 | -1521 | 0 | 3.68 | 31.87 | 248.34 |
| 17 | 1.34 | 100 | 70 | 10.05 | 10.05 | -1301 | 0 | 3.15 | 27.25 | 212.35 |
| 18 | 1.44 | 100 | 70 | 10.05 | 10.05 | -1089 | 0 | 2.64 | 22.81 | 177.77 |
| 19 | 1.53 | 100 | 70 | 10.05 | 10.05 | -888 | 0 | 2.15 | 18.61 | 145.02 |
| 20 | 1.63 | 100 | 70 | 10.05 | 10.05 | -701 | 0 | 1.70 | 14.69 | 114.52 |
| 21 | 1.73 | 100 | 70 | 10.05 | 10.05 | -531 | 0 | 1.29 | 11.12 | 86.70 |
| 22 | 1.82 | 100 | 70 | 10.05 | 10.05 | -380 | 0 | 0.92 | 7.95 | 61.99 |
| 23 | 1.92 | 100 | 70 | 10.05 | 10.05 | -250 | 0 | 0.60 | 5.24 | 40.81 |
| 24 | 2.02 | 100 | 70 | 10.05 | 10.05 | -145 | 0 | 0.35 | 3.03 | 23.60 |
| 25 | 2.11 | 100 | 70 | 10.05 | 10.05 | -66 | 0 | 0.16 | 1.38 | 10.77 |
| 26 | 2.21 | 100 | 70 | 10.05 | 10.05 | -17 | 0 | 0.04 | 0.35 | 2.76 |
| 27 | 2.30 | 100 | 70 | 10.05 | 10.05 | 0 | 0 | 0.00 | 0.00 | 0.00 |

Combinazione n° 14 - SLEF

| n° | Y | B | H | Afi | Afs | M | N | σc | σfi | σfs |
|----|-------|------|------|-------|-------|-------|------|----------|----------|----------|
| | [m] | [cm] | [cm] | [cmq] | [cmq] | [kgm] | [kg] | [kg/cmq] | [kg/cmq] | [kg/cmq] |
| 1 | -0.70 | 100 | 70 | 10.05 | 10.05 | 0 | 0 | 0.00 | 0.00 | 0.00 |

Progetto Esecutivo

| n° | Y | B | H | Afi | Afs | M | N | σc | σfi | σfs |
|----|-------|------|------|-------|-------|-------|------|----------|----------|----------|
| | [m] | [cm] | [cm] | [cmq] | [cmq] | [kgm] | [kg] | [kg/cmq] | [kg/cmq] | [kg/cmq] |
| 2 | -0.60 | 100 | 70 | 10.05 | 10.05 | 45 | 0 | 0.11 | 7.43 | 0.95 |
| 3 | -0.50 | 100 | 70 | 10.05 | 10.05 | 181 | 0 | 0.44 | 29.52 | 3.79 |
| 4 | -0.40 | 100 | 70 | 10.05 | 10.05 | 404 | 0 | 0.98 | 66.00 | 8.47 |
| 5 | -0.30 | 100 | 70 | 10.05 | 10.05 | 714 | 0 | 1.73 | 116.60 | 14.96 |
| 6 | 0.28 | 100 | 70 | 10.05 | 10.05 | -3490 | 0 | 8.45 | 73.13 | 569.91 |
| 7 | 0.38 | 100 | 70 | 10.05 | 10.05 | -3333 | 0 | 8.07 | 69.83 | 544.17 |
| 8 | 0.48 | 100 | 70 | 10.05 | 10.05 | -3159 | 0 | 7.64 | 66.18 | 515.71 |
| 9 | 0.57 | 100 | 70 | 10.05 | 10.05 | -2970 | 0 | 7.19 | 62.23 | 484.92 |
| 10 | 0.67 | 100 | 70 | 10.05 | 10.05 | -2770 | 0 | 6.70 | 58.03 | 452.22 |
| 11 | 0.77 | 100 | 70 | 10.05 | 10.05 | -2560 | 0 | 6.20 | 53.64 | 418.02 |
| 12 | 0.86 | 100 | 70 | 10.05 | 10.05 | -2344 | 0 | 5.67 | 49.11 | 382.73 |
| 13 | 0.96 | 100 | 70 | 10.05 | 10.05 | -2124 | 0 | 5.14 | 44.50 | 346.75 |
| 14 | 1.05 | 100 | 70 | 10.05 | 10.05 | -1902 | 0 | 4.60 | 39.84 | 310.50 |
| 15 | 1.15 | 100 | 70 | 10.05 | 10.05 | -1680 | 0 | 4.07 | 35.21 | 274.37 |
| 16 | 1.25 | 100 | 70 | 10.05 | 10.05 | -1463 | 0 | 3.54 | 30.64 | 238.79 |
| 17 | 1.34 | 100 | 70 | 10.05 | 10.05 | -1250 | 0 | 3.03 | 26.20 | 204.16 |
| 18 | 1.44 | 100 | 70 | 10.05 | 10.05 | -1047 | 0 | 2.53 | 21.93 | 170.89 |
| 19 | 1.53 | 100 | 70 | 10.05 | 10.05 | -854 | 0 | 2.07 | 17.89 | 139.38 |
| 20 | 1.63 | 100 | 70 | 10.05 | 10.05 | -674 | 0 | 1.63 | 14.12 | 110.05 |
| 21 | 1.73 | 100 | 70 | 10.05 | 10.05 | -510 | 0 | 1.23 | 10.69 | 83.31 |
| 22 | 1.82 | 100 | 70 | 10.05 | 10.05 | -365 | 0 | 0.88 | 7.64 | 59.56 |
| 23 | 1.92 | 100 | 70 | 10.05 | 10.05 | -240 | 0 | 0.58 | 5.03 | 39.21 |
| 24 | 2.02 | 100 | 70 | 10.05 | 10.05 | -139 | 0 | 0.34 | 2.91 | 22.67 |
| 25 | 2.11 | 100 | 70 | 10.05 | 10.05 | -63 | 0 | 0.15 | 1.33 | 10.35 |
| 26 | 2.21 | 100 | 70 | 10.05 | 10.05 | -16 | 0 | 0.04 | 0.34 | 2.65 |
| 27 | 2.30 | 100 | 70 | 10.05 | 10.05 | 0 | 0 | 0.00 | 0.00 | 0.00 |

Combinazione n° 15 - SLEQ

| n° | Y | B | H | Afi | Afs | M | N | σc | σfi | σfs |
|----|-------|------|------|-------|-------|-------|------|----------|----------|----------|
| | [m] | [cm] | [cm] | [cmq] | [cmq] | [kgm] | [kg] | [kg/cmq] | [kg/cmq] | [kg/cmq] |
| 1 | -0.70 | 100 | 70 | 10.05 | 10.05 | 0 | 0 | 0.00 | 0.00 | 0.00 |
| 2 | -0.60 | 100 | 70 | 10.05 | 10.05 | 43 | 0 | 0.10 | 6.98 | 0.90 |
| 3 | -0.50 | 100 | 70 | 10.05 | 10.05 | 170 | 0 | 0.41 | 27.77 | 3.56 |
| 4 | -0.40 | 100 | 70 | 10.05 | 10.05 | 381 | 0 | 0.92 | 62.14 | 7.97 |
| 5 | -0.30 | 100 | 70 | 10.05 | 10.05 | 673 | 0 | 1.63 | 109.86 | 14.10 |
| 6 | 0.28 | 100 | 70 | 10.05 | 10.05 | -3230 | 0 | 7.82 | 67.68 | 527.42 |
| 7 | 0.38 | 100 | 70 | 10.05 | 10.05 | -3079 | 0 | 7.45 | 64.52 | 502.80 |
| 8 | 0.48 | 100 | 70 | 10.05 | 10.05 | -2914 | 0 | 7.05 | 61.06 | 475.81 |
| 9 | 0.57 | 100 | 70 | 10.05 | 10.05 | -2737 | 0 | 6.62 | 57.34 | 446.82 |
| 10 | 0.67 | 100 | 70 | 10.05 | 10.05 | -2549 | 0 | 6.17 | 53.41 | 416.19 |
| 11 | 0.77 | 100 | 70 | 10.05 | 10.05 | -2354 | 0 | 5.70 | 49.31 | 384.29 |
| 12 | 0.86 | 100 | 70 | 10.05 | 10.05 | -2153 | 0 | 5.21 | 45.10 | 351.49 |
| 13 | 0.96 | 100 | 70 | 10.05 | 10.05 | -1949 | 0 | 4.72 | 40.82 | 318.14 |
| 14 | 1.05 | 100 | 70 | 10.05 | 10.05 | -1743 | 0 | 4.22 | 36.52 | 284.63 |
| 15 | 1.15 | 100 | 70 | 10.05 | 10.05 | -1539 | 0 | 3.73 | 32.25 | 251.32 |
| 16 | 1.25 | 100 | 70 | 10.05 | 10.05 | -1339 | 0 | 3.24 | 28.05 | 218.56 |

Scatolare pk 148+140 - TS10 SU S15 - Relazione tecnica e di calcolo

133

RTI di progettazione:



Mandataria

Via G.B. Sammartini n°5
20125 - Milano
Tel. 02 6787911
email: mail@proiter.it



Mandante

Via Artemide n°3
92100 Agrigento
Tel. 0922 421007
email: deltaingegneria@pec.it

| n° | Y | B | H | Afi | Afs | M | N | σc | σfi | σfs |
|----|------|------|------|-------|-------|-------|------|----------|----------|----------|
| | [m] | [cm] | [cm] | [cmq] | [cmq] | [kgm] | [kg] | [kg/cmq] | [kg/cmq] | [kg/cmq] |
| 17 | 1.34 | 100 | 70 | 10.05 | 10.05 | -1144 | 0 | 2.77 | 23.96 | 186.73 |
| 18 | 1.44 | 100 | 70 | 10.05 | 10.05 | -957 | 0 | 2.32 | 20.04 | 156.20 |
| 19 | 1.53 | 100 | 70 | 10.05 | 10.05 | -780 | 0 | 1.89 | 16.34 | 127.32 |
| 20 | 1.63 | 100 | 70 | 10.05 | 10.05 | -615 | 0 | 1.49 | 12.89 | 100.47 |
| 21 | 1.73 | 100 | 70 | 10.05 | 10.05 | -466 | 0 | 1.13 | 9.75 | 76.01 |
| 22 | 1.82 | 100 | 70 | 10.05 | 10.05 | -333 | 0 | 0.81 | 6.97 | 54.31 |
| 23 | 1.92 | 100 | 70 | 10.05 | 10.05 | -219 | 0 | 0.53 | 4.59 | 35.74 |
| 24 | 2.02 | 100 | 70 | 10.05 | 10.05 | -126 | 0 | 0.31 | 2.65 | 20.65 |
| 25 | 2.11 | 100 | 70 | 10.05 | 10.05 | -58 | 0 | 0.14 | 1.21 | 9.42 |
| 26 | 2.21 | 100 | 70 | 10.05 | 10.05 | -15 | 0 | 0.04 | 0.31 | 2.42 |
| 27 | 2.30 | 100 | 70 | 10.05 | 10.05 | 0 | 0 | 0.00 | 0.00 | 0.00 |

Combinazione n° 16 - SLEQ

| n° | Y | B | H | Afi | Afs | M | N | σc | σfi | σfs |
|----|-------|------|------|-------|-------|-------|------|----------|----------|----------|
| | [m] | [cm] | [cm] | [cmq] | [cmq] | [kgm] | [kg] | [kg/cmq] | [kg/cmq] | [kg/cmq] |
| 1 | -0.70 | 100 | 70 | 10.05 | 10.05 | 0 | 0 | 0.00 | 0.00 | 0.00 |
| 2 | -0.60 | 100 | 70 | 10.05 | 10.05 | 47 | 0 | 0.11 | 7.67 | 0.98 |
| 3 | -0.50 | 100 | 70 | 10.05 | 10.05 | 187 | 0 | 0.45 | 30.48 | 3.91 |
| 4 | -0.40 | 100 | 70 | 10.05 | 10.05 | 417 | 0 | 1.01 | 68.11 | 8.74 |
| 5 | -0.30 | 100 | 70 | 10.05 | 10.05 | 737 | 0 | 1.78 | 120.25 | 15.43 |
| 6 | 0.28 | 100 | 70 | 10.05 | 10.05 | -3872 | 0 | 9.37 | 81.13 | 632.26 |
| 7 | 0.38 | 100 | 70 | 10.05 | 10.05 | -3692 | 0 | 8.94 | 77.35 | 602.78 |
| 8 | 0.48 | 100 | 70 | 10.05 | 10.05 | -3494 | 0 | 8.46 | 73.20 | 570.46 |
| 9 | 0.57 | 100 | 70 | 10.05 | 10.05 | -3281 | 0 | 7.94 | 68.75 | 535.73 |
| 10 | 0.67 | 100 | 70 | 10.05 | 10.05 | -3056 | 0 | 7.40 | 64.04 | 499.03 |
| 11 | 0.77 | 100 | 70 | 10.05 | 10.05 | -2822 | 0 | 6.83 | 59.13 | 460.80 |
| 12 | 0.86 | 100 | 70 | 10.05 | 10.05 | -2581 | 0 | 6.25 | 54.09 | 421.49 |
| 13 | 0.96 | 100 | 70 | 10.05 | 10.05 | -2337 | 0 | 5.66 | 48.96 | 381.52 |
| 14 | 1.05 | 100 | 70 | 10.05 | 10.05 | -2091 | 0 | 5.06 | 43.80 | 341.35 |
| 15 | 1.15 | 100 | 70 | 10.05 | 10.05 | -1846 | 0 | 4.47 | 38.68 | 301.40 |
| 16 | 1.25 | 100 | 70 | 10.05 | 10.05 | -1605 | 0 | 3.89 | 33.64 | 262.13 |
| 17 | 1.34 | 100 | 70 | 10.05 | 10.05 | -1372 | 0 | 3.32 | 28.74 | 223.96 |
| 18 | 1.44 | 100 | 70 | 10.05 | 10.05 | -1147 | 0 | 2.78 | 24.04 | 187.34 |
| 19 | 1.53 | 100 | 70 | 10.05 | 10.05 | -935 | 0 | 2.26 | 19.60 | 152.71 |
| 20 | 1.63 | 100 | 70 | 10.05 | 10.05 | -738 | 0 | 1.79 | 15.46 | 120.51 |
| 21 | 1.73 | 100 | 70 | 10.05 | 10.05 | -558 | 0 | 1.35 | 11.70 | 91.18 |
| 22 | 1.82 | 100 | 70 | 10.05 | 10.05 | -399 | 0 | 0.97 | 8.36 | 65.15 |
| 23 | 1.92 | 100 | 70 | 10.05 | 10.05 | -263 | 0 | 0.64 | 5.50 | 42.87 |
| 24 | 2.02 | 100 | 70 | 10.05 | 10.05 | -152 | 0 | 0.37 | 3.18 | 24.77 |
| 25 | 2.11 | 100 | 70 | 10.05 | 10.05 | -69 | 0 | 0.17 | 1.45 | 11.30 |
| 26 | 2.21 | 100 | 70 | 10.05 | 10.05 | -18 | 0 | 0.04 | 0.37 | 2.90 |
| 27 | 2.30 | 100 | 70 | 10.05 | 10.05 | 0 | 0 | 0.00 | 0.00 | 0.00 |



Combinazione n° 17 - SLEQ

| n° | Y [m] | B [cm] | H [cm] | Afi [cmq] | Afs [cmq] | M [kgm] | N [kg] | σc [kg/cmq] J | σfi [kg/cmq] J | σfs [kg/cmq] J |
|----|----------|-----------|-----------|--------------|--------------|------------|-----------|---------------------|----------------------|----------------------|
| 1 | -0.70 | 100 | 70 | 10.05 | 10.05 | 0 | 0 | 0.00 | 0.00 | 0.00 |
| 2 | -0.60 | 100 | 70 | 10.05 | 10.05 | 46 | 0 | 0.11 | 7.50 | 0.96 |
| 3 | -0.50 | 100 | 70 | 10.05 | 10.05 | 183 | 0 | 0.44 | 29.80 | 3.82 |
| 4 | -0.40 | 100 | 70 | 10.05 | 10.05 | 408 | 0 | 0.99 | 66.60 | 8.55 |
| 5 | -0.30 | 100 | 70 | 10.05 | 10.05 | 720 | 0 | 1.74 | 117.59 | 15.09 |
| 6 | 0.28 | 100 | 70 | 10.05 | 10.05 | -4102 | 0 | 9.93 | 85.94 | 669.71 |
| 7 | 0.38 | 100 | 70 | 10.05 | 10.05 | -3897 | 0 | 9.43 | 81.66 | 636.35 |
| 8 | 0.48 | 100 | 70 | 10.05 | 10.05 | -3677 | 0 | 8.90 | 77.04 | 600.39 |
| 9 | 0.57 | 100 | 70 | 10.05 | 10.05 | -3444 | 0 | 8.33 | 72.15 | 562.27 |
| 10 | 0.67 | 100 | 70 | 10.05 | 10.05 | -3200 | 0 | 7.74 | 67.04 | 522.41 |
| 11 | 0.77 | 100 | 70 | 10.05 | 10.05 | -2948 | 0 | 7.13 | 61.76 | 481.26 |
| 12 | 0.86 | 100 | 70 | 10.05 | 10.05 | -2690 | 0 | 6.51 | 56.36 | 439.24 |
| 13 | 0.96 | 100 | 70 | 10.05 | 10.05 | -2430 | 0 | 5.88 | 50.92 | 396.79 |
| 14 | 1.05 | 100 | 70 | 10.05 | 10.05 | -2170 | 0 | 5.25 | 45.47 | 354.34 |
| 15 | 1.15 | 100 | 70 | 10.05 | 10.05 | -1913 | 0 | 4.63 | 40.08 | 312.33 |
| 16 | 1.25 | 100 | 70 | 10.05 | 10.05 | -1661 | 0 | 4.02 | 34.80 | 271.19 |
| 17 | 1.34 | 100 | 70 | 10.05 | 10.05 | -1417 | 0 | 3.43 | 29.69 | 231.35 |
| 18 | 1.44 | 100 | 70 | 10.05 | 10.05 | -1184 | 0 | 2.86 | 24.80 | 193.24 |
| 19 | 1.53 | 100 | 70 | 10.05 | 10.05 | -963 | 0 | 2.33 | 20.19 | 157.31 |
| 20 | 1.63 | 100 | 70 | 10.05 | 10.05 | -759 | 0 | 1.84 | 15.91 | 123.98 |
| 21 | 1.73 | 100 | 70 | 10.05 | 10.05 | -574 | 0 | 1.39 | 12.02 | 93.69 |
| 22 | 1.82 | 100 | 70 | 10.05 | 10.05 | -410 | 0 | 0.99 | 8.58 | 66.87 |
| 23 | 1.92 | 100 | 70 | 10.05 | 10.05 | -269 | 0 | 0.65 | 5.64 | 43.95 |
| 24 | 2.02 | 100 | 70 | 10.05 | 10.05 | -155 | 0 | 0.38 | 3.26 | 25.37 |
| 25 | 2.11 | 100 | 70 | 10.05 | 10.05 | -71 | 0 | 0.17 | 1.48 | 11.57 |
| 26 | 2.21 | 100 | 70 | 10.05 | 10.05 | -18 | 0 | 0.04 | 0.38 | 2.96 |
| 27 | 2.30 | 100 | 70 | 10.05 | 10.05 | 0 | 0 | 0.00 | 0.00 | 0.00 |

12.8.6 Verifiche a fessurazione

Simbologia adottata

| | |
|------|---|
| n° | indice sezione |
| Y | ordinata sezione espresso in [m] |
| B | larghezza sezione espresso in [cm] |
| H | altezza sezione espresso in [cm] |
| Afi | area ferri zona tesa espresso in [cmq] |
| Aeff | area efficace espresso in [cmq] |
| M | momento agente espresso in [kgm] |
| Mpf | momento di prima fessurazione espresso in [kgm] |
| ε | deformazione espresso in % |
| Sm | spaziatura tra le fessure espresso in [mm] |
| w | apertura delle fessure espresso in [mm] |

Paramento

Combinazione n° 13 - SLER

| n° | Y | B | H | Af | Aeff | M | Mpf | ε | Sm | w |
|----|-------|------|------|-------|---------|-------|-------|----------|-------|------|
| | [m] | [cm] | [cm] | [cmq] | [cmq] | [kgm] | [kgm] | [%] | [mm] | [mm] |
| 1 | 0.00 | 100 | 30 | 0.00 | 0.00 | 0 | 0 | 0.000000 | 0.000 | 0.00 |
| 2 | -0.14 | 100 | 31 | 0.00 | 0.00 | 0 | 157 | 0.000000 | 0.000 | 0.00 |
| 3 | -0.28 | 100 | 33 | 0.00 | 0.00 | 2 | 757 | 0.000000 | 0.000 | 0.00 |
| 4 | -0.42 | 100 | 34 | 0.00 | 0.00 | 6 | 2196 | 0.000000 | 0.000 | 0.00 |
| 5 | -0.56 | 100 | 36 | 0.00 | 0.00 | 17 | 6179 | 0.000000 | 0.000 | 0.00 |
| 6 | -0.70 | 100 | 37 | 0.00 | 0.00 | 36 | 27697 | 0.000000 | 0.000 | 0.00 |
| 7 | -0.84 | 100 | 39 | 0.00 | 0.00 | 67 | 42852 | 0.000000 | 0.000 | 0.00 |
| 8 | -0.98 | 100 | 40 | 0.00 | 0.00 | 114 | 18964 | 0.000000 | 0.000 | 0.00 |
| 9 | -1.12 | 100 | 41 | 10.05 | 795.79 | 179 | 14821 | 0.000000 | 0.000 | 0.00 |
| 10 | -1.26 | 100 | 43 | 10.05 | 1040.25 | 265 | 13405 | 0.000000 | 0.000 | 0.00 |
| 11 | -1.40 | 100 | 44 | 10.05 | 1227.10 | 374 | 12893 | 0.000000 | 0.000 | 0.00 |
| 12 | -1.54 | 100 | 46 | 10.05 | 1373.53 | 508 | 12796 | 0.000000 | 0.000 | 0.00 |
| 13 | -1.68 | 100 | 47 | 10.05 | 1494.42 | 671 | 12927 | 0.000000 | 0.000 | 0.00 |
| 14 | -1.82 | 100 | 48 | 10.05 | 1599.12 | 863 | 13200 | 0.000000 | 0.000 | 0.00 |
| 15 | -1.96 | 100 | 50 | 10.05 | 1693.22 | 1087 | 13570 | 0.000000 | 0.000 | 0.00 |
| 16 | -2.10 | 100 | 51 | 10.05 | 1799.39 | 1345 | 14389 | 0.000000 | 0.000 | 0.00 |
| 17 | -2.24 | 100 | 53 | 10.05 | 1881.65 | 1639 | 14881 | 0.000000 | 0.000 | 0.00 |
| 18 | -2.38 | 100 | 54 | 10.05 | 1940.13 | 1970 | 15046 | 0.000000 | 0.000 | 0.00 |
| 19 | -2.52 | 100 | 56 | 10.05 | 2015.59 | 2341 | 15624 | 0.000000 | 0.000 | 0.00 |
| 20 | -2.66 | 100 | 57 | 10.05 | 2088.97 | 2754 | 16234 | 0.000000 | 0.000 | 0.00 |
| 21 | -2.80 | 100 | 58 | 10.05 | 2160.75 | 3210 | 16873 | 0.000000 | 0.000 | 0.00 |

Combinazione n° 14 - SLEF

| n° | Y | B | H | Af | Aeff | M | Mpf | ε | Sm | w |
|----|-------|------|------|-------|---------|-------|-------|----------|-------|------|
| | [m] | [cm] | [cm] | [cmq] | [cmq] | [kgm] | [kgm] | [%] | [mm] | [mm] |
| 1 | 0.00 | 100 | 30 | 0.00 | 0.00 | 0 | 0 | 0.000000 | 0.000 | 0.00 |
| 2 | -0.14 | 100 | 31 | 0.00 | 0.00 | 0 | 157 | 0.000000 | 0.000 | 0.00 |
| 3 | -0.28 | 100 | 33 | 0.00 | 0.00 | 2 | 757 | 0.000000 | 0.000 | 0.00 |
| 4 | -0.42 | 100 | 34 | 0.00 | 0.00 | 6 | 2196 | 0.000000 | 0.000 | 0.00 |
| 5 | -0.56 | 100 | 36 | 0.00 | 0.00 | 17 | 6179 | 0.000000 | 0.000 | 0.00 |
| 6 | -0.70 | 100 | 37 | 0.00 | 0.00 | 36 | 27697 | 0.000000 | 0.000 | 0.00 |
| 7 | -0.84 | 100 | 39 | 0.00 | 0.00 | 67 | 42852 | 0.000000 | 0.000 | 0.00 |
| 8 | -0.98 | 100 | 40 | 0.00 | 0.00 | 114 | 18964 | 0.000000 | 0.000 | 0.00 |
| 9 | -1.12 | 100 | 41 | 10.05 | 795.79 | 179 | 14821 | 0.000000 | 0.000 | 0.00 |
| 10 | -1.26 | 100 | 43 | 10.05 | 1040.25 | 265 | 13405 | 0.000000 | 0.000 | 0.00 |
| 11 | -1.40 | 100 | 44 | 10.05 | 1227.10 | 374 | 12893 | 0.000000 | 0.000 | 0.00 |
| 12 | -1.54 | 100 | 46 | 10.05 | 1373.53 | 508 | 12796 | 0.000000 | 0.000 | 0.00 |
| 13 | -1.68 | 100 | 47 | 10.05 | 1494.42 | 671 | 12927 | 0.000000 | 0.000 | 0.00 |
| 14 | -1.82 | 100 | 48 | 10.05 | 1599.12 | 863 | 13200 | 0.000000 | 0.000 | 0.00 |
| 15 | -1.96 | 100 | 50 | 10.05 | 1693.22 | 1087 | 13570 | 0.000000 | 0.000 | 0.00 |
| 16 | -2.10 | 100 | 51 | 10.05 | 1799.39 | 1345 | 14389 | 0.000000 | 0.000 | 0.00 |
| 17 | -2.24 | 100 | 53 | 10.05 | 1881.65 | 1639 | 14881 | 0.000000 | 0.000 | 0.00 |
| 18 | -2.38 | 100 | 54 | 10.05 | 1940.13 | 1970 | 15046 | 0.000000 | 0.000 | 0.00 |

| n° | Y | B | H | Af | Aeff | M | Mpf | ε | Sm | w |
|----|-------|------|------|-------|---------|-------|-------|----------|-------|------|
| | [m] | [cm] | [cm] | [cmq] | [cmq] | [kgm] | [kgm] | [%] | [mm] | [mm] |
| 19 | -2.52 | 100 | 56 | 10.05 | 2015.59 | 2341 | 15624 | 0.000000 | 0.000 | 0.00 |
| 20 | -2.66 | 100 | 57 | 10.05 | 2088.97 | 2754 | 16234 | 0.000000 | 0.000 | 0.00 |
| 21 | -2.80 | 100 | 58 | 10.05 | 2160.75 | 3210 | 16873 | 0.000000 | 0.000 | 0.00 |

Combinazione n° 15 - SLEQ

| n° | Y | B | H | Af | Aeff | M | Mpf | ε | Sm | w |
|----|-------|------|------|-------|---------|-------|-------|----------|-------|------|
| | [m] | [cm] | [cm] | [cmq] | [cmq] | [kgm] | [kgm] | [%] | [mm] | [mm] |
| 1 | 0.00 | 100 | 30 | 0.00 | 0.00 | 0 | 0 | 0.000000 | 0.000 | 0.00 |
| 2 | -0.14 | 100 | 31 | 0.00 | 0.00 | 0 | 157 | 0.000000 | 0.000 | 0.00 |
| 3 | -0.28 | 100 | 33 | 0.00 | 0.00 | 2 | 757 | 0.000000 | 0.000 | 0.00 |
| 4 | -0.42 | 100 | 34 | 0.00 | 0.00 | 6 | 2196 | 0.000000 | 0.000 | 0.00 |
| 5 | -0.56 | 100 | 36 | 0.00 | 0.00 | 17 | 6179 | 0.000000 | 0.000 | 0.00 |
| 6 | -0.70 | 100 | 37 | 0.00 | 0.00 | 36 | 27697 | 0.000000 | 0.000 | 0.00 |
| 7 | -0.84 | 100 | 39 | 0.00 | 0.00 | 67 | 42852 | 0.000000 | 0.000 | 0.00 |
| 8 | -0.98 | 100 | 40 | 0.00 | 0.00 | 114 | 18964 | 0.000000 | 0.000 | 0.00 |
| 9 | -1.12 | 100 | 41 | 10.05 | 795.79 | 179 | 14821 | 0.000000 | 0.000 | 0.00 |
| 10 | -1.26 | 100 | 43 | 10.05 | 1040.25 | 265 | 13405 | 0.000000 | 0.000 | 0.00 |
| 11 | -1.40 | 100 | 44 | 10.05 | 1227.10 | 374 | 12893 | 0.000000 | 0.000 | 0.00 |
| 12 | -1.54 | 100 | 46 | 10.05 | 1373.53 | 508 | 12796 | 0.000000 | 0.000 | 0.00 |
| 13 | -1.68 | 100 | 47 | 10.05 | 1494.42 | 671 | 12927 | 0.000000 | 0.000 | 0.00 |
| 14 | -1.82 | 100 | 48 | 10.05 | 1599.12 | 863 | 13200 | 0.000000 | 0.000 | 0.00 |
| 15 | -1.96 | 100 | 50 | 10.05 | 1693.22 | 1087 | 13570 | 0.000000 | 0.000 | 0.00 |
| 16 | -2.10 | 100 | 51 | 10.05 | 1799.39 | 1345 | 14389 | 0.000000 | 0.000 | 0.00 |
| 17 | -2.24 | 100 | 53 | 10.05 | 1881.65 | 1639 | 14881 | 0.000000 | 0.000 | 0.00 |
| 18 | -2.38 | 100 | 54 | 10.05 | 1940.13 | 1970 | 15046 | 0.000000 | 0.000 | 0.00 |
| 19 | -2.52 | 100 | 56 | 10.05 | 2015.59 | 2341 | 15624 | 0.000000 | 0.000 | 0.00 |
| 20 | -2.66 | 100 | 57 | 10.05 | 2088.97 | 2754 | 16234 | 0.000000 | 0.000 | 0.00 |
| 21 | -2.80 | 100 | 58 | 10.05 | 2160.75 | 3210 | 16873 | 0.000000 | 0.000 | 0.00 |

Combinazione n° 16 - SLEQ

| n° | Y | B | H | Af | Aeff | M | Mpf | ε | Sm | w |
|----|-------|------|------|-------|---------|-------|-------|----------|-------|------|
| | [m] | [cm] | [cm] | [cmq] | [cmq] | [kgm] | [kgm] | [%] | [mm] | [mm] |
| 1 | 0.00 | 100 | 30 | 0.00 | 0.00 | 0 | 0 | 0.000000 | 0.000 | 0.00 |
| 2 | -0.14 | 100 | 31 | 0.00 | 0.00 | 0 | 203 | 0.000000 | 0.000 | 0.00 |
| 3 | -0.28 | 100 | 33 | 0.00 | 0.00 | 4 | 1730 | 0.000000 | 0.000 | 0.00 |
| 4 | -0.42 | 100 | 34 | 0.00 | 0.00 | 12 | 5717 | 0.000000 | 0.000 | 0.00 |
| 5 | -0.56 | 100 | 36 | 0.00 | 0.00 | 27 | 27260 | 0.000000 | 0.000 | 0.00 |
| 6 | -0.70 | 100 | 37 | 0.00 | 0.00 | 53 | 38144 | 0.000000 | 0.000 | 0.00 |
| 7 | -0.84 | 100 | 39 | 0.00 | 0.00 | 93 | 17389 | 0.000000 | 0.000 | 0.00 |
| 8 | -0.98 | 100 | 40 | 10.05 | 779.72 | 150 | 13666 | 0.000000 | 0.000 | 0.00 |
| 9 | -1.12 | 100 | 41 | 10.05 | 1016.87 | 228 | 12404 | 0.000000 | 0.000 | 0.00 |
| 10 | -1.26 | 100 | 43 | 10.05 | 1197.42 | 327 | 11967 | 0.000000 | 0.000 | 0.00 |
| 11 | -1.40 | 100 | 44 | 10.05 | 1339.01 | 452 | 11911 | 0.000000 | 0.000 | 0.00 |
| 12 | -1.54 | 100 | 46 | 10.05 | 1456.24 | 604 | 12065 | 0.000000 | 0.000 | 0.00 |
| 13 | -1.68 | 100 | 47 | 10.05 | 1558.12 | 786 | 12350 | 0.000000 | 0.000 | 0.00 |
| 14 | -1.82 | 100 | 48 | 10.05 | 1650.02 | 999 | 12725 | 0.000000 | 0.000 | 0.00 |

| n° | Y | B | H | Af | Aeff | M | Mpf | ε | Sm | w |
|----|-------|------|------|-------|---------|-------|-------|----------|-------|------|
| | [m] | [cm] | [cm] | [cmq] | [cmq] | [kgm] | [kgm] | [%] | [mm] | [mm] |
| 15 | -1.96 | 100 | 50 | 10.05 | 1735.15 | 1246 | 13166 | 0.000000 | 0.000 | 0.00 |
| 16 | -2.10 | 100 | 51 | 10.05 | 1835.08 | 1529 | 14009 | 0.000000 | 0.000 | 0.00 |
| 17 | -2.24 | 100 | 53 | 10.05 | 1912.34 | 1850 | 14544 | 0.000000 | 0.000 | 0.00 |
| 18 | -2.38 | 100 | 54 | 10.05 | 1966.93 | 2210 | 14762 | 0.000000 | 0.000 | 0.00 |
| 19 | -2.52 | 100 | 56 | 10.05 | 2039.43 | 2612 | 15363 | 0.000000 | 0.000 | 0.00 |
| 20 | -2.66 | 100 | 57 | 10.05 | 2110.44 | 3057 | 15993 | 0.000000 | 0.000 | 0.00 |
| 21 | -2.80 | 100 | 58 | 10.05 | 2180.28 | 3547 | 16648 | 0.000000 | 0.000 | 0.00 |

Combinazione n° 17 - SLEQ

| n° | Y | B | H | Af | Aeff | M | Mpf | ε | Sm | w |
|----|-------|------|------|-------|---------|-------|-------|----------|-------|------|
| | [m] | [cm] | [cm] | [cmq] | [cmq] | [kgm] | [kgm] | [%] | [mm] | [mm] |
| 1 | 0.00 | 100 | 30 | 0.00 | 0.00 | 0 | 0 | 0.000000 | 0.000 | 0.00 |
| 2 | -0.14 | 100 | 31 | 0.00 | 0.00 | 0 | 221 | 0.000000 | 0.000 | 0.00 |
| 3 | -0.28 | 100 | 33 | 0.00 | 0.00 | 3 | 1504 | 0.000000 | 0.000 | 0.00 |
| 4 | -0.42 | 100 | 34 | 0.00 | 0.00 | 10 | 4659 | 0.000000 | 0.000 | 0.00 |
| 5 | -0.56 | 100 | 36 | 0.00 | 0.00 | 25 | 17621 | 0.000000 | 0.000 | 0.00 |
| 6 | -0.70 | 100 | 37 | 0.00 | 0.00 | 49 | 65305 | 0.000000 | 0.000 | 0.00 |
| 7 | -0.84 | 100 | 39 | 0.00 | 0.00 | 87 | 19546 | 0.000000 | 0.000 | 0.00 |
| 8 | -0.98 | 100 | 40 | 10.05 | 720.42 | 141 | 14447 | 0.000000 | 0.000 | 0.00 |
| 9 | -1.12 | 100 | 41 | 10.05 | 973.57 | 215 | 12820 | 0.000000 | 0.000 | 0.00 |
| 10 | -1.26 | 100 | 43 | 10.05 | 1166.97 | 312 | 12234 | 0.000000 | 0.000 | 0.00 |
| 11 | -1.40 | 100 | 44 | 10.05 | 1317.09 | 433 | 12101 | 0.000000 | 0.000 | 0.00 |
| 12 | -1.54 | 100 | 46 | 10.05 | 1439.79 | 580 | 12210 | 0.000000 | 0.000 | 0.00 |
| 13 | -1.68 | 100 | 47 | 10.05 | 1545.27 | 757 | 12467 | 0.000000 | 0.000 | 0.00 |
| 14 | -1.82 | 100 | 48 | 10.05 | 1639.64 | 965 | 12822 | 0.000000 | 0.000 | 0.00 |
| 15 | -1.96 | 100 | 50 | 10.05 | 1726.53 | 1207 | 13249 | 0.000000 | 0.000 | 0.00 |
| 16 | -2.10 | 100 | 51 | 10.05 | 1827.71 | 1483 | 14088 | 0.000000 | 0.000 | 0.00 |
| 17 | -2.24 | 100 | 53 | 10.05 | 1905.97 | 1797 | 14614 | 0.000000 | 0.000 | 0.00 |
| 18 | -2.38 | 100 | 54 | 10.05 | 1961.34 | 2151 | 14822 | 0.000000 | 0.000 | 0.00 |
| 19 | -2.52 | 100 | 56 | 10.05 | 2034.44 | 2545 | 15418 | 0.000000 | 0.000 | 0.00 |
| 20 | -2.66 | 100 | 57 | 10.05 | 2105.95 | 2982 | 16043 | 0.000000 | 0.000 | 0.00 |
| 21 | -2.80 | 100 | 58 | 10.05 | 2176.19 | 3464 | 16695 | 0.000000 | 0.000 | 0.00 |

FondazioneCombinazione n° 13 - SLER

| n° | Y | B | H | Af | Aeff | M | Mpf | ε | Sm | w |
|----|-------|------|------|-------|---------|-------|--------|----------|-------|------|
| | [m] | [cm] | [cm] | [cmq] | [cmq] | [kgm] | [kgm] | [%] | [mm] | [mm] |
| 1 | -0.70 | 100 | 70 | 0.00 | 0.00 | 0 | 0 | 0.000000 | 0.000 | 0.00 |
| 2 | -0.60 | 100 | 70 | 10.05 | 2908.82 | 47 | 20583 | 0.000000 | 0.000 | 0.00 |
| 3 | -0.50 | 100 | 70 | 10.05 | 2908.82 | 185 | 20583 | 0.000000 | 0.000 | 0.00 |
| 4 | -0.40 | 100 | 70 | 10.05 | 2908.82 | 414 | 20583 | 0.000000 | 0.000 | 0.00 |
| 5 | -0.30 | 100 | 70 | 10.05 | 2908.82 | 731 | 20583 | 0.000000 | 0.000 | 0.00 |
| 6 | 0.28 | 100 | 70 | 10.05 | 3183.28 | -3621 | -20583 | 0.000000 | 0.000 | 0.00 |
| 7 | 0.38 | 100 | 70 | 10.05 | 3183.28 | -3459 | -20583 | 0.000000 | 0.000 | 0.00 |

| n° | Y | B | H | Af | Aeff | M | Mpf | ε | Sm | w |
|----|------|------|------|-------|---------|-------|--------|----------|-------|------|
| | [m] | [cm] | [cm] | [cmq] | [cmq] | [kgm] | [kgm] | [%] | [mm] | [mm] |
| 8 | 0.48 | 100 | 70 | 10.05 | 3183.28 | -3279 | -20583 | 0.000000 | 0.000 | 0.00 |
| 9 | 0.57 | 100 | 70 | 10.05 | 3183.28 | -3084 | -20583 | 0.000000 | 0.000 | 0.00 |
| 10 | 0.67 | 100 | 70 | 10.05 | 3183.28 | -2877 | -20583 | 0.000000 | 0.000 | 0.00 |
| 11 | 0.77 | 100 | 70 | 10.05 | 3183.28 | -2660 | -20583 | 0.000000 | 0.000 | 0.00 |
| 12 | 0.86 | 100 | 70 | 10.05 | 3183.28 | -2436 | -20583 | 0.000000 | 0.000 | 0.00 |
| 13 | 0.96 | 100 | 70 | 10.05 | 3183.28 | -2207 | -20583 | 0.000000 | 0.000 | 0.00 |
| 14 | 1.05 | 100 | 70 | 10.05 | 3183.28 | -1977 | -20583 | 0.000000 | 0.000 | 0.00 |
| 15 | 1.15 | 100 | 70 | 10.05 | 3183.28 | -1747 | -20583 | 0.000000 | 0.000 | 0.00 |
| 16 | 1.25 | 100 | 70 | 10.05 | 3183.28 | -1521 | -20583 | 0.000000 | 0.000 | 0.00 |
| 17 | 1.34 | 100 | 70 | 10.05 | 3183.28 | -1301 | -20583 | 0.000000 | 0.000 | 0.00 |
| 18 | 1.44 | 100 | 70 | 10.05 | 3183.28 | -1089 | -20583 | 0.000000 | 0.000 | 0.00 |
| 19 | 1.53 | 100 | 70 | 10.05 | 3183.28 | -888 | -20583 | 0.000000 | 0.000 | 0.00 |
| 20 | 1.63 | 100 | 70 | 10.05 | 3183.28 | -701 | -20583 | 0.000000 | 0.000 | 0.00 |
| 21 | 1.73 | 100 | 70 | 10.05 | 3183.28 | -531 | -20583 | 0.000000 | 0.000 | 0.00 |
| 22 | 1.82 | 100 | 70 | 10.05 | 3183.28 | -380 | -20583 | 0.000000 | 0.000 | 0.00 |
| 23 | 1.92 | 100 | 70 | 10.05 | 3183.28 | -250 | -20583 | 0.000000 | 0.000 | 0.00 |
| 24 | 2.02 | 100 | 70 | 10.05 | 3183.28 | -145 | -20583 | 0.000000 | 0.000 | 0.00 |
| 25 | 2.11 | 100 | 70 | 10.05 | 3183.28 | -66 | -20583 | 0.000000 | 0.000 | 0.00 |
| 26 | 2.21 | 100 | 70 | 10.05 | 3183.28 | -17 | -20583 | 0.000000 | 0.000 | 0.00 |
| 27 | 2.30 | 100 | 70 | 0.00 | 0.00 | 0 | 0 | 0.000000 | 0.000 | 0.00 |

Combinazione n° 14 - SLEF

| n° | Y | B | H | Af | Aeff | M | Mpf | ε | Sm | w |
|----|-------|------|------|-------|---------|-------|--------|----------|-------|------|
| | [m] | [cm] | [cm] | [cmq] | [cmq] | [kgm] | [kgm] | [%] | [mm] | [mm] |
| 1 | -0.70 | 100 | 70 | 0.00 | 0.00 | 0 | 0 | 0.000000 | 0.000 | 0.00 |
| 2 | -0.60 | 100 | 70 | 10.05 | 2908.82 | 45 | 20583 | 0.000000 | 0.000 | 0.00 |
| 3 | -0.50 | 100 | 70 | 10.05 | 2908.82 | 181 | 20583 | 0.000000 | 0.000 | 0.00 |
| 4 | -0.40 | 100 | 70 | 10.05 | 2908.82 | 404 | 20583 | 0.000000 | 0.000 | 0.00 |
| 5 | -0.30 | 100 | 70 | 10.05 | 2908.82 | 714 | 20583 | 0.000000 | 0.000 | 0.00 |
| 6 | 0.28 | 100 | 70 | 10.05 | 3183.28 | -3490 | -20583 | 0.000000 | 0.000 | 0.00 |
| 7 | 0.38 | 100 | 70 | 10.05 | 3183.28 | -3333 | -20583 | 0.000000 | 0.000 | 0.00 |
| 8 | 0.48 | 100 | 70 | 10.05 | 3183.28 | -3159 | -20583 | 0.000000 | 0.000 | 0.00 |
| 9 | 0.57 | 100 | 70 | 10.05 | 3183.28 | -2970 | -20583 | 0.000000 | 0.000 | 0.00 |
| 10 | 0.67 | 100 | 70 | 10.05 | 3183.28 | -2770 | -20583 | 0.000000 | 0.000 | 0.00 |
| 11 | 0.77 | 100 | 70 | 10.05 | 3183.28 | -2560 | -20583 | 0.000000 | 0.000 | 0.00 |
| 12 | 0.86 | 100 | 70 | 10.05 | 3183.28 | -2344 | -20583 | 0.000000 | 0.000 | 0.00 |
| 13 | 0.96 | 100 | 70 | 10.05 | 3183.28 | -2124 | -20583 | 0.000000 | 0.000 | 0.00 |
| 14 | 1.05 | 100 | 70 | 10.05 | 3183.28 | -1902 | -20583 | 0.000000 | 0.000 | 0.00 |
| 15 | 1.15 | 100 | 70 | 10.05 | 3183.28 | -1680 | -20583 | 0.000000 | 0.000 | 0.00 |
| 16 | 1.25 | 100 | 70 | 10.05 | 3183.28 | -1463 | -20583 | 0.000000 | 0.000 | 0.00 |
| 17 | 1.34 | 100 | 70 | 10.05 | 3183.28 | -1250 | -20583 | 0.000000 | 0.000 | 0.00 |
| 18 | 1.44 | 100 | 70 | 10.05 | 3183.28 | -1047 | -20583 | 0.000000 | 0.000 | 0.00 |
| 19 | 1.53 | 100 | 70 | 10.05 | 3183.28 | -854 | -20583 | 0.000000 | 0.000 | 0.00 |
| 20 | 1.63 | 100 | 70 | 10.05 | 3183.28 | -674 | -20583 | 0.000000 | 0.000 | 0.00 |
| 21 | 1.73 | 100 | 70 | 10.05 | 3183.28 | -510 | -20583 | 0.000000 | 0.000 | 0.00 |
| 22 | 1.82 | 100 | 70 | 10.05 | 3183.28 | -365 | -20583 | 0.000000 | 0.000 | 0.00 |
| 23 | 1.92 | 100 | 70 | 10.05 | 3183.28 | -240 | -20583 | 0.000000 | 0.000 | 0.00 |

| n° | Y | B | H | Af | Aeff | M | Mpf | ε | Sm | w |
|----|------|------|------|-------|---------|-------|--------|----------|-------|------|
| | [m] | [cm] | [cm] | [cmq] | [cmq] | [kgm] | [kgm] | [%] | [mm] | [mm] |
| 24 | 2.02 | 100 | 70 | 10.05 | 3183.28 | -139 | -20583 | 0.000000 | 0.000 | 0.00 |
| 25 | 2.11 | 100 | 70 | 10.05 | 3183.28 | -63 | -20583 | 0.000000 | 0.000 | 0.00 |
| 26 | 2.21 | 100 | 70 | 10.05 | 3183.28 | -16 | -20583 | 0.000000 | 0.000 | 0.00 |
| 27 | 2.30 | 100 | 70 | 0.00 | 0.00 | 0 | 0 | 0.000000 | 0.000 | 0.00 |

Combinazione n° 15 - SLEQ

| n° | Y | B | H | Af | Aeff | M | Mpf | ε | Sm | w |
|----|-------|------|------|-------|---------|-------|--------|----------|-------|------|
| | [m] | [cm] | [cm] | [cmq] | [cmq] | [kgm] | [kgm] | [%] | [mm] | [mm] |
| 1 | -0.70 | 100 | 70 | 0.00 | 0.00 | 0 | 0 | 0.000000 | 0.000 | 0.00 |
| 2 | -0.60 | 100 | 70 | 10.05 | 2908.82 | 43 | 20583 | 0.000000 | 0.000 | 0.00 |
| 3 | -0.50 | 100 | 70 | 10.05 | 2908.82 | 170 | 20583 | 0.000000 | 0.000 | 0.00 |
| 4 | -0.40 | 100 | 70 | 10.05 | 2908.82 | 381 | 20583 | 0.000000 | 0.000 | 0.00 |
| 5 | -0.30 | 100 | 70 | 10.05 | 2908.82 | 673 | 20583 | 0.000000 | 0.000 | 0.00 |
| 6 | 0.28 | 100 | 70 | 10.05 | 3183.28 | -3230 | -20583 | 0.000000 | 0.000 | 0.00 |
| 7 | 0.38 | 100 | 70 | 10.05 | 3183.28 | -3079 | -20583 | 0.000000 | 0.000 | 0.00 |
| 8 | 0.48 | 100 | 70 | 10.05 | 3183.28 | -2914 | -20583 | 0.000000 | 0.000 | 0.00 |
| 9 | 0.57 | 100 | 70 | 10.05 | 3183.28 | -2737 | -20583 | 0.000000 | 0.000 | 0.00 |
| 10 | 0.67 | 100 | 70 | 10.05 | 3183.28 | -2549 | -20583 | 0.000000 | 0.000 | 0.00 |
| 11 | 0.77 | 100 | 70 | 10.05 | 3183.28 | -2354 | -20583 | 0.000000 | 0.000 | 0.00 |
| 12 | 0.86 | 100 | 70 | 10.05 | 3183.28 | -2153 | -20583 | 0.000000 | 0.000 | 0.00 |
| 13 | 0.96 | 100 | 70 | 10.05 | 3183.28 | -1949 | -20583 | 0.000000 | 0.000 | 0.00 |
| 14 | 1.05 | 100 | 70 | 10.05 | 3183.28 | -1743 | -20583 | 0.000000 | 0.000 | 0.00 |
| 15 | 1.15 | 100 | 70 | 10.05 | 3183.28 | -1539 | -20583 | 0.000000 | 0.000 | 0.00 |
| 16 | 1.25 | 100 | 70 | 10.05 | 3183.28 | -1339 | -20583 | 0.000000 | 0.000 | 0.00 |
| 17 | 1.34 | 100 | 70 | 10.05 | 3183.28 | -1144 | -20583 | 0.000000 | 0.000 | 0.00 |
| 18 | 1.44 | 100 | 70 | 10.05 | 3183.28 | -957 | -20583 | 0.000000 | 0.000 | 0.00 |
| 19 | 1.53 | 100 | 70 | 10.05 | 3183.28 | -780 | -20583 | 0.000000 | 0.000 | 0.00 |
| 20 | 1.63 | 100 | 70 | 10.05 | 3183.28 | -615 | -20583 | 0.000000 | 0.000 | 0.00 |
| 21 | 1.73 | 100 | 70 | 10.05 | 3183.28 | -466 | -20583 | 0.000000 | 0.000 | 0.00 |
| 22 | 1.82 | 100 | 70 | 10.05 | 3183.28 | -333 | -20583 | 0.000000 | 0.000 | 0.00 |
| 23 | 1.92 | 100 | 70 | 10.05 | 3183.28 | -219 | -20583 | 0.000000 | 0.000 | 0.00 |
| 24 | 2.02 | 100 | 70 | 10.05 | 3183.28 | -126 | -20583 | 0.000000 | 0.000 | 0.00 |
| 25 | 2.11 | 100 | 70 | 10.05 | 3183.28 | -58 | -20583 | 0.000000 | 0.000 | 0.00 |
| 26 | 2.21 | 100 | 70 | 10.05 | 3183.28 | -15 | -20583 | 0.000000 | 0.000 | 0.00 |
| 27 | 2.30 | 100 | 70 | 0.00 | 0.00 | 0 | 0 | 0.000000 | 0.000 | 0.00 |

Combinazione n° 16 - SLEQ

| n° | Y | B | H | Af | Aeff | M | Mpf | ε | Sm | w |
|----|-------|------|------|-------|---------|-------|--------|----------|-------|------|
| | [m] | [cm] | [cm] | [cmq] | [cmq] | [kgm] | [kgm] | [%] | [mm] | [mm] |
| 1 | -0.70 | 100 | 70 | 0.00 | 0.00 | 0 | 0 | 0.000000 | 0.000 | 0.00 |
| 2 | -0.60 | 100 | 70 | 10.05 | 2908.82 | 47 | 20583 | 0.000000 | 0.000 | 0.00 |
| 3 | -0.50 | 100 | 70 | 10.05 | 2908.82 | 187 | 20583 | 0.000000 | 0.000 | 0.00 |
| 4 | -0.40 | 100 | 70 | 10.05 | 2908.82 | 417 | 20583 | 0.000000 | 0.000 | 0.00 |
| 5 | -0.30 | 100 | 70 | 10.05 | 2908.82 | 737 | 20583 | 0.000000 | 0.000 | 0.00 |
| 6 | 0.28 | 100 | 70 | 10.05 | 3183.28 | -3872 | -20583 | 0.000000 | 0.000 | 0.00 |
| 7 | 0.38 | 100 | 70 | 10.05 | 3183.28 | -3692 | -20583 | 0.000000 | 0.000 | 0.00 |

| n° | Y | B | H | Af | Aeff | M | Mpf | ε | Sm | w |
|----|------|------|------|-------|---------|-------|--------|----------|-------|------|
| | [m] | [cm] | [cm] | [cmq] | [cmq] | [kgm] | [kgm] | [%] | [mm] | [mm] |
| 8 | 0.48 | 100 | 70 | 10.05 | 3183.28 | -3494 | -20583 | 0.000000 | 0.000 | 0.00 |
| 9 | 0.57 | 100 | 70 | 10.05 | 3183.28 | -3281 | -20583 | 0.000000 | 0.000 | 0.00 |
| 10 | 0.67 | 100 | 70 | 10.05 | 3183.28 | -3056 | -20583 | 0.000000 | 0.000 | 0.00 |
| 11 | 0.77 | 100 | 70 | 10.05 | 3183.28 | -2822 | -20583 | 0.000000 | 0.000 | 0.00 |
| 12 | 0.86 | 100 | 70 | 10.05 | 3183.28 | -2581 | -20583 | 0.000000 | 0.000 | 0.00 |
| 13 | 0.96 | 100 | 70 | 10.05 | 3183.28 | -2337 | -20583 | 0.000000 | 0.000 | 0.00 |
| 14 | 1.05 | 100 | 70 | 10.05 | 3183.28 | -2091 | -20583 | 0.000000 | 0.000 | 0.00 |
| 15 | 1.15 | 100 | 70 | 10.05 | 3183.28 | -1846 | -20583 | 0.000000 | 0.000 | 0.00 |
| 16 | 1.25 | 100 | 70 | 10.05 | 3183.28 | -1605 | -20583 | 0.000000 | 0.000 | 0.00 |
| 17 | 1.34 | 100 | 70 | 10.05 | 3183.28 | -1372 | -20583 | 0.000000 | 0.000 | 0.00 |
| 18 | 1.44 | 100 | 70 | 10.05 | 3183.28 | -1147 | -20583 | 0.000000 | 0.000 | 0.00 |
| 19 | 1.53 | 100 | 70 | 10.05 | 3183.28 | -935 | -20583 | 0.000000 | 0.000 | 0.00 |
| 20 | 1.63 | 100 | 70 | 10.05 | 3183.28 | -738 | -20583 | 0.000000 | 0.000 | 0.00 |
| 21 | 1.73 | 100 | 70 | 10.05 | 3183.28 | -558 | -20583 | 0.000000 | 0.000 | 0.00 |
| 22 | 1.82 | 100 | 70 | 10.05 | 3183.28 | -399 | -20583 | 0.000000 | 0.000 | 0.00 |
| 23 | 1.92 | 100 | 70 | 10.05 | 3183.28 | -263 | -20583 | 0.000000 | 0.000 | 0.00 |
| 24 | 2.02 | 100 | 70 | 10.05 | 3183.28 | -152 | -20583 | 0.000000 | 0.000 | 0.00 |
| 25 | 2.11 | 100 | 70 | 10.05 | 3183.28 | -69 | -20583 | 0.000000 | 0.000 | 0.00 |
| 26 | 2.21 | 100 | 70 | 10.05 | 3183.28 | -18 | -20583 | 0.000000 | 0.000 | 0.00 |
| 27 | 2.30 | 100 | 70 | 0.00 | 0.00 | 0 | 0 | 0.000000 | 0.000 | 0.00 |

Combinazione n° 17 - SLEQ

| n° | Y | B | H | Af | Aeff | M | Mpf | ε | Sm | w |
|----|-------|------|------|-------|---------|-------|--------|----------|-------|------|
| | [m] | [cm] | [cm] | [cmq] | [cmq] | [kgm] | [kgm] | [%] | [mm] | [mm] |
| 1 | -0.70 | 100 | 70 | 0.00 | 0.00 | 0 | 0 | 0.000000 | 0.000 | 0.00 |
| 2 | -0.60 | 100 | 70 | 10.05 | 2908.82 | 46 | 20583 | 0.000000 | 0.000 | 0.00 |
| 3 | -0.50 | 100 | 70 | 10.05 | 2908.82 | 183 | 20583 | 0.000000 | 0.000 | 0.00 |
| 4 | -0.40 | 100 | 70 | 10.05 | 2908.82 | 408 | 20583 | 0.000000 | 0.000 | 0.00 |
| 5 | -0.30 | 100 | 70 | 10.05 | 2908.82 | 720 | 20583 | 0.000000 | 0.000 | 0.00 |
| 6 | 0.28 | 100 | 70 | 10.05 | 3183.28 | -4102 | -20583 | 0.000000 | 0.000 | 0.00 |
| 7 | 0.38 | 100 | 70 | 10.05 | 3183.28 | -3897 | -20583 | 0.000000 | 0.000 | 0.00 |
| 8 | 0.48 | 100 | 70 | 10.05 | 3183.28 | -3677 | -20583 | 0.000000 | 0.000 | 0.00 |
| 9 | 0.57 | 100 | 70 | 10.05 | 3183.28 | -3444 | -20583 | 0.000000 | 0.000 | 0.00 |
| 10 | 0.67 | 100 | 70 | 10.05 | 3183.28 | -3200 | -20583 | 0.000000 | 0.000 | 0.00 |
| 11 | 0.77 | 100 | 70 | 10.05 | 3183.28 | -2948 | -20583 | 0.000000 | 0.000 | 0.00 |
| 12 | 0.86 | 100 | 70 | 10.05 | 3183.28 | -2690 | -20583 | 0.000000 | 0.000 | 0.00 |
| 13 | 0.96 | 100 | 70 | 10.05 | 3183.28 | -2430 | -20583 | 0.000000 | 0.000 | 0.00 |
| 14 | 1.05 | 100 | 70 | 10.05 | 3183.28 | -2170 | -20583 | 0.000000 | 0.000 | 0.00 |
| 15 | 1.15 | 100 | 70 | 10.05 | 3183.28 | -1913 | -20583 | 0.000000 | 0.000 | 0.00 |
| 16 | 1.25 | 100 | 70 | 10.05 | 3183.28 | -1661 | -20583 | 0.000000 | 0.000 | 0.00 |
| 17 | 1.34 | 100 | 70 | 10.05 | 3183.28 | -1417 | -20583 | 0.000000 | 0.000 | 0.00 |
| 18 | 1.44 | 100 | 70 | 10.05 | 3183.28 | -1184 | -20583 | 0.000000 | 0.000 | 0.00 |
| 19 | 1.53 | 100 | 70 | 10.05 | 3183.28 | -963 | -20583 | 0.000000 | 0.000 | 0.00 |
| 20 | 1.63 | 100 | 70 | 10.05 | 3183.28 | -759 | -20583 | 0.000000 | 0.000 | 0.00 |
| 21 | 1.73 | 100 | 70 | 10.05 | 3183.28 | -574 | -20583 | 0.000000 | 0.000 | 0.00 |
| 22 | 1.82 | 100 | 70 | 10.05 | 3183.28 | -410 | -20583 | 0.000000 | 0.000 | 0.00 |
| 23 | 1.92 | 100 | 70 | 10.05 | 3183.28 | -269 | -20583 | 0.000000 | 0.000 | 0.00 |

Progetto Esecutivo

| n° | Y | B | H | Af | Aeff | M | Mpf | ε | Sm | w |
|----|----------|----------|----------|-----------|-------------|----------|------------|----------|-----------|----------|
| | [m] | [cm] | [cm] | [cmq] | [cmq] | [kgm] | [kgm] | [%] | [mm] | [mm] |
| 24 | 2.02 | 100 | 70 | 10.05 | 3183.28 | -155 | -20583 | 0.000000 | 0.000 | 0.00 |
| 25 | 2.11 | 100 | 70 | 10.05 | 3183.28 | -71 | -20583 | 0.000000 | 0.000 | 0.00 |
| 26 | 2.21 | 100 | 70 | 10.05 | 3183.28 | -18 | -20583 | 0.000000 | 0.000 | 0.00 |
| 27 | 2.30 | 100 | 70 | 0.00 | 0.00 | 0 | 0 | 0.000000 | 0.000 | 0.00 |

RTI di progettazione:**Mandataria**

Via G.B. Sammartini n°5
20125 - Milano
Tel. 02 6787911
email: mail@proiter.it

**Mandante**

Via Artemide n°3
92100 Agrigento
Tel. 0922 421007
email: deltaingegneria@pec.it

13 MURI D'ALA LATO EST

13.1 Generalità

Nel presente capitolo vengono riportati i calcoli e le verifiche relativi ai muri d'ala posti da realizzare in corrispondenza dell'imbocco est del tombino.

La geometria di tali elementi è riportata di seguito.

Paramento

| | |
|--|------------|
| Materiale | Cls Armato |
| Altezza paramento | 3.50 [m] |
| Altezza paramento libero | 2.80 [m] |
| Spessore in sommità | 0.30 [m] |
| Spessore all'attacco con la fondazione | 0.58 [m] |
| Inclinazione paramento esterno | 0.00 [°] |
| Inclinazione paramento interno | 5.80 [°] |

Fondazione

| | |
|----------------------------|------------|
| Materiale | Cls Armato |
| Lunghezza mensola di valle | 0.40 [m] |
| Lunghezza mensola di monte | 2.52 [m] |
| Lunghezza totale | 3.50 [m] |
| Inclinazione piano di posa | 0.00 [°] |
| Spessore | 0.70 [m] |
| Spessore magrone | 0.20 [m] |

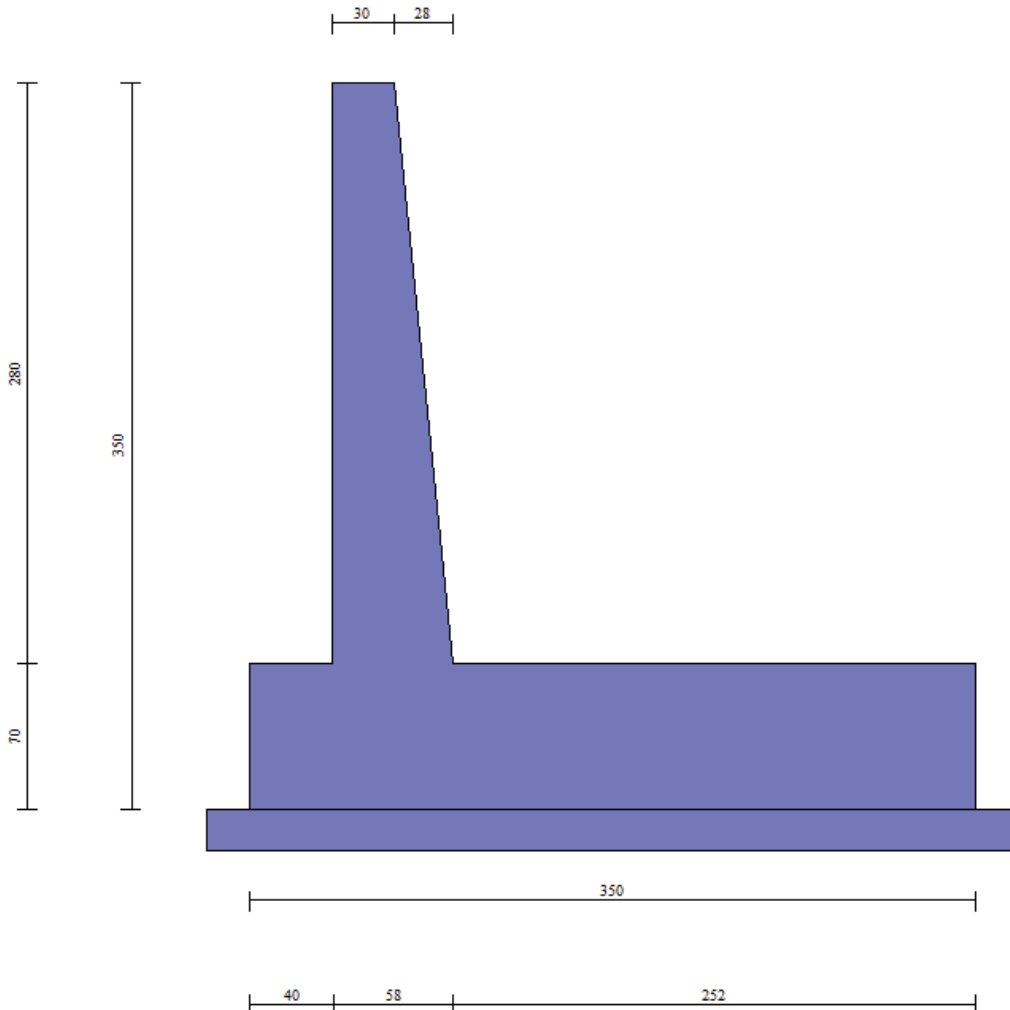


Figura 31 – Geometria del muro d'ala

13.2 Modellazione

Si rimanda a quanto riportato nel §12.2.

13.3 Calcolo della spinta sul muro

13.3.1 Metodo di Culmann

Si rimanda a quanto riportato nel §12.3.1.

13.3.2 Spinta in presenza di falda

Si rimanda a quanto riportato nel §4.2.2.

13.3.3 Spinta in presenza di sisma

Si rimanda a quanto riportato nel §4.2.4.

13.4 Analisi dei carichi

13.4.1 Pesi propri

Il peso proprio degli elementi strutturali è calcolato considerando un peso specifico pari a 25 kN/m³ per il calcestruzzo armato.

13.4.2 Spinta del terreno

La spinta del terreno è stata determinata secondo quanto riportato nel §12.3.

Le caratteristiche del terreno di fondazione e del terreno di rinfianco sono riportate nel §6.

Non è presente falda.

Il profilo del terreno è riportato nella seguente figura.

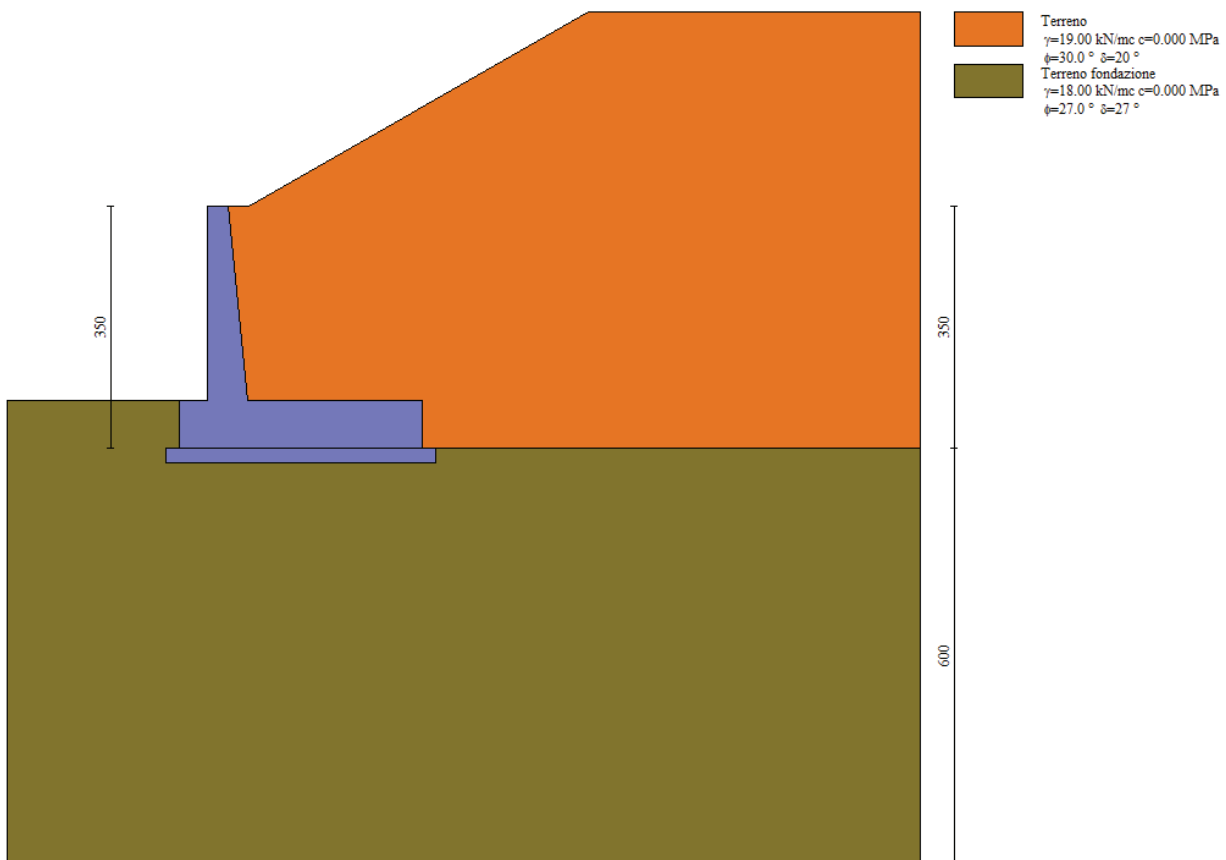


Figura 32 – Profilo del terreno

Scatolare pk 148+140 - TS10 SU S15 - Relazione tecnica e di calcolo

145

RTI di progettazione:



Mandataria

Via G.B. Sammartini n°5
20125 - Milano
Tel. 02 6787911
email: mail@proiter.it



Mandante

Via Artemide n°3
92100 Agrigento
Tel. 0922 421007
email: deltaingegneria@pec.it

Geometria profilo terreno a monte del muro

Simbologia adottata

(Sistema di riferimento con origine in testa al muro, ascissa X positiva verso monte, ordinata Y positiva verso l'alto)

N numero ordine del punto

X ascissa del punto espressa in [m]

Y ordinata del punto espressa in [m]

A inclinazione del tratto espressa in [°]

| n° | X [m] | Y [m] | A [°] |
|----|----------|----------|----------|
| 1 | 0.00 | 0.00 | 0.000 |
| 2 | 0.30 | 0.00 | 0.000 |
| 3 | 5.20 | 2.80 | 29.745 |
| 4 | 10.00 | 2.80 | 0.000 |

Terreno a valle del muro

Inclinazione terreno a valle del muro rispetto all'orizzontale 0.000 [°]

13.4.3 Carichi variabili

È stato considerato un carico di 20 kN/m², applicato sull'intera carreggiata stradale.

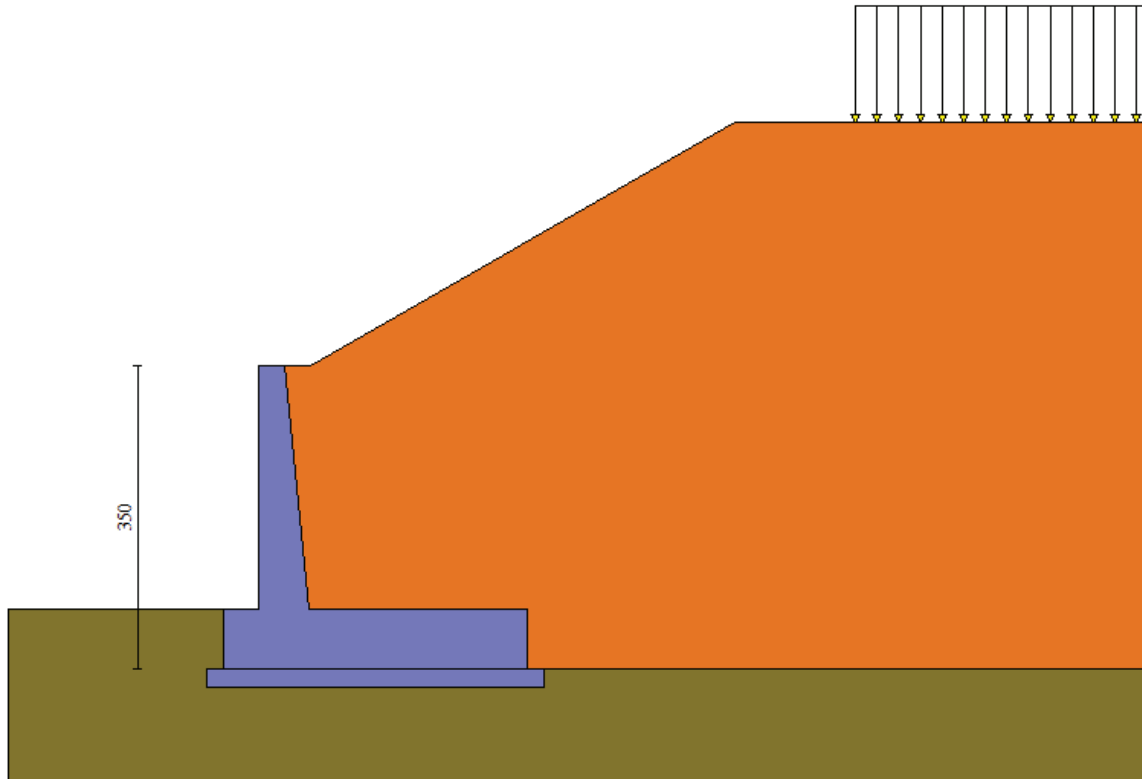


Figura 33 – Carico variabile

Simbologia adottata

Carichi verticali positivi verso il basso.

Carichi orizzontali positivi verso sinistra.

Momento positivo senso antiorario.

| | |
|----------------|--|
| X | Ascissa del punto di applicazione del carico concentrato espressa in [m] |
| F _x | Componente orizzontale del carico concentrato espressa in [kg] |
| F _y | Componente verticale del carico concentrato espressa in [kg] |
| M | Momento espresso in [kgm] |
| X _i | Ascissa del punto iniziale del carico ripartito espressa in [m] |
| X _f | Ascissa del punto finale del carico ripartito espressa in [m] |
| Q | Intensità del carico per x=X _i espressa in [kg] |
| Q _f | Intensità del carico per x=X _f espressa in [kg] |

Condizione n° 1 (Condizione 1) - VARIABILE TFCoeff. di combinazione $\Psi_0=0.75 - \Psi_1=0.75 - \Psi_2=0.00$ *Carichi sul terreno*

| n° | Tipo | X | F _x | F _y | M | X _i | X _f | Q _i | Q _f |
|----|-------------|-----|----------------|----------------|-------|----------------|----------------|----------------|----------------|
| | | [m] | [kg] | [kg] | [kgm] | [m] | [m] | [kg] | [kg] |
| 1 | Distribuito | | | | | 1.84 | 8.00 | 2039.40 | 2039.40 |

Scatolare pk 148+140 - TS10 SU S15 - Relazione tecnica e di calcolo

147

RTI di progettazione:**Mandataria**

Via G.B. Sammartini n°5
20125 - Milano
Tel. 02 6787911
email: mail@proiter.it

**Mandante**

Via Artemide n°3
92100 Agrigento
Tel. 0922 421007
email: deltaingegegnaria@pec.it

13.4.4 Azione sismica

Si rimanda a quanto riportato nel §7.4.

A differenza del tombino, si assume che il muro possa muoversi rispetto al terreno, per cui vengono assunti i coefficienti di riduzione dell'accelerazione massima previsti dalle NTC 2018, come riportato di seguito.

| | SLV | SLD |
|---|--------------|--------------|
| Accelerazione al suolo ag [m/s ²] | 0.600 | 0.310 |
| Accelerazione al suolo ag [% di g] | 0.061 | 0.032 |
| Massimo fattore amplificazione spettro orizzontale F0 | 2.970 | 2.730 |
| Periodo inizio tratto spettro a velocità costante Tc* | 0.370 | 0.310 |
| Tipo di sottosuolo - Coefficiente stratigrafico Ss | Tipo B | 1.200 |
| Coefficiente di riduzione (β_m) | C | 0.380 |
| Coefficiente di riduzione (β_m) verifica ribaltamento | | 0.57 |
| Coefficiente amplificazione topografica S _T | T1 | 1.00 |
| $K_h = ag/g \times S_s \times S_t \times \beta_m$ | | |
| Coeff. di intensità sismica orizzontale Kh [%] | 2.789 | 1.782 |
| Intensità sismica Verticale/Orizzontale | | 0.50 |

Figura 34 – Determinazione dei coefficienti di intensità sismica

13.5 Combinazioni dei carichi

Si rimanda a quanto riportato nel §8.

13.5.1 Riepilogo dei coefficienti

Coeff. parziali per le azioni o per l'effetto delle azioni

| Carichi | Effetto | | Combinazioni statiche | | | | | | Combinazioni sismiche | | |
|----------------------------|-------------|--------------------|-----------------------|------|------|------|------|------|-----------------------|------|------|
| | | | HYD | UPL | EQU | A1 | A2 | EQU | A1 | A2 | |
| Permanenti strutturali | Favolevoli | $\gamma_{G1,fav}$ | 0.90 | 0.90 | 0.90 | 1.00 | 1.00 | 1.00 | 1.00 | 1.00 | 1.00 |
| Permanenti strutturali | Sfavolevoli | $\gamma_{G1,sfav}$ | 1.30 | 1.10 | 1.10 | 1.30 | 1.00 | 1.00 | 1.00 | 1.00 | 1.00 |
| Permanenti non strutturali | Favolevoli | $\gamma_{G2,fav}$ | 0.90 | 0.00 | 0.00 | 0.00 | 0.00 | 1.00 | 0.00 | 0.00 | 0.00 |
| Permanenti non strutturali | Sfavolevoli | $\gamma_{G2,sfav}$ | 1.30 | 1.50 | 1.50 | 1.50 | 1.30 | 1.00 | 1.00 | 1.00 | 1.00 |
| Variabili | Favolevoli | $\gamma_{O,fav}$ | 0.00 | 0.00 | 0.00 | 0.00 | 0.00 | 0.00 | 0.00 | 0.00 | 0.00 |
| Variabili | Sfavolevoli | $\gamma_{O,sfav}$ | 1.50 | 1.50 | 1.50 | 1.50 | 1.30 | 1.00 | 1.00 | 1.00 | 1.00 |
| Variabili da traffico | Favolevoli | $\gamma_{OT,fav}$ | 0.00 | 0.00 | 0.00 | 0.00 | 0.00 | 0.00 | 0.00 | 0.00 | 0.00 |
| Variabili da traffico | Sfavolevoli | $\gamma_{OT,sfav}$ | 1.50 | 1.50 | 1.35 | 1.35 | 1.15 | 1.00 | 1.00 | 1.00 | 1.00 |

Scatolare pk 148+140 - TS10 SU S15 - Relazione tecnica e di calcolo

148

RTI di progettazione:



Mandataria

Via G.B. Sammartini n°5
20125 - Milano
Tel. 02 6787911
email: mail@proiter.it



Mandante

Via Artemide n°3
92100 Agrigento
Tel. 0922 421007
email: deltaingegneria@pec.it

Coeff. parziali per i parametri geotecnici del terreno

| Parametro | | Combinazioni statiche | | Combinazioni sismiche | |
|---------------------------------|----------------------|-----------------------|------|-----------------------|------|
| | | M1 | M2 | M1 | M2 |
| Tangente dell'angolo di attrito | $\gamma \tan(\phi')$ | 1.00 | 1.25 | 1.00 | 1.00 |
| Coesione efficace | γ_c' | 1.00 | 1.25 | 1.00 | 1.00 |
| Resistenza non drenata | γ_{cu} | 1.00 | 1.40 | 1.00 | 1.00 |
| Peso nell'unità di volume | γ_y | 1.00 | 1.00 | 1.00 | 1.00 |

Coeff. parziali γ_R per le verifiche agli stati limite ultimi STR e GEO

| Verifica | Combinazioni statiche | | | Combinazioni sismiche | | |
|----------------------------|-----------------------|------|------|-----------------------|------|------|
| | R1 | R2 | R3 | R1 | R2 | R3 |
| Capacità portante | -- | -- | 1.40 | -- | -- | 1.20 |
| Scorrimento | -- | -- | 1.10 | -- | -- | 1.00 |
| Resistenza terreno a valle | -- | -- | 1.40 | -- | -- | 1.20 |
| Stabilità fronte di scavo | -- | 1.10 | -- | -- | 1.20 | -- |

13.5.2 Descrizione combinazioni di carico

Simbologia adottata

γ Coefficiente di partecipazione della condizione
 Ψ Coefficiente di combinazione della condizione

Combinazione n° 1 - STR A1-M1-R3

| Condizione | γ | Ψ | Effetto |
|-----------------|----------|--------|-------------|
| Peso muro | 1.00 | -- | Favorevole |
| Peso terrapieno | 1.00 | -- | Favorevole |
| Spinta terreno | 1.30 | -- | Sfavorevole |
| Condizione 1 | 1.35 | 1.00 | Sfavorevole |

Combinazione n° 2 - STR A1-M1-R3

| Condizione | γ | Ψ | Effetto |
|-----------------|----------|--------|-------------|
| Peso muro | 1.00 | -- | Favorevole |
| Peso terrapieno | 1.00 | -- | Favorevole |
| Spinta terreno | 1.00 | -- | Sfavorevole |

Combinazione n° 3 - STR A1-M1-R3

| Condizione | γ | Ψ | Effetto |
|-----------------|----------|--------|-------------|
| Peso muro | 1.00 | -- | Sfavorevole |
| Peso terrapieno | 1.00 | -- | Sfavorevole |
| Spinta terreno | 1.00 | -- | Sfavorevole |

Combinazione n° 4 - STR A1-M1-R3

| Condizione | γ | Ψ | Effetto |
|-----------------|----------|--------|-------------|
| Peso muro | 1.30 | -- | Sfavorevole |
| Peso terrapieno | 1.30 | -- | Sfavorevole |
| Spinta terreno | 1.30 | -- | Sfavorevole |
| Condizione 1 | 1.35 | 1.00 | Sfavorevole |

Combinazione n° 5 - STR A1-M1-R3

| Condizione | γ | Ψ | Effetto |
|-----------------|----------|--------|-------------|
| Peso muro | 1.00 | -- | Favorevole |
| Peso terrapieno | 1.30 | -- | Sfavorevole |
| Spinta terreno | 1.30 | -- | Sfavorevole |
| Condizione 1 | 1.35 | 1.00 | Sfavorevole |

Combinazione n° 6 - STR A1-M1-R3

| Condizione | γ | Ψ | Effetto |
|-----------------|----------|--------|-------------|
| Peso muro | 1.30 | -- | Sfavorevole |
| Peso terrapieno | 1.00 | -- | Favorevole |
| Spinta terreno | 1.30 | -- | Sfavorevole |
| Condizione 1 | 1.35 | 1.00 | Sfavorevole |

Combinazione n° 7 - GEO A2-M2-R2

| Condizione | γ | Ψ | Effetto |
|-----------------|----------|--------|-------------|
| Peso muro | 1.00 | -- | Sfavorevole |
| Peso terrapieno | 1.00 | -- | Sfavorevole |
| Spinta terreno | 1.00 | -- | Sfavorevole |
| Condizione 1 | 1.15 | 1.00 | Sfavorevole |

Combinazione n° 8 - GEO A2-M2-R2

| Condizione | γ | Ψ | Effetto |
|-----------------|----------|--------|-------------|
| Peso muro | 1.00 | -- | Sfavorevole |
| Peso terrapieno | 1.00 | -- | Sfavorevole |
| Spinta terreno | 1.00 | -- | Sfavorevole |

Combinazione n° 9 - GEO A2-M2-R2

| Condizione | γ | Ψ | Effetto |
|-----------------|----------|--------|-------------|
| Peso muro | 1.00 | -- | Sfavorevole |
| Peso terrapieno | 1.00 | -- | Sfavorevole |
| Spinta terreno | 1.00 | -- | Sfavorevole |

Combinazione n° 10 - EQU

| Condizione | γ | Ψ | Effetto |
|-----------------|----------|--------|-------------|
| Peso muro | 0.90 | -- | Favorevole |
| Peso terrapieno | 0.90 | -- | Favorevole |
| Spinta terreno | 1.10 | -- | Sfavorevole |
| Condizione 1 | 1.35 | 1.00 | Sfavorevole |

Combinazione n° 11 - EQU

| Condizione | γ | Ψ | Effetto |
|-----------------|----------|--------|-------------|
| Peso muro | 1.00 | -- | Favorevole |
| Peso terrapieno | 1.00 | -- | Favorevole |
| Spinta terreno | 1.00 | -- | Sfavorevole |

Combinazione n° 12 - EQU

| Condizione | γ | Ψ | Effetto |
|-----------------|----------|--------|-------------|
| Peso muro | 1.00 | -- | Favorevole |
| Peso terrapieno | 1.00 | -- | Favorevole |
| Spinta terreno | 1.00 | -- | Sfavorevole |

Combinazione n° 13 - SLER

| Condizione | γ | Ψ | Effetto |
|-----------------|----------|--------|-------------|
| Peso muro | 1.00 | -- | Sfavorevole |
| Peso terrapieno | 1.00 | -- | Sfavorevole |
| Spinta terreno | 1.00 | -- | Sfavorevole |
| Condizione 1 | 1.00 | 1.00 | Sfavorevole |

Combinazione n° 14 - SLEF

| Condizione | γ | Ψ | Effetto |
|-----------------|----------|--------|-------------|
| Peso muro | 1.00 | -- | Sfavorevole |
| Peso terrapieno | 1.00 | -- | Sfavorevole |
| Spinta terreno | 1.00 | -- | Sfavorevole |
| Condizione 1 | 1.00 | 0.75 | Sfavorevole |

Combinazione n° 15 - SLEQ

| Condizione | γ | Ψ | Effetto |
|-----------------|----------|--------|-------------|
| Peso muro | 1.00 | -- | Sfavorevole |
| Peso terrapieno | 1.00 | -- | Sfavorevole |
| Spinta terreno | 1.00 | -- | Sfavorevole |

Combinazione n° 16 - SLEQ

| Condizione | γ | Ψ | Effetto |
|------------|----------|--------|-------------|
| Peso muro | 1.00 | -- | Sfavorevole |

| Condizione | γ | Ψ | Effetto |
|-----------------|----------|--------|-------------|
| Peso terrapieno | 1.00 | -- | Sfavorevole |
| Spinta terreno | 1.00 | -- | Sfavorevole |

Combinazione n° 17 - SLEQ

| Condizione | γ | Ψ | Effetto |
|-----------------|----------|--------|-------------|
| Peso muro | 1.00 | -- | Sfavorevole |
| Peso terrapieno | 1.00 | -- | Sfavorevole |
| Spinta terreno | 1.00 | -- | Sfavorevole |

13.6 Risultati del calcolo delle forze

13.6.1 Spinta

Simbologia adottata

| | |
|------------------|--|
| n° | Indice della combinazione |
| Sp | Spinta statica, espressa in [kg] |
| P _{Sp} | Punto di applicazione della spinta statica, espressa in [m] |
| Sps | Incremento spinta sismica, espressa in [kg] |
| P _{Sps} | Punto di applicazione dell'incremento di spinta sismica, espressa in [m] |
| Sw | Spinta falda, espressa in [kg] |
| P _{Sw} | Punto di applicazione della spinta della falda, espressa in [m] |
| Ss | Sottospinta falda, espressa in [kg] |

| n° | Sp | P _{Sp} | Sps | P _{Sps} | Sw | P _{Sw} | Ss |
|----|-------|-----------------|------|------------------|------|-----------------|------|
| | [kg] | [m] | [kg] | [m] | [kg] | [m] | [kg] |
| 1 | 14331 | 2.80; -1.78 | 0 | 0.00; 0.00 | 0 | 0.00; 0.00 | 0 |
| 2 | 10093 | 2.80; -1.71 | 807 | 2.80; -1.64 | 0 | 0.00; 0.00 | 0 |
| 3 | 10093 | 2.80; -1.71 | 526 | 2.80; -1.64 | 0 | 0.00; 0.00 | 0 |
| 4 | 14331 | 2.80; -1.78 | 0 | 0.00; 0.00 | 0 | 0.00; 0.00 | 0 |
| 5 | 14331 | 2.80; -1.78 | 0 | 0.00; 0.00 | 0 | 0.00; 0.00 | 0 |
| 6 | 14331 | 2.80; -1.78 | 0 | 0.00; 0.00 | 0 | 0.00; 0.00 | 0 |
| 7 | 14262 | 2.80; -1.73 | 0 | 0.00; 0.00 | 0 | 0.00; 0.00 | 0 |
| 8 | 10093 | 2.80; -1.71 | 807 | 2.80; -1.64 | 0 | 0.00; 0.00 | 0 |
| 9 | 10093 | 2.80; -1.71 | 526 | 2.80; -1.64 | 0 | 0.00; 0.00 | 0 |
| 10 | 15830 | 2.80; -1.73 | 0 | 0.00; 0.00 | 0 | 0.00; 0.00 | 0 |
| 11 | 10093 | 2.80; -1.71 | 1226 | 2.80; -1.64 | 0 | 0.00; 0.00 | 0 |
| 12 | 10093 | 2.80; -1.71 | 806 | 2.80; -1.64 | 0 | 0.00; 0.00 | 0 |
| 13 | 10984 | 2.80; -1.78 | 0 | 0.00; 0.00 | 0 | 0.00; 0.00 | 0 |
| 14 | 10734 | 2.80; -1.76 | 0 | 0.00; 0.00 | 0 | 0.00; 0.00 | 0 |
| 15 | 10093 | 2.80; -1.71 | 0 | 0.00; 0.00 | 0 | 0.00; 0.00 | 0 |
| 16 | 10093 | 2.80; -1.71 | 511 | 2.80; -1.64 | 0 | 0.00; 0.00 | 0 |
| 17 | 10093 | 2.80; -1.71 | 332 | 2.80; -1.64 | 0 | 0.00; 0.00 | 0 |

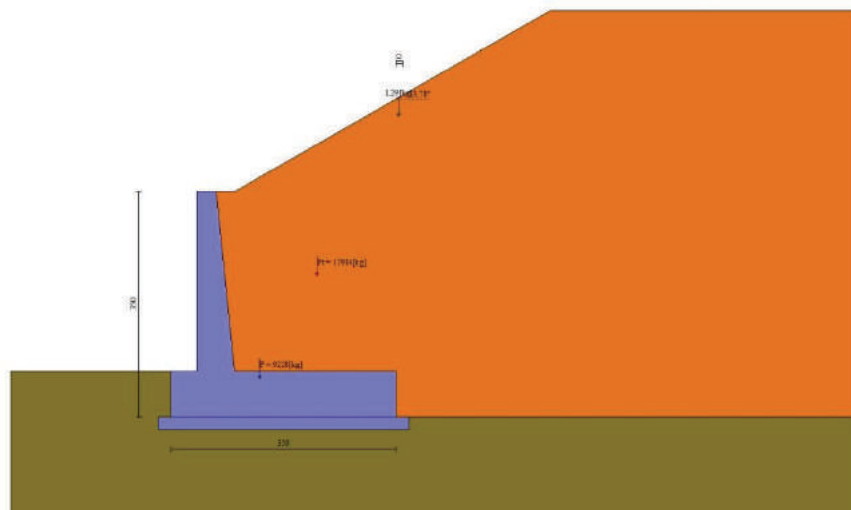


Figura 35 – Cuneo di spinta statico (Combinazione n° 1)

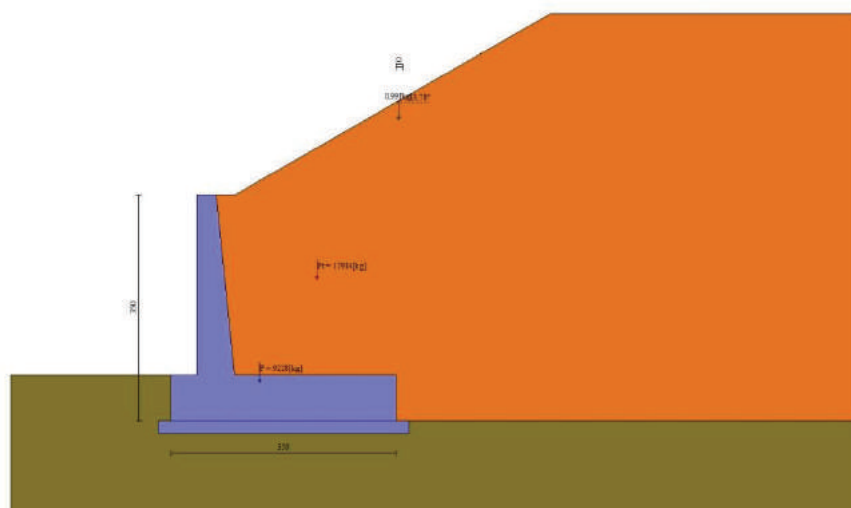


Figura 36 – Cuneo di spinta sismico (Combinazione n° 2)

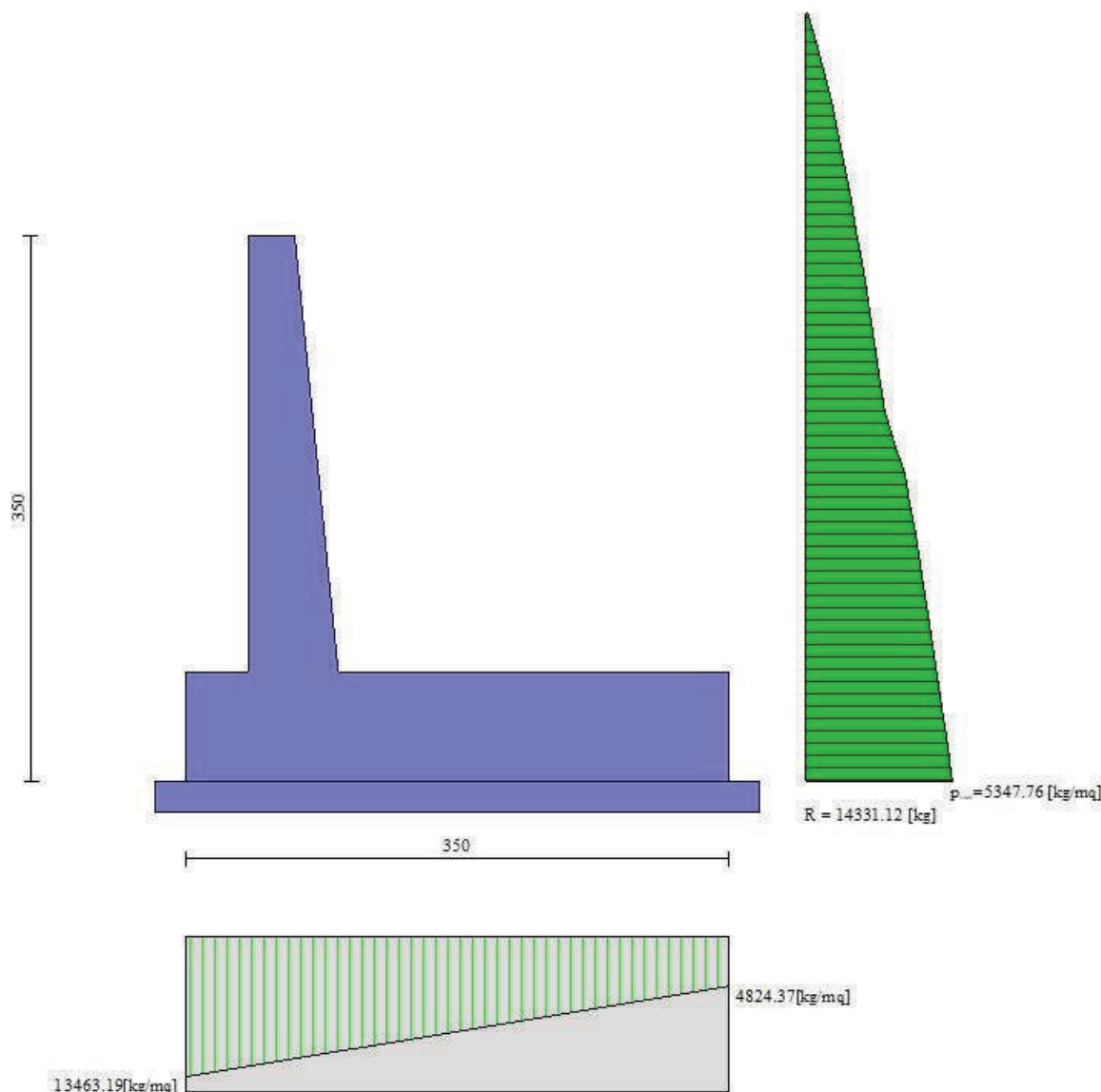


Figura 37 – Diagramma delle pressioni agenti sull'opera (combinazione statica) (Combinazione n° 1)

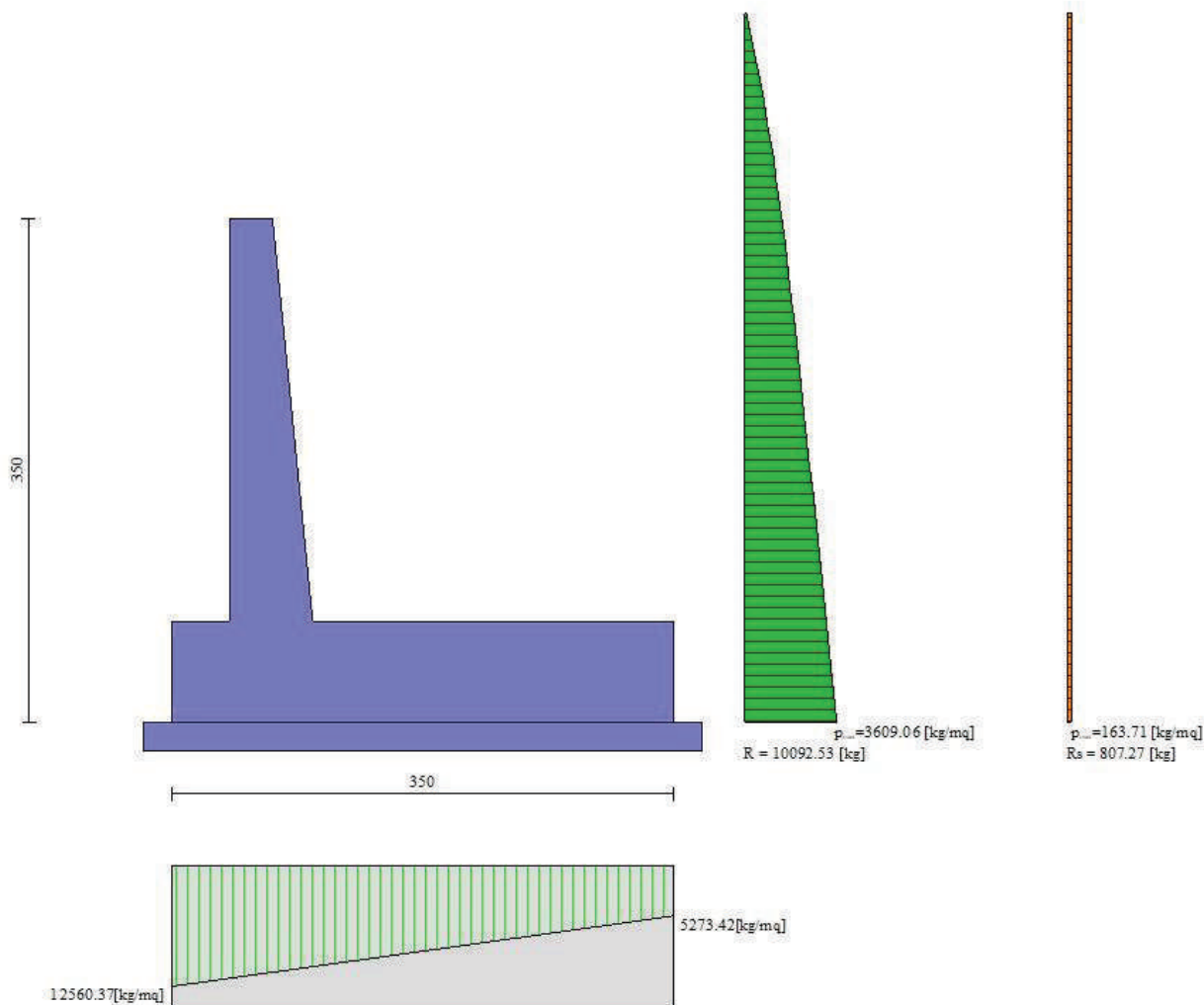


Figura 38 – Diagramma delle pressioni agenti sull'opera (combinazione sismica) (Combinazione n° 2)

13.6.2 Forze

Simbologia adottata

| | |
|----------|--|
| n° | Indice della combinazione |
| Pm | Peso muro, espressa in [kg] |
| Imx, Imy | Inerzia orizzontale e verticale muro, espressa in [kg] |
| Gm | Baricentro muro, espressa in [m] |
| Pt | Peso terrapieno, espressa in [kg] |
| Itx, Ity | Inerzia orizzontale e verticale terrapieno, espressa in [kg] |
| Gt | Baricentro terrapieno, espressa in [m] |
| Fx | Sottospinta falda, espressa in [kg] |
| Fy | Sottospinta falda, espressa in [kg] |

| n° | Pm [kg] | Imx [kg] | Imy [kg] | Gm [m] | Pt [kg] | Itx [kg] | Ity [kg] | Gt [m] | Fy [kg] | Fx [kg] |
|----|------------|-------------|-------------|-------------|------------|-------------|-------------|-------------|------------|------------|
| 1 | 9228 | 0 | 0 | 0.68; -2.61 | 17914 | 0 | 0 | 1.57; -1.02 | 0 | 0 |
| 2 | 9228 | 257 | 129 | 0.68; -2.61 | 17914 | 500 | 250 | 1.57; -1.02 | 0 | 0 |

Scatolare pk 148+140 - TS10 SU S15 - Relazione tecnica e di calcolo

155

RTI di progettazione:**Mandataria**

Via G.B. Sammartini n°5
20125 - Milano
Tel. 02 6787911
email: mail@proiter.it

**Mandante**

Via Artemide n°3
92100 Agrigento
Tel. 0922 421007
email: deltaingegneria@pec.it

| n° | Pm | Imx | Imy | Gm | Pt | Itx | Ity | Gt | Fy | Fx |
|----|-------|------|------|-------------|-------|------|------|-------------|------|------|
| | [kg] | [kg] | [kg] | [m] | [kg] | [kg] | [kg] | [m] | [kg] | [kg] |
| 3 | 9228 | 257 | -129 | 0.68; -2.61 | 17914 | 500 | -250 | 1.57; -1.02 | 0 | 0 |
| 4 | 11997 | 0 | 0 | 0.68; -2.61 | 23288 | 0 | 0 | 1.57; -1.02 | 0 | 0 |
| 5 | 9228 | 0 | 0 | 0.68; -2.61 | 23288 | 0 | 0 | 1.57; -1.02 | 0 | 0 |
| 6 | 11997 | 0 | 0 | 0.68; -2.61 | 17914 | 0 | 0 | 1.57; -1.02 | 0 | 0 |
| 7 | 9228 | 0 | 0 | 0.68; -2.61 | 17914 | 0 | 0 | 1.57; -1.02 | 0 | 0 |
| 8 | 9228 | 257 | 129 | 0.68; -2.61 | 17914 | 500 | 250 | 1.57; -1.02 | 0 | 0 |
| 9 | 9228 | 257 | -129 | 0.68; -2.61 | 17914 | 500 | -250 | 1.57; -1.02 | 0 | 0 |
| 10 | 8305 | 0 | 0 | 0.68; -2.61 | 16122 | 0 | 0 | 1.57; -1.02 | 0 | 0 |
| 11 | 9228 | 386 | 193 | 0.68; -2.61 | 17914 | 749 | 375 | 1.57; -1.02 | 0 | 0 |
| 12 | 9228 | 386 | -193 | 0.68; -2.61 | 17914 | 749 | -375 | 1.57; -1.02 | 0 | 0 |
| 13 | 9228 | 0 | 0 | 0.68; -2.61 | 17914 | 0 | 0 | 1.57; -1.02 | 0 | 0 |
| 14 | 9228 | 0 | 0 | 0.68; -2.61 | 17914 | 0 | 0 | 1.57; -1.02 | 0 | 0 |
| 15 | 9228 | 0 | 0 | 0.68; -2.61 | 17914 | 0 | 0 | 1.57; -1.02 | 0 | 0 |
| 16 | 9228 | 164 | 82 | 0.68; -2.61 | 17914 | 319 | 160 | 1.57; -1.02 | 0 | 0 |
| 17 | 9228 | 164 | -82 | 0.68; -2.61 | 17914 | 319 | -160 | 1.57; -1.02 | 0 | 0 |

13.7 Verifiche geotecniche

13.7.1 Verifica a ribaltamento

Si rimanda a quanto riportato nel §12.7.1.

Simbologia adottata

- n° Indice combinazione
 Ms Momento stabilizzante, espresso in [kgm]
 Mr Momento ribaltante, espresso in [kgm]
 FS Fattore di sicurezza (rapporto tra momento stabilizzante e momento ribaltante)

| n° | Ms | Mr | FS |
|----|-------|-------|-------|
| | [kgm] | [kgm] | |
| 10 | 63506 | 26832 | 2.367 |
| 11 | 68011 | 21306 | 3.192 |
| 12 | 66392 | 21689 | 3.061 |

13.7.2 Verifica a scorrimento

Si rimanda a quanto riportato nel §12.7.2.

Simbologia adottata

- n° Indice combinazione
 Rsa Resistenza allo scorrimento per attrito, espresso in [kg]
 Rpt Resistenza passiva terreno antistante, espresso in [kg]
 Rps Resistenza passiva sperone, espresso in [kg]
 T Carico parallelo al piano di posa, espresso in [kg]

- Rt Resistenza allo scorrimento (somma di Rsa+Rpt+Rps), espresso in [kg]
 FS Fattore di sicurezza (rapporto tra resistenza allo scorrimento e carico parallelo al piano di posa)

| n° | Rsa [kg] | Rpt [kg] | Rps [kg] | Rt [kg] | T [kg] | FS |
|----|-------------|-------------|-------------|------------|-----------|-------|
| 1 | 16926 | 599 | 0 | 17525 | 13467 | 1.257 |
| 2 | 16521 | 599 | 0 | 17119 | 10999 | 1.502 |
| 3 | 16086 | 599 | 0 | 16685 | 10735 | 1.498 |
| 4 | 21075 | 599 | 0 | 21673 | 13467 | 1.565 |
| 5 | 19664 | 599 | 0 | 20263 | 13467 | 1.460 |
| 6 | 18336 | 599 | 0 | 18935 | 13467 | 1.362 |

13.7.3 Verifica al carico limite

Si rimanda a quanto riportato nel §4.3.

Simbologia adottata

- n° Indice combinazione
 N Carico verticale totale, espresso in [kg]
 Qu carico limite del terreno, espresso in [kg]
 Qd Portanza di progetto, espresso in [kg]
 FS Fattore di sicurezza (rapporto tra portanza di progetto e carico agente al piano di posa)

| n° | N [kg] | Qu [kg] | Qd [kg] | FS |
|----|-----------|------------|------------|-------|
| 1 | 32044 | 47790 | 47790 | 1.491 |
| 2 | 31248 | 63549 | 63549 | 2.034 |
| 3 | 30395 | 63193 | 63193 | 2.079 |
| 4 | 40186 | 71936 | 71936 | 1.790 |
| 5 | 37418 | 67217 | 67217 | 1.796 |
| 6 | 34812 | 53506 | 53506 | 1.537 |

Simbologia adottata

- n° Indice combinazione
 Nc, Nq, Ny Fattori di capacità portante
 ic, iq, iy Fattori di inclinazione del carico
 dc, dq, dy Fattori di profondità del piano di posa
 gc, gq, gy Fattori di inclinazione del profilo topografico
 bc, bq, by Fattori di inclinazione del piano di posa
 sc, sq, sy Fattori di forma della fondazione
 pc, pq, py Fattori di riduzione per punzonamento secondo Vesic
 rγ Fattori per tener conto dell'effetto piastra. Per fondazioni che hanno larghezza maggiore di 2 m, il terzo termine della formula trinomia 0.5ByN, viene moltiplicato per questo fattore
 D Affondamento del piano di posa, espresso in [m]
 H Altezza del cuneo di rottura, espresso in [m]
 γ Peso di volume del terreno medio, espresso in [kg/mc]
 φ Angolo di attrito del terreno medio, espresso in [°]
 c Coesione del terreno medio, espresso in [kg/cm²]

Per i coeff. che in tabella sono indicati con il simbolo '--' sono coeff. non presenti nel metodo scelto (Vesic).

RTI di progettazione:



Mandataria

Via G.B. Sammartini n°5
 20125 - Milano
 Tel. 02 6787911
 email: mail@proiter.it



Mandante

Via Artemide n°3
 92100 Agrigento
 Tel. 0922 421007
 email: deltaingegneria@pec.it

| n° | Nc Nq Ny | ic iq iy | dc dq dy | gc gq gy | bc bq by | sc sq sy | pc pq py | ry | D | H | γ | ϕ | c |
|----|----------------------------|-------------------------|-------------------------|-------------------------|-------------------------|----------------|----------------|-------|------|------|-------------|-------|--------------|
| | | | | | | | | | [m] | [m] | [kg/m c] | [°] | [kg/c mq] |
| 1 | 23.942 13.199 14.470 | 0.363 0.411 0.239 | 1.080 1.061 1.000 | 0.000 0.000 0.000 | 0.000 0.000 0.000 | -- -- -- | -- -- -- | 0.939 | 0.70 | 2.86 | 1835 | 27.00 | 0.00 |
| 2 | 23.942 13.199 14.470 | 0.453 0.495 0.320 | 1.080 1.061 1.000 | 0.000 0.000 0.000 | 0.000 0.000 0.000 | -- -- -- | -- -- -- | 0.939 | 0.70 | 2.86 | 1835 | 27.00 | 0.00 |
| 3 | 23.942 13.199 14.470 | 0.451 0.493 0.319 | 1.080 1.061 1.000 | 0.000 0.000 0.000 | 0.000 0.000 0.000 | -- -- -- | -- -- -- | 0.939 | 0.70 | 2.86 | 1835 | 27.00 | 0.00 |
| 4 | 23.942 13.199 14.470 | 0.478 0.518 0.344 | 1.080 1.061 1.000 | 0.000 0.000 0.000 | 0.000 0.000 0.000 | -- -- -- | -- -- -- | 0.939 | 0.70 | 2.86 | 1835 | 27.00 | 0.00 |
| 5 | 23.942 13.199 14.470 | 0.445 0.487 0.312 | 1.080 1.061 1.000 | 0.000 0.000 0.000 | 0.000 0.000 0.000 | -- -- -- | -- -- -- | 0.939 | 0.70 | 2.86 | 1835 | 27.00 | 0.00 |
| 6 | 23.942 13.199 14.470 | 0.406 0.451 0.276 | 1.080 1.061 1.000 | 0.000 0.000 0.000 | 0.000 0.000 0.000 | -- -- -- | -- -- -- | 0.939 | 0.70 | 2.86 | 1835 | 27.00 | 0.00 |

13.7.4 Verifica alla stabilità globale

Si rimanda a quanto riportato nel §12.7.4.

Simbologia adottata

- Ic Indice combinazione
- C Centro superficie di scorrimento, espresso in [m]
- R Raggio, espresso in [m]
- FS Fattore di sicurezza

| Ic | C [m] | R [m] | | FS |
|----|-------------|----------|-------|----|
| | | 7 | 8 | |
| | -0.20; 1.80 | 6.10 | 1.195 | |
| | -0.20; 1.80 | 6.10 | 1.431 | |
| | -0.20; 1.80 | 6.10 | 1.429 | |

Dettagli strisce verifiche stabilità

Simbologia adottata

- Le ascisse X sono considerate positive verso monte
- Le ordinate Y sono considerate positive verso l'alto
- Origine in testa al muro (spigolo contro terra)
- W peso della striscia espresso in [kg]
- Qy carico sulla striscia espresso in [kg]
- α angolo fra la base della striscia e l'orizzontale espresso in [°] (positivo antiorario)
- ϕ angolo d'attrito del terreno lungo la base della striscia
- c coesione del terreno lungo la base della striscia espressa in [kg/cmq]
- b larghezza della striscia espressa in [m]

Scatolare pk 148+140 - TS10 SU S15 - Relazione tecnica e di calcolo

158

RTT di progettazione:



Mandataria

Via G.B. Sammartini n°5
20125 - Milano
Tel. 02 6787911
email: mail@proiter.it



Mandante

Via Artemide n°3
92100 Agrigento
Tel. 0922 421007
email: deltaingegneria@pec.it

u pressione neutra lungo la base della striscia espressa in [kg/cmq]
 Tx; Ty Resistenza al taglio fornita dai tiranti in direzione X ed Y espressa in [kg/cmq]

Combinazione n° 7 - GEO A2-M2-R2

| n° | W [kg] | Qy [kg] | b [m] | α [°] | ϕ [°] | c [kg/cmq J] | u [kg/cmq J] | Tx; Ty [kg] |
|----|-----------|------------|--------------|----------|----------|--------------------|--------------------|----------------|
| 1 | 2071 | 0 | 5.83 - 0.40 | 74.102 | 24.791 | 0.00 | 0.000 | |
| 2 | 2911 | 0 | 0.40 | 63.031 | 24.791 | 0.00 | 0.000 | |
| 3 | 3296 | 0 | 0.40 | 55.530 | 24.791 | 0.00 | 0.000 | |
| 4 | 3527 | 0 | 0.40 | 49.299 | 24.791 | 0.00 | 0.000 | |
| 5 | 3680 | 0 | 0.40 | 43.788 | 24.791 | 0.00 | 0.000 | |
| 6 | 3777 | 0 | 0.40 | 38.753 | 24.791 | 0.00 | 0.000 | |
| 7 | 3830 | 0 | 0.40 | 34.054 | 24.791 | 0.00 | 0.000 | |
| 8 | 3733 | 0 | 0.40 | 29.604 | 22.177 | 0.00 | 0.000 | |
| 9 | 3979 | 0 | 0.40 | 25.345 | 22.177 | 0.00 | 0.000 | |
| 10 | 3928 | 0 | 0.40 | 21.231 | 22.177 | 0.00 | 0.000 | |
| 11 | 3853 | 0 | 0.40 | 17.230 | 22.177 | 0.00 | 0.000 | |
| 12 | 3755 | 0 | 0.40 | 13.314 | 22.177 | 0.00 | 0.000 | |
| 13 | 3636 | 0 | 0.40 | 9.461 | 22.177 | 0.00 | 0.000 | |
| 14 | 3522 | 0 | 0.40 | 5.651 | 22.177 | 0.00 | 0.000 | |
| 15 | 3994 | 0 | 0.40 | 1.865 | 22.177 | 0.00 | 0.000 | |
| 16 | 1661 | 0 | 0.40 | -1.912 | 22.177 | 0.00 | 0.000 | |
| 17 | 1150 | 0 | 0.40 | -5.697 | 22.177 | 0.00 | 0.000 | |
| 18 | 1073 | 0 | 0.40 | -9.508 | 22.177 | 0.00 | 0.000 | |
| 19 | 1013 | 0 | 0.40 | -13.362 | 22.177 | 0.00 | 0.000 | |
| 20 | 931 | 0 | 0.40 | -17.278 | 22.177 | 0.00 | 0.000 | |
| 21 | 828 | 0 | 0.40 | -21.281 | 22.177 | 0.00 | 0.000 | |
| 22 | 699 | 0 | 0.40 | -25.396 | 22.177 | 0.00 | 0.000 | |
| 23 | 543 | 0 | 0.40 | -29.658 | 22.177 | 0.00 | 0.000 | |
| 24 | 349 | 0 | 0.40 | -34.110 | 22.177 | 0.00 | 0.000 | |
| 25 | 117 | 0 | -4.22 - 0.40 | -37.851 | 22.177 | 0.00 | 0.000 | |

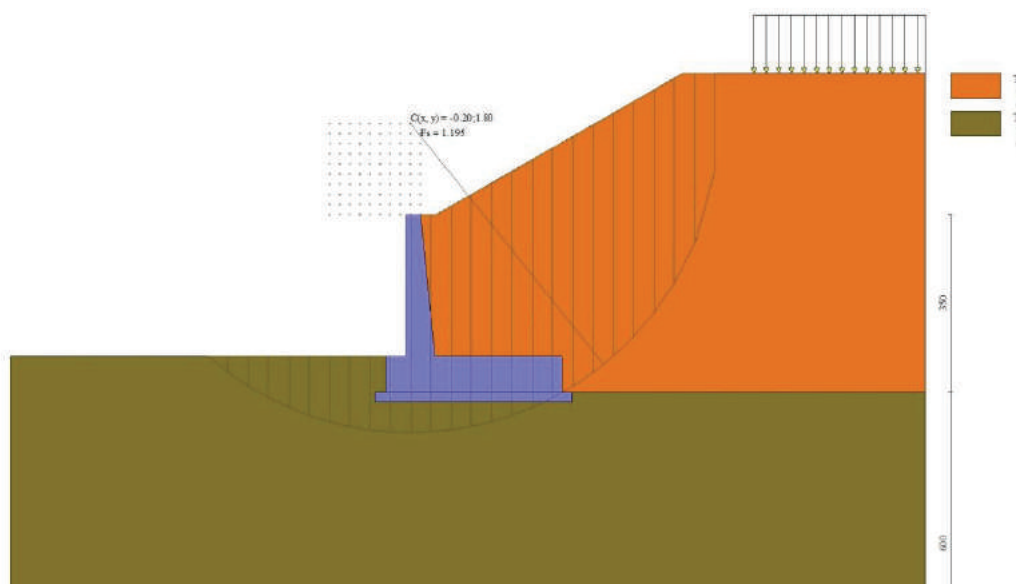


Figura 39 – Stabilità fronte di scavo - Cerchio critico (Combinazione n° 7)

Combinazione n° 8 - GEO A2-M2-R2

| n° | W [kg] | Qy [kg] | b [m] | α [°] | ϕ [°] | c [kg/cmq]] | u [kg/cmq]] | Tx; Ty [kg] |
|----|-----------|------------|--------------|-----------------|---------------|--------------------|--------------------|----------------|
| 1 | 2071 | 0 | 5.83 - 0.40 | 74.102 | 30.000 | 0.00 | 0.000 | |
| 2 | 2911 | 0 | 0.40 | 63.031 | 30.000 | 0.00 | 0.000 | |
| 3 | 3296 | 0 | 0.40 | 55.530 | 30.000 | 0.00 | 0.000 | |
| 4 | 3527 | 0 | 0.40 | 49.299 | 30.000 | 0.00 | 0.000 | |
| 5 | 3680 | 0 | 0.40 | 43.788 | 30.000 | 0.00 | 0.000 | |
| 6 | 3777 | 0 | 0.40 | 38.753 | 30.000 | 0.00 | 0.000 | |
| 7 | 3830 | 0 | 0.40 | 34.054 | 30.000 | 0.00 | 0.000 | |
| 8 | 3733 | 0 | 0.40 | 29.604 | 27.000 | 0.00 | 0.000 | |
| 9 | 3979 | 0 | 0.40 | 25.345 | 27.000 | 0.00 | 0.000 | |
| 10 | 3928 | 0 | 0.40 | 21.231 | 27.000 | 0.00 | 0.000 | |
| 11 | 3853 | 0 | 0.40 | 17.230 | 27.000 | 0.00 | 0.000 | |
| 12 | 3755 | 0 | 0.40 | 13.314 | 27.000 | 0.00 | 0.000 | |
| 13 | 3636 | 0 | 0.40 | 9.461 | 27.000 | 0.00 | 0.000 | |
| 14 | 3522 | 0 | 0.40 | 5.651 | 27.000 | 0.00 | 0.000 | |
| 15 | 3994 | 0 | 0.40 | 1.865 | 27.000 | 0.00 | 0.000 | |
| 16 | 1661 | 0 | 0.40 | -1.912 | 27.000 | 0.00 | 0.000 | |
| 17 | 1150 | 0 | 0.40 | -5.697 | 27.000 | 0.00 | 0.000 | |
| 18 | 1073 | 0 | 0.40 | -9.508 | 27.000 | 0.00 | 0.000 | |
| 19 | 1013 | 0 | 0.40 | -13.362 | 27.000 | 0.00 | 0.000 | |
| 20 | 931 | 0 | 0.40 | -17.278 | 27.000 | 0.00 | 0.000 | |
| 21 | 828 | 0 | 0.40 | -21.281 | 27.000 | 0.00 | 0.000 | |
| 22 | 699 | 0 | 0.40 | -25.396 | 27.000 | 0.00 | 0.000 | |
| 23 | 543 | 0 | 0.40 | -29.658 | 27.000 | 0.00 | 0.000 | |
| 24 | 349 | 0 | 0.40 | -34.110 | 27.000 | 0.00 | 0.000 | |
| 25 | 117 | 0 | -4.22 - 0.40 | -37.851 | 27.000 | 0.00 | 0.000 | |

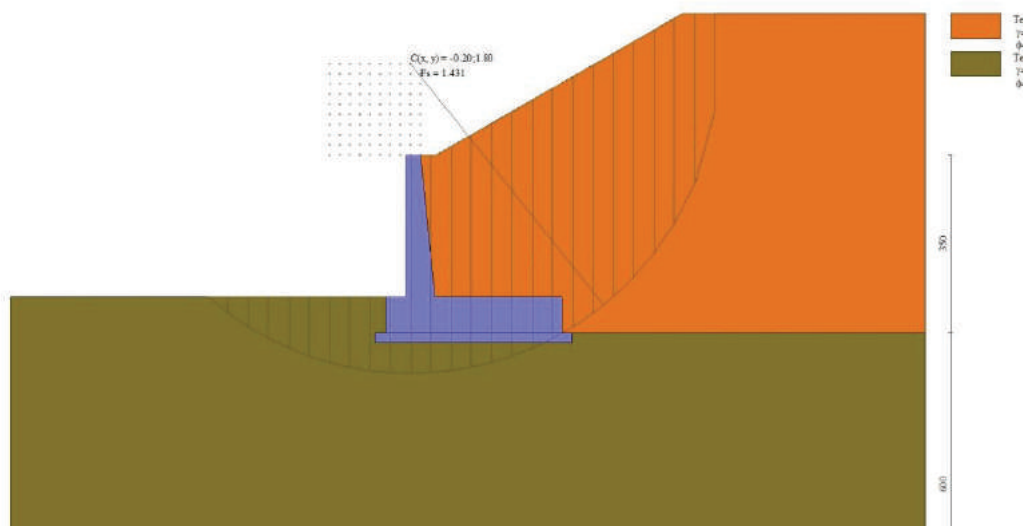


Figura 40 – Stabilità fronte di scavo - Cerchio critico (Combinazione n° 8)

Combinazione n° 9 - GEO A2-M2-R2

| n° | W [kg] | Qy [kg] | b [m] | α [°] | ϕ [°] | c [kg/cmq] J | u [kg/cmq] J | Tx; Ty [kg] |
|----|-----------|------------|-------------|----------|----------|--------------------|--------------------|----------------|
| 1 | 2071 | 0 | 5.83 - 0.40 | 74.102 | 30.000 | 0.00 | 0.000 | |
| 2 | 2911 | 0 | 0.40 | 63.031 | 30.000 | 0.00 | 0.000 | |
| 3 | 3296 | 0 | 0.40 | 55.530 | 30.000 | 0.00 | 0.000 | |
| 4 | 3527 | 0 | 0.40 | 49.299 | 30.000 | 0.00 | 0.000 | |
| 5 | 3680 | 0 | 0.40 | 43.788 | 30.000 | 0.00 | 0.000 | |
| 6 | 3777 | 0 | 0.40 | 38.753 | 30.000 | 0.00 | 0.000 | |
| 7 | 3830 | 0 | 0.40 | 34.054 | 30.000 | 0.00 | 0.000 | |
| 8 | 3733 | 0 | 0.40 | 29.604 | 27.000 | 0.00 | 0.000 | |
| 9 | 3979 | 0 | 0.40 | 25.345 | 27.000 | 0.00 | 0.000 | |
| 10 | 3928 | 0 | 0.40 | 21.231 | 27.000 | 0.00 | 0.000 | |
| 11 | 3853 | 0 | 0.40 | 17.230 | 27.000 | 0.00 | 0.000 | |
| 12 | 3755 | 0 | 0.40 | 13.314 | 27.000 | 0.00 | 0.000 | |
| 13 | 3636 | 0 | 0.40 | 9.461 | 27.000 | 0.00 | 0.000 | |
| 14 | 3522 | 0 | 0.40 | 5.651 | 27.000 | 0.00 | 0.000 | |
| 15 | 3994 | 0 | 0.40 | 1.865 | 27.000 | 0.00 | 0.000 | |
| 16 | 1661 | 0 | 0.40 | -1.912 | 27.000 | 0.00 | 0.000 | |
| 17 | 1150 | 0 | 0.40 | -5.697 | 27.000 | 0.00 | 0.000 | |
| 18 | 1073 | 0 | 0.40 | -9.508 | 27.000 | 0.00 | 0.000 | |
| 19 | 1013 | 0 | 0.40 | -13.362 | 27.000 | 0.00 | 0.000 | |
| 20 | 931 | 0 | 0.40 | -17.278 | 27.000 | 0.00 | 0.000 | |
| 21 | 828 | 0 | 0.40 | -21.281 | 27.000 | 0.00 | 0.000 | |
| 22 | 699 | 0 | 0.40 | -25.396 | 27.000 | 0.00 | 0.000 | |
| 23 | 543 | 0 | 0.40 | -29.658 | 27.000 | 0.00 | 0.000 | |

Progetto Esecutivo

| n° | W | Qy | b | α | ϕ | c | u | Tx; Ty |
|----|------|------|--------------|---------|--------|---------------|---------------|--------|
| | [kg] | [kg] | [m] | [°] | [°] | [kg/cmq] J | [kg/cmq] J | [kg] |
| 24 | 349 | 0 | 0.40 | -34.110 | 27.000 | 0.00 | 0.000 | |
| 25 | 117 | 0 | -4.22 - 0.40 | -37.851 | 27.000 | 0.00 | 0.000 | |

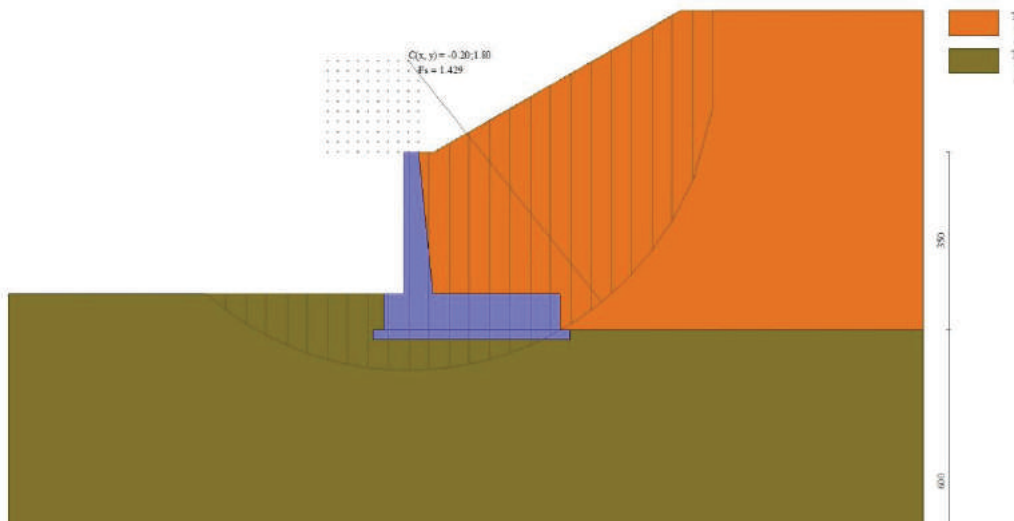


Figura 41 – Stabilità fronte di scavo - Cerchio critico (Combinazione n° 9)

13.8 Verifiche strutturali

13.8.1 Inviluppo delle sollecitazioni

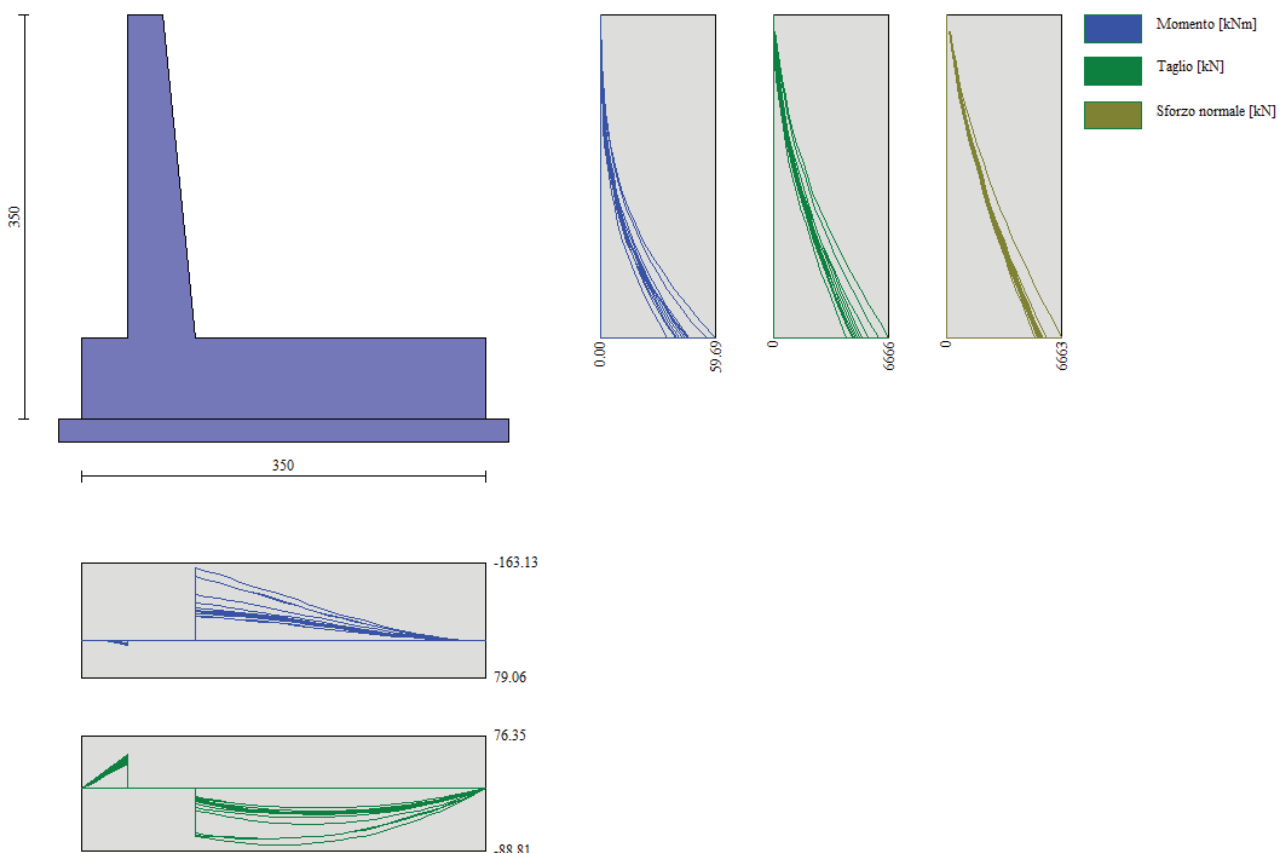


Figura 42 – Inviluppo delle sollecitazioni

13.8.2 Armature

Il muro sarà armato come segue:

- Fondazione:

- spessore 70 cm
- armatura superiore Φ16/20cm
- armatura inferiore Φ16/20cm
- armatura a taglio non necessaria
- armatura longitudinale Φ12/20cm

- Paramento:

- spessore in testa 30 cm
- spessore al piede 58 cm
- armatura interna Φ16/20cm
- armatura esterna Φ12/20cm
- armatura a taglio non necessaria
- armatura longitudinale Φ16/20cm

13.8.3 Verifiche a flessione

Elementi calcolati a trave

Simbologia adottata

| | |
|-----|---|
| n° | indice sezione |
| Y | ordinata sezione espressa in [m] |
| B | larghezza sezione espresso in [cm] |
| H | altezza sezione espressa in [cm] |
| Afi | area ferri inferiori espresso in [cmq] |
| Afs | area ferri superiori espresso in [cmq] |
| M | momento agente espresso in [kgm] |
| N | sforzo normale agente espresso in [kg] |
| Mu | momento ultimo espresso in [kgm] |
| Nu | sforzo normale ultimo espresso in [kg] |
| FS | fattore di sicurezza (rapporto tra sollecitazione ultima e sollecitazione agente) |

Paramento

Combinazione n° 1 - STR A1-M1-R3

| n° | Y | B | H | Afi | Afs | M | N | Mu | Nu | FS |
|----|-------|------|------|-------|-------|-------|------|-------|--------|----------|
| | [m] | [cm] | [cm] | [cmq] | [cmq] | [kgm] | [kg] | [kgm] | [kg] | |
| 1 | 0.00 | 100 | 30 | 10.05 | 5.65 | 0 | 0 | 0 | 0 | 1000.000 |
| 2 | -0.14 | 100 | 31 | 10.05 | 5.65 | 0 | 111 | 0 | 0 | 1000.000 |
| 3 | -0.28 | 100 | 33 | 10.05 | 5.65 | 2 | 236 | 0 | 0 | 1000.000 |
| 4 | -0.42 | 100 | 34 | 10.05 | 5.65 | 7 | 377 | 0 | 0 | 1000.000 |
| 5 | -0.56 | 100 | 36 | 10.05 | 5.65 | 20 | 539 | 13076 | 361006 | 669.436 |
| 6 | -0.70 | 100 | 37 | 10.05 | 5.65 | 43 | 724 | 19228 | 324521 | 447.952 |
| 7 | -0.84 | 100 | 39 | 10.05 | 5.65 | 82 | 932 | 25005 | 282911 | 303.646 |
| 8 | -0.98 | 100 | 40 | 10.05 | 5.65 | 143 | 1160 | 29898 | 243262 | 209.773 |
| 9 | -1.12 | 100 | 41 | 10.05 | 5.65 | 228 | 1407 | 33941 | 209738 | 149.027 |
| 10 | -1.26 | 100 | 43 | 10.05 | 5.65 | 342 | 1674 | 35034 | 171471 | 102.420 |
| 11 | -1.40 | 100 | 44 | 10.05 | 5.65 | 489 | 1959 | 34536 | 138296 | 70.579 |
| 12 | -1.54 | 100 | 46 | 10.05 | 5.65 | 673 | 2263 | 33435 | 112368 | 49.662 |
| 13 | -1.68 | 100 | 47 | 10.05 | 5.65 | 897 | 2583 | 32167 | 92603 | 35.845 |
| 14 | -1.82 | 100 | 48 | 10.05 | 5.65 | 1165 | 2921 | 31041 | 77824 | 26.641 |
| 15 | -1.96 | 100 | 50 | 10.05 | 5.65 | 1480 | 3276 | 30269 | 66997 | 20.454 |
| 16 | -2.10 | 100 | 51 | 10.05 | 5.65 | 1845 | 3646 | 29555 | 58417 | 16.021 |
| 17 | -2.24 | 100 | 53 | 10.05 | 5.65 | 2263 | 4033 | 29185 | 52012 | 12.897 |
| 18 | -2.38 | 100 | 54 | 10.05 | 5.65 | 2737 | 4435 | 29049 | 47067 | 10.612 |
| 19 | -2.52 | 100 | 56 | 10.05 | 5.65 | 3271 | 4853 | 29078 | 43142 | 8.889 |
| 20 | -2.66 | 100 | 57 | 10.05 | 5.65 | 3867 | 5286 | 29229 | 39956 | 7.558 |
| 21 | -2.80 | 100 | 58 | 10.05 | 5.65 | 4528 | 5735 | 29471 | 37326 | 6.509 |

Combinazione n° 2 - STR A1-M1-R3

| n° | Y | B | H | Afi | Afs | M | N | Mu | Nu | FS |
|----|-------|------|------|-------|-------|-------|------|-------|--------|----------|
| | [m] | [cm] | [cm] | [cmq] | [cmq] | [kgm] | [kg] | [kgm] | [kg] | |
| 1 | 0.00 | 100 | 30 | 10.05 | 5.65 | 0 | 0 | 0 | 0 | 1000.000 |
| 2 | -0.14 | 100 | 31 | 10.05 | 5.65 | 0 | 123 | 0 | 0 | 1000.000 |
| 3 | -0.28 | 100 | 33 | 10.05 | 5.65 | 6 | 256 | 0 | 0 | 1000.000 |
| 4 | -0.42 | 100 | 34 | 10.05 | 5.65 | 18 | 404 | 14446 | 324449 | 802.280 |
| 5 | -0.56 | 100 | 36 | 10.05 | 5.65 | 40 | 570 | 19917 | 286973 | 503.680 |
| 6 | -0.70 | 100 | 37 | 10.05 | 5.65 | 74 | 754 | 24612 | 251627 | 333.809 |
| 7 | -0.84 | 100 | 39 | 10.05 | 5.65 | 124 | 956 | 28659 | 220361 | 230.507 |
| 8 | -0.98 | 100 | 40 | 10.05 | 5.65 | 195 | 1175 | 32056 | 193191 | 164.387 |
| 9 | -1.12 | 100 | 41 | 10.05 | 5.65 | 289 | 1411 | 32702 | 159598 | 113.123 |
| 10 | -1.26 | 100 | 43 | 10.05 | 5.65 | 410 | 1662 | 32466 | 131725 | 79.244 |
| 11 | -1.40 | 100 | 44 | 10.05 | 5.65 | 560 | 1929 | 31714 | 109275 | 56.647 |
| 12 | -1.54 | 100 | 46 | 10.05 | 5.65 | 742 | 2211 | 30776 | 91645 | 41.454 |
| 13 | -1.68 | 100 | 47 | 10.05 | 5.65 | 960 | 2507 | 30069 | 78515 | 31.316 |
| 14 | -1.82 | 100 | 48 | 10.05 | 5.65 | 1216 | 2818 | 29427 | 68201 | 24.204 |
| 15 | -1.96 | 100 | 50 | 10.05 | 5.65 | 1512 | 3142 | 28958 | 60189 | 19.154 |
| 16 | -2.10 | 100 | 51 | 10.05 | 5.65 | 1851 | 3481 | 28653 | 53887 | 15.482 |
| 17 | -2.24 | 100 | 53 | 10.05 | 5.65 | 2235 | 3832 | 28562 | 48975 | 12.779 |
| 18 | -2.38 | 100 | 54 | 10.05 | 5.65 | 2667 | 4197 | 28623 | 45046 | 10.732 |

| n° | Y | B | H | Afi | Afs | M | N | Mu | Nu | FS |
|----|-------|------|------|-------|-------|-------|------|-------|-------|-------|
| | [m] | [cm] | [cm] | [cmq] | [cmq] | [kgm] | [kg] | [kgm] | [kg] | |
| 19 | -2.52 | 100 | 56 | 10.05 | 5.65 | 3149 | 4575 | 28796 | 41838 | 9.145 |
| 20 | -2.66 | 100 | 57 | 10.05 | 5.65 | 3683 | 4966 | 29055 | 39175 | 7.889 |
| 21 | -2.80 | 100 | 58 | 10.05 | 5.65 | 4272 | 5370 | 29381 | 36933 | 6.878 |

Combinazione n° 3 - STR A1-M1-R3

| n° | Y | B | H | Afi | Afs | M | N | Mu | Nu | FS |
|----|-------|------|------|-------|-------|-------|------|-------|--------|----------|
| | [m] | [cm] | [cm] | [cmq] | [cmq] | [kgm] | [kg] | [kgm] | [kg] | |
| 1 | 0.00 | 100 | 30 | 10.05 | 5.65 | 0 | 0 | 0 | 0 | 1000.000 |
| 2 | -0.14 | 100 | 31 | 10.05 | 5.65 | 0 | 120 | 0 | 0 | 1000.000 |
| 3 | -0.28 | 100 | 33 | 10.05 | 5.65 | 5 | 251 | 0 | 0 | 1000.000 |
| 4 | -0.42 | 100 | 34 | 10.05 | 5.65 | 16 | 396 | 13367 | 335578 | 847.612 |
| 5 | -0.56 | 100 | 36 | 10.05 | 5.65 | 35 | 558 | 18866 | 300998 | 539.015 |
| 6 | -0.70 | 100 | 37 | 10.05 | 5.65 | 66 | 740 | 23733 | 265550 | 359.025 |
| 7 | -0.84 | 100 | 39 | 10.05 | 5.65 | 113 | 939 | 28003 | 233024 | 248.164 |
| 8 | -0.98 | 100 | 40 | 10.05 | 5.65 | 179 | 1155 | 31709 | 204824 | 177.277 |
| 9 | -1.12 | 100 | 41 | 10.05 | 5.65 | 268 | 1388 | 33349 | 173049 | 124.660 |
| 10 | -1.26 | 100 | 43 | 10.05 | 5.65 | 382 | 1637 | 33255 | 142517 | 87.071 |
| 11 | -1.40 | 100 | 44 | 10.05 | 5.65 | 525 | 1901 | 32576 | 117915 | 62.037 |
| 12 | -1.54 | 100 | 46 | 10.05 | 5.65 | 700 | 2180 | 31683 | 98665 | 45.267 |
| 13 | -1.68 | 100 | 47 | 10.05 | 5.65 | 909 | 2473 | 31034 | 84426 | 34.137 |
| 14 | -1.82 | 100 | 48 | 10.05 | 5.65 | 1155 | 2781 | 30166 | 72608 | 26.109 |
| 15 | -1.96 | 100 | 50 | 10.05 | 5.65 | 1441 | 3103 | 29668 | 63866 | 20.584 |
| 16 | -2.10 | 100 | 51 | 10.05 | 5.65 | 1769 | 3438 | 29235 | 56807 | 16.523 |
| 17 | -2.24 | 100 | 53 | 10.05 | 5.65 | 2142 | 3787 | 29052 | 51363 | 13.563 |
| 18 | -2.38 | 100 | 54 | 10.05 | 5.65 | 2562 | 4149 | 29044 | 47045 | 11.339 |
| 19 | -2.52 | 100 | 56 | 10.05 | 5.65 | 3030 | 4524 | 29166 | 43545 | 9.625 |
| 20 | -2.66 | 100 | 57 | 10.05 | 5.65 | 3550 | 4912 | 29384 | 40654 | 8.276 |
| 21 | -2.80 | 100 | 58 | 10.05 | 5.65 | 4124 | 5313 | 29678 | 38232 | 7.196 |

Combinazione n° 4 - STR A1-M1-R3

| n° | Y | B | H | Afi | Afs | M | N | Mu | Nu | FS |
|----|-------|------|------|-------|-------|-------|------|-------|--------|----------|
| | [m] | [cm] | [cm] | [cmq] | [cmq] | [kgm] | [kg] | [kgm] | [kg] | |
| 1 | 0.00 | 100 | 30 | 10.05 | 5.65 | 0 | 0 | 0 | 0 | 1000.000 |
| 2 | -0.14 | 100 | 31 | 10.05 | 5.65 | 0 | 143 | 0 | 0 | 1000.000 |
| 3 | -0.28 | 100 | 33 | 10.05 | 5.65 | 2 | 302 | 0 | 0 | 1000.000 |
| 4 | -0.42 | 100 | 34 | 10.05 | 5.65 | 8 | 478 | 0 | 0 | 1000.000 |
| 5 | -0.56 | 100 | 36 | 10.05 | 5.65 | 21 | 677 | 11780 | 372124 | 549.491 |
| 6 | -0.70 | 100 | 37 | 10.05 | 5.65 | 46 | 901 | 17499 | 343024 | 380.876 |
| 7 | -0.84 | 100 | 39 | 10.05 | 5.65 | 87 | 1148 | 23203 | 306907 | 267.436 |
| 8 | -0.98 | 100 | 40 | 10.05 | 5.65 | 149 | 1417 | 28345 | 270199 | 190.721 |
| 9 | -1.12 | 100 | 41 | 10.05 | 5.65 | 236 | 1707 | 32753 | 237107 | 138.889 |
| 10 | -1.26 | 100 | 43 | 10.05 | 5.65 | 352 | 2018 | 36269 | 207698 | 102.914 |
| 11 | -1.40 | 100 | 44 | 10.05 | 5.65 | 502 | 2349 | 36886 | 172505 | 73.434 |
| 12 | -1.54 | 100 | 46 | 10.05 | 5.65 | 689 | 2700 | 36523 | 143066 | 52.997 |
| 13 | -1.68 | 100 | 47 | 10.05 | 5.65 | 917 | 3069 | 35581 | 119134 | 38.820 |
| 14 | -1.82 | 100 | 48 | 10.05 | 5.65 | 1188 | 3457 | 34470 | 100303 | 29.016 |

| n° | Y | B | H | Afi | Afs | M | N | Mu | Nu | FS |
|----|-------|------|------|-------|-------|-------|------|-------|-------|--------|
| | [m] | [cm] | [cm] | [cmq] | [cmq] | [kgm] | [kg] | [kgm] | [kg] | |
| 15 | -1.96 | 100 | 50 | 10.05 | 5.65 | 1507 | 3863 | 33541 | 85993 | 22.261 |
| 16 | -2.10 | 100 | 51 | 10.05 | 5.65 | 1876 | 4287 | 32679 | 74676 | 17.420 |
| 17 | -2.24 | 100 | 53 | 10.05 | 5.65 | 2299 | 4728 | 32022 | 65859 | 13.929 |
| 18 | -2.38 | 100 | 54 | 10.05 | 5.65 | 2779 | 5187 | 31535 | 58867 | 11.350 |
| 19 | -2.52 | 100 | 56 | 10.05 | 5.65 | 3318 | 5662 | 31305 | 53425 | 9.435 |
| 20 | -2.66 | 100 | 57 | 10.05 | 5.65 | 3920 | 6154 | 31256 | 49077 | 7.974 |
| 21 | -2.80 | 100 | 58 | 10.05 | 5.65 | 4587 | 6663 | 31343 | 45532 | 6.833 |

Combinazione n° 5 - STR A1-M1-R3

| n° | Y | B | H | Afi | Afs | M | N | Mu | Nu | FS |
|----|-------|------|------|-------|-------|-------|------|-------|--------|----------|
| | [m] | [cm] | [cm] | [cmq] | [cmq] | [kgm] | [kg] | [kgm] | [kg] | |
| 1 | 0.00 | 100 | 30 | 10.05 | 5.65 | 0 | 0 | 0 | 0 | 1000.000 |
| 2 | -0.14 | 100 | 31 | 10.05 | 5.65 | 0 | 111 | 0 | 0 | 1000.000 |
| 3 | -0.28 | 100 | 33 | 10.05 | 5.65 | 2 | 236 | 0 | 0 | 1000.000 |
| 4 | -0.42 | 100 | 34 | 10.05 | 5.65 | 7 | 377 | 0 | 0 | 1000.000 |
| 5 | -0.56 | 100 | 36 | 10.05 | 5.65 | 20 | 539 | 13076 | 361006 | 669.436 |
| 6 | -0.70 | 100 | 37 | 10.05 | 5.65 | 43 | 724 | 19228 | 324521 | 447.952 |
| 7 | -0.84 | 100 | 39 | 10.05 | 5.65 | 82 | 932 | 25005 | 282911 | 303.646 |
| 8 | -0.98 | 100 | 40 | 10.05 | 5.65 | 143 | 1160 | 29898 | 243262 | 209.773 |
| 9 | -1.12 | 100 | 41 | 10.05 | 5.65 | 228 | 1407 | 33941 | 209738 | 149.027 |
| 10 | -1.26 | 100 | 43 | 10.05 | 5.65 | 342 | 1674 | 35034 | 171471 | 102.420 |
| 11 | -1.40 | 100 | 44 | 10.05 | 5.65 | 489 | 1959 | 34536 | 138296 | 70.579 |
| 12 | -1.54 | 100 | 46 | 10.05 | 5.65 | 673 | 2263 | 33435 | 112368 | 49.662 |
| 13 | -1.68 | 100 | 47 | 10.05 | 5.65 | 897 | 2583 | 32167 | 92603 | 35.845 |
| 14 | -1.82 | 100 | 48 | 10.05 | 5.65 | 1165 | 2921 | 31041 | 77824 | 26.641 |
| 15 | -1.96 | 100 | 50 | 10.05 | 5.65 | 1480 | 3276 | 30269 | 66997 | 20.454 |
| 16 | -2.10 | 100 | 51 | 10.05 | 5.65 | 1845 | 3646 | 29555 | 58417 | 16.021 |
| 17 | -2.24 | 100 | 53 | 10.05 | 5.65 | 2263 | 4033 | 29185 | 52012 | 12.897 |
| 18 | -2.38 | 100 | 54 | 10.05 | 5.65 | 2737 | 4435 | 29049 | 47067 | 10.612 |
| 19 | -2.52 | 100 | 56 | 10.05 | 5.65 | 3271 | 4853 | 29078 | 43142 | 8.889 |
| 20 | -2.66 | 100 | 57 | 10.05 | 5.65 | 3867 | 5286 | 29229 | 39956 | 7.558 |
| 21 | -2.80 | 100 | 58 | 10.05 | 5.65 | 4528 | 5735 | 29471 | 37326 | 6.509 |

Combinazione n° 6 - STR A1-M1-R3

| n° | Y | B | H | Afi | Afs | M | N | Mu | Nu | FS |
|----|-------|------|------|-------|-------|-------|------|-------|--------|----------|
| | [m] | [cm] | [cm] | [cmq] | [cmq] | [kgm] | [kg] | [kgm] | [kg] | |
| 1 | 0.00 | 100 | 30 | 10.05 | 5.65 | 0 | 0 | 0 | 0 | 1000.000 |
| 2 | -0.14 | 100 | 31 | 10.05 | 5.65 | 0 | 143 | 0 | 0 | 1000.000 |
| 3 | -0.28 | 100 | 33 | 10.05 | 5.65 | 2 | 302 | 0 | 0 | 1000.000 |
| 4 | -0.42 | 100 | 34 | 10.05 | 5.65 | 8 | 478 | 0 | 0 | 1000.000 |
| 5 | -0.56 | 100 | 36 | 10.05 | 5.65 | 21 | 677 | 11780 | 372124 | 549.491 |
| 6 | -0.70 | 100 | 37 | 10.05 | 5.65 | 46 | 901 | 17499 | 343024 | 380.876 |
| 7 | -0.84 | 100 | 39 | 10.05 | 5.65 | 87 | 1148 | 23203 | 306907 | 267.436 |
| 8 | -0.98 | 100 | 40 | 10.05 | 5.65 | 149 | 1417 | 28345 | 270199 | 190.721 |
| 9 | -1.12 | 100 | 41 | 10.05 | 5.65 | 236 | 1707 | 32753 | 237107 | 138.889 |
| 10 | -1.26 | 100 | 43 | 10.05 | 5.65 | 352 | 2018 | 36269 | 207698 | 102.914 |

| n° | Y | B | H | Afi | Afs | M | N | Mu | Nu | FS |
|----|-------|------|------|-------|-------|-------|------|-------|--------|--------|
| | [m] | [cm] | [cm] | [cmq] | [cmq] | [kgm] | [kg] | [kgm] | [kg] | |
| 11 | -1.40 | 100 | 44 | 10.05 | 5.65 | 502 | 2349 | 36886 | 172505 | 73.434 |
| 12 | -1.54 | 100 | 46 | 10.05 | 5.65 | 689 | 2700 | 36523 | 143066 | 52.997 |
| 13 | -1.68 | 100 | 47 | 10.05 | 5.65 | 917 | 3069 | 35581 | 119134 | 38.820 |
| 14 | -1.82 | 100 | 48 | 10.05 | 5.65 | 1188 | 3457 | 34470 | 100303 | 29.016 |
| 15 | -1.96 | 100 | 50 | 10.05 | 5.65 | 1507 | 3863 | 33541 | 85993 | 22.261 |
| 16 | -2.10 | 100 | 51 | 10.05 | 5.65 | 1876 | 4287 | 32679 | 74676 | 17.420 |
| 17 | -2.24 | 100 | 53 | 10.05 | 5.65 | 2299 | 4728 | 32022 | 65859 | 13.929 |
| 18 | -2.38 | 100 | 54 | 10.05 | 5.65 | 2779 | 5187 | 31535 | 58867 | 11.350 |
| 19 | -2.52 | 100 | 56 | 10.05 | 5.65 | 3318 | 5662 | 31305 | 53425 | 9.435 |
| 20 | -2.66 | 100 | 57 | 10.05 | 5.65 | 3920 | 6154 | 31256 | 49077 | 7.974 |
| 21 | -2.80 | 100 | 58 | 10.05 | 5.65 | 4587 | 6663 | 31343 | 45532 | 6.833 |

Fondazione

Combinazione n° 1 - STR A1-M1-R3

| n° | Y | B | H | Afi | Afs | M | N | Mu | Nu | FS |
|----|-------|------|------|-------|-------|--------|------|--------|------|----------|
| | [m] | [cm] | [cm] | [cmq] | [cmq] | [kgm] | [kg] | [kgm] | [kg] | |
| 1 | -0.70 | 100 | 70 | 10.05 | 10.05 | 0 | 0 | 0 | 0 | 1000.000 |
| 2 | -0.60 | 100 | 70 | 10.05 | 10.05 | 58 | 0 | 25007 | 0 | 429.999 |
| 3 | -0.50 | 100 | 70 | 10.05 | 10.05 | 231 | 0 | 25007 | 0 | 108.265 |
| 4 | -0.40 | 100 | 70 | 10.05 | 10.05 | 516 | 0 | 25007 | 0 | 48.462 |
| 5 | -0.30 | 100 | 70 | 10.05 | 10.05 | 911 | 0 | 25007 | 0 | 27.457 |
| 6 | 0.28 | 100 | 70 | 10.05 | 10.05 | -13662 | 0 | -25007 | 0 | 1.830 |
| 7 | 0.38 | 100 | 70 | 10.05 | 10.05 | -13001 | 0 | -25007 | 0 | 1.923 |
| 8 | 0.48 | 100 | 70 | 10.05 | 10.05 | -12323 | 0 | -25007 | 0 | 2.029 |
| 9 | 0.58 | 100 | 70 | 10.05 | 10.05 | -11631 | 0 | -25007 | 0 | 2.150 |
| 10 | 0.67 | 100 | 70 | 10.05 | 10.05 | -10929 | 0 | -25007 | 0 | 2.288 |
| 11 | 0.77 | 100 | 70 | 10.05 | 10.05 | -10219 | 0 | -25007 | 0 | 2.447 |
| 12 | 0.87 | 100 | 70 | 10.05 | 10.05 | -9506 | 0 | -25007 | 0 | 2.631 |
| 13 | 0.96 | 100 | 70 | 10.05 | 10.05 | -8793 | 0 | -25007 | 0 | 2.844 |
| 14 | 1.06 | 100 | 70 | 10.05 | 10.05 | -8084 | 0 | -25007 | 0 | 3.093 |
| 15 | 1.16 | 100 | 70 | 10.05 | 10.05 | -7382 | 0 | -25007 | 0 | 3.388 |
| 16 | 1.25 | 100 | 70 | 10.05 | 10.05 | -6690 | 0 | -25007 | 0 | 3.738 |
| 17 | 1.35 | 100 | 70 | 10.05 | 10.05 | -6014 | 0 | -25007 | 0 | 4.158 |
| 18 | 1.45 | 100 | 70 | 10.05 | 10.05 | -5355 | 0 | -25007 | 0 | 4.670 |
| 19 | 1.54 | 100 | 70 | 10.05 | 10.05 | -4717 | 0 | -25007 | 0 | 5.301 |
| 20 | 1.64 | 100 | 70 | 10.05 | 10.05 | -4105 | 0 | -25007 | 0 | 6.092 |
| 21 | 1.74 | 100 | 70 | 10.05 | 10.05 | -3521 | 0 | -25007 | 0 | 7.103 |
| 22 | 1.84 | 100 | 70 | 10.05 | 10.05 | -2969 | 0 | -25007 | 0 | 8.423 |
| 23 | 1.93 | 100 | 70 | 10.05 | 10.05 | -2453 | 0 | -25007 | 0 | 10.195 |
| 24 | 2.03 | 100 | 70 | 10.05 | 10.05 | -1976 | 0 | -25007 | 0 | 12.655 |
| 25 | 2.13 | 100 | 70 | 10.05 | 10.05 | -1542 | 0 | -25007 | 0 | 16.218 |
| 26 | 2.22 | 100 | 70 | 10.05 | 10.05 | -1154 | 0 | -25007 | 0 | 21.667 |
| 27 | 2.32 | 100 | 70 | 10.05 | 10.05 | -816 | 0 | -25007 | 0 | 30.634 |
| 28 | 2.42 | 100 | 70 | 10.05 | 10.05 | -532 | 0 | -25007 | 0 | 47.013 |
| 29 | 2.51 | 100 | 70 | 10.05 | 10.05 | -305 | 0 | -25007 | 0 | 82.115 |

| n° | Y | B | H | Afi | Afs | M | N | Mu | Nu | FS |
|----|------|------|------|-------|-------|-------|------|--------|------|----------|
| | [m] | [cm] | [cm] | [cmq] | [cmq] | [kgm] | [kg] | [kgm] | [kg] | |
| 30 | 2.61 | 100 | 70 | 10.05 | 10.05 | -138 | 0 | -25007 | 0 | 181.578 |
| 31 | 2.71 | 100 | 70 | 10.05 | 10.05 | -35 | 0 | -25007 | 0 | 714.026 |
| 32 | 2.80 | 100 | 70 | 10.05 | 10.05 | 0 | 0 | 0 | 0 | 1000.000 |

Combinazione n° 2 - STR A1-M1-R3

| n° | Y | B | H | Afi | Afs | M | N | Mu | Nu | FS |
|----|-------|------|------|-------|-------|-------|------|--------|------|----------|
| | [m] | [cm] | [cm] | [cmq] | [cmq] | [kgm] | [kg] | [kgm] | [kg] | |
| 1 | -0.70 | 100 | 70 | 10.05 | 10.05 | 0 | 0 | 0 | 0 | 1000.000 |
| 2 | -0.60 | 100 | 70 | 10.05 | 10.05 | 54 | 0 | 25007 | 0 | 465.627 |
| 3 | -0.50 | 100 | 70 | 10.05 | 10.05 | 213 | 0 | 25007 | 0 | 117.163 |
| 4 | -0.40 | 100 | 70 | 10.05 | 10.05 | 477 | 0 | 25007 | 0 | 52.413 |
| 5 | -0.30 | 100 | 70 | 10.05 | 10.05 | 843 | 0 | 25007 | 0 | 29.676 |
| 6 | 0.28 | 100 | 70 | 10.05 | 10.05 | -6342 | 0 | -25007 | 0 | 3.943 |
| 7 | 0.38 | 100 | 70 | 10.05 | 10.05 | -6166 | 0 | -25007 | 0 | 4.056 |
| 8 | 0.48 | 100 | 70 | 10.05 | 10.05 | -5961 | 0 | -25007 | 0 | 4.195 |
| 9 | 0.58 | 100 | 70 | 10.05 | 10.05 | -5730 | 0 | -25007 | 0 | 4.364 |
| 10 | 0.67 | 100 | 70 | 10.05 | 10.05 | -5477 | 0 | -25007 | 0 | 4.566 |
| 11 | 0.77 | 100 | 70 | 10.05 | 10.05 | -5204 | 0 | -25007 | 0 | 4.806 |
| 12 | 0.87 | 100 | 70 | 10.05 | 10.05 | -4913 | 0 | -25007 | 0 | 5.090 |
| 13 | 0.96 | 100 | 70 | 10.05 | 10.05 | -4609 | 0 | -25007 | 0 | 5.426 |
| 14 | 1.06 | 100 | 70 | 10.05 | 10.05 | -4293 | 0 | -25007 | 0 | 5.825 |
| 15 | 1.16 | 100 | 70 | 10.05 | 10.05 | -3969 | 0 | -25007 | 0 | 6.300 |
| 16 | 1.25 | 100 | 70 | 10.05 | 10.05 | -3640 | 0 | -25007 | 0 | 6.871 |
| 17 | 1.35 | 100 | 70 | 10.05 | 10.05 | -3308 | 0 | -25007 | 0 | 7.560 |
| 18 | 1.45 | 100 | 70 | 10.05 | 10.05 | -2976 | 0 | -25007 | 0 | 8.402 |
| 19 | 1.54 | 100 | 70 | 10.05 | 10.05 | -2648 | 0 | -25007 | 0 | 9.444 |
| 20 | 1.64 | 100 | 70 | 10.05 | 10.05 | -2326 | 0 | -25007 | 0 | 10.752 |
| 21 | 1.74 | 100 | 70 | 10.05 | 10.05 | -2013 | 0 | -25007 | 0 | 12.424 |
| 22 | 1.84 | 100 | 70 | 10.05 | 10.05 | -1712 | 0 | -25007 | 0 | 14.608 |
| 23 | 1.93 | 100 | 70 | 10.05 | 10.05 | -1426 | 0 | -25007 | 0 | 17.539 |
| 24 | 2.03 | 100 | 70 | 10.05 | 10.05 | -1157 | 0 | -25007 | 0 | 21.604 |
| 25 | 2.13 | 100 | 70 | 10.05 | 10.05 | -910 | 0 | -25007 | 0 | 27.483 |
| 26 | 2.22 | 100 | 70 | 10.05 | 10.05 | -686 | 0 | -25007 | 0 | 36.458 |
| 27 | 2.32 | 100 | 70 | 10.05 | 10.05 | -488 | 0 | -25007 | 0 | 51.200 |
| 28 | 2.42 | 100 | 70 | 10.05 | 10.05 | -320 | 0 | -25007 | 0 | 78.068 |
| 29 | 2.51 | 100 | 70 | 10.05 | 10.05 | -185 | 0 | -25007 | 0 | 135.514 |
| 30 | 2.61 | 100 | 70 | 10.05 | 10.05 | -84 | 0 | -25007 | 0 | 297.882 |
| 31 | 2.71 | 100 | 70 | 10.05 | 10.05 | -21 | 0 | 0 | 0 | 1000.000 |
| 32 | 2.80 | 100 | 70 | 10.05 | 10.05 | 0 | 0 | 0 | 0 | 1000.000 |

Combinazione n° 3 - STR A1-M1-R3

| n° | Y | B | H | Afi | Afs | M | N | Mu | Nu | FS |
|----|-------|------|------|-------|-------|-------|------|-------|------|----------|
| | [m] | [cm] | [cm] | [cmq] | [cmq] | [kgm] | [kg] | [kgm] | [kg] | |
| 1 | -0.70 | 100 | 70 | 10.05 | 10.05 | 0 | 0 | 0 | 0 | 1000.000 |
| 2 | -0.60 | 100 | 70 | 10.05 | 10.05 | 52 | 0 | 25007 | 0 | 479.945 |
| 3 | -0.50 | 100 | 70 | 10.05 | 10.05 | 207 | 0 | 25007 | 0 | 120.772 |

| n° | Y | B | H | Afi | Afs | M | N | Mu | Nu | FS |
|----|-------|------|------|-------|-------|-------|------|--------|------|----------|
| | [m] | [cm] | [cm] | [cmq] | [cmq] | [kgm] | [kg] | [kgm] | [kg] | |
| 4 | -0.40 | 100 | 70 | 10.05 | 10.05 | 463 | 0 | 25007 | 0 | 54.031 |
| 5 | -0.30 | 100 | 70 | 10.05 | 10.05 | 817 | 0 | 25007 | 0 | 30.594 |
| 6 | 0.28 | 100 | 70 | 10.05 | 10.05 | -6985 | 0 | -25007 | 0 | 3.580 |
| 7 | 0.38 | 100 | 70 | 10.05 | 10.05 | -6756 | 0 | -25007 | 0 | 3.701 |
| 8 | 0.48 | 100 | 70 | 10.05 | 10.05 | -6501 | 0 | -25007 | 0 | 3.846 |
| 9 | 0.58 | 100 | 70 | 10.05 | 10.05 | -6223 | 0 | -25007 | 0 | 4.018 |
| 10 | 0.67 | 100 | 70 | 10.05 | 10.05 | -5924 | 0 | -25007 | 0 | 4.221 |
| 11 | 0.77 | 100 | 70 | 10.05 | 10.05 | -5608 | 0 | -25007 | 0 | 4.459 |
| 12 | 0.87 | 100 | 70 | 10.05 | 10.05 | -5277 | 0 | -25007 | 0 | 4.738 |
| 13 | 0.96 | 100 | 70 | 10.05 | 10.05 | -4935 | 0 | -25007 | 0 | 5.067 |
| 14 | 1.06 | 100 | 70 | 10.05 | 10.05 | -4584 | 0 | -25007 | 0 | 5.456 |
| 15 | 1.16 | 100 | 70 | 10.05 | 10.05 | -4226 | 0 | -25007 | 0 | 5.917 |
| 16 | 1.25 | 100 | 70 | 10.05 | 10.05 | -3866 | 0 | -25007 | 0 | 6.469 |
| 17 | 1.35 | 100 | 70 | 10.05 | 10.05 | -3505 | 0 | -25007 | 0 | 7.135 |
| 18 | 1.45 | 100 | 70 | 10.05 | 10.05 | -3147 | 0 | -25007 | 0 | 7.947 |
| 19 | 1.54 | 100 | 70 | 10.05 | 10.05 | -2794 | 0 | -25007 | 0 | 8.951 |
| 20 | 1.64 | 100 | 70 | 10.05 | 10.05 | -2449 | 0 | -25007 | 0 | 10.210 |
| 21 | 1.74 | 100 | 70 | 10.05 | 10.05 | -2116 | 0 | -25007 | 0 | 11.820 |
| 22 | 1.84 | 100 | 70 | 10.05 | 10.05 | -1796 | 0 | -25007 | 0 | 13.923 |
| 23 | 1.93 | 100 | 70 | 10.05 | 10.05 | -1493 | 0 | -25007 | 0 | 16.744 |
| 24 | 2.03 | 100 | 70 | 10.05 | 10.05 | -1211 | 0 | -25007 | 0 | 20.657 |
| 25 | 2.13 | 100 | 70 | 10.05 | 10.05 | -950 | 0 | -25007 | 0 | 26.318 |
| 26 | 2.22 | 100 | 70 | 10.05 | 10.05 | -715 | 0 | -25007 | 0 | 34.962 |
| 27 | 2.32 | 100 | 70 | 10.05 | 10.05 | -509 | 0 | -25007 | 0 | 49.165 |
| 28 | 2.42 | 100 | 70 | 10.05 | 10.05 | -333 | 0 | -25007 | 0 | 75.062 |
| 29 | 2.51 | 100 | 70 | 10.05 | 10.05 | -192 | 0 | -25007 | 0 | 130.456 |
| 30 | 2.61 | 100 | 70 | 10.05 | 10.05 | -87 | 0 | -25007 | 0 | 287.100 |
| 31 | 2.71 | 100 | 70 | 10.05 | 10.05 | -22 | 0 | 0 | 0 | 1000.000 |
| 32 | 2.80 | 100 | 70 | 10.05 | 10.05 | 0 | 0 | 0 | 0 | 1000.000 |

Combinazione n° 4 - STR A1-M1-R3

| n° | Y | B | H | Afi | Afs | M | N | Mu | Nu | FS |
|----|-------|------|------|-------|-------|-------|------|--------|------|----------|
| | [m] | [cm] | [cm] | [cmq] | [cmq] | [kgm] | [kg] | [kgm] | [kg] | |
| 1 | -0.70 | 100 | 70 | 10.05 | 10.05 | 0 | 0 | 0 | 0 | 1000.000 |
| 2 | -0.60 | 100 | 70 | 10.05 | 10.05 | 63 | 0 | 25007 | 0 | 396.936 |
| 3 | -0.50 | 100 | 70 | 10.05 | 10.05 | 251 | 0 | 25007 | 0 | 99.757 |
| 4 | -0.40 | 100 | 70 | 10.05 | 10.05 | 561 | 0 | 25007 | 0 | 44.571 |
| 5 | -0.30 | 100 | 70 | 10.05 | 10.05 | 992 | 0 | 25007 | 0 | 25.205 |
| 6 | 0.28 | 100 | 70 | 10.05 | 10.05 | -6553 | 0 | -25007 | 0 | 3.816 |
| 7 | 0.38 | 100 | 70 | 10.05 | 10.05 | -6383 | 0 | -25007 | 0 | 3.918 |
| 8 | 0.48 | 100 | 70 | 10.05 | 10.05 | -6182 | 0 | -25007 | 0 | 4.045 |
| 9 | 0.58 | 100 | 70 | 10.05 | 10.05 | -5952 | 0 | -25007 | 0 | 4.201 |
| 10 | 0.67 | 100 | 70 | 10.05 | 10.05 | -5697 | 0 | -25007 | 0 | 4.389 |
| 11 | 0.77 | 100 | 70 | 10.05 | 10.05 | -5420 | 0 | -25007 | 0 | 4.614 |
| 12 | 0.87 | 100 | 70 | 10.05 | 10.05 | -5124 | 0 | -25007 | 0 | 4.881 |
| 13 | 0.96 | 100 | 70 | 10.05 | 10.05 | -4812 | 0 | -25007 | 0 | 5.197 |
| 14 | 1.06 | 100 | 70 | 10.05 | 10.05 | -4487 | 0 | -25007 | 0 | 5.574 |

| n° | Y | B | H | Afi | Afs | M | N | Mu | Nu | FS |
|----|------|------|------|-------|-------|-------|------|--------|------|----------|
| | [m] | [cm] | [cm] | [cmq] | [cmq] | [kgm] | [kg] | [kgm] | [kg] | |
| 15 | 1.16 | 100 | 70 | 10.05 | 10.05 | -4152 | 0 | -25007 | 0 | 6.023 |
| 16 | 1.25 | 100 | 70 | 10.05 | 10.05 | -3811 | 0 | -25007 | 0 | 6.562 |
| 17 | 1.35 | 100 | 70 | 10.05 | 10.05 | -3466 | 0 | -25007 | 0 | 7.214 |
| 18 | 1.45 | 100 | 70 | 10.05 | 10.05 | -3121 | 0 | -25007 | 0 | 8.012 |
| 19 | 1.54 | 100 | 70 | 10.05 | 10.05 | -2779 | 0 | -25007 | 0 | 8.998 |
| 20 | 1.64 | 100 | 70 | 10.05 | 10.05 | -2443 | 0 | -25007 | 0 | 10.237 |
| 21 | 1.74 | 100 | 70 | 10.05 | 10.05 | -2115 | 0 | -25007 | 0 | 11.821 |
| 22 | 1.84 | 100 | 70 | 10.05 | 10.05 | -1800 | 0 | -25007 | 0 | 13.891 |
| 23 | 1.93 | 100 | 70 | 10.05 | 10.05 | -1500 | 0 | -25007 | 0 | 16.669 |
| 24 | 2.03 | 100 | 70 | 10.05 | 10.05 | -1219 | 0 | -25007 | 0 | 20.521 |
| 25 | 2.13 | 100 | 70 | 10.05 | 10.05 | -958 | 0 | -25007 | 0 | 26.092 |
| 26 | 2.22 | 100 | 70 | 10.05 | 10.05 | -723 | 0 | -25007 | 0 | 34.596 |
| 27 | 2.32 | 100 | 70 | 10.05 | 10.05 | -515 | 0 | -25007 | 0 | 48.562 |
| 28 | 2.42 | 100 | 70 | 10.05 | 10.05 | -338 | 0 | -25007 | 0 | 74.012 |
| 29 | 2.51 | 100 | 70 | 10.05 | 10.05 | -195 | 0 | -25007 | 0 | 128.420 |
| 30 | 2.61 | 100 | 70 | 10.05 | 10.05 | -89 | 0 | -25007 | 0 | 282.173 |
| 31 | 2.71 | 100 | 70 | 10.05 | 10.05 | -23 | 0 | 0 | 0 | 1000.000 |
| 32 | 2.80 | 100 | 70 | 10.05 | 10.05 | 0 | 0 | 0 | 0 | 1000.000 |

Combinazione n° 5 - STR A1-M1-R3

| n° | Y | B | H | Afi | Afs | M | N | Mu | Nu | FS |
|----|-------|------|------|-------|-------|-------|------|--------|------|----------|
| | [m] | [cm] | [cm] | [cmq] | [cmq] | [kgm] | [kg] | [kgm] | [kg] | |
| 1 | -0.70 | 100 | 70 | 10.05 | 10.05 | 0 | 0 | 0 | 0 | 1000.000 |
| 2 | -0.60 | 100 | 70 | 10.05 | 10.05 | 59 | 0 | 25007 | 0 | 422.594 |
| 3 | -0.50 | 100 | 70 | 10.05 | 10.05 | 236 | 0 | 25007 | 0 | 106.154 |
| 4 | -0.40 | 100 | 70 | 10.05 | 10.05 | 527 | 0 | 25007 | 0 | 47.407 |
| 5 | -0.30 | 100 | 70 | 10.05 | 10.05 | 933 | 0 | 25007 | 0 | 26.795 |
| 6 | 0.28 | 100 | 70 | 10.05 | 10.05 | -6552 | 0 | -25007 | 0 | 3.817 |
| 7 | 0.38 | 100 | 70 | 10.05 | 10.05 | -6354 | 0 | -25007 | 0 | 3.935 |
| 8 | 0.48 | 100 | 70 | 10.05 | 10.05 | -6130 | 0 | -25007 | 0 | 4.079 |
| 9 | 0.58 | 100 | 70 | 10.05 | 10.05 | -5881 | 0 | -25007 | 0 | 4.252 |
| 10 | 0.67 | 100 | 70 | 10.05 | 10.05 | -5611 | 0 | -25007 | 0 | 4.457 |
| 11 | 0.77 | 100 | 70 | 10.05 | 10.05 | -5322 | 0 | -25007 | 0 | 4.699 |
| 12 | 0.87 | 100 | 70 | 10.05 | 10.05 | -5017 | 0 | -25007 | 0 | 4.984 |
| 13 | 0.96 | 100 | 70 | 10.05 | 10.05 | -4699 | 0 | -25007 | 0 | 5.321 |
| 14 | 1.06 | 100 | 70 | 10.05 | 10.05 | -4372 | 0 | -25007 | 0 | 5.720 |
| 15 | 1.16 | 100 | 70 | 10.05 | 10.05 | -4037 | 0 | -25007 | 0 | 6.195 |
| 16 | 1.25 | 100 | 70 | 10.05 | 10.05 | -3697 | 0 | -25007 | 0 | 6.763 |
| 17 | 1.35 | 100 | 70 | 10.05 | 10.05 | -3357 | 0 | -25007 | 0 | 7.450 |
| 18 | 1.45 | 100 | 70 | 10.05 | 10.05 | -3017 | 0 | -25007 | 0 | 8.288 |
| 19 | 1.54 | 100 | 70 | 10.05 | 10.05 | -2682 | 0 | -25007 | 0 | 9.325 |
| 20 | 1.64 | 100 | 70 | 10.05 | 10.05 | -2353 | 0 | -25007 | 0 | 10.626 |
| 21 | 1.74 | 100 | 70 | 10.05 | 10.05 | -2035 | 0 | -25007 | 0 | 12.288 |
| 22 | 1.84 | 100 | 70 | 10.05 | 10.05 | -1729 | 0 | -25007 | 0 | 14.460 |
| 23 | 1.93 | 100 | 70 | 10.05 | 10.05 | -1439 | 0 | -25007 | 0 | 17.375 |
| 24 | 2.03 | 100 | 70 | 10.05 | 10.05 | -1168 | 0 | -25007 | 0 | 21.417 |
| 25 | 2.13 | 100 | 70 | 10.05 | 10.05 | -917 | 0 | -25007 | 0 | 27.264 |

| n° | Y | B | H | Afi | Afs | M | N | Mu | Nu | FS |
|----|------|------|------|-------|-------|-------|------|--------|------|----------|
| | [m] | [cm] | [cm] | [cmq] | [cmq] | [kgm] | [kg] | [kgm] | [kg] | |
| 26 | 2.22 | 100 | 70 | 10.05 | 10.05 | -691 | 0 | -25007 | 0 | 36.190 |
| 27 | 2.32 | 100 | 70 | 10.05 | 10.05 | -492 | 0 | -25007 | 0 | 50.855 |
| 28 | 2.42 | 100 | 70 | 10.05 | 10.05 | -322 | 0 | -25007 | 0 | 77.587 |
| 29 | 2.51 | 100 | 70 | 10.05 | 10.05 | -186 | 0 | -25007 | 0 | 134.754 |
| 30 | 2.61 | 100 | 70 | 10.05 | 10.05 | -84 | 0 | -25007 | 0 | 296.369 |
| 31 | 2.71 | 100 | 70 | 10.05 | 10.05 | -22 | 0 | 0 | 0 | 1000.000 |
| 32 | 2.80 | 100 | 70 | 10.05 | 10.05 | 0 | 0 | 0 | 0 | 1000.000 |

Combinazione n° 6 - STR A1-M1-R3

| n° | Y | B | H | Afi | Afs | M | N | Mu | Nu | FS |
|----|-------|------|------|-------|-------|--------|------|--------|------|----------|
| | [m] | [cm] | [cm] | [cmq] | [cmq] | [kgm] | [kg] | [kgm] | [kg] | |
| 1 | -0.70 | 100 | 70 | 10.05 | 10.05 | 0 | 0 | 0 | 0 | 1000.000 |
| 2 | -0.60 | 100 | 70 | 10.05 | 10.05 | 62 | 0 | 25007 | 0 | 403.462 |
| 3 | -0.50 | 100 | 70 | 10.05 | 10.05 | 246 | 0 | 25007 | 0 | 101.618 |
| 4 | -0.40 | 100 | 70 | 10.05 | 10.05 | 550 | 0 | 25007 | 0 | 45.504 |
| 5 | -0.30 | 100 | 70 | 10.05 | 10.05 | 970 | 0 | 25007 | 0 | 25.790 |
| 6 | 0.28 | 100 | 70 | 10.05 | 10.05 | -13663 | 0 | -25007 | 0 | 1.830 |
| 7 | 0.38 | 100 | 70 | 10.05 | 10.05 | -13030 | 0 | -25007 | 0 | 1.919 |
| 8 | 0.48 | 100 | 70 | 10.05 | 10.05 | -12375 | 0 | -25007 | 0 | 2.021 |
| 9 | 0.58 | 100 | 70 | 10.05 | 10.05 | -11702 | 0 | -25007 | 0 | 2.137 |
| 10 | 0.67 | 100 | 70 | 10.05 | 10.05 | -11015 | 0 | -25007 | 0 | 2.270 |
| 11 | 0.77 | 100 | 70 | 10.05 | 10.05 | -10317 | 0 | -25007 | 0 | 2.424 |
| 12 | 0.87 | 100 | 70 | 10.05 | 10.05 | -9613 | 0 | -25007 | 0 | 2.601 |
| 13 | 0.96 | 100 | 70 | 10.05 | 10.05 | -8905 | 0 | -25007 | 0 | 2.808 |
| 14 | 1.06 | 100 | 70 | 10.05 | 10.05 | -8199 | 0 | -25007 | 0 | 3.050 |
| 15 | 1.16 | 100 | 70 | 10.05 | 10.05 | -7497 | 0 | -25007 | 0 | 3.336 |
| 16 | 1.25 | 100 | 70 | 10.05 | 10.05 | -6804 | 0 | -25007 | 0 | 3.675 |
| 17 | 1.35 | 100 | 70 | 10.05 | 10.05 | -6123 | 0 | -25007 | 0 | 4.084 |
| 18 | 1.45 | 100 | 70 | 10.05 | 10.05 | -5459 | 0 | -25007 | 0 | 4.581 |
| 19 | 1.54 | 100 | 70 | 10.05 | 10.05 | -4814 | 0 | -25007 | 0 | 5.194 |
| 20 | 1.64 | 100 | 70 | 10.05 | 10.05 | -4194 | 0 | -25007 | 0 | 5.963 |
| 21 | 1.74 | 100 | 70 | 10.05 | 10.05 | -3601 | 0 | -25007 | 0 | 6.944 |
| 22 | 1.84 | 100 | 70 | 10.05 | 10.05 | -3040 | 0 | -25007 | 0 | 8.226 |
| 23 | 1.93 | 100 | 70 | 10.05 | 10.05 | -2514 | 0 | -25007 | 0 | 9.948 |
| 24 | 2.03 | 100 | 70 | 10.05 | 10.05 | -2027 | 0 | -25007 | 0 | 12.337 |
| 25 | 2.13 | 100 | 70 | 10.05 | 10.05 | -1583 | 0 | -25007 | 0 | 15.796 |
| 26 | 2.22 | 100 | 70 | 10.05 | 10.05 | -1186 | 0 | -25007 | 0 | 21.085 |
| 27 | 2.32 | 100 | 70 | 10.05 | 10.05 | -840 | 0 | -25007 | 0 | 29.787 |
| 28 | 2.42 | 100 | 70 | 10.05 | 10.05 | -547 | 0 | -25007 | 0 | 45.676 |
| 29 | 2.51 | 100 | 70 | 10.05 | 10.05 | -314 | 0 | -25007 | 0 | 79.718 |
| 30 | 2.61 | 100 | 70 | 10.05 | 10.05 | -142 | 0 | -25007 | 0 | 176.149 |
| 31 | 2.71 | 100 | 70 | 10.05 | 10.05 | -36 | 0 | -25007 | 0 | 692.180 |
| 32 | 2.80 | 100 | 70 | 10.05 | 10.05 | 0 | 0 | 0 | 0 | 1000.000 |

13.8.4 Verifiche a taglio

Elementi calcolati a trave

Simbologia adottata

| | |
|------|---|
| n° | indice sezione |
| Y | ordinata sezione espressa in [m] |
| B | larghezza sezione espresso in [cm] |
| H | |
| Afw | area ferri a taglio espresso in [cmq] |
| VRcd | resistenza di progetto a 'taglio compressione' espressa in [kg] |
| VRsd | resistenza di progetto a 'taglio trazione' espressa in [kg] |
| VRd | resistenza di progetto a taglio (min(VRcd, VRsd)) espresso in [kg] |
| T | taglio agente espressa in [kg] |
| FS | fattore di sicurezza (rapporto tra sollecitazione resistente e sollecitazione agente) |

Paramento

Combinazione n° 1 - STR A1-M1-R3

| n° | Y [m] | B [cm] | H [cm] | Afw [cmq] | VRcd [kg] | VRsd [kg] | VRd [kg] | T [kg] | FS |
|----|----------|-----------|-----------|--------------|--------------|--------------|-------------|-----------|----------|
| 1 | 0.00 | 100 | 30 | 0.00 | 0 | 0 | 13649 | 0 | 100.000 |
| 2 | -0.14 | 100 | 31 | 0.00 | 0 | 0 | 13994 | 8 | 1831.742 |
| 3 | -0.28 | 100 | 33 | 0.00 | 0 | 0 | 14332 | 32 | 444.285 |
| 4 | -0.42 | 100 | 34 | 0.00 | 0 | 0 | 14667 | 82 | 179.424 |
| 5 | -0.56 | 100 | 36 | 0.00 | 0 | 0 | 14998 | 164 | 91.253 |
| 6 | -0.70 | 100 | 37 | 0.00 | 0 | 0 | 15326 | 284 | 53.986 |
| 7 | -0.84 | 100 | 39 | 0.00 | 0 | 0 | 15652 | 439 | 35.670 |
| 8 | -0.98 | 100 | 40 | 0.00 | 0 | 0 | 15976 | 626 | 25.513 |
| 9 | -1.12 | 100 | 41 | 0.00 | 0 | 0 | 16297 | 844 | 19.304 |
| 10 | -1.26 | 100 | 43 | 0.00 | 0 | 0 | 16617 | 1091 | 15.225 |
| 11 | -1.40 | 100 | 44 | 0.00 | 0 | 0 | 16935 | 1367 | 12.393 |
| 12 | -1.54 | 100 | 46 | 0.00 | 0 | 0 | 17252 | 1668 | 10.340 |
| 13 | -1.68 | 100 | 47 | 0.00 | 0 | 0 | 17567 | 1996 | 8.800 |
| 14 | -1.82 | 100 | 48 | 0.00 | 0 | 0 | 17881 | 2349 | 7.612 |
| 15 | -1.96 | 100 | 50 | 0.00 | 0 | 0 | 18194 | 2726 | 6.674 |
| 16 | -2.10 | 100 | 51 | 0.00 | 0 | 0 | 18506 | 3126 | 5.919 |
| 17 | -2.24 | 100 | 53 | 0.00 | 0 | 0 | 18818 | 3550 | 5.301 |
| 18 | -2.38 | 100 | 54 | 0.00 | 0 | 0 | 19128 | 3995 | 4.788 |
| 19 | -2.52 | 100 | 56 | 0.00 | 0 | 0 | 19438 | 4462 | 4.356 |
| 20 | -2.66 | 100 | 57 | 0.00 | 0 | 0 | 19748 | 4950 | 3.989 |
| 21 | -2.80 | 100 | 58 | 0.00 | 0 | 0 | 20057 | 5459 | 3.674 |

Combinazione n° 2 - STR A1-M1-R3

| n° | Y [m] | B [cm] | H [cm] | Afw [cmq] | VRcd [kg] | VRsd [kg] | VRd [kg] | T [kg] | FS |
|----|----------|-----------|-----------|--------------|--------------|--------------|-------------|-----------|---------|
| 1 | 0.00 | 100 | 30 | 0.00 | 0 | 0 | 13649 | 0 | 100.000 |
| 2 | -0.14 | 100 | 31 | 0.00 | 0 | 0 | 13995 | 34 | 410.168 |

Progetto Esecutivo

| n° | Y [m] | B [cm] | H [cm] | Afw [cmq] | VRcd [kg] | VRsd [kg] | VRd [kg] | T [kg] | FS |
|----|----------|-----------|-----------|--------------|--------------|--------------|-------------|-----------|---------|
| 3 | -0.28 | 100 | 33 | 0.00 | 0 | 0 | 14335 | 81 | 176.018 |
| 4 | -0.42 | 100 | 34 | 0.00 | 0 | 0 | 14670 | 148 | 99.106 |
| 5 | -0.56 | 100 | 36 | 0.00 | 0 | 0 | 15002 | 240 | 62.447 |
| 6 | -0.70 | 100 | 37 | 0.00 | 0 | 0 | 15330 | 361 | 42.467 |
| 7 | -0.84 | 100 | 39 | 0.00 | 0 | 0 | 15655 | 509 | 30.752 |
| 8 | -0.98 | 100 | 40 | 0.00 | 0 | 0 | 15978 | 682 | 23.418 |
| 9 | -1.12 | 100 | 41 | 0.00 | 0 | 0 | 16298 | 879 | 18.536 |
| 10 | -1.26 | 100 | 43 | 0.00 | 0 | 0 | 16615 | 1099 | 15.122 |
| 11 | -1.40 | 100 | 44 | 0.00 | 0 | 0 | 16931 | 1340 | 12.637 |
| 12 | -1.54 | 100 | 46 | 0.00 | 0 | 0 | 17245 | 1602 | 10.766 |
| 13 | -1.68 | 100 | 47 | 0.00 | 0 | 0 | 17557 | 1884 | 9.320 |
| 14 | -1.82 | 100 | 48 | 0.00 | 0 | 0 | 17867 | 2185 | 8.177 |
| 15 | -1.96 | 100 | 50 | 0.00 | 0 | 0 | 18176 | 2505 | 7.256 |
| 16 | -2.10 | 100 | 51 | 0.00 | 0 | 0 | 18484 | 2843 | 6.501 |
| 17 | -2.24 | 100 | 53 | 0.00 | 0 | 0 | 18790 | 3199 | 5.874 |
| 18 | -2.38 | 100 | 54 | 0.00 | 0 | 0 | 19096 | 3572 | 5.346 |
| 19 | -2.52 | 100 | 56 | 0.00 | 0 | 0 | 19400 | 3962 | 4.897 |
| 20 | -2.66 | 100 | 57 | 0.00 | 0 | 0 | 19704 | 4368 | 4.511 |
| 21 | -2.80 | 100 | 58 | 0.00 | 0 | 0 | 20007 | 4791 | 4.176 |

Combinazione n° 3 - STR A1-M1-R3

| n° | Y [m] | B [cm] | H [cm] | Afw [cmq] | VRcd [kg] | VRsd [kg] | VRd [kg] | T [kg] | FS |
|----|----------|-----------|-----------|--------------|--------------|--------------|-------------|-----------|---------|
| 1 | 0.00 | 100 | 30 | 0.00 | 0 | 0 | 13649 | 0 | 100.000 |
| 2 | -0.14 | 100 | 31 | 0.00 | 0 | 0 | 13995 | 28 | 495.198 |
| 3 | -0.28 | 100 | 33 | 0.00 | 0 | 0 | 14334 | 70 | 205.592 |
| 4 | -0.42 | 100 | 34 | 0.00 | 0 | 0 | 14669 | 130 | 112.452 |
| 5 | -0.56 | 100 | 36 | 0.00 | 0 | 0 | 15000 | 217 | 69.191 |
| 6 | -0.70 | 100 | 37 | 0.00 | 0 | 0 | 15328 | 332 | 46.212 |
| 7 | -0.84 | 100 | 39 | 0.00 | 0 | 0 | 15653 | 474 | 33.028 |
| 8 | -0.98 | 100 | 40 | 0.00 | 0 | 0 | 15975 | 641 | 24.911 |
| 9 | -1.12 | 100 | 41 | 0.00 | 0 | 0 | 16295 | 832 | 19.576 |
| 10 | -1.26 | 100 | 43 | 0.00 | 0 | 0 | 16612 | 1046 | 15.881 |
| 11 | -1.40 | 100 | 44 | 0.00 | 0 | 0 | 16927 | 1281 | 13.211 |
| 12 | -1.54 | 100 | 46 | 0.00 | 0 | 0 | 17240 | 1537 | 11.215 |
| 13 | -1.68 | 100 | 47 | 0.00 | 0 | 0 | 17552 | 1813 | 9.679 |
| 14 | -1.82 | 100 | 48 | 0.00 | 0 | 0 | 17862 | 2109 | 8.470 |
| 15 | -1.96 | 100 | 50 | 0.00 | 0 | 0 | 18171 | 2423 | 7.499 |
| 16 | -2.10 | 100 | 51 | 0.00 | 0 | 0 | 18478 | 2755 | 6.706 |
| 17 | -2.24 | 100 | 53 | 0.00 | 0 | 0 | 18784 | 3105 | 6.049 |
| 18 | -2.38 | 100 | 54 | 0.00 | 0 | 0 | 19089 | 3472 | 5.497 |
| 19 | -2.52 | 100 | 56 | 0.00 | 0 | 0 | 19393 | 3856 | 5.029 |
| 20 | -2.66 | 100 | 57 | 0.00 | 0 | 0 | 19696 | 4257 | 4.627 |
| 21 | -2.80 | 100 | 58 | 0.00 | 0 | 0 | 19999 | 4674 | 4.279 |

RTI di progettazione:



Mandataria

Via G.B. Sammartini n°5
20125 - Milano
Tel. 02 6787911
email: mail@proiter.it



Mandante

Via Artemide n°3
92100 Agrigento
Tel. 0922 421007
email: deltaingegneria@pec.it

Combinazione n° 4 - STR A1-M1-R3

| n° | Y [m] | B [cm] | H [cm] | Afw [cmq] | VRcd [kg] | VRsd [kg] | VRd [kg] | T [kg] | FS |
|----|----------|-----------|-----------|--------------|--------------|--------------|-------------|-----------|----------|
| 1 | 0.00 | 100 | 30 | 0.00 | 0 | 0 | 13649 | 0 | 100.000 |
| 2 | -0.14 | 100 | 31 | 0.00 | 0 | 0 | 13998 | 8 | 1832.275 |
| 3 | -0.28 | 100 | 33 | 0.00 | 0 | 0 | 14341 | 32 | 444.545 |
| 4 | -0.42 | 100 | 34 | 0.00 | 0 | 0 | 14680 | 82 | 179.583 |
| 5 | -0.56 | 100 | 36 | 0.00 | 0 | 0 | 15016 | 164 | 91.362 |
| 6 | -0.70 | 100 | 37 | 0.00 | 0 | 0 | 15349 | 284 | 54.066 |
| 7 | -0.84 | 100 | 39 | 0.00 | 0 | 0 | 15680 | 439 | 35.735 |
| 8 | -0.98 | 100 | 40 | 0.00 | 0 | 0 | 16009 | 626 | 25.567 |
| 9 | -1.12 | 100 | 41 | 0.00 | 0 | 0 | 16337 | 844 | 19.351 |
| 10 | -1.26 | 100 | 43 | 0.00 | 0 | 0 | 16662 | 1091 | 15.267 |
| 11 | -1.40 | 100 | 44 | 0.00 | 0 | 0 | 16987 | 1367 | 12.431 |
| 12 | -1.54 | 100 | 46 | 0.00 | 0 | 0 | 17310 | 1668 | 10.375 |
| 13 | -1.68 | 100 | 47 | 0.00 | 0 | 0 | 17632 | 1996 | 8.832 |
| 14 | -1.82 | 100 | 48 | 0.00 | 0 | 0 | 17953 | 2349 | 7.643 |
| 15 | -1.96 | 100 | 50 | 0.00 | 0 | 0 | 18273 | 2726 | 6.703 |
| 16 | -2.10 | 100 | 51 | 0.00 | 0 | 0 | 18593 | 3126 | 5.947 |
| 17 | -2.24 | 100 | 53 | 0.00 | 0 | 0 | 18912 | 3550 | 5.328 |
| 18 | -2.38 | 100 | 54 | 0.00 | 0 | 0 | 19231 | 3995 | 4.814 |
| 19 | -2.52 | 100 | 56 | 0.00 | 0 | 0 | 19549 | 4462 | 4.381 |
| 20 | -2.66 | 100 | 57 | 0.00 | 0 | 0 | 19866 | 4950 | 4.013 |
| 21 | -2.80 | 100 | 58 | 0.00 | 0 | 0 | 20184 | 5459 | 3.697 |

Combinazione n° 5 - STR A1-M1-R3

| n° | Y [m] | B [cm] | H [cm] | Afw [cmq] | VRcd [kg] | VRsd [kg] | VRd [kg] | T [kg] | FS |
|----|----------|-----------|-----------|--------------|--------------|--------------|-------------|-----------|----------|
| 1 | 0.00 | 100 | 30 | 0.00 | 0 | 0 | 13649 | 0 | 100.000 |
| 2 | -0.14 | 100 | 31 | 0.00 | 0 | 0 | 13994 | 8 | 1831.742 |
| 3 | -0.28 | 100 | 33 | 0.00 | 0 | 0 | 14332 | 32 | 444.285 |
| 4 | -0.42 | 100 | 34 | 0.00 | 0 | 0 | 14667 | 82 | 179.424 |
| 5 | -0.56 | 100 | 36 | 0.00 | 0 | 0 | 14998 | 164 | 91.253 |
| 6 | -0.70 | 100 | 37 | 0.00 | 0 | 0 | 15326 | 284 | 53.986 |
| 7 | -0.84 | 100 | 39 | 0.00 | 0 | 0 | 15652 | 439 | 35.670 |
| 8 | -0.98 | 100 | 40 | 0.00 | 0 | 0 | 15976 | 626 | 25.513 |
| 9 | -1.12 | 100 | 41 | 0.00 | 0 | 0 | 16297 | 844 | 19.304 |
| 10 | -1.26 | 100 | 43 | 0.00 | 0 | 0 | 16617 | 1091 | 15.225 |
| 11 | -1.40 | 100 | 44 | 0.00 | 0 | 0 | 16935 | 1367 | 12.393 |
| 12 | -1.54 | 100 | 46 | 0.00 | 0 | 0 | 17252 | 1668 | 10.340 |
| 13 | -1.68 | 100 | 47 | 0.00 | 0 | 0 | 17567 | 1996 | 8.800 |
| 14 | -1.82 | 100 | 48 | 0.00 | 0 | 0 | 17881 | 2349 | 7.612 |
| 15 | -1.96 | 100 | 50 | 0.00 | 0 | 0 | 18194 | 2726 | 6.674 |
| 16 | -2.10 | 100 | 51 | 0.00 | 0 | 0 | 18506 | 3126 | 5.919 |
| 17 | -2.24 | 100 | 53 | 0.00 | 0 | 0 | 18818 | 3550 | 5.301 |
| 18 | -2.38 | 100 | 54 | 0.00 | 0 | 0 | 19128 | 3995 | 4.788 |
| 19 | -2.52 | 100 | 56 | 0.00 | 0 | 0 | 19438 | 4462 | 4.356 |
| 20 | -2.66 | 100 | 57 | 0.00 | 0 | 0 | 19748 | 4950 | 3.989 |

| n° | Y | B | H | Afw | VRcd | VRsd | VRd | T | FS |
|----|-------|------|------|-------|------|------|-------|------|-------|
| | [m] | [cm] | [cm] | [cmq] | [kg] | [kg] | [kg] | [kg] | |
| 21 | -2.80 | 100 | 58 | 0.00 | 0 | 0 | 20057 | 5459 | 3.674 |

Combinazione n° 6 - STR A1-M1-R3

| n° | Y | B | H | Afw | VRcd | VRsd | VRd | T | FS |
|----|-------|------|------|-------|------|------|-------|------|----------|
| | [m] | [cm] | [cm] | [cmq] | [kg] | [kg] | [kg] | [kg] | |
| 1 | 0.00 | 100 | 30 | 0.00 | 0 | 0 | 13649 | 0 | 100.000 |
| 2 | -0.14 | 100 | 31 | 0.00 | 0 | 0 | 13998 | 8 | 1832.275 |
| 3 | -0.28 | 100 | 33 | 0.00 | 0 | 0 | 14341 | 32 | 444.545 |
| 4 | -0.42 | 100 | 34 | 0.00 | 0 | 0 | 14680 | 82 | 179.583 |
| 5 | -0.56 | 100 | 36 | 0.00 | 0 | 0 | 15016 | 164 | 91.362 |
| 6 | -0.70 | 100 | 37 | 0.00 | 0 | 0 | 15349 | 284 | 54.066 |
| 7 | -0.84 | 100 | 39 | 0.00 | 0 | 0 | 15680 | 439 | 35.735 |
| 8 | -0.98 | 100 | 40 | 0.00 | 0 | 0 | 16009 | 626 | 25.567 |
| 9 | -1.12 | 100 | 41 | 0.00 | 0 | 0 | 16337 | 844 | 19.351 |
| 10 | -1.26 | 100 | 43 | 0.00 | 0 | 0 | 16662 | 1091 | 15.267 |
| 11 | -1.40 | 100 | 44 | 0.00 | 0 | 0 | 16987 | 1367 | 12.431 |
| 12 | -1.54 | 100 | 46 | 0.00 | 0 | 0 | 17310 | 1668 | 10.375 |
| 13 | -1.68 | 100 | 47 | 0.00 | 0 | 0 | 17632 | 1996 | 8.832 |
| 14 | -1.82 | 100 | 48 | 0.00 | 0 | 0 | 17953 | 2349 | 7.643 |
| 15 | -1.96 | 100 | 50 | 0.00 | 0 | 0 | 18273 | 2726 | 6.703 |
| 16 | -2.10 | 100 | 51 | 0.00 | 0 | 0 | 18593 | 3126 | 5.947 |
| 17 | -2.24 | 100 | 53 | 0.00 | 0 | 0 | 18912 | 3550 | 5.328 |
| 18 | -2.38 | 100 | 54 | 0.00 | 0 | 0 | 19231 | 3995 | 4.814 |
| 19 | -2.52 | 100 | 56 | 0.00 | 0 | 0 | 19549 | 4462 | 4.381 |
| 20 | -2.66 | 100 | 57 | 0.00 | 0 | 0 | 19866 | 4950 | 4.013 |
| 21 | -2.80 | 100 | 58 | 0.00 | 0 | 0 | 20184 | 5459 | 3.697 |

FondazioneCombinazione n° 1 - STR A1-M1-R3

| n° | Y | B | H | Afw | VRcd | VRsd | VRd | T | FS |
|----|-------|------|------|-------|------|------|-------|-------|---------|
| | [m] | [cm] | [cm] | [cmq] | [kg] | [kg] | [kg] | [kg] | |
| 1 | -0.70 | 100 | 70 | 0.00 | 0 | 0 | 22996 | 0 | 100.000 |
| 2 | -0.60 | 100 | 70 | 0.00 | 0 | 0 | 22996 | 1159 | 19.842 |
| 3 | -0.50 | 100 | 70 | 0.00 | 0 | 0 | 22996 | 2293 | 10.027 |
| 4 | -0.40 | 100 | 70 | 0.00 | 0 | 0 | 22996 | 3403 | 6.758 |
| 5 | -0.30 | 100 | 70 | 0.00 | 0 | 0 | 22996 | 4488 | 5.124 |
| 6 | 0.28 | 100 | 70 | 0.00 | 0 | 0 | 22996 | -6710 | 3.427 |
| 7 | 0.38 | 100 | 70 | 0.00 | 0 | 0 | 22996 | -6911 | 3.328 |
| 8 | 0.48 | 100 | 70 | 0.00 | 0 | 0 | 22996 | -7074 | 3.251 |
| 9 | 0.58 | 100 | 70 | 0.00 | 0 | 0 | 22996 | -7201 | 3.193 |
| 10 | 0.67 | 100 | 70 | 0.00 | 0 | 0 | 22996 | -7292 | 3.154 |
| 11 | 0.77 | 100 | 70 | 0.00 | 0 | 0 | 22996 | -7345 | 3.131 |
| 12 | 0.87 | 100 | 70 | 0.00 | 0 | 0 | 22996 | -7362 | 3.123 |
| 13 | 0.96 | 100 | 70 | 0.00 | 0 | 0 | 22996 | -7343 | 3.132 |

| n° | Y [m] | B [cm] | H [cm] | Afw [cmq] | VRcd [kg] | VRsd [kg] | VRd [kg] | T [kg] | FS |
|----|----------|-----------|-----------|--------------|--------------|--------------|-------------|-----------|---------|
| 14 | 1.06 | 100 | 70 | 0.00 | 0 | 0 | 22996 | -7286 | 3.156 |
| 15 | 1.16 | 100 | 70 | 0.00 | 0 | 0 | 22996 | -7193 | 3.197 |
| 16 | 1.25 | 100 | 70 | 0.00 | 0 | 0 | 22996 | -7064 | 3.256 |
| 17 | 1.35 | 100 | 70 | 0.00 | 0 | 0 | 22996 | -6897 | 3.334 |
| 18 | 1.45 | 100 | 70 | 0.00 | 0 | 0 | 22996 | -6694 | 3.435 |
| 19 | 1.54 | 100 | 70 | 0.00 | 0 | 0 | 22996 | -6454 | 3.563 |
| 20 | 1.64 | 100 | 70 | 0.00 | 0 | 0 | 22996 | -6178 | 3.722 |
| 21 | 1.74 | 100 | 70 | 0.00 | 0 | 0 | 22996 | -5865 | 3.921 |
| 22 | 1.84 | 100 | 70 | 0.00 | 0 | 0 | 22996 | -5515 | 4.170 |
| 23 | 1.93 | 100 | 70 | 0.00 | 0 | 0 | 22996 | -5129 | 4.484 |
| 24 | 2.03 | 100 | 70 | 0.00 | 0 | 0 | 22996 | -4706 | 4.887 |
| 25 | 2.13 | 100 | 70 | 0.00 | 0 | 0 | 22996 | -4246 | 5.416 |
| 26 | 2.22 | 100 | 70 | 0.00 | 0 | 0 | 22996 | -3749 | 6.134 |
| 27 | 2.32 | 100 | 70 | 0.00 | 0 | 0 | 22996 | -3216 | 7.151 |
| 28 | 2.42 | 100 | 70 | 0.00 | 0 | 0 | 22996 | -2646 | 8.690 |
| 29 | 2.51 | 100 | 70 | 0.00 | 0 | 0 | 22996 | -2040 | 11.275 |
| 30 | 2.61 | 100 | 70 | 0.00 | 0 | 0 | 22996 | -1396 | 16.468 |
| 31 | 2.71 | 100 | 70 | 0.00 | 0 | 0 | 22996 | -717 | 32.093 |
| 32 | 2.80 | 100 | 70 | 0.00 | 0 | 0 | 22996 | 0 | 100.000 |

Combinazione n° 2 - STR A1-M1-R3

| n° | Y [m] | B [cm] | H [cm] | Afw [cmq] | VRcd [kg] | VRsd [kg] | VRd [kg] | T [kg] | FS |
|----|----------|-----------|-----------|--------------|--------------|--------------|-------------|-----------|---------|
| 1 | -0.70 | 100 | 70 | 0.00 | 0 | 0 | 22996 | 0 | 100.000 |
| 2 | -0.60 | 100 | 70 | 0.00 | 0 | 0 | 22996 | 1071 | 21.479 |
| 3 | -0.50 | 100 | 70 | 0.00 | 0 | 0 | 22996 | 2120 | 10.845 |
| 4 | -0.40 | 100 | 70 | 0.00 | 0 | 0 | 22996 | 3150 | 7.302 |
| 5 | -0.30 | 100 | 70 | 0.00 | 0 | 0 | 22996 | 4158 | 5.531 |
| 6 | 0.28 | 100 | 70 | 0.00 | 0 | 0 | 22996 | -1661 | 13.845 |
| 7 | 0.38 | 100 | 70 | 0.00 | 0 | 0 | 22996 | -1971 | 11.666 |
| 8 | 0.48 | 100 | 70 | 0.00 | 0 | 0 | 22996 | -2252 | 10.214 |
| 9 | 0.58 | 100 | 70 | 0.00 | 0 | 0 | 22996 | -2502 | 9.191 |
| 10 | 0.67 | 100 | 70 | 0.00 | 0 | 0 | 22996 | -2722 | 8.447 |
| 11 | 0.77 | 100 | 70 | 0.00 | 0 | 0 | 22996 | -2913 | 7.894 |
| 12 | 0.87 | 100 | 70 | 0.00 | 0 | 0 | 22996 | -3074 | 7.482 |
| 13 | 0.96 | 100 | 70 | 0.00 | 0 | 0 | 22996 | -3204 | 7.177 |
| 14 | 1.06 | 100 | 70 | 0.00 | 0 | 0 | 22996 | -3305 | 6.958 |
| 15 | 1.16 | 100 | 70 | 0.00 | 0 | 0 | 22996 | -3376 | 6.812 |
| 16 | 1.25 | 100 | 70 | 0.00 | 0 | 0 | 22996 | -3417 | 6.730 |
| 17 | 1.35 | 100 | 70 | 0.00 | 0 | 0 | 22996 | -3428 | 6.709 |
| 18 | 1.45 | 100 | 70 | 0.00 | 0 | 0 | 22996 | -3409 | 6.746 |
| 19 | 1.54 | 100 | 70 | 0.00 | 0 | 0 | 22996 | -3360 | 6.844 |
| 20 | 1.64 | 100 | 70 | 0.00 | 0 | 0 | 22996 | -3281 | 7.009 |
| 21 | 1.74 | 100 | 70 | 0.00 | 0 | 0 | 22996 | -3172 | 7.249 |
| 22 | 1.84 | 100 | 70 | 0.00 | 0 | 0 | 22996 | -3034 | 7.581 |
| 23 | 1.93 | 100 | 70 | 0.00 | 0 | 0 | 22996 | -2865 | 8.027 |
| 24 | 2.03 | 100 | 70 | 0.00 | 0 | 0 | 22996 | -2666 | 8.625 |

| n° | Y | B | H | Afw | VRcd | VRsd | VRd | T | FS |
|----|------|------|------|-------|------|------|-------|-------|---------|
| | [m] | [cm] | [cm] | [cmq] | [kg] | [kg] | [kg] | [kg] | |
| 25 | 2.13 | 100 | 70 | 0.00 | 0 | 0 | 22996 | -2438 | 9.433 |
| 26 | 2.22 | 100 | 70 | 0.00 | 0 | 0 | 22996 | -2179 | 10.552 |
| 27 | 2.32 | 100 | 70 | 0.00 | 0 | 0 | 22996 | -1891 | 12.161 |
| 28 | 2.42 | 100 | 70 | 0.00 | 0 | 0 | 22996 | -1573 | 14.623 |
| 29 | 2.51 | 100 | 70 | 0.00 | 0 | 0 | 22996 | -1224 | 18.782 |
| 30 | 2.61 | 100 | 70 | 0.00 | 0 | 0 | 22996 | -846 | 27.177 |
| 31 | 2.71 | 100 | 70 | 0.00 | 0 | 0 | 22996 | -438 | 52.497 |
| 32 | 2.80 | 100 | 70 | 0.00 | 0 | 0 | 22996 | 0 | 100.000 |

Combinazione n° 3 - STR A1-M1-R3

| n° | Y | B | H | Afw | VRcd | VRsd | VRd | T | FS |
|----|-------|------|------|-------|------|------|-------|-------|---------|
| | [m] | [cm] | [cm] | [cmq] | [kg] | [kg] | [kg] | [kg] | |
| 1 | -0.70 | 100 | 70 | 0.00 | 0 | 0 | 22996 | 0 | 100.000 |
| 2 | -0.60 | 100 | 70 | 0.00 | 0 | 0 | 22996 | 1039 | 22.140 |
| 3 | -0.50 | 100 | 70 | 0.00 | 0 | 0 | 22996 | 2057 | 11.180 |
| 4 | -0.40 | 100 | 70 | 0.00 | 0 | 0 | 22996 | 3055 | 7.528 |
| 5 | -0.30 | 100 | 70 | 0.00 | 0 | 0 | 22996 | 4033 | 5.703 |
| 6 | 0.28 | 100 | 70 | 0.00 | 0 | 0 | 22996 | -2219 | 10.364 |
| 7 | 0.38 | 100 | 70 | 0.00 | 0 | 0 | 22996 | -2502 | 9.190 |
| 8 | 0.48 | 100 | 70 | 0.00 | 0 | 0 | 22996 | -2756 | 8.343 |
| 9 | 0.58 | 100 | 70 | 0.00 | 0 | 0 | 22996 | -2981 | 7.715 |
| 10 | 0.67 | 100 | 70 | 0.00 | 0 | 0 | 22996 | -3176 | 7.241 |
| 11 | 0.77 | 100 | 70 | 0.00 | 0 | 0 | 22996 | -3341 | 6.882 |
| 12 | 0.87 | 100 | 70 | 0.00 | 0 | 0 | 22996 | -3477 | 6.613 |
| 13 | 0.96 | 100 | 70 | 0.00 | 0 | 0 | 22996 | -3584 | 6.416 |
| 14 | 1.06 | 100 | 70 | 0.00 | 0 | 0 | 22996 | -3661 | 6.281 |
| 15 | 1.16 | 100 | 70 | 0.00 | 0 | 0 | 22996 | -3708 | 6.201 |
| 16 | 1.25 | 100 | 70 | 0.00 | 0 | 0 | 22996 | -3726 | 6.171 |
| 17 | 1.35 | 100 | 70 | 0.00 | 0 | 0 | 22996 | -3715 | 6.190 |
| 18 | 1.45 | 100 | 70 | 0.00 | 0 | 0 | 22996 | -3674 | 6.260 |
| 19 | 1.54 | 100 | 70 | 0.00 | 0 | 0 | 22996 | -3603 | 6.382 |
| 20 | 1.64 | 100 | 70 | 0.00 | 0 | 0 | 22996 | -3503 | 6.565 |
| 21 | 1.74 | 100 | 70 | 0.00 | 0 | 0 | 22996 | -3374 | 6.817 |
| 22 | 1.84 | 100 | 70 | 0.00 | 0 | 0 | 22996 | -3214 | 7.154 |
| 23 | 1.93 | 100 | 70 | 0.00 | 0 | 0 | 22996 | -3026 | 7.600 |
| 24 | 2.03 | 100 | 70 | 0.00 | 0 | 0 | 22996 | -2808 | 8.191 |
| 25 | 2.13 | 100 | 70 | 0.00 | 0 | 0 | 22996 | -2560 | 8.983 |
| 26 | 2.22 | 100 | 70 | 0.00 | 0 | 0 | 22996 | -2283 | 10.074 |
| 27 | 2.32 | 100 | 70 | 0.00 | 0 | 0 | 22996 | -1976 | 11.637 |
| 28 | 2.42 | 100 | 70 | 0.00 | 0 | 0 | 22996 | -1640 | 14.023 |
| 29 | 2.51 | 100 | 70 | 0.00 | 0 | 0 | 22996 | -1274 | 18.048 |
| 30 | 2.61 | 100 | 70 | 0.00 | 0 | 0 | 22996 | -879 | 26.163 |
| 31 | 2.71 | 100 | 70 | 0.00 | 0 | 0 | 22996 | -454 | 50.625 |
| 32 | 2.80 | 100 | 70 | 0.00 | 0 | 0 | 22996 | 0 | 100.000 |

Combinazione n° 4 - STR A1-M1-R3

| n° | Y [m] | B [cm] | H [cm] | Afw [cmq] | VRcd [kg] | VRsd [kg] | VRd [kg] | T [kg] | FS |
|----|----------|-----------|-----------|--------------|--------------|--------------|-------------|-----------|---------|
| 1 | -0.70 | 100 | 70 | 0.00 | 0 | 0 | 22996 | 0 | 100.000 |
| 2 | -0.60 | 100 | 70 | 0.00 | 0 | 0 | 22996 | 1257 | 18.299 |
| 3 | -0.50 | 100 | 70 | 0.00 | 0 | 0 | 22996 | 2494 | 9.222 |
| 4 | -0.40 | 100 | 70 | 0.00 | 0 | 0 | 22996 | 3711 | 6.198 |
| 5 | -0.30 | 100 | 70 | 0.00 | 0 | 0 | 22996 | 4908 | 4.686 |
| 6 | 0.28 | 100 | 70 | 0.00 | 0 | 0 | 22996 | -1579 | 14.560 |
| 7 | 0.38 | 100 | 70 | 0.00 | 0 | 0 | 22996 | -1920 | 11.975 |
| 8 | 0.48 | 100 | 70 | 0.00 | 0 | 0 | 22996 | -2229 | 10.316 |
| 9 | 0.58 | 100 | 70 | 0.00 | 0 | 0 | 22996 | -2506 | 9.177 |
| 10 | 0.67 | 100 | 70 | 0.00 | 0 | 0 | 22996 | -2751 | 8.360 |
| 11 | 0.77 | 100 | 70 | 0.00 | 0 | 0 | 22996 | -2963 | 7.761 |
| 12 | 0.87 | 100 | 70 | 0.00 | 0 | 0 | 22996 | -3143 | 7.316 |
| 13 | 0.96 | 100 | 70 | 0.00 | 0 | 0 | 22996 | -3292 | 6.986 |
| 14 | 1.06 | 100 | 70 | 0.00 | 0 | 0 | 22996 | -3408 | 6.748 |
| 15 | 1.16 | 100 | 70 | 0.00 | 0 | 0 | 22996 | -3492 | 6.586 |
| 16 | 1.25 | 100 | 70 | 0.00 | 0 | 0 | 22996 | -3543 | 6.490 |
| 17 | 1.35 | 100 | 70 | 0.00 | 0 | 0 | 22996 | -3563 | 6.454 |
| 18 | 1.45 | 100 | 70 | 0.00 | 0 | 0 | 22996 | -3550 | 6.477 |
| 19 | 1.54 | 100 | 70 | 0.00 | 0 | 0 | 22996 | -3506 | 6.560 |
| 20 | 1.64 | 100 | 70 | 0.00 | 0 | 0 | 22996 | -3429 | 6.707 |
| 21 | 1.74 | 100 | 70 | 0.00 | 0 | 0 | 22996 | -3320 | 6.927 |
| 22 | 1.84 | 100 | 70 | 0.00 | 0 | 0 | 22996 | -3179 | 7.234 |
| 23 | 1.93 | 100 | 70 | 0.00 | 0 | 0 | 22996 | -3006 | 7.651 |
| 24 | 2.03 | 100 | 70 | 0.00 | 0 | 0 | 22996 | -2800 | 8.212 |
| 25 | 2.13 | 100 | 70 | 0.00 | 0 | 0 | 22996 | -2563 | 8.973 |
| 26 | 2.22 | 100 | 70 | 0.00 | 0 | 0 | 22996 | -2293 | 10.029 |
| 27 | 2.32 | 100 | 70 | 0.00 | 0 | 0 | 22996 | -1991 | 11.549 |
| 28 | 2.42 | 100 | 70 | 0.00 | 0 | 0 | 22996 | -1657 | 13.876 |
| 29 | 2.51 | 100 | 70 | 0.00 | 0 | 0 | 22996 | -1291 | 17.811 |
| 30 | 2.61 | 100 | 70 | 0.00 | 0 | 0 | 22996 | -893 | 25.754 |
| 31 | 2.71 | 100 | 70 | 0.00 | 0 | 0 | 22996 | -463 | 49.719 |
| 32 | 2.80 | 100 | 70 | 0.00 | 0 | 0 | 22996 | 0 | 100.000 |

Combinazione n° 5 - STR A1-M1-R3

| n° | Y [m] | B [cm] | H [cm] | Afw [cmq] | VRcd [kg] | VRsd [kg] | VRd [kg] | T [kg] | FS |
|----|----------|-----------|-----------|--------------|--------------|--------------|-------------|-----------|---------|
| 1 | -0.70 | 100 | 70 | 0.00 | 0 | 0 | 22996 | 0 | 100.000 |
| 2 | -0.60 | 100 | 70 | 0.00 | 0 | 0 | 22996 | 1181 | 19.478 |
| 3 | -0.50 | 100 | 70 | 0.00 | 0 | 0 | 22996 | 2344 | 9.809 |
| 4 | -0.40 | 100 | 70 | 0.00 | 0 | 0 | 22996 | 3491 | 6.587 |
| 5 | -0.30 | 100 | 70 | 0.00 | 0 | 0 | 22996 | 4621 | 4.976 |
| 6 | 0.28 | 100 | 70 | 0.00 | 0 | 0 | 22996 | -1886 | 12.191 |
| 7 | 0.38 | 100 | 70 | 0.00 | 0 | 0 | 22996 | -2181 | 10.542 |
| 8 | 0.48 | 100 | 70 | 0.00 | 0 | 0 | 22996 | -2447 | 9.398 |
| 9 | 0.58 | 100 | 70 | 0.00 | 0 | 0 | 22996 | -2683 | 8.570 |

Progetto Esecutivo

| n° | Y [m] | B [cm] | H [cm] | Afw [cmq] | VRcd [kg] | VRsd [kg] | VRd [kg] | T [kg] | FS |
|----|----------|-----------|-----------|--------------|--------------|--------------|-------------|-----------|---------|
| 10 | 0.67 | 100 | 70 | 0.00 | 0 | 0 | 22996 | -2890 | 7.957 |
| 11 | 0.77 | 100 | 70 | 0.00 | 0 | 0 | 22996 | -3068 | 7.497 |
| 12 | 0.87 | 100 | 70 | 0.00 | 0 | 0 | 22996 | -3216 | 7.152 |
| 13 | 0.96 | 100 | 70 | 0.00 | 0 | 0 | 22996 | -3334 | 6.897 |
| 14 | 1.06 | 100 | 70 | 0.00 | 0 | 0 | 22996 | -3423 | 6.717 |
| 15 | 1.16 | 100 | 70 | 0.00 | 0 | 0 | 22996 | -3483 | 6.602 |
| 16 | 1.25 | 100 | 70 | 0.00 | 0 | 0 | 22996 | -3514 | 6.545 |
| 17 | 1.35 | 100 | 70 | 0.00 | 0 | 0 | 22996 | -3515 | 6.543 |
| 18 | 1.45 | 100 | 70 | 0.00 | 0 | 0 | 22996 | -3486 | 6.597 |
| 19 | 1.54 | 100 | 70 | 0.00 | 0 | 0 | 22996 | -3428 | 6.708 |
| 20 | 1.64 | 100 | 70 | 0.00 | 0 | 0 | 22996 | -3341 | 6.883 |
| 21 | 1.74 | 100 | 70 | 0.00 | 0 | 0 | 22996 | -3224 | 7.132 |
| 22 | 1.84 | 100 | 70 | 0.00 | 0 | 0 | 22996 | -3078 | 7.470 |
| 23 | 1.93 | 100 | 70 | 0.00 | 0 | 0 | 22996 | -2903 | 7.922 |
| 24 | 2.03 | 100 | 70 | 0.00 | 0 | 0 | 22996 | -2698 | 8.524 |
| 25 | 2.13 | 100 | 70 | 0.00 | 0 | 0 | 22996 | -2464 | 9.334 |
| 26 | 2.22 | 100 | 70 | 0.00 | 0 | 0 | 22996 | -2200 | 10.453 |
| 27 | 2.32 | 100 | 70 | 0.00 | 0 | 0 | 22996 | -1907 | 12.060 |
| 28 | 2.42 | 100 | 70 | 0.00 | 0 | 0 | 22996 | -1584 | 14.516 |
| 29 | 2.51 | 100 | 70 | 0.00 | 0 | 0 | 22996 | -1232 | 18.661 |
| 30 | 2.61 | 100 | 70 | 0.00 | 0 | 0 | 22996 | -851 | 27.025 |
| 31 | 2.71 | 100 | 70 | 0.00 | 0 | 0 | 22996 | -440 | 52.243 |
| 32 | 2.80 | 100 | 70 | 0.00 | 0 | 0 | 22996 | 0 | 100.000 |

Combinazione n° 6 - STR A1-M1-R3

| n° | Y [m] | B [cm] | H [cm] | Afw [cmq] | VRcd [kg] | VRsd [kg] | VRd [kg] | T [kg] | FS |
|----|----------|-----------|-----------|--------------|--------------|--------------|-------------|-----------|---------|
| 1 | -0.70 | 100 | 70 | 0.00 | 0 | 0 | 22996 | 0 | 100.000 |
| 2 | -0.60 | 100 | 70 | 0.00 | 0 | 0 | 22996 | 1235 | 18.620 |
| 3 | -0.50 | 100 | 70 | 0.00 | 0 | 0 | 22996 | 2442 | 9.415 |
| 4 | -0.40 | 100 | 70 | 0.00 | 0 | 0 | 22996 | 3622 | 6.348 |
| 5 | -0.30 | 100 | 70 | 0.00 | 0 | 0 | 22996 | 4775 | 4.816 |
| 6 | 0.28 | 100 | 70 | 0.00 | 0 | 0 | 22996 | -6404 | 3.591 |
| 7 | 0.38 | 100 | 70 | 0.00 | 0 | 0 | 22996 | -6650 | 3.458 |
| 8 | 0.48 | 100 | 70 | 0.00 | 0 | 0 | 22996 | -6857 | 3.354 |
| 9 | 0.58 | 100 | 70 | 0.00 | 0 | 0 | 22996 | -7024 | 3.274 |
| 10 | 0.67 | 100 | 70 | 0.00 | 0 | 0 | 22996 | -7152 | 3.215 |
| 11 | 0.77 | 100 | 70 | 0.00 | 0 | 0 | 22996 | -7241 | 3.176 |
| 12 | 0.87 | 100 | 70 | 0.00 | 0 | 0 | 22996 | -7290 | 3.154 |
| 13 | 0.96 | 100 | 70 | 0.00 | 0 | 0 | 22996 | -7300 | 3.150 |
| 14 | 1.06 | 100 | 70 | 0.00 | 0 | 0 | 22996 | -7271 | 3.163 |
| 15 | 1.16 | 100 | 70 | 0.00 | 0 | 0 | 22996 | -7202 | 3.193 |
| 16 | 1.25 | 100 | 70 | 0.00 | 0 | 0 | 22996 | -7093 | 3.242 |
| 17 | 1.35 | 100 | 70 | 0.00 | 0 | 0 | 22996 | -6946 | 3.311 |
| 18 | 1.45 | 100 | 70 | 0.00 | 0 | 0 | 22996 | -6758 | 3.403 |
| 19 | 1.54 | 100 | 70 | 0.00 | 0 | 0 | 22996 | -6532 | 3.521 |
| 20 | 1.64 | 100 | 70 | 0.00 | 0 | 0 | 22996 | -6266 | 3.670 |

RTI di progettazione:



Mandataria

Via G.B. Sammartini n°5
20125 - Milano
Tel. 02 6787911
email: mail@proiter.it



Mandante

Via Artemide n°3
92100 Agrigento
Tel. 0922 421007
email: deltaingegneria@pec.it

| n° | Y [m] | B [cm] | H [cm] | Afw [cmq] | VRcd [kg] | VRsd [kg] | VRd [kg] | T [kg] | FS |
|----|----------|-----------|-----------|--------------|--------------|--------------|-------------|-----------|---------|
| 21 | 1.74 | 100 | 70 | 0.00 | 0 | 0 | 22996 | -5960 | 3.858 |
| 22 | 1.84 | 100 | 70 | 0.00 | 0 | 0 | 22996 | -5616 | 4.095 |
| 23 | 1.93 | 100 | 70 | 0.00 | 0 | 0 | 22996 | -5231 | 4.396 |
| 24 | 2.03 | 100 | 70 | 0.00 | 0 | 0 | 22996 | -4808 | 4.783 |
| 25 | 2.13 | 100 | 70 | 0.00 | 0 | 0 | 22996 | -4345 | 5.293 |
| 26 | 2.22 | 100 | 70 | 0.00 | 0 | 0 | 22996 | -3842 | 5.985 |
| 27 | 2.32 | 100 | 70 | 0.00 | 0 | 0 | 22996 | -3300 | 6.968 |
| 28 | 2.42 | 100 | 70 | 0.00 | 0 | 0 | 22996 | -2719 | 8.457 |
| 29 | 2.51 | 100 | 70 | 0.00 | 0 | 0 | 22996 | -2099 | 10.958 |
| 30 | 2.61 | 100 | 70 | 0.00 | 0 | 0 | 22996 | -1438 | 15.987 |
| 31 | 2.71 | 100 | 70 | 0.00 | 0 | 0 | 22996 | -739 | 31.122 |
| 32 | 2.80 | 100 | 70 | 0.00 | 0 | 0 | 22996 | 0 | 100.000 |

13.8.5 Verifica delle tensioni

Simbologia adottata

| | |
|-----|---|
| n° | indice sezione |
| Y | ordinata sezione espresso in [m] |
| B | larghezza sezione espresso in [cm] |
| H | altezza sezione espresso in [cm] |
| Afi | area ferri inferiori espresso in [cmq] |
| Afs | area ferri superiori espresso in [cmq] |
| M | momento agente espresso in [kgm] |
| N | sforzo normale agente espresso in [kg] |
| σc | area ferri a taglio espresso in [kg/cmq] |
| σfi | resistenza di progetto a 'taglio compressione' espresso in [kg/cmq] |
| σfs | resistenza di progetto a 'taglio trazione' espresso in [kg/cmq] |

Paramento

Combinazione n° 13 - SLER

| n° | Y [m] | B [cm] | H [cm] | Afi [cmq] | Afs [cmq] | M [kgm] | N [kg] | σc [kg/cmq] | σfi [kg/cmq] | σfs [kg/cmq] |
|----|----------|-----------|-----------|--------------|--------------|------------|-----------|----------------|-----------------|-----------------|
| 1 | 0.00 | 100 | 30 | 10.05 | 5.65 | 0 | 0 | 0.00 | 0.00 | 0.00 |
| 2 | -0.14 | 100 | 31 | 10.05 | 5.65 | 0 | 110 | 0.04 | 0.47 | 0.52 |
| 3 | -0.28 | 100 | 33 | 10.05 | 5.65 | 2 | 232 | 0.08 | 0.87 | 1.11 |
| 4 | -0.42 | 100 | 34 | 10.05 | 5.65 | 6 | 368 | 0.13 | 1.16 | 1.87 |
| 5 | -0.56 | 100 | 36 | 10.05 | 5.65 | 16 | 521 | 0.21 | 1.25 | 2.88 |
| 6 | -0.70 | 100 | 37 | 10.05 | 5.65 | 35 | 693 | 0.32 | 1.06 | 4.26 |
| 7 | -0.84 | 100 | 39 | 10.05 | 5.65 | 67 | 883 | 0.47 | 0.42 | 6.11 |
| 8 | -0.98 | 100 | 40 | 10.05 | 5.65 | 114 | 1090 | 0.70 | 1.62 | 8.74 |
| 9 | -1.12 | 100 | 41 | 10.05 | 5.65 | 181 | 1313 | 1.03 | 6.64 | 12.41 |
| 10 | -1.26 | 100 | 43 | 10.05 | 5.65 | 271 | 1552 | 1.48 | 16.21 | 17.14 |
| 11 | -1.40 | 100 | 44 | 10.05 | 5.65 | 386 | 1807 | 2.04 | 31.08 | 22.79 |

| n° | Y | B | H | Afi | Afs | M | N | σc | σfi | σfs |
|----|-------|------|------|-------|-------|-------|------|----------|----------|----------|
| | [m] | [cm] | [cm] | [cmq] | [cmq] | [kgm] | [kg] | [kg/cmq] | [kg/cmq] | [kg/cmq] |
| 12 | -1.54 | 100 | 46 | 10.05 | 5.65 | 530 | 2077 | 2.70 | 51.32 | 29.27 |
| 13 | -1.68 | 100 | 47 | 10.05 | 5.65 | 705 | 2361 | 3.46 | 76.88 | 36.54 |
| 14 | -1.82 | 100 | 48 | 10.05 | 5.65 | 914 | 2659 | 4.29 | 107.74 | 44.58 |
| 15 | -1.96 | 100 | 50 | 10.05 | 5.65 | 1159 | 2971 | 5.21 | 143.84 | 53.40 |
| 16 | -2.10 | 100 | 51 | 10.05 | 5.65 | 1443 | 3298 | 6.20 | 185.19 | 62.99 |
| 17 | -2.24 | 100 | 53 | 10.05 | 5.65 | 1768 | 3637 | 7.27 | 231.75 | 73.34 |
| 18 | -2.38 | 100 | 54 | 10.05 | 5.65 | 2137 | 3990 | 8.41 | 283.50 | 84.44 |
| 19 | -2.52 | 100 | 56 | 10.05 | 5.65 | 2552 | 4356 | 9.61 | 340.41 | 96.28 |
| 20 | -2.66 | 100 | 57 | 10.05 | 5.65 | 3015 | 4734 | 10.88 | 402.45 | 108.83 |
| 21 | -2.80 | 100 | 58 | 10.05 | 5.65 | 3528 | 5126 | 12.21 | 469.56 | 122.09 |

Combinazione n° 14 - SLEF

| n° | Y | B | H | Afi | Afs | M | N | σc | σfi | σfs |
|----|-------|------|------|-------|-------|-------|------|----------|----------|----------|
| | [m] | [cm] | [cm] | [cmq] | [cmq] | [kgm] | [kg] | [kg/cmq] | [kg/cmq] | [kg/cmq] |
| 1 | 0.00 | 100 | 30 | 10.05 | 5.65 | 0 | 0 | 0.00 | 0.00 | 0.00 |
| 2 | -0.14 | 100 | 31 | 10.05 | 5.65 | 0 | 110 | 0.04 | 0.47 | 0.52 |
| 3 | -0.28 | 100 | 33 | 10.05 | 5.65 | 2 | 232 | 0.08 | 0.87 | 1.11 |
| 4 | -0.42 | 100 | 34 | 10.05 | 5.65 | 6 | 368 | 0.13 | 1.16 | 1.87 |
| 5 | -0.56 | 100 | 36 | 10.05 | 5.65 | 16 | 521 | 0.21 | 1.25 | 2.88 |
| 6 | -0.70 | 100 | 37 | 10.05 | 5.65 | 35 | 693 | 0.32 | 1.06 | 4.26 |
| 7 | -0.84 | 100 | 39 | 10.05 | 5.65 | 67 | 883 | 0.47 | 0.42 | 6.11 |
| 8 | -0.98 | 100 | 40 | 10.05 | 5.65 | 114 | 1090 | 0.70 | 1.62 | 8.74 |
| 9 | -1.12 | 100 | 41 | 10.05 | 5.65 | 181 | 1313 | 1.03 | 6.64 | 12.41 |
| 10 | -1.26 | 100 | 43 | 10.05 | 5.65 | 271 | 1552 | 1.48 | 16.21 | 17.14 |
| 11 | -1.40 | 100 | 44 | 10.05 | 5.65 | 386 | 1807 | 2.04 | 31.08 | 22.79 |
| 12 | -1.54 | 100 | 46 | 10.05 | 5.65 | 530 | 2077 | 2.70 | 51.32 | 29.27 |
| 13 | -1.68 | 100 | 47 | 10.05 | 5.65 | 705 | 2361 | 3.46 | 76.88 | 36.54 |
| 14 | -1.82 | 100 | 48 | 10.05 | 5.65 | 914 | 2659 | 4.29 | 107.74 | 44.58 |
| 15 | -1.96 | 100 | 50 | 10.05 | 5.65 | 1159 | 2971 | 5.21 | 143.84 | 53.40 |
| 16 | -2.10 | 100 | 51 | 10.05 | 5.65 | 1443 | 3298 | 6.20 | 185.19 | 62.99 |
| 17 | -2.24 | 100 | 53 | 10.05 | 5.65 | 1768 | 3637 | 7.27 | 231.75 | 73.34 |
| 18 | -2.38 | 100 | 54 | 10.05 | 5.65 | 2137 | 3990 | 8.41 | 283.50 | 84.44 |
| 19 | -2.52 | 100 | 56 | 10.05 | 5.65 | 2552 | 4356 | 9.61 | 340.41 | 96.28 |
| 20 | -2.66 | 100 | 57 | 10.05 | 5.65 | 3015 | 4734 | 10.88 | 402.45 | 108.83 |
| 21 | -2.80 | 100 | 58 | 10.05 | 5.65 | 3528 | 5126 | 12.21 | 469.56 | 122.09 |

Combinazione n° 15 - SLEQ

| n° | Y | B | H | Afi | Afs | M | N | σc | σfi | σfs |
|----|-------|------|------|-------|-------|-------|------|----------|----------|----------|
| | [m] | [cm] | [cm] | [cmq] | [cmq] | [kgm] | [kg] | [kg/cmq] | [kg/cmq] | [kg/cmq] |
| 1 | 0.00 | 100 | 30 | 10.05 | 5.65 | 0 | 0 | 0.00 | 0.00 | 0.00 |
| 2 | -0.14 | 100 | 31 | 10.05 | 5.65 | 0 | 110 | 0.04 | 0.47 | 0.52 |
| 3 | -0.28 | 100 | 33 | 10.05 | 5.65 | 2 | 232 | 0.08 | 0.87 | 1.11 |
| 4 | -0.42 | 100 | 34 | 10.05 | 5.65 | 6 | 368 | 0.13 | 1.16 | 1.87 |

| n° | Y | B | H | Afi | Afs | M | N | σc | σfi | σfs |
|----|-------|------|------|-------|-------|-------|------|----------|----------|----------|
| | [m] | [cm] | [cm] | [cmq] | [cmq] | [kgm] | [kg] | [kg/cmq] | [kg/cmq] | [kg/cmq] |
| 5 | -0.56 | 100 | 36 | 10.05 | 5.65 | 16 | 521 | 0.21 | 1.25 | 2.88 |
| 6 | -0.70 | 100 | 37 | 10.05 | 5.65 | 35 | 693 | 0.32 | 1.06 | 4.26 |
| 7 | -0.84 | 100 | 39 | 10.05 | 5.65 | 67 | 883 | 0.47 | 0.42 | 6.11 |
| 8 | -0.98 | 100 | 40 | 10.05 | 5.65 | 114 | 1090 | 0.70 | 1.62 | 8.74 |
| 9 | -1.12 | 100 | 41 | 10.05 | 5.65 | 181 | 1313 | 1.03 | 6.64 | 12.41 |
| 10 | -1.26 | 100 | 43 | 10.05 | 5.65 | 271 | 1552 | 1.48 | 16.21 | 17.14 |
| 11 | -1.40 | 100 | 44 | 10.05 | 5.65 | 386 | 1807 | 2.04 | 31.08 | 22.79 |
| 12 | -1.54 | 100 | 46 | 10.05 | 5.65 | 530 | 2077 | 2.70 | 51.32 | 29.27 |
| 13 | -1.68 | 100 | 47 | 10.05 | 5.65 | 705 | 2361 | 3.46 | 76.88 | 36.54 |
| 14 | -1.82 | 100 | 48 | 10.05 | 5.65 | 914 | 2659 | 4.29 | 107.74 | 44.58 |
| 15 | -1.96 | 100 | 50 | 10.05 | 5.65 | 1159 | 2971 | 5.21 | 143.84 | 53.40 |
| 16 | -2.10 | 100 | 51 | 10.05 | 5.65 | 1443 | 3298 | 6.20 | 185.19 | 62.99 |
| 17 | -2.24 | 100 | 53 | 10.05 | 5.65 | 1768 | 3637 | 7.27 | 231.75 | 73.34 |
| 18 | -2.38 | 100 | 54 | 10.05 | 5.65 | 2137 | 3990 | 8.41 | 283.50 | 84.44 |
| 19 | -2.52 | 100 | 56 | 10.05 | 5.65 | 2552 | 4356 | 9.61 | 340.41 | 96.28 |
| 20 | -2.66 | 100 | 57 | 10.05 | 5.65 | 3015 | 4734 | 10.88 | 402.45 | 108.83 |
| 21 | -2.80 | 100 | 58 | 10.05 | 5.65 | 3528 | 5126 | 12.21 | 469.56 | 122.09 |

Combinazione n° 16 - SLEQ

| n° | Y | B | H | Afi | Afs | M | N | σc | σfi | σfs |
|----|-------|------|------|-------|-------|-------|------|----------|----------|----------|
| | [m] | [cm] | [cm] | [cmq] | [cmq] | [kgm] | [kg] | [kg/cmq] | [kg/cmq] | [kg/cmq] |
| 1 | 0.00 | 100 | 30 | 10.05 | 5.65 | 0 | 0 | 0.00 | 0.00 | 0.00 |
| 2 | -0.14 | 100 | 31 | 10.05 | 5.65 | 0 | 118 | 0.04 | 0.50 | 0.55 |
| 3 | -0.28 | 100 | 33 | 10.05 | 5.65 | 4 | 247 | 0.09 | 0.81 | 1.31 |
| 4 | -0.42 | 100 | 34 | 10.05 | 5.65 | 14 | 391 | 0.18 | 0.90 | 2.33 |
| 5 | -0.56 | 100 | 36 | 10.05 | 5.65 | 31 | 552 | 0.28 | 0.71 | 3.69 |
| 6 | -0.70 | 100 | 37 | 10.05 | 5.65 | 60 | 731 | 0.44 | 0.03 | 5.54 |
| 7 | -0.84 | 100 | 39 | 10.05 | 5.65 | 103 | 929 | 0.67 | 2.42 | 8.20 |
| 8 | -0.98 | 100 | 40 | 10.05 | 5.65 | 165 | 1144 | 1.01 | 8.06 | 11.87 |
| 9 | -1.12 | 100 | 41 | 10.05 | 5.65 | 249 | 1375 | 1.47 | 18.28 | 16.54 |
| 10 | -1.26 | 100 | 43 | 10.05 | 5.65 | 359 | 1622 | 2.04 | 33.67 | 22.09 |
| 11 | -1.40 | 100 | 44 | 10.05 | 5.65 | 496 | 1884 | 2.71 | 54.35 | 28.49 |
| 12 | -1.54 | 100 | 46 | 10.05 | 5.65 | 664 | 2161 | 3.47 | 80.37 | 35.71 |
| 13 | -1.68 | 100 | 47 | 10.05 | 5.65 | 866 | 2453 | 4.32 | 111.74 | 43.75 |
| 14 | -1.82 | 100 | 48 | 10.05 | 5.65 | 1105 | 2759 | 5.25 | 148.49 | 52.61 |
| 15 | -1.96 | 100 | 50 | 10.05 | 5.65 | 1382 | 3079 | 6.26 | 190.61 | 62.27 |
| 16 | -2.10 | 100 | 51 | 10.05 | 5.65 | 1701 | 3413 | 7.36 | 238.11 | 72.73 |
| 17 | -2.24 | 100 | 53 | 10.05 | 5.65 | 2063 | 3760 | 8.52 | 290.97 | 83.98 |
| 18 | -2.38 | 100 | 54 | 10.05 | 5.65 | 2472 | 4121 | 9.76 | 349.16 | 96.00 |
| 19 | -2.52 | 100 | 56 | 10.05 | 5.65 | 2929 | 4494 | 11.06 | 412.65 | 108.77 |
| 20 | -2.66 | 100 | 57 | 10.05 | 5.65 | 3437 | 4880 | 12.43 | 481.39 | 122.28 |
| 21 | -2.80 | 100 | 58 | 10.05 | 5.65 | 3998 | 5279 | 13.86 | 555.33 | 136.52 |

Combinazione n° 17 - SLEQ

| n° | Y [m] | B [cm] | H [cm] | Afi [cmq] | Afs [cmq] | M [kgm] | N [kg] | σc [kg/cmq] J | σfi [kg/cmq] J | σfs [kg/cmq] J |
|----|----------|-----------|-----------|--------------|--------------|------------|-----------|---------------------|----------------------|----------------------|
| 1 | 0.00 | 100 | 30 | 10.05 | 5.65 | 0 | 0 | 0.00 | 0.00 | 0.00 |
| 2 | -0.14 | 100 | 31 | 10.05 | 5.65 | 0 | 116 | 0.04 | 0.49 | 0.55 |
| 3 | -0.28 | 100 | 33 | 10.05 | 5.65 | 4 | 244 | 0.09 | 0.81 | 1.27 |
| 4 | -0.42 | 100 | 34 | 10.05 | 5.65 | 12 | 385 | 0.17 | 0.94 | 2.24 |
| 5 | -0.56 | 100 | 36 | 10.05 | 5.65 | 28 | 544 | 0.27 | 0.82 | 3.53 |
| 6 | -0.70 | 100 | 37 | 10.05 | 5.65 | 55 | 722 | 0.41 | 0.25 | 5.26 |
| 7 | -0.84 | 100 | 39 | 10.05 | 5.65 | 96 | 918 | 0.63 | 1.67 | 7.74 |
| 8 | -0.98 | 100 | 40 | 10.05 | 5.65 | 155 | 1131 | 0.94 | 6.48 | 11.21 |
| 9 | -1.12 | 100 | 41 | 10.05 | 5.65 | 236 | 1360 | 1.38 | 15.66 | 15.70 |
| 10 | -1.26 | 100 | 43 | 10.05 | 5.65 | 341 | 1605 | 1.93 | 29.96 | 21.11 |
| 11 | -1.40 | 100 | 44 | 10.05 | 5.65 | 474 | 1866 | 2.57 | 49.55 | 27.36 |
| 12 | -1.54 | 100 | 46 | 10.05 | 5.65 | 637 | 2141 | 3.31 | 74.46 | 34.42 |
| 13 | -1.68 | 100 | 47 | 10.05 | 5.65 | 833 | 2431 | 4.14 | 104.70 | 42.30 |
| 14 | -1.82 | 100 | 48 | 10.05 | 5.65 | 1066 | 2736 | 5.06 | 140.29 | 50.99 |
| 15 | -1.96 | 100 | 50 | 10.05 | 5.65 | 1337 | 3054 | 6.05 | 181.23 | 60.48 |
| 16 | -2.10 | 100 | 51 | 10.05 | 5.65 | 1648 | 3386 | 7.12 | 227.52 | 70.76 |
| 17 | -2.24 | 100 | 53 | 10.05 | 5.65 | 2004 | 3731 | 8.27 | 279.13 | 81.83 |
| 18 | -2.38 | 100 | 54 | 10.05 | 5.65 | 2404 | 4090 | 9.49 | 336.06 | 93.66 |
| 19 | -2.52 | 100 | 56 | 10.05 | 5.65 | 2853 | 4461 | 10.77 | 398.25 | 106.24 |
| 20 | -2.66 | 100 | 57 | 10.05 | 5.65 | 3352 | 4846 | 12.12 | 465.68 | 119.57 |
| 21 | -2.80 | 100 | 58 | 10.05 | 5.65 | 3903 | 5243 | 13.53 | 538.29 | 133.60 |

FondazioneCombinazione n° 13 - SLER

| n° | Y [m] | B [cm] | H [cm] | Afi [cmq] | Afs [cmq] | M [kgm] | N [kg] | σc [kg/cmq] J | σfi [kg/cmq] J | σfs [kg/cmq] J |
|----|----------|-----------|-----------|--------------|--------------|------------|-----------|---------------------|----------------------|----------------------|
| 1 | -0.70 | 100 | 70 | 10.05 | 10.05 | 0 | 0 | 0.00 | 0.00 | 0.00 |
| 2 | -0.60 | 100 | 70 | 10.05 | 10.05 | 48 | 0 | 0.12 | 7.90 | 1.01 |
| 3 | -0.50 | 100 | 70 | 10.05 | 10.05 | 193 | 0 | 0.47 | 31.44 | 4.03 |
| 4 | -0.40 | 100 | 70 | 10.05 | 10.05 | 431 | 0 | 1.04 | 70.37 | 9.03 |
| 5 | -0.30 | 100 | 70 | 10.05 | 10.05 | 762 | 0 | 1.84 | 124.44 | 15.97 |
| 6 | 0.28 | 100 | 70 | 10.05 | 10.05 | -5037 | 0 | 12.19 | 105.52 | 822.34 |
| 7 | 0.38 | 100 | 70 | 10.05 | 10.05 | -4906 | 0 | 11.87 | 102.78 | 800.97 |
| 8 | 0.48 | 100 | 70 | 10.05 | 10.05 | -4751 | 0 | 11.50 | 99.53 | 775.66 |
| 9 | 0.58 | 100 | 70 | 10.05 | 10.05 | -4574 | 0 | 11.07 | 95.83 | 746.79 |
| 10 | 0.67 | 100 | 70 | 10.05 | 10.05 | -4378 | 0 | 10.60 | 91.72 | 714.76 |
| 11 | 0.77 | 100 | 70 | 10.05 | 10.05 | -4164 | 0 | 10.08 | 87.25 | 679.96 |
| 12 | 0.87 | 100 | 70 | 10.05 | 10.05 | -3937 | 0 | 9.53 | 82.48 | 642.77 |
| 13 | 0.96 | 100 | 70 | 10.05 | 10.05 | -3697 | 0 | 8.95 | 77.45 | 603.59 |
| 14 | 1.06 | 100 | 70 | 10.05 | 10.05 | -3447 | 0 | 8.34 | 72.22 | 562.81 |
| 15 | 1.16 | 100 | 70 | 10.05 | 10.05 | -3190 | 0 | 7.72 | 66.83 | 520.82 |

| n° | Y | B | H | Afi | Afs | M | N | σc | σfi | σfs |
|----|------|------|------|-------|-------|-------|------|----------|----------|----------|
| | [m] | [cm] | [cm] | [cmq] | [cmq] | [kgm] | [kg] | [kg/cmq] | [kg/cmq] | [kg/cmq] |
| 16 | 1.25 | 100 | 70 | 10.05 | 10.05 | -2928 | 0 | 7.09 | 61.34 | 478.01 |
| 17 | 1.35 | 100 | 70 | 10.05 | 10.05 | -2663 | 0 | 6.44 | 55.79 | 434.77 |
| 18 | 1.45 | 100 | 70 | 10.05 | 10.05 | -2398 | 0 | 5.80 | 50.24 | 391.48 |
| 19 | 1.54 | 100 | 70 | 10.05 | 10.05 | -2135 | 0 | 5.17 | 44.73 | 348.55 |
| 20 | 1.64 | 100 | 70 | 10.05 | 10.05 | -1876 | 0 | 4.54 | 39.31 | 306.36 |
| 21 | 1.74 | 100 | 70 | 10.05 | 10.05 | -1625 | 0 | 3.93 | 34.04 | 265.30 |
| 22 | 1.84 | 100 | 70 | 10.05 | 10.05 | -1383 | 0 | 3.35 | 28.97 | 225.77 |
| 23 | 1.93 | 100 | 70 | 10.05 | 10.05 | -1152 | 0 | 2.79 | 24.14 | 188.14 |
| 24 | 2.03 | 100 | 70 | 10.05 | 10.05 | -936 | 0 | 2.27 | 19.61 | 152.82 |
| 25 | 2.13 | 100 | 70 | 10.05 | 10.05 | -736 | 0 | 1.78 | 15.42 | 120.19 |
| 26 | 2.22 | 100 | 70 | 10.05 | 10.05 | -555 | 0 | 1.34 | 11.63 | 90.65 |
| 27 | 2.32 | 100 | 70 | 10.05 | 10.05 | -396 | 0 | 0.96 | 8.29 | 64.58 |
| 28 | 2.42 | 100 | 70 | 10.05 | 10.05 | -259 | 0 | 0.63 | 5.44 | 42.37 |
| 29 | 2.51 | 100 | 70 | 10.05 | 10.05 | -150 | 0 | 0.36 | 3.13 | 24.42 |
| 30 | 2.61 | 100 | 70 | 10.05 | 10.05 | -68 | 0 | 0.16 | 1.43 | 11.11 |
| 31 | 2.71 | 100 | 70 | 10.05 | 10.05 | -17 | 0 | 0.04 | 0.36 | 2.84 |
| 32 | 2.80 | 100 | 70 | 10.05 | 10.05 | 0 | 0 | 0.00 | 0.00 | 0.00 |

Combinazione n° 14 - SLEF

| n° | Y | B | H | Afi | Afs | M | N | σc | σfi | σfs |
|----|-------|------|------|-------|-------|-------|------|----------|----------|----------|
| | [m] | [cm] | [cm] | [cmq] | [cmq] | [kgm] | [kg] | [kg/cmq] | [kg/cmq] | [kg/cmq] |
| 1 | -0.70 | 100 | 70 | 10.05 | 10.05 | 0 | 0 | 0.00 | 0.00 | 0.00 |
| 2 | -0.60 | 100 | 70 | 10.05 | 10.05 | 48 | 0 | 0.12 | 7.83 | 1.01 |
| 3 | -0.50 | 100 | 70 | 10.05 | 10.05 | 191 | 0 | 0.46 | 31.17 | 4.00 |
| 4 | -0.40 | 100 | 70 | 10.05 | 10.05 | 427 | 0 | 1.03 | 69.78 | 8.95 |
| 5 | -0.30 | 100 | 70 | 10.05 | 10.05 | 756 | 0 | 1.83 | 123.40 | 15.84 |
| 6 | 0.28 | 100 | 70 | 10.05 | 10.05 | -5016 | 0 | 12.14 | 105.10 | 819.03 |
| 7 | 0.38 | 100 | 70 | 10.05 | 10.05 | -4884 | 0 | 11.82 | 102.32 | 797.38 |
| 8 | 0.48 | 100 | 70 | 10.05 | 10.05 | -4727 | 0 | 11.44 | 99.05 | 771.87 |
| 9 | 0.58 | 100 | 70 | 10.05 | 10.05 | -4550 | 0 | 11.01 | 95.33 | 742.87 |
| 10 | 0.67 | 100 | 70 | 10.05 | 10.05 | -4353 | 0 | 10.54 | 91.21 | 710.76 |
| 11 | 0.77 | 100 | 70 | 10.05 | 10.05 | -4140 | 0 | 10.02 | 86.74 | 675.95 |
| 12 | 0.87 | 100 | 70 | 10.05 | 10.05 | -3912 | 0 | 9.47 | 81.97 | 638.80 |
| 13 | 0.96 | 100 | 70 | 10.05 | 10.05 | -3673 | 0 | 8.89 | 76.95 | 599.70 |
| 14 | 1.06 | 100 | 70 | 10.05 | 10.05 | -3424 | 0 | 8.29 | 71.74 | 559.05 |
| 15 | 1.16 | 100 | 70 | 10.05 | 10.05 | -3168 | 0 | 7.67 | 66.37 | 517.22 |
| 16 | 1.25 | 100 | 70 | 10.05 | 10.05 | -2907 | 0 | 7.04 | 60.90 | 474.61 |
| 17 | 1.35 | 100 | 70 | 10.05 | 10.05 | -2643 | 0 | 6.40 | 55.38 | 431.59 |
| 18 | 1.45 | 100 | 70 | 10.05 | 10.05 | -2380 | 0 | 5.76 | 49.86 | 388.55 |
| 19 | 1.54 | 100 | 70 | 10.05 | 10.05 | -2118 | 0 | 5.13 | 44.38 | 345.88 |
| 20 | 1.64 | 100 | 70 | 10.05 | 10.05 | -1862 | 0 | 4.51 | 39.01 | 303.97 |
| 21 | 1.74 | 100 | 70 | 10.05 | 10.05 | -1612 | 0 | 3.90 | 33.77 | 263.19 |
| 22 | 1.84 | 100 | 70 | 10.05 | 10.05 | -1372 | 0 | 3.32 | 28.74 | 223.93 |
| 23 | 1.93 | 100 | 70 | 10.05 | 10.05 | -1143 | 0 | 2.77 | 23.94 | 186.59 |
| 24 | 2.03 | 100 | 70 | 10.05 | 10.05 | -928 | 0 | 2.25 | 19.45 | 151.54 |
| 25 | 2.13 | 100 | 70 | 10.05 | 10.05 | -730 | 0 | 1.77 | 15.29 | 119.17 |

| n° | Y | B | H | Afi | Afs | M | N | σc | σfi | σfs |
|----|------|------|------|-------|-------|-------|------|----------|----------|----------|
| | [m] | [cm] | [cm] | [cmq] | [cmq] | [kgm] | [kg] | [kg/cmq] | [kg/cmq] | [kg/cmq] |
| 26 | 2.22 | 100 | 70 | 10.05 | 10.05 | -550 | 0 | 1.33 | 11.53 | 89.87 |
| 27 | 2.32 | 100 | 70 | 10.05 | 10.05 | -392 | 0 | 0.95 | 8.21 | 64.01 |
| 28 | 2.42 | 100 | 70 | 10.05 | 10.05 | -257 | 0 | 0.62 | 5.39 | 42.00 |
| 29 | 2.51 | 100 | 70 | 10.05 | 10.05 | -148 | 0 | 0.36 | 3.11 | 24.20 |
| 30 | 2.61 | 100 | 70 | 10.05 | 10.05 | -67 | 0 | 0.16 | 1.41 | 11.01 |
| 31 | 2.71 | 100 | 70 | 10.05 | 10.05 | -17 | 0 | 0.04 | 0.36 | 2.82 |
| 32 | 2.80 | 100 | 70 | 10.05 | 10.05 | 0 | 0 | 0.00 | 0.00 | 0.00 |

Combinazione n° 15 - SLEQ

| n° | Y | B | H | Afi | Afs | M | N | σc | σfi | σfs |
|----|-------|------|------|-------|-------|-------|------|----------|----------|----------|
| | [m] | [cm] | [cm] | [cmq] | [cmq] | [kgm] | [kg] | [kg/cmq] | [kg/cmq] | [kg/cmq] |
| 1 | -0.70 | 100 | 70 | 10.05 | 10.05 | 0 | 0 | 0.00 | 0.00 | 0.00 |
| 2 | -0.60 | 100 | 70 | 10.05 | 10.05 | 47 | 0 | 0.11 | 7.71 | 0.99 |
| 3 | -0.50 | 100 | 70 | 10.05 | 10.05 | 188 | 0 | 0.45 | 30.69 | 3.94 |
| 4 | -0.40 | 100 | 70 | 10.05 | 10.05 | 421 | 0 | 1.02 | 68.70 | 8.82 |
| 5 | -0.30 | 100 | 70 | 10.05 | 10.05 | 744 | 0 | 1.80 | 121.51 | 15.59 |
| 6 | 0.28 | 100 | 70 | 10.05 | 10.05 | -5067 | 0 | 12.26 | 106.16 | 827.34 |
| 7 | 0.38 | 100 | 70 | 10.05 | 10.05 | -4926 | 0 | 11.92 | 103.21 | 804.28 |
| 8 | 0.48 | 100 | 70 | 10.05 | 10.05 | -4762 | 0 | 11.52 | 99.77 | 777.49 |
| 9 | 0.58 | 100 | 70 | 10.05 | 10.05 | -4577 | 0 | 11.08 | 95.90 | 747.36 |
| 10 | 0.67 | 100 | 70 | 10.05 | 10.05 | -4375 | 0 | 10.59 | 91.66 | 714.27 |
| 11 | 0.77 | 100 | 70 | 10.05 | 10.05 | -4156 | 0 | 10.06 | 87.08 | 678.58 |
| 12 | 0.87 | 100 | 70 | 10.05 | 10.05 | -3924 | 0 | 9.50 | 82.21 | 640.68 |
| 13 | 0.96 | 100 | 70 | 10.05 | 10.05 | -3681 | 0 | 8.91 | 77.11 | 600.95 |
| 14 | 1.06 | 100 | 70 | 10.05 | 10.05 | -3428 | 0 | 8.30 | 71.83 | 559.76 |
| 15 | 1.16 | 100 | 70 | 10.05 | 10.05 | -3169 | 0 | 7.67 | 66.40 | 517.49 |
| 16 | 1.25 | 100 | 70 | 10.05 | 10.05 | -2906 | 0 | 7.03 | 60.89 | 474.52 |
| 17 | 1.35 | 100 | 70 | 10.05 | 10.05 | -2641 | 0 | 6.39 | 55.34 | 431.22 |
| 18 | 1.45 | 100 | 70 | 10.05 | 10.05 | -2376 | 0 | 5.75 | 49.79 | 387.99 |
| 19 | 1.54 | 100 | 70 | 10.05 | 10.05 | -2114 | 0 | 5.12 | 44.29 | 345.18 |
| 20 | 1.64 | 100 | 70 | 10.05 | 10.05 | -1857 | 0 | 4.49 | 38.91 | 303.19 |
| 21 | 1.74 | 100 | 70 | 10.05 | 10.05 | -1607 | 0 | 3.89 | 33.67 | 262.38 |
| 22 | 1.84 | 100 | 70 | 10.05 | 10.05 | -1367 | 0 | 3.31 | 28.63 | 223.14 |
| 23 | 1.93 | 100 | 70 | 10.05 | 10.05 | -1138 | 0 | 2.75 | 23.85 | 185.84 |
| 24 | 2.03 | 100 | 70 | 10.05 | 10.05 | -924 | 0 | 2.24 | 19.36 | 150.87 |
| 25 | 2.13 | 100 | 70 | 10.05 | 10.05 | -726 | 0 | 1.76 | 15.22 | 118.60 |
| 26 | 2.22 | 100 | 70 | 10.05 | 10.05 | -548 | 0 | 1.33 | 11.47 | 89.40 |
| 27 | 2.32 | 100 | 70 | 10.05 | 10.05 | -390 | 0 | 0.94 | 8.17 | 63.66 |
| 28 | 2.42 | 100 | 70 | 10.05 | 10.05 | -256 | 0 | 0.62 | 5.36 | 41.75 |
| 29 | 2.51 | 100 | 70 | 10.05 | 10.05 | -147 | 0 | 0.36 | 3.09 | 24.05 |
| 30 | 2.61 | 100 | 70 | 10.05 | 10.05 | -67 | 0 | 0.16 | 1.40 | 10.94 |
| 31 | 2.71 | 100 | 70 | 10.05 | 10.05 | -17 | 0 | 0.04 | 0.36 | 2.80 |
| 32 | 2.80 | 100 | 70 | 10.05 | 10.05 | 0 | 0 | 0.00 | 0.00 | 0.00 |

Combinazione n° 16 - SLEQ

| n° | Y [m] | B [cm] | H [cm] | Afi [cmq] | Afs [cmq] | M [kgm] | N [kg] | σc [kg/cmq] J | σfi [kg/cmq] J | σfs [kg/cmq] J |
|----|----------|-----------|-----------|--------------|--------------|------------|-----------|---------------------|----------------------|----------------------|
| 1 | -0.70 | 100 | 70 | 10.05 | 10.05 | 0 | 0 | 0.00 | 0.00 | 0.00 |
| 2 | -0.60 | 100 | 70 | 10.05 | 10.05 | 51 | 0 | 0.12 | 8.38 | 1.08 |
| 3 | -0.50 | 100 | 70 | 10.05 | 10.05 | 204 | 0 | 0.49 | 33.34 | 4.28 |
| 4 | -0.40 | 100 | 70 | 10.05 | 10.05 | 457 | 0 | 1.11 | 74.56 | 9.57 |
| 5 | -0.30 | 100 | 70 | 10.05 | 10.05 | 807 | 0 | 1.95 | 131.74 | 16.91 |
| 6 | 0.28 | 100 | 70 | 10.05 | 10.05 | -5879 | 0 | 14.23 | 123.18 | 959.91 |
| 7 | 0.38 | 100 | 70 | 10.05 | 10.05 | -5716 | 0 | 13.83 | 119.75 | 933.20 |
| 8 | 0.48 | 100 | 70 | 10.05 | 10.05 | -5525 | 0 | 13.37 | 115.77 | 902.17 |
| 9 | 0.58 | 100 | 70 | 10.05 | 10.05 | -5312 | 0 | 12.86 | 111.29 | 867.25 |
| 10 | 0.67 | 100 | 70 | 10.05 | 10.05 | -5077 | 0 | 12.29 | 106.36 | 828.88 |
| 11 | 0.77 | 100 | 70 | 10.05 | 10.05 | -4823 | 0 | 11.67 | 101.05 | 787.50 |
| 12 | 0.87 | 100 | 70 | 10.05 | 10.05 | -4554 | 0 | 11.02 | 95.41 | 743.54 |
| 13 | 0.96 | 100 | 70 | 10.05 | 10.05 | -4272 | 0 | 10.34 | 89.50 | 697.45 |
| 14 | 1.06 | 100 | 70 | 10.05 | 10.05 | -3979 | 0 | 9.63 | 83.37 | 649.67 |
| 15 | 1.16 | 100 | 70 | 10.05 | 10.05 | -3679 | 0 | 8.90 | 77.07 | 600.63 |
| 16 | 1.25 | 100 | 70 | 10.05 | 10.05 | -3373 | 0 | 8.16 | 70.68 | 550.77 |
| 17 | 1.35 | 100 | 70 | 10.05 | 10.05 | -3066 | 0 | 7.42 | 64.23 | 500.53 |
| 18 | 1.45 | 100 | 70 | 10.05 | 10.05 | -2758 | 0 | 6.68 | 57.79 | 450.36 |
| 19 | 1.54 | 100 | 70 | 10.05 | 10.05 | -2454 | 0 | 5.94 | 51.42 | 400.68 |
| 20 | 1.64 | 100 | 70 | 10.05 | 10.05 | -2156 | 0 | 5.22 | 45.16 | 351.94 |
| 21 | 1.74 | 100 | 70 | 10.05 | 10.05 | -1865 | 0 | 4.51 | 39.08 | 304.58 |
| 22 | 1.84 | 100 | 70 | 10.05 | 10.05 | -1586 | 0 | 3.84 | 33.24 | 259.03 |
| 23 | 1.93 | 100 | 70 | 10.05 | 10.05 | -1321 | 0 | 3.20 | 27.68 | 215.74 |
| 24 | 2.03 | 100 | 70 | 10.05 | 10.05 | -1073 | 0 | 2.60 | 22.47 | 175.14 |
| 25 | 2.13 | 100 | 70 | 10.05 | 10.05 | -843 | 0 | 2.04 | 17.67 | 137.68 |
| 26 | 2.22 | 100 | 70 | 10.05 | 10.05 | -636 | 0 | 1.54 | 13.32 | 103.78 |
| 27 | 2.32 | 100 | 70 | 10.05 | 10.05 | -453 | 0 | 1.10 | 9.48 | 73.90 |
| 28 | 2.42 | 100 | 70 | 10.05 | 10.05 | -297 | 0 | 0.72 | 6.22 | 48.47 |
| 29 | 2.51 | 100 | 70 | 10.05 | 10.05 | -171 | 0 | 0.41 | 3.58 | 27.92 |
| 30 | 2.61 | 100 | 70 | 10.05 | 10.05 | -78 | 0 | 0.19 | 1.63 | 12.70 |
| 31 | 2.71 | 100 | 70 | 10.05 | 10.05 | -20 | 0 | 0.05 | 0.42 | 3.25 |
| 32 | 2.80 | 100 | 70 | 10.05 | 10.05 | 0 | 0 | 0.00 | 0.00 | 0.00 |

Combinazione n° 17 - SLEQ

| n° | Y [m] | B [cm] | H [cm] | Afi [cmq] | Afs [cmq] | M [kgm] | N [kg] | σc [kg/cmq] J | σfi [kg/cmq] J | σfs [kg/cmq] J |
|----|----------|-----------|-----------|--------------|--------------|------------|-----------|---------------------|----------------------|----------------------|
| 1 | -0.70 | 100 | 70 | 10.05 | 10.05 | 0 | 0 | 0.00 | 0.00 | 0.00 |
| 2 | -0.60 | 100 | 70 | 10.05 | 10.05 | 50 | 0 | 0.12 | 8.22 | 1.05 |
| 3 | -0.50 | 100 | 70 | 10.05 | 10.05 | 200 | 0 | 0.48 | 32.67 | 4.19 |
| 4 | -0.40 | 100 | 70 | 10.05 | 10.05 | 448 | 0 | 1.08 | 73.07 | 9.38 |
| 5 | -0.30 | 100 | 70 | 10.05 | 10.05 | 791 | 0 | 1.91 | 129.10 | 16.57 |
| 6 | 0.28 | 100 | 70 | 10.05 | 10.05 | -6290 | 0 | 15.22 | 131.78 | 1026.99 |
| 7 | 0.38 | 100 | 70 | 10.05 | 10.05 | -6093 | 0 | 14.75 | 127.65 | 994.78 |

| n° | Y [m] | B [cm] | H [cm] | Afi [cmq] | Afs [cmq] | M [kgm] | N [kg] | σc [kg/cmq] | σfi [kg/cmq] | σfs [kg/cmq] |
|----|----------|-----------|-----------|--------------|--------------|------------|-----------|----------------|-----------------|-----------------|
| 8 | 0.48 | 100 | 70 | 10.05 | 10.05 | -5871 | 0 | 14.21 | 123.00 | 958.51 |
| 9 | 0.58 | 100 | 70 | 10.05 | 10.05 | -5626 | 0 | 13.62 | 117.88 | 918.62 |
| 10 | 0.67 | 100 | 70 | 10.05 | 10.05 | -5362 | 0 | 12.98 | 112.35 | 875.53 |
| 11 | 0.77 | 100 | 70 | 10.05 | 10.05 | -5082 | 0 | 12.30 | 106.47 | 829.69 |
| 12 | 0.87 | 100 | 70 | 10.05 | 10.05 | -4787 | 0 | 11.58 | 100.29 | 781.53 |
| 13 | 0.96 | 100 | 70 | 10.05 | 10.05 | -4480 | 0 | 10.84 | 93.86 | 731.48 |
| 14 | 1.06 | 100 | 70 | 10.05 | 10.05 | -4165 | 0 | 10.08 | 87.26 | 679.98 |
| 15 | 1.16 | 100 | 70 | 10.05 | 10.05 | -3843 | 0 | 9.30 | 80.52 | 627.46 |
| 16 | 1.25 | 100 | 70 | 10.05 | 10.05 | -3518 | 0 | 8.51 | 73.70 | 574.35 |
| 17 | 1.35 | 100 | 70 | 10.05 | 10.05 | -3192 | 0 | 7.72 | 66.87 | 521.10 |
| 18 | 1.45 | 100 | 70 | 10.05 | 10.05 | -2867 | 0 | 6.94 | 60.07 | 468.13 |
| 19 | 1.54 | 100 | 70 | 10.05 | 10.05 | -2547 | 0 | 6.16 | 53.37 | 415.89 |
| 20 | 1.64 | 100 | 70 | 10.05 | 10.05 | -2234 | 0 | 5.41 | 46.81 | 364.80 |
| 21 | 1.74 | 100 | 70 | 10.05 | 10.05 | -1931 | 0 | 4.67 | 40.46 | 315.29 |
| 22 | 1.84 | 100 | 70 | 10.05 | 10.05 | -1640 | 0 | 3.97 | 34.37 | 267.82 |
| 23 | 1.93 | 100 | 70 | 10.05 | 10.05 | -1365 | 0 | 3.30 | 28.59 | 222.80 |
| 24 | 2.03 | 100 | 70 | 10.05 | 10.05 | -1107 | 0 | 2.68 | 23.18 | 180.67 |
| 25 | 2.13 | 100 | 70 | 10.05 | 10.05 | -869 | 0 | 2.10 | 18.21 | 141.88 |
| 26 | 2.22 | 100 | 70 | 10.05 | 10.05 | -654 | 0 | 1.58 | 13.71 | 106.85 |
| 27 | 2.32 | 100 | 70 | 10.05 | 10.05 | -466 | 0 | 1.13 | 9.75 | 76.01 |
| 28 | 2.42 | 100 | 70 | 10.05 | 10.05 | -305 | 0 | 0.74 | 6.39 | 49.80 |
| 29 | 2.51 | 100 | 70 | 10.05 | 10.05 | -176 | 0 | 0.42 | 3.68 | 28.67 |
| 30 | 2.61 | 100 | 70 | 10.05 | 10.05 | -80 | 0 | 0.19 | 1.67 | 13.03 |
| 31 | 2.71 | 100 | 70 | 10.05 | 10.05 | -20 | 0 | 0.05 | 0.43 | 3.33 |
| 32 | 2.80 | 100 | 70 | 10.05 | 10.05 | 0 | 0 | 0.00 | 0.00 | 0.00 |

13.8.6 Verifiche a fessurazione

Simbologia adottata

| | |
|------|---|
| n° | indice sezione |
| Y | ordinata sezione espresso in [m] |
| B | larghezza sezione espresso in [cm] |
| H | altezza sezione espresso in [cm] |
| Afi | area ferri zona tesa espresso in [cmq] |
| Aeff | area efficace espresso in [cmq] |
| M | momento agente espresso in [kgm] |
| Mpf | momento di prima fessurazione espresso in [kgm] |
| ε | deformazione espresso in % |
| Sm | spaziatura tra le fessure espresso in [mm] |
| w | apertura delle fessure espresso in [mm] |

Paramento

Combinazione n° 13 - SLER

| n° | Y | B | H | Af | Aeff | M | Mpf | ε | Sm | w |
|----|-------|------|------|-------|---------|-------|-------|----------|-------|------|
| | [m] | [cm] | [cm] | [cmq] | [cmq] | [kgm] | [kgm] | [%] | [mm] | [mm] |
| 1 | 0.00 | 100 | 30 | 0.00 | 0.00 | 0 | 0 | 0.000000 | 0.000 | 0.00 |
| 2 | -0.14 | 100 | 31 | 0.00 | 0.00 | 0 | 157 | 0.000000 | 0.000 | 0.00 |
| 3 | -0.28 | 100 | 33 | 0.00 | 0.00 | 2 | 760 | 0.000000 | 0.000 | 0.00 |
| 4 | -0.42 | 100 | 34 | 0.00 | 0.00 | 6 | 2204 | 0.000000 | 0.000 | 0.00 |
| 5 | -0.56 | 100 | 36 | 0.00 | 0.00 | 16 | 6081 | 0.000000 | 0.000 | 0.00 |
| 6 | -0.70 | 100 | 37 | 0.00 | 0.00 | 35 | 26007 | 0.000000 | 0.000 | 0.00 |
| 7 | -0.84 | 100 | 39 | 0.00 | 0.00 | 67 | 45575 | 0.000000 | 0.000 | 0.00 |
| 8 | -0.98 | 100 | 40 | 0.00 | 0.00 | 114 | 19145 | 0.000000 | 0.000 | 0.00 |
| 9 | -1.12 | 100 | 41 | 10.05 | 796.93 | 181 | 14806 | 0.000000 | 0.000 | 0.00 |
| 10 | -1.26 | 100 | 43 | 10.05 | 1047.26 | 271 | 13336 | 0.000000 | 0.000 | 0.00 |
| 11 | -1.40 | 100 | 44 | 10.05 | 1237.14 | 386 | 12803 | 0.000000 | 0.000 | 0.00 |
| 12 | -1.54 | 100 | 46 | 10.05 | 1384.88 | 530 | 12695 | 0.000000 | 0.000 | 0.00 |
| 13 | -1.68 | 100 | 47 | 10.05 | 1506.25 | 705 | 12820 | 0.000000 | 0.000 | 0.00 |
| 14 | -1.82 | 100 | 48 | 10.05 | 1611.09 | 914 | 13089 | 0.000000 | 0.000 | 0.00 |
| 15 | -1.96 | 100 | 50 | 10.05 | 1705.18 | 1159 | 13455 | 0.000000 | 0.000 | 0.00 |
| 16 | -2.10 | 100 | 51 | 10.05 | 1792.01 | 1443 | 13893 | 0.000000 | 0.000 | 0.00 |
| 17 | -2.24 | 100 | 53 | 10.05 | 1873.77 | 1768 | 14385 | 0.000000 | 0.000 | 0.00 |
| 18 | -2.38 | 100 | 54 | 10.05 | 1951.86 | 2137 | 14922 | 0.000000 | 0.000 | 0.00 |
| 19 | -2.52 | 100 | 56 | 10.05 | 2027.23 | 2552 | 15497 | 0.000000 | 0.000 | 0.00 |
| 20 | -2.66 | 100 | 57 | 10.05 | 2100.54 | 3015 | 16104 | 0.000000 | 0.000 | 0.00 |
| 21 | -2.80 | 100 | 58 | 10.05 | 2172.26 | 3528 | 16741 | 0.000000 | 0.000 | 0.00 |

Combinazione n° 14 - SLEF

| n° | Y | B | H | Af | Aeff | M | Mpf | ε | Sm | w |
|----|-------|------|------|-------|---------|-------|-------|----------|-------|------|
| | [m] | [cm] | [cm] | [cmq] | [cmq] | [kgm] | [kgm] | [%] | [mm] | [mm] |
| 1 | 0.00 | 100 | 30 | 0.00 | 0.00 | 0 | 0 | 0.000000 | 0.000 | 0.00 |
| 2 | -0.14 | 100 | 31 | 0.00 | 0.00 | 0 | 157 | 0.000000 | 0.000 | 0.00 |
| 3 | -0.28 | 100 | 33 | 0.00 | 0.00 | 2 | 760 | 0.000000 | 0.000 | 0.00 |
| 4 | -0.42 | 100 | 34 | 0.00 | 0.00 | 6 | 2204 | 0.000000 | 0.000 | 0.00 |
| 5 | -0.56 | 100 | 36 | 0.00 | 0.00 | 16 | 6081 | 0.000000 | 0.000 | 0.00 |
| 6 | -0.70 | 100 | 37 | 0.00 | 0.00 | 35 | 26007 | 0.000000 | 0.000 | 0.00 |
| 7 | -0.84 | 100 | 39 | 0.00 | 0.00 | 67 | 45575 | 0.000000 | 0.000 | 0.00 |
| 8 | -0.98 | 100 | 40 | 0.00 | 0.00 | 114 | 19145 | 0.000000 | 0.000 | 0.00 |
| 9 | -1.12 | 100 | 41 | 10.05 | 796.93 | 181 | 14806 | 0.000000 | 0.000 | 0.00 |
| 10 | -1.26 | 100 | 43 | 10.05 | 1047.26 | 271 | 13336 | 0.000000 | 0.000 | 0.00 |
| 11 | -1.40 | 100 | 44 | 10.05 | 1237.14 | 386 | 12803 | 0.000000 | 0.000 | 0.00 |
| 12 | -1.54 | 100 | 46 | 10.05 | 1384.88 | 530 | 12695 | 0.000000 | 0.000 | 0.00 |
| 13 | -1.68 | 100 | 47 | 10.05 | 1506.25 | 705 | 12820 | 0.000000 | 0.000 | 0.00 |
| 14 | -1.82 | 100 | 48 | 10.05 | 1611.09 | 914 | 13089 | 0.000000 | 0.000 | 0.00 |
| 15 | -1.96 | 100 | 50 | 10.05 | 1705.18 | 1159 | 13455 | 0.000000 | 0.000 | 0.00 |
| 16 | -2.10 | 100 | 51 | 10.05 | 1792.01 | 1443 | 13893 | 0.000000 | 0.000 | 0.00 |
| 17 | -2.24 | 100 | 53 | 10.05 | 1873.77 | 1768 | 14385 | 0.000000 | 0.000 | 0.00 |
| 18 | -2.38 | 100 | 54 | 10.05 | 1951.86 | 2137 | 14922 | 0.000000 | 0.000 | 0.00 |

| n° | Y | B | H | Af | Aeff | M | Mpf | ε | Sm | w |
|----|-------|------|------|-------|---------|-------|-------|----------|-------|------|
| | [m] | [cm] | [cm] | [cmq] | [cmq] | [kgm] | [kgm] | [%] | [mm] | [mm] |
| 19 | -2.52 | 100 | 56 | 10.05 | 2027.23 | 2552 | 15497 | 0.000000 | 0.000 | 0.00 |
| 20 | -2.66 | 100 | 57 | 10.05 | 2100.54 | 3015 | 16104 | 0.000000 | 0.000 | 0.00 |
| 21 | -2.80 | 100 | 58 | 10.05 | 2172.26 | 3528 | 16741 | 0.000000 | 0.000 | 0.00 |

Combinazione n° 15 - SLEQ

| n° | Y | B | H | Af | Aeff | M | Mpf | ε | Sm | w |
|----|-------|------|------|-------|---------|-------|-------|----------|-------|------|
| | [m] | [cm] | [cm] | [cmq] | [cmq] | [kgm] | [kgm] | [%] | [mm] | [mm] |
| 1 | 0.00 | 100 | 30 | 0.00 | 0.00 | 0 | 0 | 0.000000 | 0.000 | 0.00 |
| 2 | -0.14 | 100 | 31 | 0.00 | 0.00 | 0 | 157 | 0.000000 | 0.000 | 0.00 |
| 3 | -0.28 | 100 | 33 | 0.00 | 0.00 | 2 | 760 | 0.000000 | 0.000 | 0.00 |
| 4 | -0.42 | 100 | 34 | 0.00 | 0.00 | 6 | 2204 | 0.000000 | 0.000 | 0.00 |
| 5 | -0.56 | 100 | 36 | 0.00 | 0.00 | 16 | 6081 | 0.000000 | 0.000 | 0.00 |
| 6 | -0.70 | 100 | 37 | 0.00 | 0.00 | 35 | 26007 | 0.000000 | 0.000 | 0.00 |
| 7 | -0.84 | 100 | 39 | 0.00 | 0.00 | 67 | 45575 | 0.000000 | 0.000 | 0.00 |
| 8 | -0.98 | 100 | 40 | 0.00 | 0.00 | 114 | 19145 | 0.000000 | 0.000 | 0.00 |
| 9 | -1.12 | 100 | 41 | 10.05 | 796.93 | 181 | 14806 | 0.000000 | 0.000 | 0.00 |
| 10 | -1.26 | 100 | 43 | 10.05 | 1047.26 | 271 | 13336 | 0.000000 | 0.000 | 0.00 |
| 11 | -1.40 | 100 | 44 | 10.05 | 1237.14 | 386 | 12803 | 0.000000 | 0.000 | 0.00 |
| 12 | -1.54 | 100 | 46 | 10.05 | 1384.88 | 530 | 12695 | 0.000000 | 0.000 | 0.00 |
| 13 | -1.68 | 100 | 47 | 10.05 | 1506.25 | 705 | 12820 | 0.000000 | 0.000 | 0.00 |
| 14 | -1.82 | 100 | 48 | 10.05 | 1611.09 | 914 | 13089 | 0.000000 | 0.000 | 0.00 |
| 15 | -1.96 | 100 | 50 | 10.05 | 1705.18 | 1159 | 13455 | 0.000000 | 0.000 | 0.00 |
| 16 | -2.10 | 100 | 51 | 10.05 | 1792.01 | 1443 | 13893 | 0.000000 | 0.000 | 0.00 |
| 17 | -2.24 | 100 | 53 | 10.05 | 1873.77 | 1768 | 14385 | 0.000000 | 0.000 | 0.00 |
| 18 | -2.38 | 100 | 54 | 10.05 | 1951.86 | 2137 | 14922 | 0.000000 | 0.000 | 0.00 |
| 19 | -2.52 | 100 | 56 | 10.05 | 2027.23 | 2552 | 15497 | 0.000000 | 0.000 | 0.00 |
| 20 | -2.66 | 100 | 57 | 10.05 | 2100.54 | 3015 | 16104 | 0.000000 | 0.000 | 0.00 |
| 21 | -2.80 | 100 | 58 | 10.05 | 2172.26 | 3528 | 16741 | 0.000000 | 0.000 | 0.00 |

Combinazione n° 16 - SLEQ

| n° | Y | B | H | Af | Aeff | M | Mpf | ε | Sm | w |
|----|-------|------|------|-------|---------|-------|-------|----------|-------|------|
| | [m] | [cm] | [cm] | [cmq] | [cmq] | [kgm] | [kgm] | [%] | [mm] | [mm] |
| 1 | 0.00 | 100 | 30 | 0.00 | 0.00 | 0 | 0 | 0.000000 | 0.000 | 0.00 |
| 2 | -0.14 | 100 | 31 | 0.00 | 0.00 | 0 | 175 | 0.000000 | 0.000 | 0.00 |
| 3 | -0.28 | 100 | 33 | 0.00 | 0.00 | 4 | 2118 | 0.000000 | 0.000 | 0.00 |
| 4 | -0.42 | 100 | 34 | 0.00 | 0.00 | 14 | 7925 | 0.000000 | 0.000 | 0.00 |
| 5 | -0.56 | 100 | 36 | 0.00 | 0.00 | 31 | 81705 | 0.000000 | 0.000 | 0.00 |
| 6 | -0.70 | 100 | 37 | 0.00 | 0.00 | 60 | 25360 | 0.000000 | 0.000 | 0.00 |
| 7 | -0.84 | 100 | 39 | 10.05 | 575.32 | 103 | 15329 | 0.000000 | 0.000 | 0.00 |
| 8 | -0.98 | 100 | 40 | 10.05 | 855.49 | 165 | 12792 | 0.000000 | 0.000 | 0.00 |
| 9 | -1.12 | 100 | 41 | 10.05 | 1073.69 | 249 | 11885 | 0.000000 | 0.000 | 0.00 |
| 10 | -1.26 | 100 | 43 | 10.05 | 1240.18 | 359 | 11600 | 0.000000 | 0.000 | 0.00 |
| 11 | -1.40 | 100 | 44 | 10.05 | 1372.58 | 496 | 11622 | 0.000000 | 0.000 | 0.00 |
| 12 | -1.54 | 100 | 46 | 10.05 | 1483.86 | 664 | 11821 | 0.000000 | 0.000 | 0.00 |
| 13 | -1.68 | 100 | 47 | 10.05 | 1581.79 | 866 | 12135 | 0.000000 | 0.000 | 0.00 |
| 14 | -1.82 | 100 | 48 | 10.05 | 1670.94 | 1105 | 12529 | 0.000000 | 0.000 | 0.00 |

| n° | Y | B | H | Af | Aeff | M | Mpf | ε | Sm | w |
|----|-------|------|------|-------|---------|-------|-------|----------|-------|------|
| | [m] | [cm] | [cm] | [cmq] | [cmq] | [kgm] | [kgm] | [%] | [mm] | [mm] |
| 15 | -1.96 | 100 | 50 | 10.05 | 1754.10 | 1382 | 12982 | 0.000000 | 0.000 | 0.00 |
| 16 | -2.10 | 100 | 51 | 10.05 | 1833.03 | 1701 | 13483 | 0.000000 | 0.000 | 0.00 |
| 17 | -2.24 | 100 | 53 | 10.05 | 1908.88 | 2063 | 14023 | 0.000000 | 0.000 | 0.00 |
| 18 | -2.38 | 100 | 54 | 10.05 | 1982.45 | 2472 | 14597 | 0.000000 | 0.000 | 0.00 |
| 19 | -2.52 | 100 | 56 | 10.05 | 2054.27 | 2929 | 15201 | 0.000000 | 0.000 | 0.00 |
| 20 | -2.66 | 100 | 57 | 10.05 | 2124.74 | 3437 | 15831 | 0.000000 | 0.000 | 0.00 |
| 21 | -2.80 | 100 | 58 | 10.05 | 2194.14 | 3998 | 16487 | 0.000000 | 0.000 | 0.00 |

Combinazione n° 17 - SLEQ

| n° | Y | B | H | Af | Aeff | M | Mpf | ε | Sm | w |
|----|-------|------|------|-------|---------|-------|-------|----------|-------|------|
| | [m] | [cm] | [cm] | [cmq] | [cmq] | [kgm] | [kgm] | [%] | [mm] | [mm] |
| 1 | 0.00 | 100 | 30 | 0.00 | 0.00 | 0 | 0 | 0.000000 | 0.000 | 0.00 |
| 2 | -0.14 | 100 | 31 | 0.00 | 0.00 | 0 | 195 | 0.000000 | 0.000 | 0.00 |
| 3 | -0.28 | 100 | 33 | 0.00 | 0.00 | 4 | 1842 | 0.000000 | 0.000 | 0.00 |
| 4 | -0.42 | 100 | 34 | 0.00 | 0.00 | 12 | 6293 | 0.000000 | 0.000 | 0.00 |
| 5 | -0.56 | 100 | 36 | 0.00 | 0.00 | 28 | 33758 | 0.000000 | 0.000 | 0.00 |
| 6 | -0.70 | 100 | 37 | 0.00 | 0.00 | 55 | 33842 | 0.000000 | 0.000 | 0.00 |
| 7 | -0.84 | 100 | 39 | 10.05 | 503.20 | 96 | 16865 | 0.000000 | 0.000 | 0.00 |
| 8 | -0.98 | 100 | 40 | 10.05 | 798.29 | 155 | 13441 | 0.000000 | 0.000 | 0.00 |
| 9 | -1.12 | 100 | 41 | 10.05 | 1033.28 | 236 | 12251 | 0.000000 | 0.000 | 0.00 |
| 10 | -1.26 | 100 | 43 | 10.05 | 1212.07 | 341 | 11841 | 0.000000 | 0.000 | 0.00 |
| 11 | -1.40 | 100 | 44 | 10.05 | 1352.37 | 474 | 11796 | 0.000000 | 0.000 | 0.00 |
| 12 | -1.54 | 100 | 46 | 10.05 | 1468.69 | 637 | 11955 | 0.000000 | 0.000 | 0.00 |
| 13 | -1.68 | 100 | 47 | 10.05 | 1569.94 | 833 | 12243 | 0.000000 | 0.000 | 0.00 |
| 14 | -1.82 | 100 | 48 | 10.05 | 1661.37 | 1066 | 12618 | 0.000000 | 0.000 | 0.00 |
| 15 | -1.96 | 100 | 50 | 10.05 | 1746.16 | 1337 | 13059 | 0.000000 | 0.000 | 0.00 |
| 16 | -2.10 | 100 | 51 | 10.05 | 1826.30 | 1648 | 13550 | 0.000000 | 0.000 | 0.00 |
| 17 | -2.24 | 100 | 53 | 10.05 | 1903.07 | 2004 | 14083 | 0.000000 | 0.000 | 0.00 |
| 18 | -2.38 | 100 | 54 | 10.05 | 1977.35 | 2404 | 14651 | 0.000000 | 0.000 | 0.00 |
| 19 | -2.52 | 100 | 56 | 10.05 | 2049.73 | 2853 | 15250 | 0.000000 | 0.000 | 0.00 |
| 20 | -2.66 | 100 | 57 | 10.05 | 2120.66 | 3352 | 15877 | 0.000000 | 0.000 | 0.00 |
| 21 | -2.80 | 100 | 58 | 10.05 | 2190.44 | 3903 | 16530 | 0.000000 | 0.000 | 0.00 |

FondazioneCombinazione n° 13 - SLER

| n° | Y | B | H | Af | Aeff | M | Mpf | ε | Sm | w |
|----|-------|------|------|-------|---------|-------|--------|----------|-------|------|
| | [m] | [cm] | [cm] | [cmq] | [cmq] | [kgm] | [kgm] | [%] | [mm] | [mm] |
| 1 | -0.70 | 100 | 70 | 0.00 | 0.00 | 0 | 0 | 0.000000 | 0.000 | 0.00 |
| 2 | -0.60 | 100 | 70 | 10.05 | 2908.82 | 48 | 20583 | 0.000000 | 0.000 | 0.00 |
| 3 | -0.50 | 100 | 70 | 10.05 | 2908.82 | 193 | 20583 | 0.000000 | 0.000 | 0.00 |
| 4 | -0.40 | 100 | 70 | 10.05 | 2908.82 | 431 | 20583 | 0.000000 | 0.000 | 0.00 |
| 5 | -0.30 | 100 | 70 | 10.05 | 2908.82 | 762 | 20583 | 0.000000 | 0.000 | 0.00 |
| 6 | 0.28 | 100 | 70 | 10.05 | 3183.28 | -5037 | -20583 | 0.000000 | 0.000 | 0.00 |
| 7 | 0.38 | 100 | 70 | 10.05 | 3183.28 | -4906 | -20583 | 0.000000 | 0.000 | 0.00 |

Progetto Esecutivo

| n° | Y | B | H | Af | Aeff | M | Mpf | ε | Sm | w |
|----|------|------|------|-------|---------|-------|--------|----------|-------|------|
| | [m] | [cm] | [cm] | [cmq] | [cmq] | [kgm] | [kgm] | [%] | [mm] | [mm] |
| 8 | 0.48 | 100 | 70 | 10.05 | 3183.28 | -4751 | -20583 | 0.000000 | 0.000 | 0.00 |
| 9 | 0.58 | 100 | 70 | 10.05 | 3183.28 | -4574 | -20583 | 0.000000 | 0.000 | 0.00 |
| 10 | 0.67 | 100 | 70 | 10.05 | 3183.28 | -4378 | -20583 | 0.000000 | 0.000 | 0.00 |
| 11 | 0.77 | 100 | 70 | 10.05 | 3183.28 | -4164 | -20583 | 0.000000 | 0.000 | 0.00 |
| 12 | 0.87 | 100 | 70 | 10.05 | 3183.28 | -3937 | -20583 | 0.000000 | 0.000 | 0.00 |
| 13 | 0.96 | 100 | 70 | 10.05 | 3183.28 | -3697 | -20583 | 0.000000 | 0.000 | 0.00 |
| 14 | 1.06 | 100 | 70 | 10.05 | 3183.28 | -3447 | -20583 | 0.000000 | 0.000 | 0.00 |
| 15 | 1.16 | 100 | 70 | 10.05 | 3183.28 | -3190 | -20583 | 0.000000 | 0.000 | 0.00 |
| 16 | 1.25 | 100 | 70 | 10.05 | 3183.28 | -2928 | -20583 | 0.000000 | 0.000 | 0.00 |
| 17 | 1.35 | 100 | 70 | 10.05 | 3183.28 | -2663 | -20583 | 0.000000 | 0.000 | 0.00 |
| 18 | 1.45 | 100 | 70 | 10.05 | 3183.28 | -2398 | -20583 | 0.000000 | 0.000 | 0.00 |
| 19 | 1.54 | 100 | 70 | 10.05 | 3183.28 | -2135 | -20583 | 0.000000 | 0.000 | 0.00 |
| 20 | 1.64 | 100 | 70 | 10.05 | 3183.28 | -1876 | -20583 | 0.000000 | 0.000 | 0.00 |
| 21 | 1.74 | 100 | 70 | 10.05 | 3183.28 | -1625 | -20583 | 0.000000 | 0.000 | 0.00 |
| 22 | 1.84 | 100 | 70 | 10.05 | 3183.28 | -1383 | -20583 | 0.000000 | 0.000 | 0.00 |
| 23 | 1.93 | 100 | 70 | 10.05 | 3183.28 | -1152 | -20583 | 0.000000 | 0.000 | 0.00 |
| 24 | 2.03 | 100 | 70 | 10.05 | 3183.28 | -936 | -20583 | 0.000000 | 0.000 | 0.00 |
| 25 | 2.13 | 100 | 70 | 10.05 | 3183.28 | -736 | -20583 | 0.000000 | 0.000 | 0.00 |
| 26 | 2.22 | 100 | 70 | 10.05 | 3183.28 | -555 | -20583 | 0.000000 | 0.000 | 0.00 |
| 27 | 2.32 | 100 | 70 | 10.05 | 3183.28 | -396 | -20583 | 0.000000 | 0.000 | 0.00 |
| 28 | 2.42 | 100 | 70 | 10.05 | 3183.28 | -259 | -20583 | 0.000000 | 0.000 | 0.00 |
| 29 | 2.51 | 100 | 70 | 10.05 | 3183.28 | -150 | -20583 | 0.000000 | 0.000 | 0.00 |
| 30 | 2.61 | 100 | 70 | 10.05 | 3183.28 | -68 | -20583 | 0.000000 | 0.000 | 0.00 |
| 31 | 2.71 | 100 | 70 | 10.05 | 3183.28 | -17 | -20583 | 0.000000 | 0.000 | 0.00 |
| 32 | 2.80 | 100 | 70 | 0.00 | 0.00 | 0 | 0 | 0.000000 | 0.000 | 0.00 |

Combinazione n° 14 - SLEF

| n° | Y | B | H | Af | Aeff | M | Mpf | ε | Sm | w |
|----|-------|------|------|-------|---------|-------|--------|----------|-------|------|
| | [m] | [cm] | [cm] | [cmq] | [cmq] | [kgm] | [kgm] | [%] | [mm] | [mm] |
| 1 | -0.70 | 100 | 70 | 0.00 | 0.00 | 0 | 0 | 0.000000 | 0.000 | 0.00 |
| 2 | -0.60 | 100 | 70 | 10.05 | 2908.82 | 48 | 20583 | 0.000000 | 0.000 | 0.00 |
| 3 | -0.50 | 100 | 70 | 10.05 | 2908.82 | 191 | 20583 | 0.000000 | 0.000 | 0.00 |
| 4 | -0.40 | 100 | 70 | 10.05 | 2908.82 | 427 | 20583 | 0.000000 | 0.000 | 0.00 |
| 5 | -0.30 | 100 | 70 | 10.05 | 2908.82 | 756 | 20583 | 0.000000 | 0.000 | 0.00 |
| 6 | 0.28 | 100 | 70 | 10.05 | 3183.28 | -5016 | -20583 | 0.000000 | 0.000 | 0.00 |
| 7 | 0.38 | 100 | 70 | 10.05 | 3183.28 | -4884 | -20583 | 0.000000 | 0.000 | 0.00 |
| 8 | 0.48 | 100 | 70 | 10.05 | 3183.28 | -4727 | -20583 | 0.000000 | 0.000 | 0.00 |
| 9 | 0.58 | 100 | 70 | 10.05 | 3183.28 | -4550 | -20583 | 0.000000 | 0.000 | 0.00 |
| 10 | 0.67 | 100 | 70 | 10.05 | 3183.28 | -4353 | -20583 | 0.000000 | 0.000 | 0.00 |
| 11 | 0.77 | 100 | 70 | 10.05 | 3183.28 | -4140 | -20583 | 0.000000 | 0.000 | 0.00 |
| 12 | 0.87 | 100 | 70 | 10.05 | 3183.28 | -3912 | -20583 | 0.000000 | 0.000 | 0.00 |
| 13 | 0.96 | 100 | 70 | 10.05 | 3183.28 | -3673 | -20583 | 0.000000 | 0.000 | 0.00 |
| 14 | 1.06 | 100 | 70 | 10.05 | 3183.28 | -3424 | -20583 | 0.000000 | 0.000 | 0.00 |
| 15 | 1.16 | 100 | 70 | 10.05 | 3183.28 | -3168 | -20583 | 0.000000 | 0.000 | 0.00 |
| 16 | 1.25 | 100 | 70 | 10.05 | 3183.28 | -2907 | -20583 | 0.000000 | 0.000 | 0.00 |
| 17 | 1.35 | 100 | 70 | 10.05 | 3183.28 | -2643 | -20583 | 0.000000 | 0.000 | 0.00 |
| 18 | 1.45 | 100 | 70 | 10.05 | 3183.28 | -2380 | -20583 | 0.000000 | 0.000 | 0.00 |

RTI di progettazione:



Mandataria

Via G.B. Sammartini n°5
20125 - Milano
Tel. 02 6787911
email: mail@proiter.it



Mandante

Via Artemide n°3
92100 Agrigento
Tel. 0922 421007
email: deltaingegneria@pec.it

| n° | Y | B | H | Af | Aeff | M | Mpf | ε | Sm | w |
|----|------|------|------|-------|---------|-------|--------|----------|-------|------|
| | [m] | [cm] | [cm] | [cmq] | [cmq] | [kgm] | [kgm] | [%] | [mm] | [mm] |
| 19 | 1.54 | 100 | 70 | 10.05 | 3183.28 | -2118 | -20583 | 0.000000 | 0.000 | 0.00 |
| 20 | 1.64 | 100 | 70 | 10.05 | 3183.28 | -1862 | -20583 | 0.000000 | 0.000 | 0.00 |
| 21 | 1.74 | 100 | 70 | 10.05 | 3183.28 | -1612 | -20583 | 0.000000 | 0.000 | 0.00 |
| 22 | 1.84 | 100 | 70 | 10.05 | 3183.28 | -1372 | -20583 | 0.000000 | 0.000 | 0.00 |
| 23 | 1.93 | 100 | 70 | 10.05 | 3183.28 | -1143 | -20583 | 0.000000 | 0.000 | 0.00 |
| 24 | 2.03 | 100 | 70 | 10.05 | 3183.28 | -928 | -20583 | 0.000000 | 0.000 | 0.00 |
| 25 | 2.13 | 100 | 70 | 10.05 | 3183.28 | -730 | -20583 | 0.000000 | 0.000 | 0.00 |
| 26 | 2.22 | 100 | 70 | 10.05 | 3183.28 | -550 | -20583 | 0.000000 | 0.000 | 0.00 |
| 27 | 2.32 | 100 | 70 | 10.05 | 3183.28 | -392 | -20583 | 0.000000 | 0.000 | 0.00 |
| 28 | 2.42 | 100 | 70 | 10.05 | 3183.28 | -257 | -20583 | 0.000000 | 0.000 | 0.00 |
| 29 | 2.51 | 100 | 70 | 10.05 | 3183.28 | -148 | -20583 | 0.000000 | 0.000 | 0.00 |
| 30 | 2.61 | 100 | 70 | 10.05 | 3183.28 | -67 | -20583 | 0.000000 | 0.000 | 0.00 |
| 31 | 2.71 | 100 | 70 | 10.05 | 3183.28 | -17 | -20583 | 0.000000 | 0.000 | 0.00 |
| 32 | 2.80 | 100 | 70 | 0.00 | 0.00 | 0 | 0 | 0.000000 | 0.000 | 0.00 |

Combinazione n° 15 - SLEQ

| n° | Y | B | H | Af | Aeff | M | Mpf | ε | Sm | w |
|----|-------|------|------|-------|---------|-------|--------|----------|-------|------|
| | [m] | [cm] | [cm] | [cmq] | [cmq] | [kgm] | [kgm] | [%] | [mm] | [mm] |
| 1 | -0.70 | 100 | 70 | 0.00 | 0.00 | 0 | 0 | 0.000000 | 0.000 | 0.00 |
| 2 | -0.60 | 100 | 70 | 10.05 | 2908.82 | 47 | 20583 | 0.000000 | 0.000 | 0.00 |
| 3 | -0.50 | 100 | 70 | 10.05 | 2908.82 | 188 | 20583 | 0.000000 | 0.000 | 0.00 |
| 4 | -0.40 | 100 | 70 | 10.05 | 2908.82 | 421 | 20583 | 0.000000 | 0.000 | 0.00 |
| 5 | -0.30 | 100 | 70 | 10.05 | 2908.82 | 744 | 20583 | 0.000000 | 0.000 | 0.00 |
| 6 | 0.28 | 100 | 70 | 10.05 | 3183.28 | -5067 | -20583 | 0.000000 | 0.000 | 0.00 |
| 7 | 0.38 | 100 | 70 | 10.05 | 3183.28 | -4926 | -20583 | 0.000000 | 0.000 | 0.00 |
| 8 | 0.48 | 100 | 70 | 10.05 | 3183.28 | -4762 | -20583 | 0.000000 | 0.000 | 0.00 |
| 9 | 0.58 | 100 | 70 | 10.05 | 3183.28 | -4577 | -20583 | 0.000000 | 0.000 | 0.00 |
| 10 | 0.67 | 100 | 70 | 10.05 | 3183.28 | -4375 | -20583 | 0.000000 | 0.000 | 0.00 |
| 11 | 0.77 | 100 | 70 | 10.05 | 3183.28 | -4156 | -20583 | 0.000000 | 0.000 | 0.00 |
| 12 | 0.87 | 100 | 70 | 10.05 | 3183.28 | -3924 | -20583 | 0.000000 | 0.000 | 0.00 |
| 13 | 0.96 | 100 | 70 | 10.05 | 3183.28 | -3681 | -20583 | 0.000000 | 0.000 | 0.00 |
| 14 | 1.06 | 100 | 70 | 10.05 | 3183.28 | -3428 | -20583 | 0.000000 | 0.000 | 0.00 |
| 15 | 1.16 | 100 | 70 | 10.05 | 3183.28 | -3169 | -20583 | 0.000000 | 0.000 | 0.00 |
| 16 | 1.25 | 100 | 70 | 10.05 | 3183.28 | -2906 | -20583 | 0.000000 | 0.000 | 0.00 |
| 17 | 1.35 | 100 | 70 | 10.05 | 3183.28 | -2641 | -20583 | 0.000000 | 0.000 | 0.00 |
| 18 | 1.45 | 100 | 70 | 10.05 | 3183.28 | -2376 | -20583 | 0.000000 | 0.000 | 0.00 |
| 19 | 1.54 | 100 | 70 | 10.05 | 3183.28 | -2114 | -20583 | 0.000000 | 0.000 | 0.00 |
| 20 | 1.64 | 100 | 70 | 10.05 | 3183.28 | -1857 | -20583 | 0.000000 | 0.000 | 0.00 |
| 21 | 1.74 | 100 | 70 | 10.05 | 3183.28 | -1607 | -20583 | 0.000000 | 0.000 | 0.00 |
| 22 | 1.84 | 100 | 70 | 10.05 | 3183.28 | -1367 | -20583 | 0.000000 | 0.000 | 0.00 |
| 23 | 1.93 | 100 | 70 | 10.05 | 3183.28 | -1138 | -20583 | 0.000000 | 0.000 | 0.00 |
| 24 | 2.03 | 100 | 70 | 10.05 | 3183.28 | -924 | -20583 | 0.000000 | 0.000 | 0.00 |
| 25 | 2.13 | 100 | 70 | 10.05 | 3183.28 | -726 | -20583 | 0.000000 | 0.000 | 0.00 |
| 26 | 2.22 | 100 | 70 | 10.05 | 3183.28 | -548 | -20583 | 0.000000 | 0.000 | 0.00 |
| 27 | 2.32 | 100 | 70 | 10.05 | 3183.28 | -390 | -20583 | 0.000000 | 0.000 | 0.00 |
| 28 | 2.42 | 100 | 70 | 10.05 | 3183.28 | -256 | -20583 | 0.000000 | 0.000 | 0.00 |
| 29 | 2.51 | 100 | 70 | 10.05 | 3183.28 | -147 | -20583 | 0.000000 | 0.000 | 0.00 |

| n° | Y | B | H | Af | Aeff | M | Mpf | ε | Sm | w |
|----|------|------|------|-------|---------|-------|--------|----------|-------|------|
| | [m] | [cm] | [cm] | [cmq] | [cmq] | [kgm] | [kgm] | [%] | [mm] | [mm] |
| 30 | 2.61 | 100 | 70 | 10.05 | 3183.28 | -67 | -20583 | 0.000000 | 0.000 | 0.00 |
| 31 | 2.71 | 100 | 70 | 10.05 | 3183.28 | -17 | -20583 | 0.000000 | 0.000 | 0.00 |
| 32 | 2.80 | 100 | 70 | 0.00 | 0.00 | 0 | 0 | 0.000000 | 0.000 | 0.00 |

Combinazione n° 16 - SLEQ

| n° | Y | B | H | Af | Aeff | M | Mpf | ε | Sm | w |
|----|-------|------|------|-------|---------|-------|--------|----------|-------|------|
| | [m] | [cm] | [cm] | [cmq] | [cmq] | [kgm] | [kgm] | [%] | [mm] | [mm] |
| 1 | -0.70 | 100 | 70 | 0.00 | 0.00 | 0 | 0 | 0.000000 | 0.000 | 0.00 |
| 2 | -0.60 | 100 | 70 | 10.05 | 2908.82 | 51 | 20583 | 0.000000 | 0.000 | 0.00 |
| 3 | -0.50 | 100 | 70 | 10.05 | 2908.82 | 204 | 20583 | 0.000000 | 0.000 | 0.00 |
| 4 | -0.40 | 100 | 70 | 10.05 | 2908.82 | 457 | 20583 | 0.000000 | 0.000 | 0.00 |
| 5 | -0.30 | 100 | 70 | 10.05 | 2908.82 | 807 | 20583 | 0.000000 | 0.000 | 0.00 |
| 6 | 0.28 | 100 | 70 | 10.05 | 3183.28 | -5879 | -20583 | 0.000000 | 0.000 | 0.00 |
| 7 | 0.38 | 100 | 70 | 10.05 | 3183.28 | -5716 | -20583 | 0.000000 | 0.000 | 0.00 |
| 8 | 0.48 | 100 | 70 | 10.05 | 3183.28 | -5525 | -20583 | 0.000000 | 0.000 | 0.00 |
| 9 | 0.58 | 100 | 70 | 10.05 | 3183.28 | -5312 | -20583 | 0.000000 | 0.000 | 0.00 |
| 10 | 0.67 | 100 | 70 | 10.05 | 3183.28 | -5077 | -20583 | 0.000000 | 0.000 | 0.00 |
| 11 | 0.77 | 100 | 70 | 10.05 | 3183.28 | -4823 | -20583 | 0.000000 | 0.000 | 0.00 |
| 12 | 0.87 | 100 | 70 | 10.05 | 3183.28 | -4554 | -20583 | 0.000000 | 0.000 | 0.00 |
| 13 | 0.96 | 100 | 70 | 10.05 | 3183.28 | -4272 | -20583 | 0.000000 | 0.000 | 0.00 |
| 14 | 1.06 | 100 | 70 | 10.05 | 3183.28 | -3979 | -20583 | 0.000000 | 0.000 | 0.00 |
| 15 | 1.16 | 100 | 70 | 10.05 | 3183.28 | -3679 | -20583 | 0.000000 | 0.000 | 0.00 |
| 16 | 1.25 | 100 | 70 | 10.05 | 3183.28 | -3373 | -20583 | 0.000000 | 0.000 | 0.00 |
| 17 | 1.35 | 100 | 70 | 10.05 | 3183.28 | -3066 | -20583 | 0.000000 | 0.000 | 0.00 |
| 18 | 1.45 | 100 | 70 | 10.05 | 3183.28 | -2758 | -20583 | 0.000000 | 0.000 | 0.00 |
| 19 | 1.54 | 100 | 70 | 10.05 | 3183.28 | -2454 | -20583 | 0.000000 | 0.000 | 0.00 |
| 20 | 1.64 | 100 | 70 | 10.05 | 3183.28 | -2156 | -20583 | 0.000000 | 0.000 | 0.00 |
| 21 | 1.74 | 100 | 70 | 10.05 | 3183.28 | -1865 | -20583 | 0.000000 | 0.000 | 0.00 |
| 22 | 1.84 | 100 | 70 | 10.05 | 3183.28 | -1586 | -20583 | 0.000000 | 0.000 | 0.00 |
| 23 | 1.93 | 100 | 70 | 10.05 | 3183.28 | -1321 | -20583 | 0.000000 | 0.000 | 0.00 |
| 24 | 2.03 | 100 | 70 | 10.05 | 3183.28 | -1073 | -20583 | 0.000000 | 0.000 | 0.00 |
| 25 | 2.13 | 100 | 70 | 10.05 | 3183.28 | -843 | -20583 | 0.000000 | 0.000 | 0.00 |
| 26 | 2.22 | 100 | 70 | 10.05 | 3183.28 | -636 | -20583 | 0.000000 | 0.000 | 0.00 |
| 27 | 2.32 | 100 | 70 | 10.05 | 3183.28 | -453 | -20583 | 0.000000 | 0.000 | 0.00 |
| 28 | 2.42 | 100 | 70 | 10.05 | 3183.28 | -297 | -20583 | 0.000000 | 0.000 | 0.00 |
| 29 | 2.51 | 100 | 70 | 10.05 | 3183.28 | -171 | -20583 | 0.000000 | 0.000 | 0.00 |
| 30 | 2.61 | 100 | 70 | 10.05 | 3183.28 | -78 | -20583 | 0.000000 | 0.000 | 0.00 |
| 31 | 2.71 | 100 | 70 | 10.05 | 3183.28 | -20 | -20583 | 0.000000 | 0.000 | 0.00 |
| 32 | 2.80 | 100 | 70 | 0.00 | 0.00 | 0 | 0 | 0.000000 | 0.000 | 0.00 |

Combinazione n° 17 - SLEQ

| n° | Y | B | H | Af | Aeff | M | Mpf | ε | Sm | w |
|----|-------|------|------|-------|---------|-------|-------|----------|-------|------|
| | [m] | [cm] | [cm] | [cmq] | [cmq] | [kgm] | [kgm] | [%] | [mm] | [mm] |
| 1 | -0.70 | 100 | 70 | 0.00 | 0.00 | 0 | 0 | 0.000000 | 0.000 | 0.00 |
| 2 | -0.60 | 100 | 70 | 10.05 | 2908.82 | 50 | 20583 | 0.000000 | 0.000 | 0.00 |
| 3 | -0.50 | 100 | 70 | 10.05 | 2908.82 | 200 | 20583 | 0.000000 | 0.000 | 0.00 |

Progetto Esecutivo

| n° | Y | B | H | Af | Aeff | M | Mpf | ε | Sm | w |
|----|-------|------|------|-------|---------|-------|--------|----------|-------|------|
| | [m] | [cm] | [cm] | [cmq] | [cmq] | [kgm] | [kgm] | [%] | [mm] | [mm] |
| 4 | -0.40 | 100 | 70 | 10.05 | 2908.82 | 448 | 20583 | 0.000000 | 0.000 | 0.00 |
| 5 | -0.30 | 100 | 70 | 10.05 | 2908.82 | 791 | 20583 | 0.000000 | 0.000 | 0.00 |
| 6 | 0.28 | 100 | 70 | 10.05 | 3183.28 | -6290 | -20583 | 0.000000 | 0.000 | 0.00 |
| 7 | 0.38 | 100 | 70 | 10.05 | 3183.28 | -6093 | -20583 | 0.000000 | 0.000 | 0.00 |
| 8 | 0.48 | 100 | 70 | 10.05 | 3183.28 | -5871 | -20583 | 0.000000 | 0.000 | 0.00 |
| 9 | 0.58 | 100 | 70 | 10.05 | 3183.28 | -5626 | -20583 | 0.000000 | 0.000 | 0.00 |
| 10 | 0.67 | 100 | 70 | 10.05 | 3183.28 | -5362 | -20583 | 0.000000 | 0.000 | 0.00 |
| 11 | 0.77 | 100 | 70 | 10.05 | 3183.28 | -5082 | -20583 | 0.000000 | 0.000 | 0.00 |
| 12 | 0.87 | 100 | 70 | 10.05 | 3183.28 | -4787 | -20583 | 0.000000 | 0.000 | 0.00 |
| 13 | 0.96 | 100 | 70 | 10.05 | 3183.28 | -4480 | -20583 | 0.000000 | 0.000 | 0.00 |
| 14 | 1.06 | 100 | 70 | 10.05 | 3183.28 | -4165 | -20583 | 0.000000 | 0.000 | 0.00 |
| 15 | 1.16 | 100 | 70 | 10.05 | 3183.28 | -3843 | -20583 | 0.000000 | 0.000 | 0.00 |
| 16 | 1.25 | 100 | 70 | 10.05 | 3183.28 | -3518 | -20583 | 0.000000 | 0.000 | 0.00 |
| 17 | 1.35 | 100 | 70 | 10.05 | 3183.28 | -3192 | -20583 | 0.000000 | 0.000 | 0.00 |
| 18 | 1.45 | 100 | 70 | 10.05 | 3183.28 | -2867 | -20583 | 0.000000 | 0.000 | 0.00 |
| 19 | 1.54 | 100 | 70 | 10.05 | 3183.28 | -2547 | -20583 | 0.000000 | 0.000 | 0.00 |
| 20 | 1.64 | 100 | 70 | 10.05 | 3183.28 | -2234 | -20583 | 0.000000 | 0.000 | 0.00 |
| 21 | 1.74 | 100 | 70 | 10.05 | 3183.28 | -1931 | -20583 | 0.000000 | 0.000 | 0.00 |
| 22 | 1.84 | 100 | 70 | 10.05 | 3183.28 | -1640 | -20583 | 0.000000 | 0.000 | 0.00 |
| 23 | 1.93 | 100 | 70 | 10.05 | 3183.28 | -1365 | -20583 | 0.000000 | 0.000 | 0.00 |
| 24 | 2.03 | 100 | 70 | 10.05 | 3183.28 | -1107 | -20583 | 0.000000 | 0.000 | 0.00 |
| 25 | 2.13 | 100 | 70 | 10.05 | 3183.28 | -869 | -20583 | 0.000000 | 0.000 | 0.00 |
| 26 | 2.22 | 100 | 70 | 10.05 | 3183.28 | -654 | -20583 | 0.000000 | 0.000 | 0.00 |
| 27 | 2.32 | 100 | 70 | 10.05 | 3183.28 | -466 | -20583 | 0.000000 | 0.000 | 0.00 |
| 28 | 2.42 | 100 | 70 | 10.05 | 3183.28 | -305 | -20583 | 0.000000 | 0.000 | 0.00 |
| 29 | 2.51 | 100 | 70 | 10.05 | 3183.28 | -176 | -20583 | 0.000000 | 0.000 | 0.00 |
| 30 | 2.61 | 100 | 70 | 10.05 | 3183.28 | -80 | -20583 | 0.000000 | 0.000 | 0.00 |
| 31 | 2.71 | 100 | 70 | 10.05 | 3183.28 | -20 | -20583 | 0.000000 | 0.000 | 0.00 |
| 32 | 2.80 | 100 | 70 | 0.00 | 0.00 | 0 | 0 | 0.000000 | 0.000 | 0.00 |

RTI di progettazione:**Mandataria**

Via G.B. Sammartini n°5
20125 - Milano
Tel. 02 6787911
email: mail@proiter.it

**Mandante**

Via Artemide n°3
92100 Agrigento
Tel. 0922 421007
email: deltaingegneria@pec.it